

1966

INTRODUCTION

La publication que nous vous présentons ici est un recueil des résultats d'enregistrement séismologique des observatoires de l'Institut de Géophysique de l'Académie Polonaise des Sciences à Kraków, Niedzica, Racibórz et Rybnik, dans les observatoires de l'Institut Central des Mines (GIG) à Dąbrowa Górnicza, Bytom, Zabrze, Bobrek, ainsi qu'à la Station Séismologique de l'Observatoire Astronomique et du Planétarium à Chorzów. En 1966, le observatoire de l'Institut de Géophysique à Warszawa étaient inactifs pour cause de remise à neuf en état de cave.

La première partie de la publication comprend l'élaboration des secousses distantes ainsi que des secousses locales mais qui ne proviennent pas de la région silésienne. L'identification des secousses distantes s'appuie sur des données accessibles des centres séismologiques de BCIS, USCGS, Moskva. Les valeurs des magnitudes des secousses dont les distances épacentrales sont $\geq 5^\circ$ furent notées dans les observatoires de Kraków, Racibórz et Rybnik, à l'aide des amplitudes d'ondes volumétriques (m) et d'ondes superficielles (M).

La deuxième partie comporte une étude comparative des secousses de Haute Silésie, enregistrées par les observatoires de Kraków, Racibórz, Rybnik et Chorzów. Les premières phases des secousses silésiennes, enregistrées par les observatoires de GIG, à Dąbrowa Górnicza, Bytom, Zabrze et Bobrek ont été indiquées avant chaque secousse élaborée. Les phases, mentionnées dans les publication de GIG, sont marquées (GIG). Les coordonnées des épicentres ainsi que le temps de l'apparition des secousses dans le foyer sont calculés sur la base des temps d'arrivée des ondes longitudinales et latitudinales ainsi que des intervalles des ondes S - P. Dans un certain nombre de cas l'emplacement des épicentres fut établi par la méthode d'Isikawa, ce qui permettait de déterminer la profondeur de l'hypocentre. Les magnitudes furent calculées d'après la formule $M = \log A/T + a \log \Delta \text{km} + b$. Les coefficients a , b , furent déterminés séparément pour chaque station et chaque appareillage.

La première partie de cette publication a été rédigée par Z. Gryglewicz, B. Guterch, H. Lewandowska-Marciniak et M. Mazur, la deuxième partie par D. Draber et M. Wernik.

OBSERVATOIRE SÉISMOLOGIQUE À KRAKÓW

Coordonnées géographiques: $\varphi = 50^{\circ}03'22''N$, $\lambda = 19^{\circ}56'23''E$, $h = 223$ m.

Sous - sol: calcaire jurassique.

Appareils: deux séismographes horizontaux Galitzine-Wilip (NS,EW), les séismographes Charin (NS, EW, vertical), les séismographes type SKM-3 (NS, EW, vertical). Tous séismographes à enregistrement galvanométrique. La régularité de la pendule de contact est vérifiée par rapport aux signaux de la radio.

Constantes des séismographes

Galitzine-Wilip (GW) du 1.I au 14.I.1966

	N	E
T_s	12,54 sec	8,47 sec
T_g	3,47 sec	4,23 sec
D_s	1,00	0,43
D_g	1,08	0,76
σ^2	0,019	0,036
V_o	2570	3758
R	30 mm/min	30 mm/min

Galitzine-Wilip (GW) du 15.I au 31.XII.1966

	N	E
T_s	11,97 sec	8,92 sec
T_g	3,12 sec	4,07 sec
D_s	0,763	0,465
D_g	0,922	0,687
σ^2	0,02274	0,03385
V_o	2675	3900
R	30 mm/min	30 mm/min

- 5 -

Charin (Ch) du 1.I au 14.I.1966

	N	E	Z
T_s	1,517 sec	1,480 sec	1,113 sec
T_g	0,4167 sec	0,3333 sec	0,2727 sec
D_s	0,8218	0,8425	0,7821
D_g	1,8283	1,6275	1,5165
σ^2	0,4992	0,4687	0,4481
V_o	25800	27500	22000
R	60 mm/min	60 mm/min	60 mm/min

Charin (Ch) du 15.I au 31.XII.1966

	N	E	Z
T_s	1,517 sec	1,480 sec	1,113 sec
T_g	0,4167 sec	0,333 sec	0,2727 sec
D_s	0,70	0,70	0,70
D_g	2,00	2,00	2,00
σ^2	0,21728	0,20561	0,30741
V_o	15000	15000	15000
R	60 mm/min	60 mm/min	60 mm/min

SKM-3 (SKM) du 1.I au 13.I.1966

	N	E	Z
T_s	1,6 sec	1,6 sec	1,6 sec
T_g	0,166 sec	0,097 sec	0,195 sec
D_s	0,7	0,7	0,7
D_g	3,0	4,0	3,0
σ^2	0,040	0,220	0,550
V_o	46000	56000	42500
R	60 mm/min	60 mm/min	60 mm/min

- 6 -

SKM-3 (SKM) du 14.I au 31.XII.1966

	N	E	Z
T_s	1,583 sec	1,586 sec	1,611 sec
T_g	0,1665	0,096 sec	0,1001 sec
D_s	0,69	0,79	0,68
D_g	2,37	4,00	1,46
σ^2	46652	57355	41276
R	60 mm/min	60 mm/min	60 mm/min

STATION SÉISMOLOGIQUE À NIEDZICA

Coordonnées géographiques: $\varphi = 49^{\circ}25'25''N$, $\lambda = 20^{\circ}19'19''E$, h = 555 m.

Sous-sol: calcaire jurassique.

Appareils: Les séismographes type SK-58 (NS, EW, vertical) à enregistrement galvanométrique. La régularité de la pendule de contact est vérifiée par rapport aux signaux de la radio.

Constantes des séismographes

SK-58 (SK) du 1.I au 31.XII.1966

	N	E	Z
T_s	1,823 sec	2,01 sec	1,771 sec
T_g	0,366 sec	0,312 sec	0,426 sec
D_s	3,6266	3,4389	2,3391
D_g	4,4994	4,0718	4,8549
σ^2	0,81318	0,90393	0,94995
V_o	39500	37800	40480
R	60 mm/min	60 mm/min	60 mm/min

STATION GÉOPHYSIQUE SILÉSIEENNE À RACIBÓRZ

Coordonnées géographiques: $\varphi = 50^{\circ}05'00,3''N$, $\lambda = 18^{\circ}11'39''E$, h = 209 m.

Sous-sol: argiles plastiques miocène.

Appareils: les séismographes Mainka (NS, EW, vertical) à enregistrement mécanique, les séismographes type SK-58 (NS, EW, vertical) à enregistrement galvanométrique. La régularité des pendules de contacts sont vérifiées par rapport signaux de la radio.

- 7 -

Constantes des séismographes

Mainka (M) du 1.I au 31.XII.1966

	N	E	Z
M	1050 kg	1050 kg	750 kg
T_s	6,21 sec	5,90 sec	2,00 sec
D_s	0,192	0,211	0,158
V_o	120	177	120
R	30 mm/min	30 mm/min	30 mm/min

SK-58 (SK) du 1.I au 31.XII.1966

	N	E	Z
T_s	2,37 sec	2,30 sec	2,16 sec
T_g	0,394 sec	0,540 sec	0,517 sec
D_s	0,70	0,70	0,70
D_g	3,00	3,00	3,00
σ^2	0,0234	0,0229	0,0381
V_o	1500	1500	1500
R	60 mm/min	60 mm/min	60 mm/min

STATION SÉISMOLOGIQUE À RYBNIK

Coordonnées géographiques: $\varphi = 50^{\circ}05'53''N$, $\lambda = 18^{\circ}32'01''E$, h = 250 m.

Sous-sol: sables et graviers fluvioglaciaires déposés sur des argiles plastiques miocène.

Appareils: les séismographes type SK-58 (NS, EW, vertical) à enregistrement galvanométrique. La régularité de la pendule de contact est vérifiée par rapport aux signaux de la radio.

Constantes des séismographes

SK-58 (SK) du 1.I au 31.XII.1966

	N	E	Z
T_s	2,02 sec	2,01 sec	1,91 sec
T_g	0,425 sec	0,425 sec	0,360 sec

- 6 -

SKM-3 (SKM) du 14.I au 31.XII.1966

	N	E	Z
T_s	1,583 sec	1,586 sec	1,611 sec
T_g	0,1665	0,096 sec	0,1001 sec
D_s	0,69	0,79	0,68
D_g	2,37	4,00	1,46
σ^2	46652	57355	41276
R	60 mm/min	60 mm/min	60 mm/min

STATION SÉISMOLOGIQUE À NIEDZICA

Coordonnées géographiques: $\varphi = 49^{\circ}25'25''N$, $\lambda = 20^{\circ}19'19''E$, h = 555 m.

Sous-sol: calcaire jurassique.

Appareils: Les séismographes type SK-58 (NS, EW, vertical) à enregistrement galvanométrique. La régularité de la pendule de contact est vérifiée par rapport aux signaux de la radio.

Constantes des séismographes

SK-58 (SK) du 1.I au 31.XII.1966

	N	E	Z
T_s	1,823 sec	2,01 sec	1,771 sec
T_g	0,366 sec	0,312 sec	0,426 sec
D_s	3,6266	3,4389	2,3391
D_g	4,4994	4,0718	4,8549
σ^2	0,81318	0,90393	0,94995
V_o	39500	37800	40480
R	60 mm/min	60 mm/min	60 mm/min

STATION GÉOPHYSIQUE SILÉSIENNE À RACIBÓRZ

Coordonnées géographiques: $\varphi = 50^{\circ}05'00,3''N$, $\lambda = 18^{\circ}11'39''E$, h = 209 m.

Sous-sol: argiles plastiques miocène.

Appareils: les séismographes Mainka (NS, EW, vertical) à enregistrement mécanique, les séismographes type SK-58 (NS, EW, vertical) à enregistrement galvanométrique. La régularité des pendules de contacts sont vérifiées par rapport signaux de la radio.

- 7 -

Constantes des séismographes

Mainka (M) du 1.I au 31.XII.1966

	N	E	Z
M	1050 kg	1050 kg	750 kg
T_s	6,21 sec	5,90 sec	2,00 sec
D_s	0,192	0,211	0,158
V_o	120	177	120
R	30 mm/min	30 mm/min	30 mm/min

SK-58 (SK) du 1.I au 31.XII.1966

	N	E	Z
T_s	2,37 sec	2,30 sec	2,16 sec
T_g	0,394 sec	0,540 sec	0,517 sec
D_s	0,70	0,70	0,70
D_g	3,00	3,00	3,00
σ^2	0,0234	0,0229	0,0381
V_o	1500	1500	1500
R	60 mm/min	60 mm/min	60 mm/min

STATION SÉISMOLOGIQUE À RYBNIK

Coordonnées géographiques: $\varphi = 50^{\circ}05'53''N$, $\lambda = 18^{\circ}32'01''E$, h = 250 m.

Sous-sol: sables et graviers fluvioglaciaires déposés sur des argiles plastiques miocène.

Appareils: les séismographes type SK-58 (NS, EW, vertical) à enregistrement galvanométrique. La régularité de la pendule de contact est vérifiée par rapport aux signaux de la radio.

Constantes des séismographes

SK-58 (SK) du 1.I au 31.XII.1966

	N	E	Z
T_s	2,02 sec	2,01 sec	1,91 sec
T_g	0,425 sec	0,425 sec	0,360 sec

- 8 -

D_s	0,70	0,70	0,70
D_g	3,0	3,0	3,0
σ^2	0,01205	0,01046	0,01892
V_o	1000	1000	1000
R	60 mm/min	60 mm/min	60 mm/min

STATION SÉISMOLOGIQUE DE L'OBSERVATOIRE ASTRONOMIQUE
ET DU PLANÉTARIUM À CHORZÓW

Coordonnées géographiques: $\varphi = 50^\circ 17' 33'' N$, $\lambda = 18^\circ 59' 30'' E$, $h = 316$ m.

Sous-sol: grès carbonifère.

Appareils: les séismographes Wiechert (NS, EW, vertical) à inscription mécanique, les séismographes type SK-58 (NS, EW, vertical) à enregistrement galvanométrique. La régularité de la pendule de contact Auricoste est vérifiée par rapport aux signaux de la radio.

Constantes des séismographes

Wiechert (W) du 1.I au 20.X.1966

	N	E	Z
M	1000 kg	1000 kg	1450 kg
T_s	5,30 sec	5,30 sec	1,10 sec
D_s	0,267	0,254	0,300
V_o	130	110	204
R	15 mm/min	15 mm/min	30 mm/min

Wiechert (W) du 21.X au 31.XII.1966

	N	E	Z
M	1000 kg	1000 kg	1450 kg
T_s	6,3 sec	6,2 sec	1,1 sec
D_s	0,309	0,363	0,236
V_o	125	118	210
R	15 mm/min	15 mm/min	30 mm/min

- 9 -

SK-58 (SK) du 1.I au 31.XII.1966

	N	E	Z
T_s	1,77 sec	1,75 sec	1,75 sec
T_g	0,25 sec	0,32 sec	0,47 sec
D_s	0,70	0,70	0,70
D_g	3,00	3,00	3,00
σ^2	0,0352	0,0072	0,0085
V_o	1000	1000	1000
R	60 mm/min	60 mm/min	60 mm/min

OBSERVATOIRES DE L'INSTITUT CENTRAL DES MINES
STATION SÉISMOLOGIQUE À BYTOM

Coordonnées géographiques: $\varphi = 50^\circ 21' 44'' N$, $\lambda = 18^\circ 54' 52'' E$, $h = 283$ m.

Sous-sol: sables et argiles plastiques.

Appareils: les séismographes mécaniques type Mainka (NS, EW).

STATION SÉISMOLOGIQUE À DĄBROWA GÓRNICZA

Coordonnées géographiques: $\varphi = 50^\circ 19' 45'' N$, $\lambda = 19^\circ 13' 40'' E$, $h = 275$ m.

Sous-sol: schistes carbonifère.

Appareils: les séismographes électrodynamiques type SK-58 (NS, EW, vertical).

STATION SÉISMOLOGIQUE À ZABRZE

Coordonnées géographiques: $\varphi = 50^\circ 18' 05'' N$, $\lambda = 18^\circ 47' 40'' E$, $h = 258$ m.

Sous-sol: sables et argiles plastiques.

Appareils: les séismographes électrodynamiques type SU (NS, EW, vertical).

Symboles

M - masse pendulaire

T_s - période du pendule

T_g - période du galvanomètre

D_s - amortissement du pendule

D_g - amortissement du galvanomètre

σ^2 - coefficient du couplage

V_o - amplification statique $V_o = \frac{2A}{T} \sqrt{\frac{K_s}{K_g}} \sqrt{\frac{D_s}{D_g} \frac{T_g}{T_s}} \sigma^2$

R - vitesse d'enregistrement

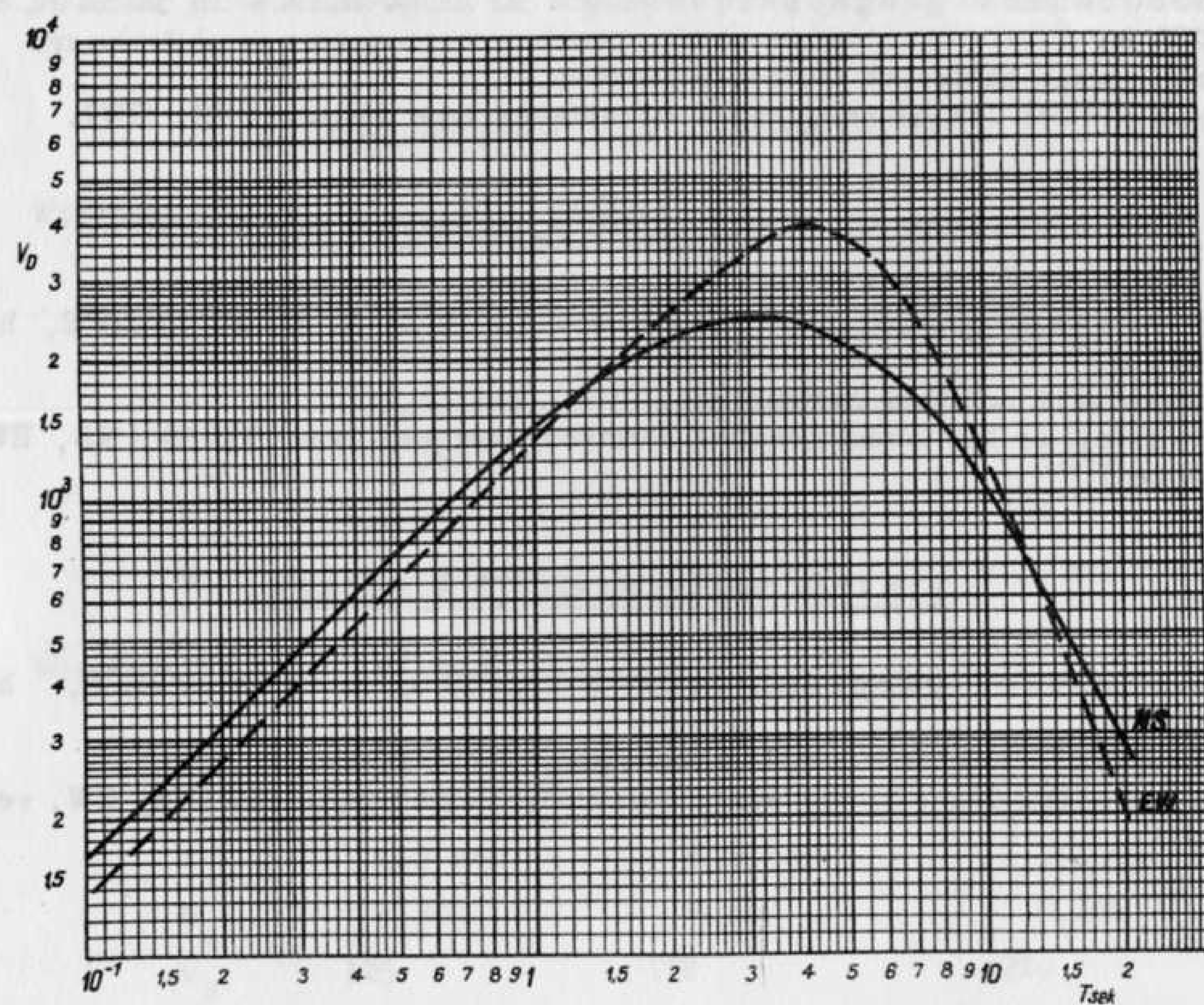


Fig. 1. L'amplification dynamique des séismographes Galitzine-Wilip Kraków, du 15.I au 31.XII.1966

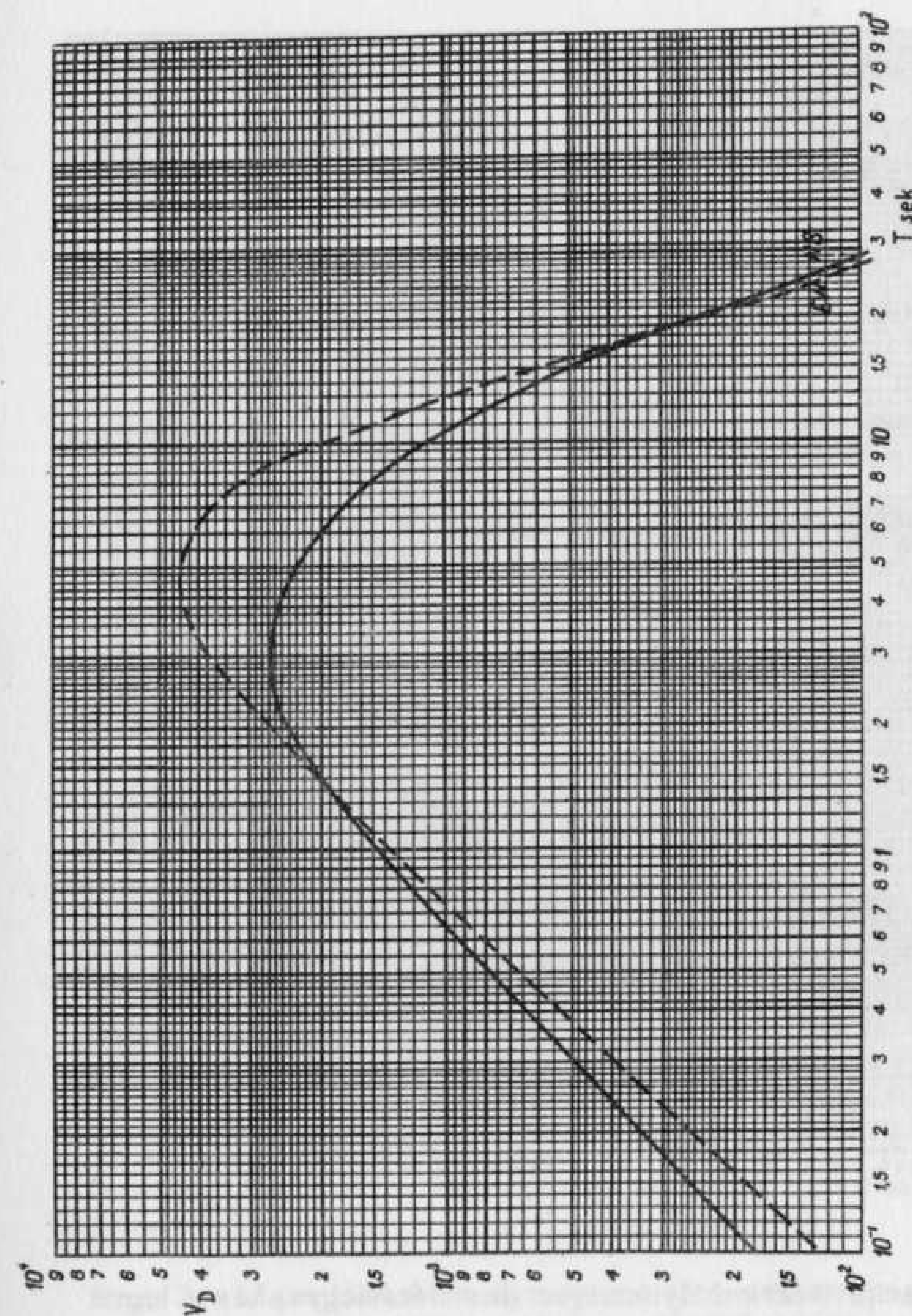


Fig. 2. L'amplification dynamique des séismographes Galitzine-Wilip Kraków, du 15.I au 31.XII.1966

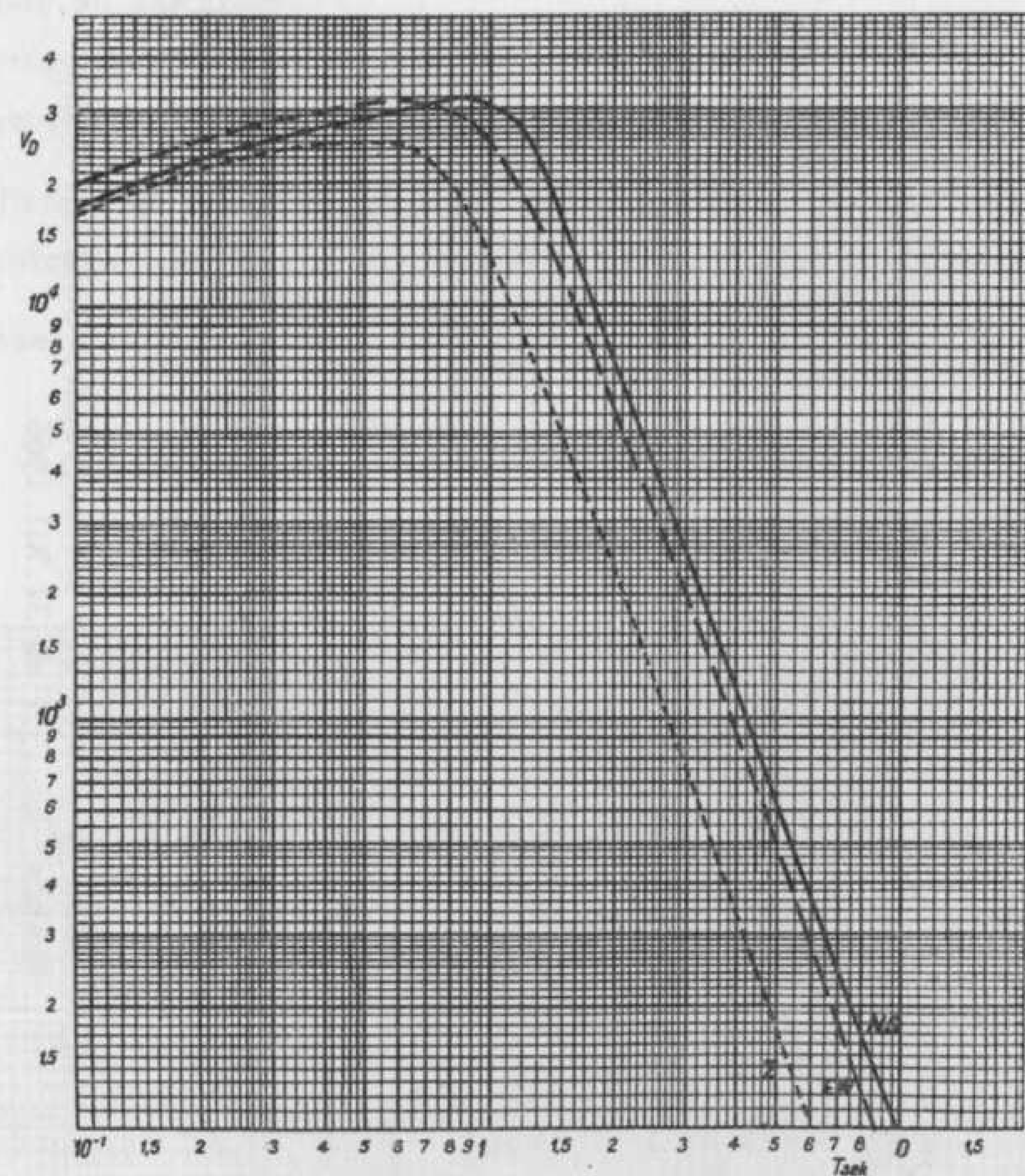


Fig. 3. L'amplification dynamique des séismographes Charin Kraków, du 1.1 au 14.1.1966

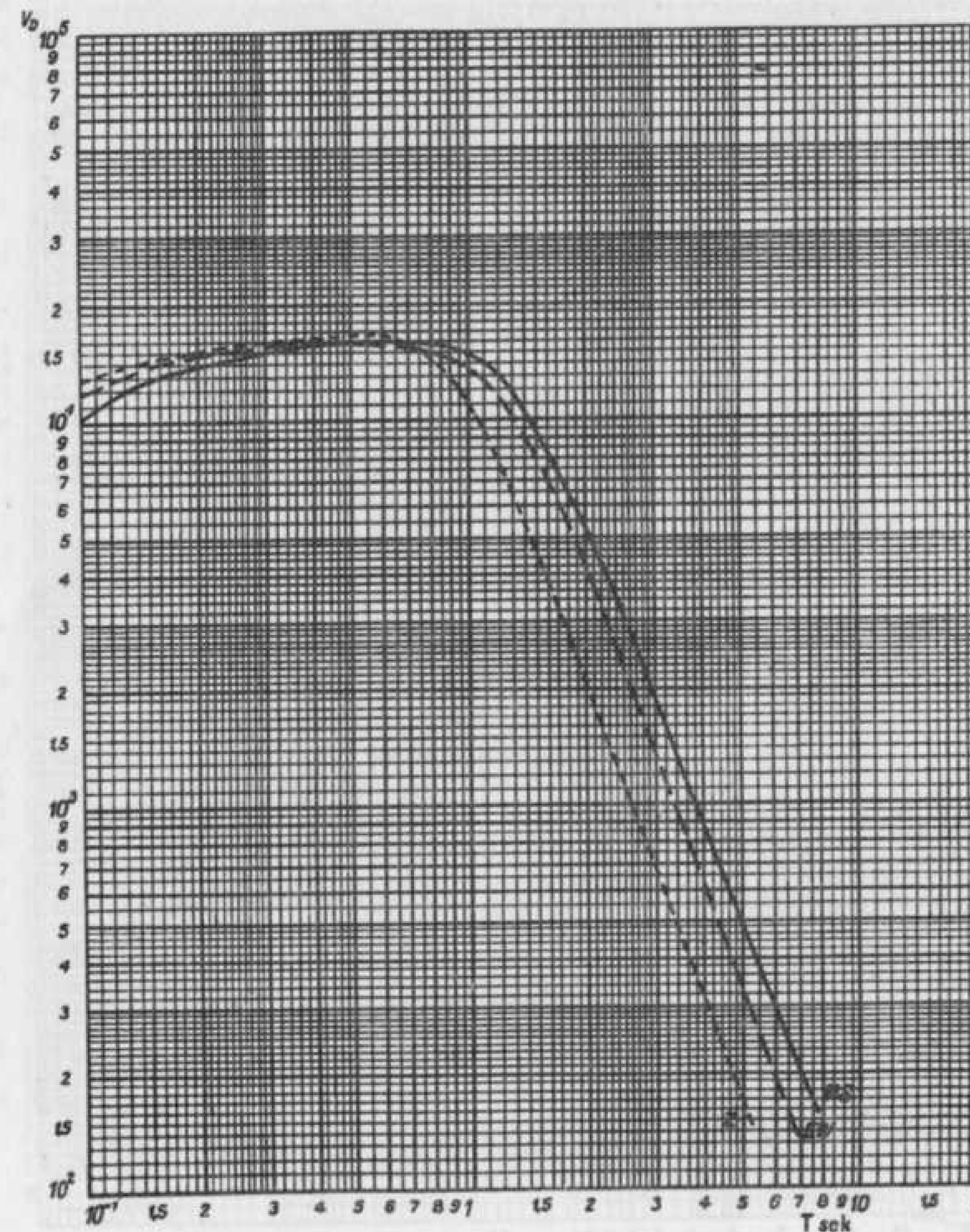


Fig. 4. L'amplification dynamique des séismographes Charin Kraków, du 15.1 au 31.XII.1966

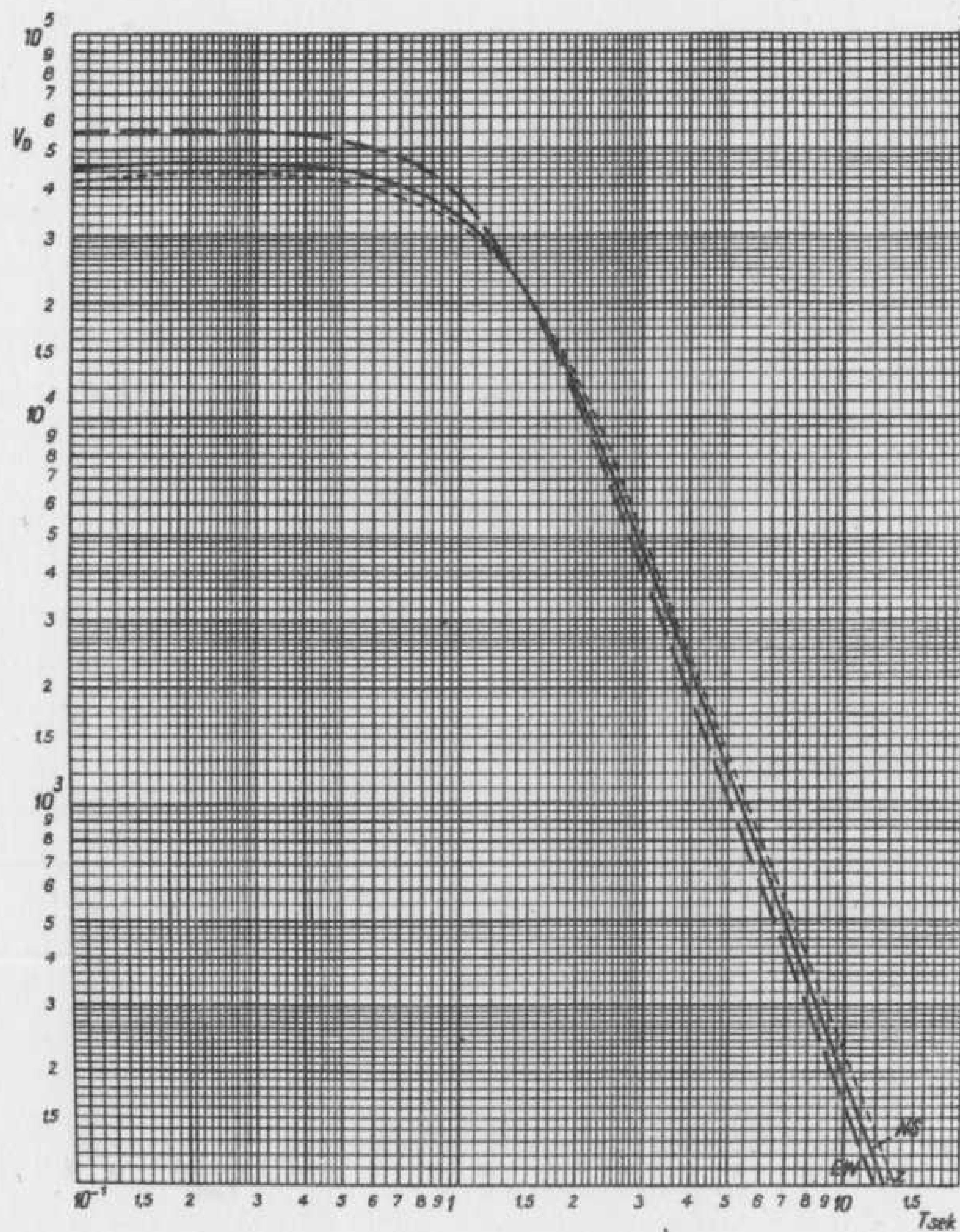


Fig. 5. L'amplification dynamique des séismographes type SKM-3
Kraków, du 1.1 au 31.1.1966

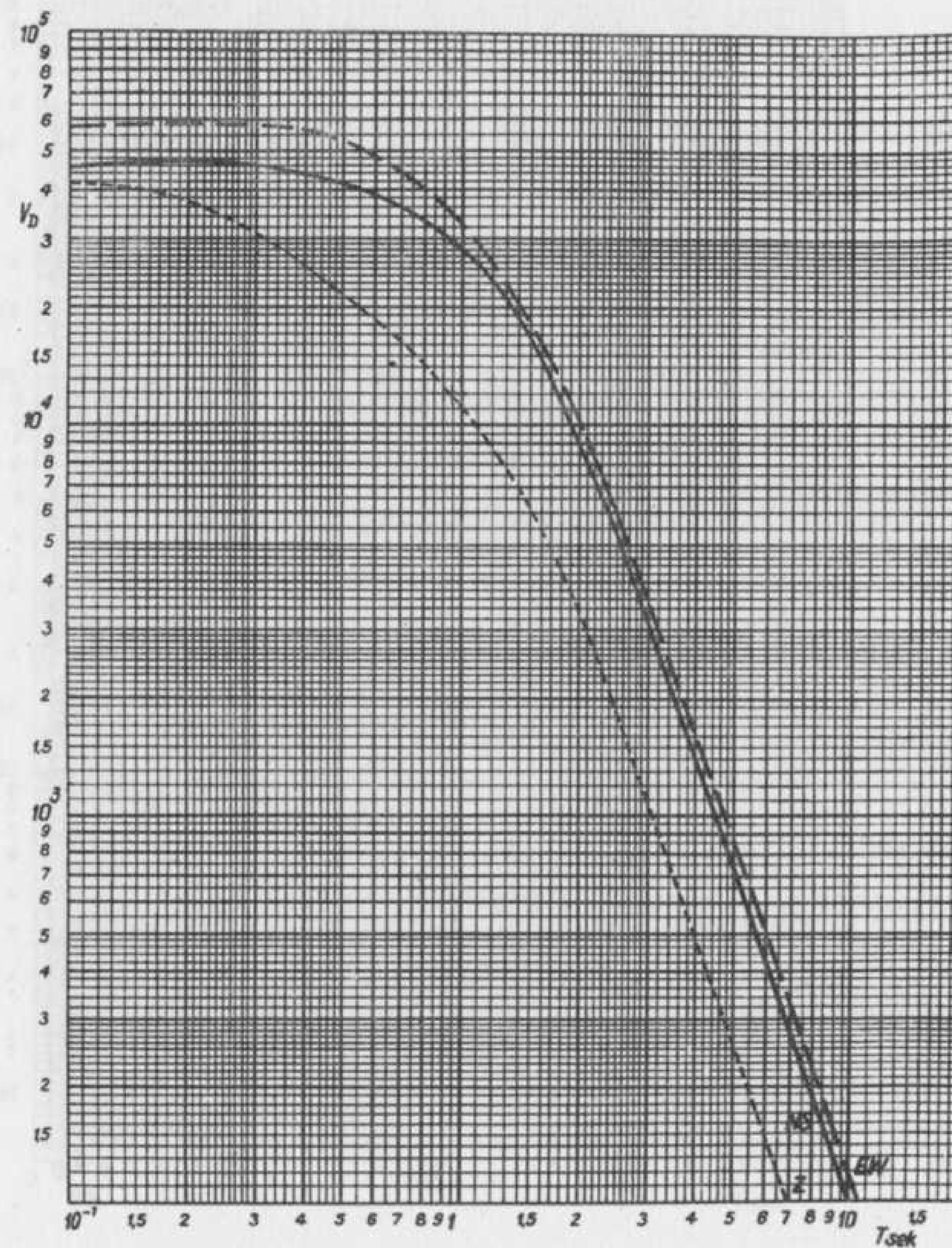


Fig. 6. L'amplification dynamique des séismographes type SKM-3
Kraków, du 14.1 au 31.XII.1966

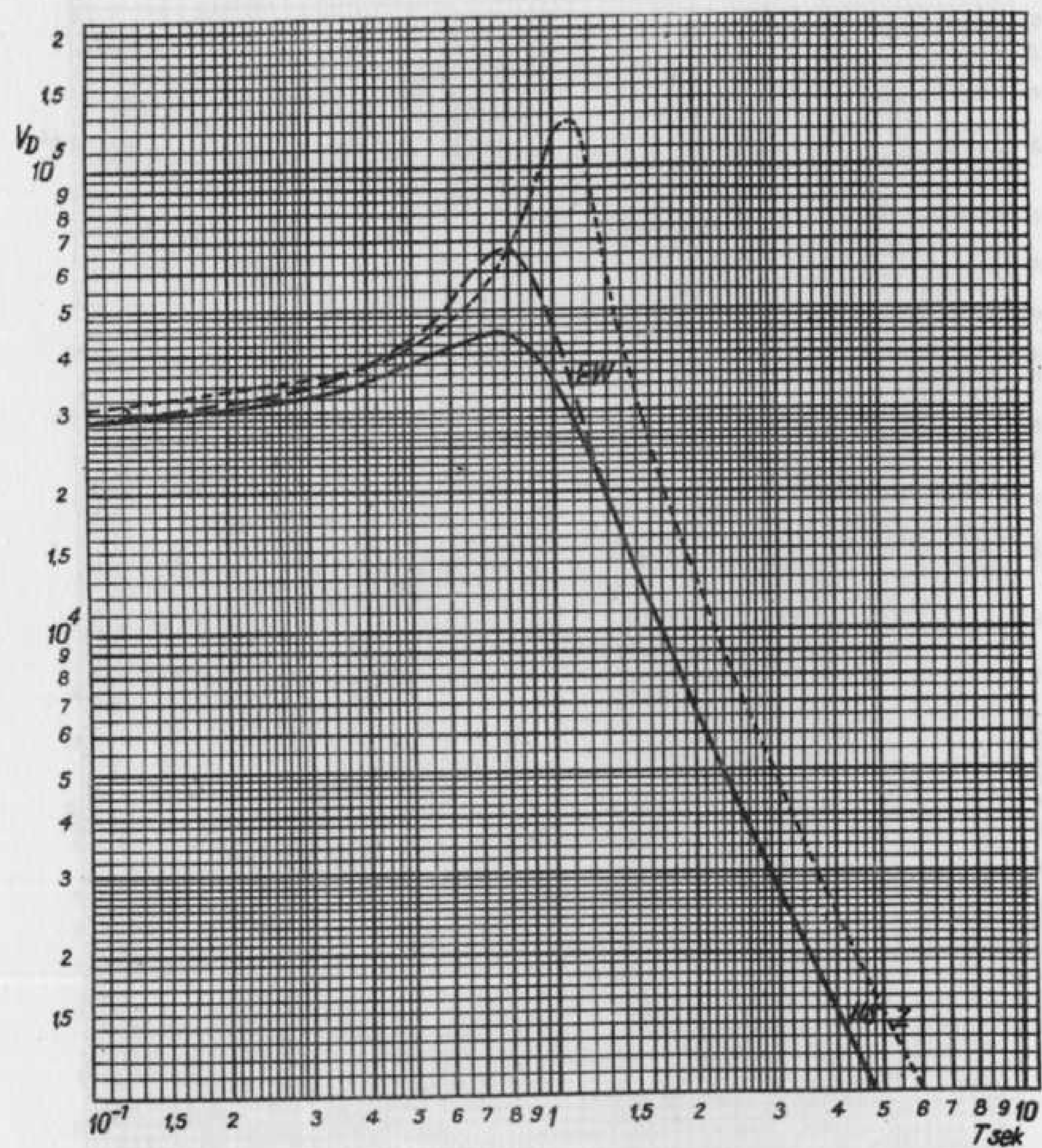


Fig. 7. L'amplification dynamique des séismographes type SK-58 Niedzica, du 1.I au 31.XII.1966

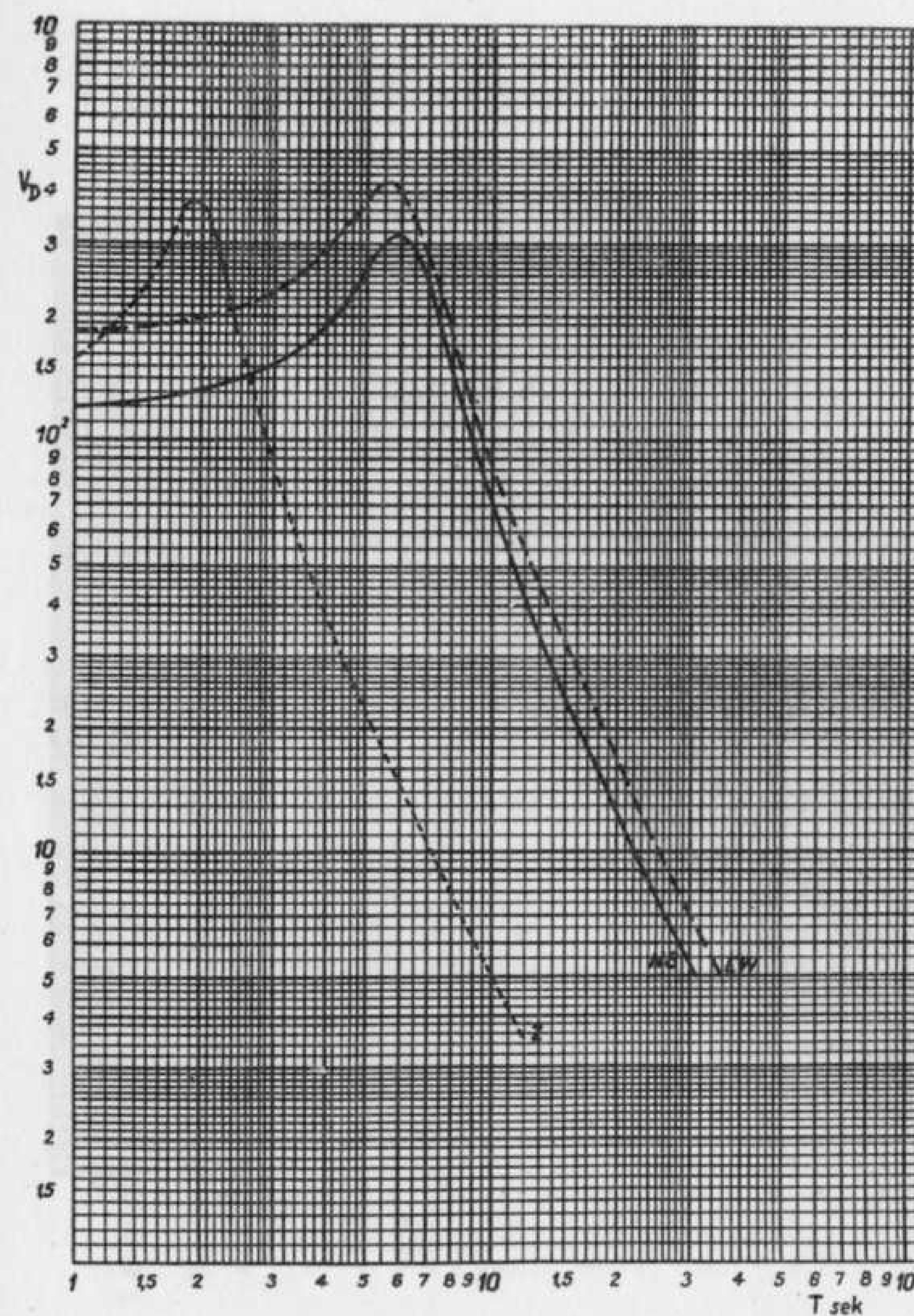


Fig. 8. L'amplification dynamique des séismographes Mainka Racibórz, du 1.I au 31.XII.1966

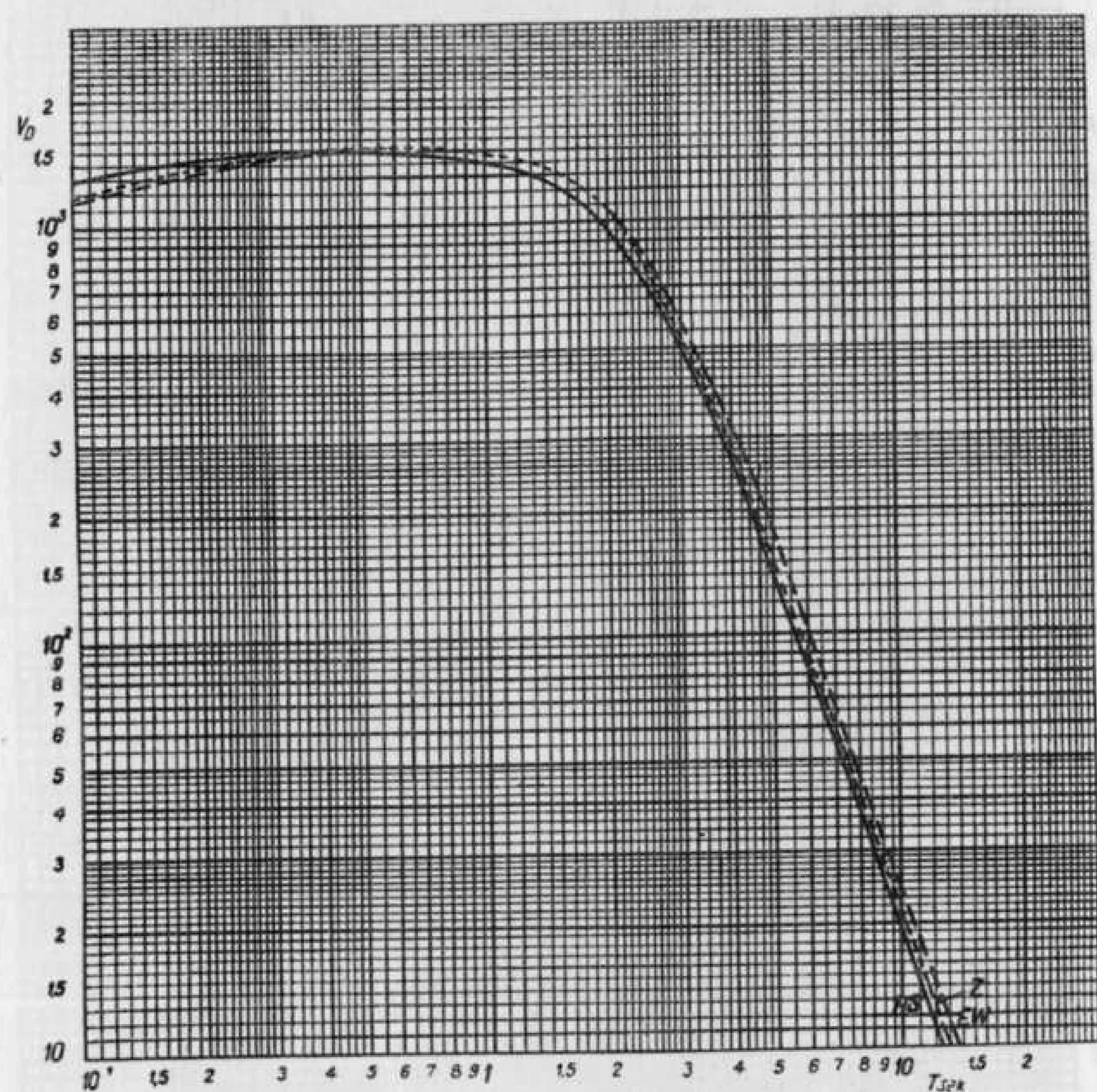


Fig. 9. L'amplification dynamique des séismographes type SK-58
Racibórz, du 1.I au 31.XII.1966

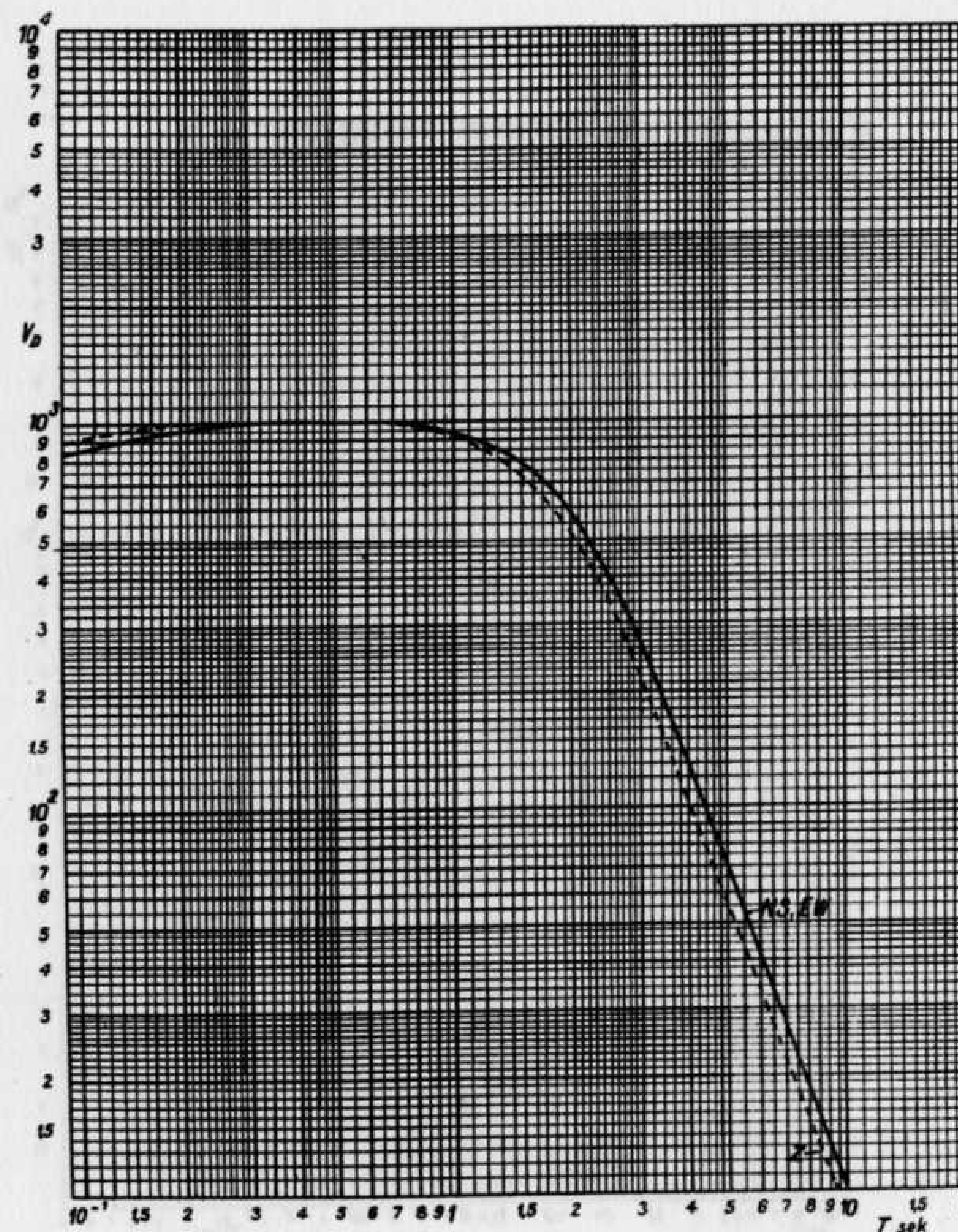


Fig. 10. L'amplification dynamique des séismographes type SK-58
Rybnik, du 1.I au 31.XII.1966

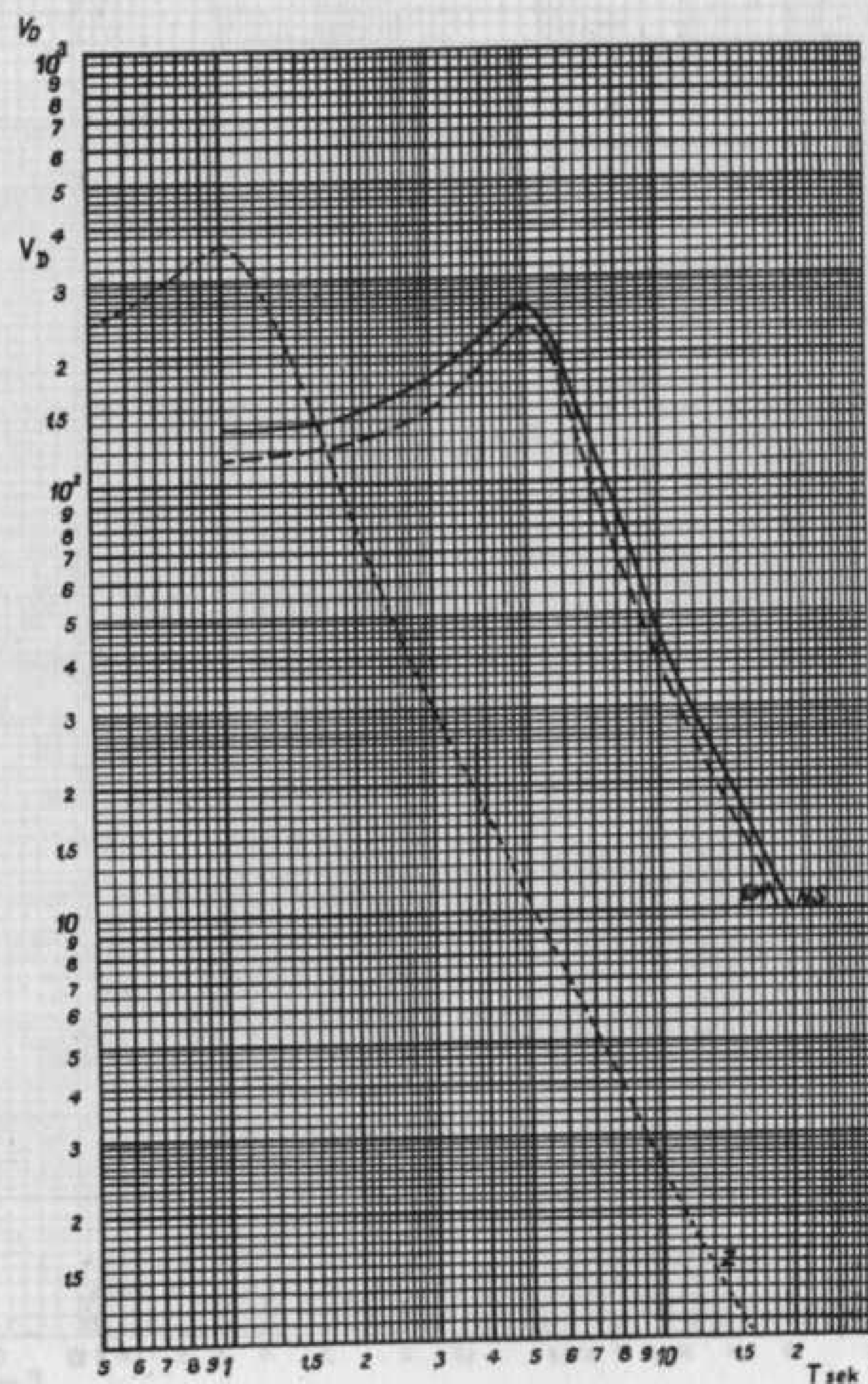


Fig. 11. L'amplification dynamique des séismographes Wiechert Chorzów, du 1.1 au 20 X.1966

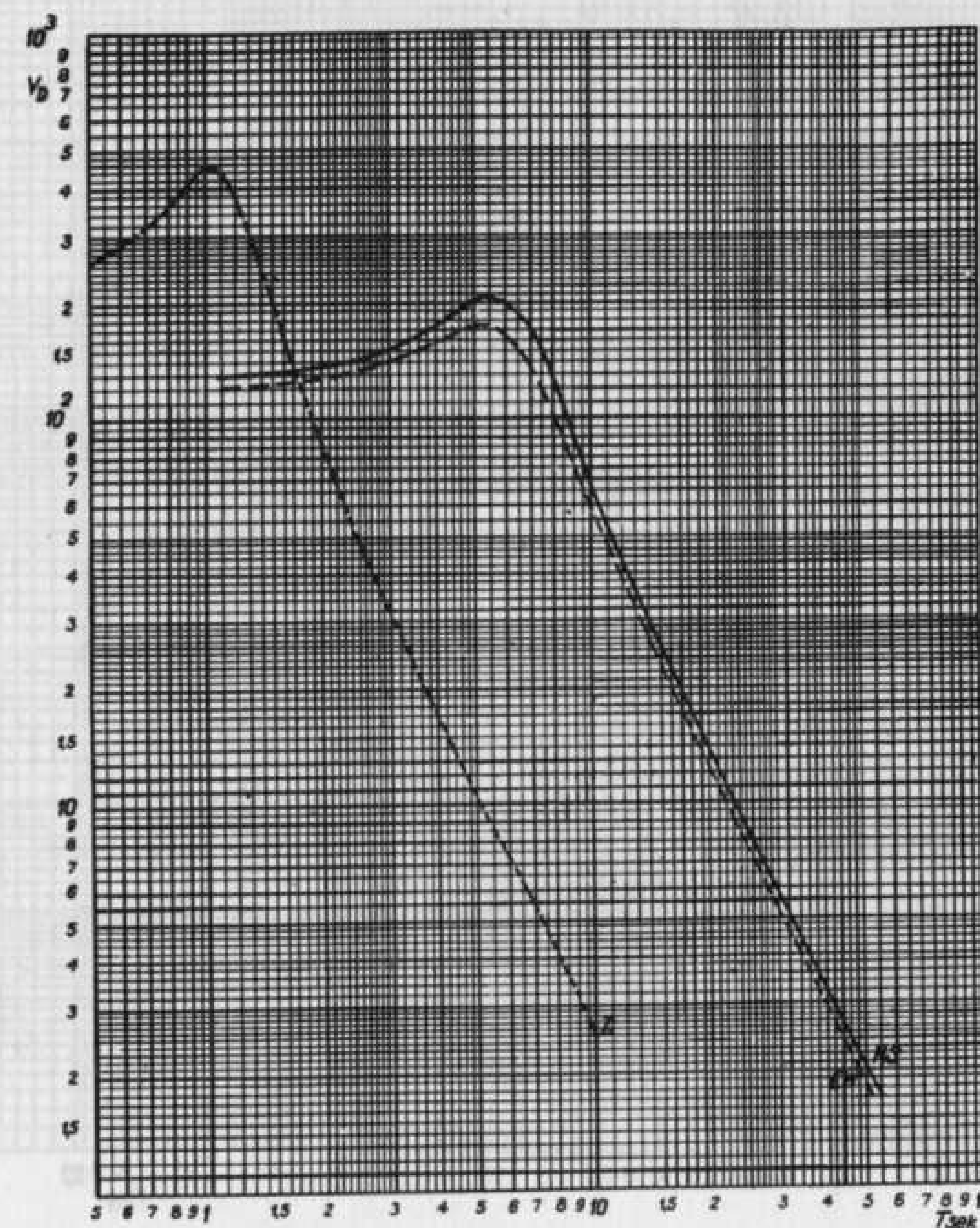


Fig. 12. L'amplification dynamique des séismographes Wiechert Chorzów, du 21.X au 31.XII.1966

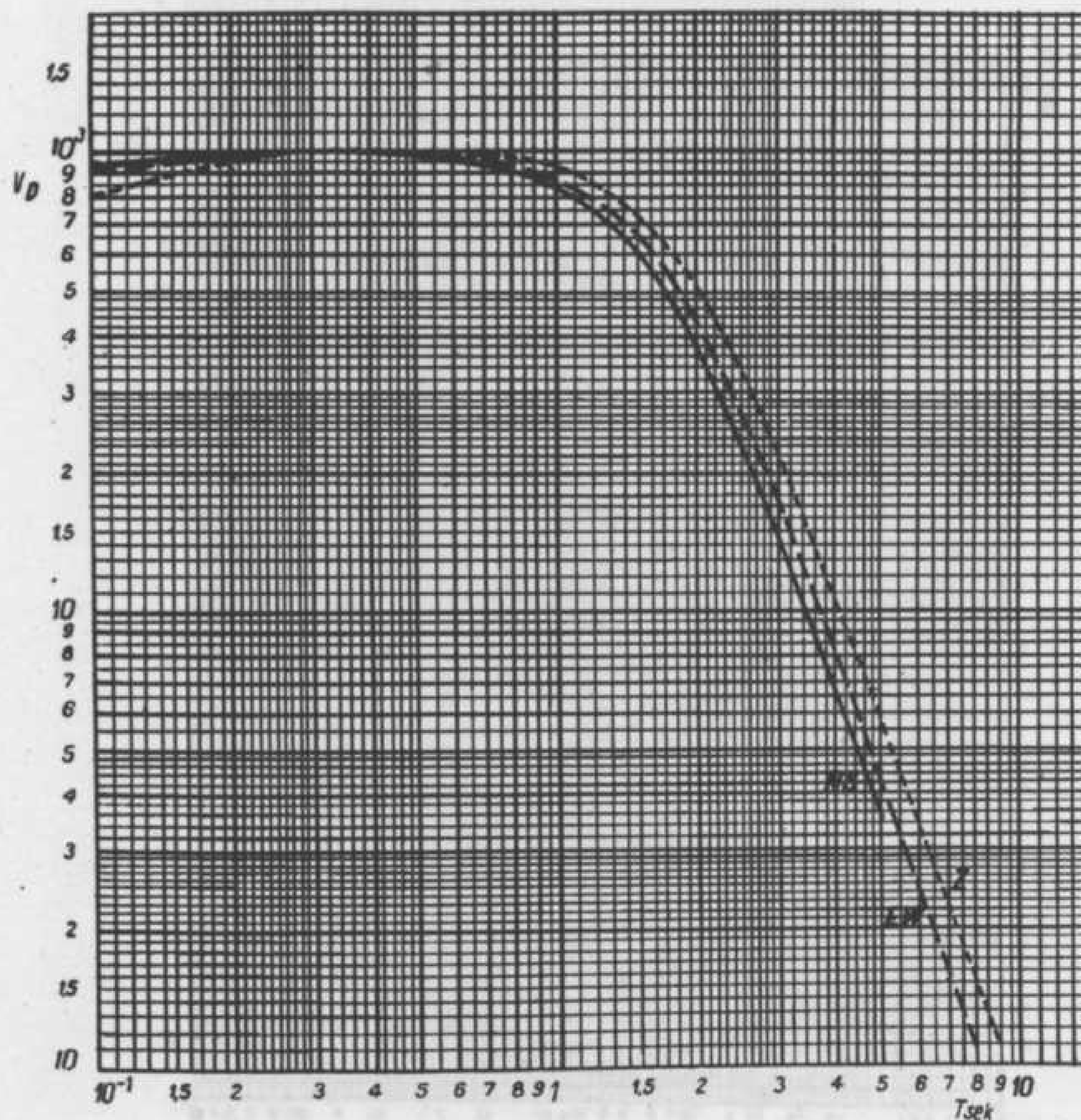


Fig. 13. L'amplification dynamique des séismographes type SK-58
Chorzów, du 1.1 au 31.XII.1966

These data are considered public domain and may be freely distributed or copied for non-profit purposes provided the project is properly quoted.

Observation point		Observation point	
No.	Name	No.	Name
1	...	1	...
2	...	2	...
3	...	3	...
4	...	4	...
5	...	5	...
6	...	6	...
7	...	7	...
8	...	8	...
9	...	9	...
10	...	10	...
11	...	11	...
12	...	12	...
13	...	13	...
14	...	14	...
15	...	15	...
16	...	16	...
17	...	17	...
18	...	18	...
19	...	19	...
20	...	20	...
21	...	21	...
22	...	22	...
23	...	23	...
24	...	24	...
25	...	25	...
26	...	26	...
27	...	27	...
28	...	28	...
29	...	29	...
30	...	30	...
31	...	31	...
32	...	32	...
33	...	33	...
34	...	34	...
35	...	35	...
36	...	36	...
37	...	37	...
38	...	38	...
39	...	39	...
40	...	40	...
41	...	41	...
42	...	42	...
43	...	43	...
44	...	44	...
45	...	45	...
46	...	46	...
47	...	47	...
48	...	48	...
49	...	49	...
50	...	50	...
51	...	51	...
52	...	52	...
53	...	53	...
54	...	54	...
55	...	55	...
56	...	56	...
57	...	57	...
58	...	58	...
59	...	59	...
60	...	60	...
61	...	61	...
62	...	62	...
63	...	63	...
64	...	64	...
65	...	65	...
66	...	66	...
67	...	67	...
68	...	68	...
69	...	69	...
70	...	70	...
71	...	71	...
72	...	72	...
73	...	73	...
74	...	74	...
75	...	75	...
76	...	76	...
77	...	77	...
78	...	78	...
79	...	79	...
80	...	80	...
81	...	81	...
82	...	82	...
83	...	83	...
84	...	84	...
85	...	85	...
86	...	86	...
87	...	87	...
88	...	88	...
89	...	89	...
90	...	90	...
91	...	91	...
92	...	92	...
93	...	93	...
94	...	94	...
95	...	95	...
96	...	96	...
97	...	97	...
98	...	98	...
99	...	99	...
100	...	100	...

RESULTATS DES ENREGISTREMENTS
DES TREMBLEMENTS DE TERRE DISTANTS

Date	Station	Phase	G.M.T. h m s	Date	Station	Phase	G.M.T. h m s
1966 J A N V I É R 1966							
2.I	Iles Tonga, USCGS: 16,0°S 174,0°E, H = 03 ^h 33 ^m 54,7 ^s , h = 33 km; mb = 4,9 (USCGS)			3.I	KRA (Ch)	Δ = 147,0° eiPKP ₁ eiPKP ₂	13 52 15 19
	NIE Δ = 143,5°. Traces ePKP 03 53 19			4.I	Région des Iles Andaman, USCGS: 12,0°N, 95,4°E, H = 07 ^h 47 ^m 00,1 ^s , h = 33 km; mb = 5,1 (USCGS)		
2.I	Au Sud de Hondo, Japon USCGS: 31,4°N, 138,2°E, H = 04 ^h 04 ^m 43,0 ^s , h = 368 km; mb = 5,2 (USCGS)			NIE	Δ = 71,2° eP		07 58 16
	KRA (SKM) Δ = 81,8° eiP 04 16 26 D ePoP 36			5.I	Région des Iles Andaman, USCGS: 13,2°N, 95,5°E, H = 17 ^h 21 ^m 27,9 ^s , h = 33 km; mb = 5,2 (USCGS), M = 5 1/2 (Moskva)		
	NIE Δ = 82,0° iP 04 16 27 D Z: 1 ^s ; 0,034μ eiPoP 34 ei 19 39			NIE	Δ = 70,5° eiP 17 32 40 ipP 51 iPoP 57		
2.I	Région des Iles Samoa, USCGS: 16,6°S, 172,3°W, H = 14 ^h 47 ^m 06,5 ^s , h = 33 km; mb = 4,9 (USCGS)			KRA (SKM)	Δ = 70,7° eP 17 32 42 epP 48 eiPoP 58 ei 33 12		
	KRA (SKM) Δ = 145,0° ePKP 15 06 43			RAC (SK)	Δ = 71,8° eP 17 32 50		
2.I	Golfe d'Athènes, BCIS: 37,6°N, 23,4°E, H = 23 ^h 12 ^m 19 ^s ; mb = 4,9 (USCGS), M = 4,6 (Athènes), 4 1/2 (Moskva)			7.I	Pruhonice: iPg 12 00 19,5 explosion de 15,2 tonnes, 50°25 N, 13°50 E		
	NIE Δ = 12,0°. Traces eP 23 15 13 ePPP 30			RAC (SK)	e _{NE} 12 01 32,8 e _Z 37,8 P 03		
	KRA (SKM) Δ = 12,7° eP 23 15 18 eiPP 32 (GW) eL 19,3			7.I	Région de la Nouvelle Bretagne, USCGS: 5,2°S, 152,6°E, H = 14 ^h 57 ^m 43,7 ^s , h = 47 km; mb = 5,3 (USCGS)		
3.I	Local			NIE	Δ = 120,5° iPKP 15 16 31 D		
	NIE eP _g NEZ 01 38 29,5 eS _g NE 32 Im _N 41 Im _{NEZ} 43			8.I	Région des Iles Philippines, USCGS: 15,7°N, 122,9°E, H = 01 ^h 06 ^m 04,6 ^s , h = 67 km; mb = 4,7 (USCGS)		
3.I	Région des Iles Fidji, USCGS: 20,6°S, 178,4°E, H = 13 ^h 33 ^m 34,6 ^s , h = 568 km; mb = 4,9 (USCGS)			NIE	Δ = 86,1°. Traces eP 01 18 44		
	NIE Δ = 147,5° iPKP ₁ 13 52 12 D			8.I	Au Sud des Iles Fidji, USCGS: 25,4°S, 179,1°W, H = 04 ^h 07 ^m 41,3 ^s , h = 387 km; mb = 4,7 (USCGS)		

Date	Station	Phases	G.M.T. h m s	Date	Station	Phase	G.M.T. h m s
8.I (suite)	NIE	Δ = 152,0°. Traces ePKP	04 26 51	11.I	KRA (GW)	eL Im	15 01 06 23
8.I	Japon, USCGS: 37,2°N, 138,4°E, H = 22 ^h 39 ^m 18,9 ^s , h = 16 km; mb = 5,4 (USCGS), M = 5 (Moskva), mPV = 5,5 (Niedzica)			12.I	NIE	Local e _Z ei(S _g)NE P	12 52 04 09 34
	KRA (SKM) Δ = 77,2° iP 22 51 16 C ePoP 24			13.I	NIE	Local eP _g NEZ eS _g NEZ e _{NEZ} Im	09 59 36,7 D 40,4 45 52
	NIE Δ = 77,4° iP 22 51 18 C Z: 1 ^s ; 0,034μ ei 21			13.I	Iles Proches, Aléoutiennes, USCGS: 52,9°N, 172,0°E, H = 10 ^h 41 ^m 11,7 ^s , h = 17 km; mb = 5,6 (USCGS)		
10.I	Iles Philippines, USCGS: 13,8°N, 120,7°E, H = 01 ^h 19 ^m 10,8 ^s , h = 124 km; mb = 5,4 (USCGS)			RAC (SK)	Δ = 74,5° eP 10 52 55		
	KRA (SKM) Δ = 86,0° eiP 01 31 40 C ePoP 48 ei 32 18			NIE	Δ = 74,6° iP 10 52 56 C eiPoP 53 17 iPP 55 45		
	NIE Δ = 86,0° iP 01 31 41 C Z: 1 ^s ; 0,060μ epP 32 17 eiPP 35 04			14.I	Proche		
	RAC (SK) Δ = 87,2°. Traces eP 01 31 46			NIE	eP _g NEZ 14 17 30,5 eL _{NEZ} 45,5 Im _{NEZ} 52 P 18 40		
11.I	Proche. Ag.mi.			15.I	Golfe de l'Alaska, USCGS: 59,5°N, 144,6°W, H = 11 ^h 59 ^m 58,9 ^s , h = 33 km; mb = 5,3 (USCGS)		
	NIE eP _g Z 10 55 43,5 e _Z 46 ei(S _g)Z 53,5			NIE	Δ = 70,0°. Traces eP 12 11 14		
11.I	Au Sud de Hondo, Japon, USCGS: 33,7°N, 137,1°E, H = 14 ^h 16 ^m 32,3 ^s , h = 33 km; mb = 5,6 (USCGS), M = 6 (Moskva)			15.I	Mer Egée, BCIS: 36,9°N, 23,5°E, H = 18 ^h 07 ^m 52 ^s ; M = 4,0 (Athènes)		
	KRA (SKM) Δ = 79,5° eP 14 28 40 ei 29 15			KRA (SKM) Δ = 13,3° eP 18 11 05 (GW) eSS 13 55			
	NIE Δ = 79,6°. Ag. mi. iP 14 28 40 C			16.I	Mer d'Andaman, USCGS: 9,1°N, 93,8°E, H = 07 ^h 07 ^m		
11.I	France, Haute-UBaye, BCIS: 44,5°N, 6,7°E, H = 14 ^h 50 ^m 36 ^s						
	KRA (GW) Δ = 10,6°. Ag. mi. eL 15 01						

Date	Station	Phase	G.M.T. h m s	Date	Station	Phase	G.M.T. h m s
16.I (suite)	KRA (SKM)	56,5 ^h , h = 33 km; mb = 5,2 (USCGS) $\Delta = 72,7^\circ$. Traces	07 19 22 32	17.I	KRA (SKM)	H = 17 ^h 50 ^m 00,8 ^s , h = 561 km; mb = 5,6 (USCGS) $\Delta = 147,0^\circ$	18 08 41 D 47
16.I	KRA (SKM)	Iles Aléoutiennes, USCGS: 52,8 ^h 0 ^m N, 172,0 ^h 0 ^m E, H = 09 ^h 11 ^m 47,1 ^s , h = 8 km; mb = 5,5 (USCGS), M = 5½ (Moskva)	09 23 30 C	17.I	RAC (SK)	$\Delta = 148,0^\circ$	18 08 43
	RAC (SK)	$\Delta = 74,1^\circ$	09 23 30 C		NIE	$\Delta = 148,0^\circ$	18 08 45 D
	NIE	$\Delta = 74,6^\circ$	09 23 32		1PKP ₁	51	09 03
	NIE	$\Delta = 74,6^\circ$	09 23 32		1PKP ₂	10 56	
		eP	09 23 32	18.I	KRA (SKM)	Iles Riou-Kiou, USCGS: 29,3 ^h 0 ^m N, 130,3 ^h 0 ^m E, H = 01 ^h 13 ^m 12,4 ^s , h = 10 km; mb = 5,3 (USCGS), M = 5 (Moskva)	01 25 23 D 39
16.I	KRA (SKM)	Belgique, BCIS: 50°27'N, 4°15'E, H = 12 ^h 32 ^m 51 ^s ; M = 4,4 (Bensberg), 3 (Prunhonic)	12 37 18	18.I	KRA (SKM)	$\Delta = 79,5^\circ$	01 25 23 D 39
	RAC (SK)	$\Delta = 10,4^\circ$	12 37 18		ePoP	39	
	KRA (SKM)	$\Delta = 8,9^\circ$. Porte ag. mi.	12 37 23	18.I	KRA (SKM)	Région des Iles Fidji, USCGS: 18,8 ^h 0 ^m S, 177,6 ^h 0 ^m W, H = 06 ^h 27 ^m 15,0 ^s , h = 389 km; mb = 5,3 (USCGS)	06 46 10 17
	KRA (SKM)	$\Delta = 10,0^\circ$	12 37 58		ePKP ₁	06 46 10	
		eS ^a	12 37 58		ei	17	
		eSg	38 22	18.I	NIE	Local	
16.I	NIE	Mer Méditerranée, au Sud de la Crète, BCIS: 32 ^h 4 ^m 0 ^s N, 25 ^h 2 ^m 0 ^s E, H = 16 ^h 54 ^m 55 ^s	18 55 54		eiP ₅	13 08 19	
	KRA (SKM)	$\Delta = 17,1^\circ$	18 55 54		ei ₂	23	
		$\Delta = 17,8^\circ$	18 56 03		ei ₂	31	
		eP	18 56 03		P	09 00	
16.I	NIE	Mer Méditerranée, au voisinage de la Crète, BCIS: 35,6 ^h 0 ^m N, 25,9 ^h 0 ^m E, H = 20 ^h 15 ^m 27 ^s ; M = 4,4 (Athènes)	15 37 31,2 39,2 38 40	18.I	NIE	Proche	15 37 31,2 52
	KRA (SKM)	$\Delta = 15,2^\circ$. Traces	15 37 31,2		eP ₅ NEZ	15 37 34,7	
		eP	20 19 04		eNEZ	52	
		ePPP	25	18.I	NIE	Traces	
17.I	NIE	Proche.	18 47 41		eP	18 47 41	
		eP _{gZ}	07 51 00,8	18.I	NIE	Carpathes, Roumanie, BCIS: 46,0 ^h 0 ^m N, 26,8 ^h 0 ^m E, H = 20 ^h 20 ^m 27 ^s , h = 60 km ca	
		eZ	16,2		$\Delta = 5,6^\circ$		
		P	52 20				
17.I	NIE	Région des Iles Fidji, USCGS: 20,9 ^h 0 ^m S, 178,5 ^h 0 ^m W,					

Date	Station	Phase	G.M.T. h m s	Date	Station	Phase	G.M.T. h m s
18.I (suite)	NIE	1Pn	20 21 50 D	20.I	NIE	21,7 ^h , h = 33 km; mb = 5,1 (USCGS)	
	KRA (SKM)	$\Delta = 6,1^\circ$	20 21 50 D			$\Delta = 75,5^\circ$	16 16 19
		2: 1 ^h ; 0,120 μ		20.I	KRA (SKM)	Région de Formose, USCGS: 22,9 ^h 0 ^m N, 121,3 ^h 0 ^m E, H = 23 ^h 37 ^m 02,8 ^s , h = 69 km; mb = 5,1 (USCGS), M = 5-5½ (Moskva)	23 49 05
		eiPn	20 21 57		NIE	$\Delta = 79,5^\circ$	23 49 05
		eiPP	22 06			$\Delta = 79,5^\circ$	23 49 06
		eiSn	23 09	21.I	NIE	Région des Iles Fidji, USCGS: 23,6 ^h 0 ^m S, 179,8 ^h 0 ^m E, H = 01 ^h 32 ^m 19,7 ^s , h = 611 km	01 51 05 D
		eiS ^a	27			$\Delta = 150,0^\circ$	01 51 05 D
18.I	KRA (SKM)	Crète, BCIS: 35,0 ^h 0 ^m N, 23,6 ^h 0 ^m E, H = 21 ^h 19 ^m 56 ^s ; M = 4,4 (Athènes)	21 23 31	21.I	NIE	Proche	
		$\Delta = 15,3^\circ$	21 23 31			eP _{gZ}	15 24 00,5
		eP	21 23 31			eS _{gZ}	19,5
		ei	39			P	26 00
		ePP	48	22.I	NIE	Anatolie, Turquie, BCIS: 37,9 ^h 0 ^m N, 30,0 ^h 0 ^m E, H = 00 ^h 23 ^m 46 ^s	
20.I	NIE	Mer Egée, BCIS: 39,0 ^h 0 ^m N, 24,4 ^h 0 ^m E, H = 00 ^h 39 ^m 00 ^s ; M = 4,4 (Athènes)	00 41 32			$\Delta = 13,4^\circ$. Traces	00 27 02
		$\Delta = 10,7^\circ$	00 41 32		KRA (SKM)	$\Delta = 14,0^\circ$	00 27 10
		eP	00 41 32			eP	19
		1PP	45			ePPP	27
		eL	45,0		(GW)	Lm	33 52
	KRA (SKM)	$\Delta = 11,4^\circ$	00 41 42			NE: 11 ^h ; 3,3 μ , 2,0 μ	
		ei	45	22.I	NIE	Région des Iles Fidji, USCGS: 18,1 ^h 0 ^m S, 178,4 ^h 0 ^m W, H = 11 ^h 01 ^m 05,2 ^s , h = 598 km; mb = 5,2 (USCGS), M = 5-5,4 (Berkeley)	
		ePP	52			$\Delta = 145,0^\circ$	11 19 36
20.I	NIE	Près de la côte W de Hondo, Japon, USCGS: 37,9 ^h 0 ^m N, 138,0 ^h 0 ^m E, H = 01 ^h 44 ^m 45,4 ^s , h = 6 km; M = 5 (Moskva), mb = 5,6 (USCGS)	01 56 40 C		KRA (SKM)	$\Delta = 145,5^\circ$	11 19 38 C
		$\Delta = 76,5^\circ$	01 56 40 C			$\Delta = 145,5^\circ$	11 19 38 C
		eP	01 56 40 C			1PKP ₁	40
		1P	01 56 41 C	22.I	NIE	Pérou, USCGS: 10,3 ^h 0 ^m S, 74,7 ^h 0 ^m W, H = 14 ^h 05 ^m 41 ^s , h = 95 km; mb = 4,2 (USCGS)	
		i	48			$\Delta = 101,2^\circ$	14 23 47
20.I	NIE	Local				1PP	14 23 47
		Traces					
		e(Pg) _N	12 30 32,5				
		e _N	38				
20.I	NIE	Proche	14 57 47,0 C				
		1P ₅ NEZ	14 57 47,0 C				
		eiNEZ	49,5				
		P	15 00				
20.I	NIE	Iles Kouriles, USCGS: 43,8 ^h 0 ^m N, 147,5 ^h 0 ^m E, H = 16 ^h 04 ^m					

Date	Station	Phase	G.M.T. h m s	Date	Station	Phase	G.M.T. h m s
22.I		Région de l'île Kodiak, USCGS: 56,0°N, 153,7°W, H = 14 ^h 27 ^m 07,9 ^s , h = 33 km; mb = 5,8 (USCGS), M = 6 (Moskva)		24.I	KRA (SKM)	Δ = 39,0°. Traces eP 02 22 53	
22.I	RAC (SK)	Δ = 73,5° eP 14 38 42 ePoP 39 02		24.I		Pakistan, USCGS: 29,9°N, 69,7°E, H = 07 ^h 23 ^m 09,7 ^s , h = 26 km; mb = 5,6 (USCGS), M = 5½ (Moskva)	
	KRA (SKM)	Δ = 73,5° eiP 14 38 42 C eiPoP 56 (GW) ePP 41 20 eS 48 20 ePS 55 eL 15 07,0 Lm 19 40 NE: 18°; 11,6μ, 10,1μ			KRA (GW)	Δ = 42,0° eP 07 31 03 eS 37 18 Lm 54 20 NE: 13°; 11°; 1,9μ, 1,0μ	
22.I		Iles Tonga, USCGS: 20,7°S, 174,6°W, H = 19 ^h 36 ^m 32,2 ^s , h = 33 km; mb = 5,0 (USCGS)		24.I		Ouest du Pakistan, USCGS: 29,9°N, 69,7°E, H = 15 ^h 32 ^m 51,7 ^s , h = 26 km; mb = 5,1 (USCGS)	
	NIE	Δ = 149,0° iPKP 19 56 16			NIE	Δ = 41,6° eiP 15 40 42 e 57	
	KRA (SKM)	Δ = 148,0°. Traces eiPKP 19 56 19		26.I		Région des Iles Philippines, USCGS: 20,1°N, 121,5°E, H = 11 ^h 18 ^m 12,0 ^s , h = 13 km; mb = 4,9 (USCGS)	
23.I		Vénétie, Italie, BCIS: 46,0°N, 12,1°E, H = 01 ^h 31 ^m 29 ^s ; M = 3,9 (Moxa)			NIE	Δ = 81,7°. Traces eP 11 30 34	
	KRA (SKM)	Δ = 6,6° ePg 01 33 42 eSg 35 03		26.I		Grèce, USCGS: 39,0°N, 21,4°E, H = 13 ^h 30 ^m 28,0 ^s , h = 48 km; mb = 4,4 (USCGS)	
	RAC (SK)	Δ = 5,8° eS _Z 01 34 28			NIE	Δ = 10,5°. Traces eP 13 32 53	
23.I		Près de la côte E de Honko, Japon, USCGS: 36,0°N, 140,6°E, H = 23 ^h 09 ^m 17,0 ^s , h = 59 km; mb = 5,1 (USCGS)		27.I		Proche	
	KRA (SKM)	Δ = 79,5° eP 23 21 19			NIE	eiPg _Z 12 12 14,5 D	
	NIE	Δ = 79,3° iP 23 21 21 D ePP 24 22		27.I		Iles aux Rats, Aléoutiennes, USCGS: 51,3°N, 178,2°E, H = 19 ^h 39 ^m 06,0 ^s , h = 42 km; mb = 5,5 (USCGS)	
24.I		Afghanistan, USCGS: 32,6°N, 67,6°E, H = 02 ^h 15 ^m 29,4 ^s , h = 52 km; mb = 5,1 (USCGS), M = 5 (Moskva)			KRA (SKM)	Δ = 76,8° eiP 19 50 58 D ePoP 51 09	
	NIE	Δ = 38,6° eiP 02 22 50 D e 58			NIE	Δ = 77,0° iP 19 51 02 D epP 19	
				28.I		Iles Fidji, USCGS: 17,6°S, 177,0°E, H = 04 ^h 36 ^m 46,1 ^s , h = 556 km; M = 5½ (Moskva); mb = 5,5 (USCGS)	

Date	Station	Phase	G.M.T. h m s	Date	Station	Phase	G.M.T. h m s
28.I (suite)	KRA (SKM)	Δ = 142,5° eiPKP ₁ 04 55 15 ePKP ₂ 18		28.I		Alpes Bernoises, Suisse, BCIS: 46,6°N, 7,6°E, H = 17 ^h 52 ^m 49 ^s ; M = 3,9 (Bensberg), 3,8 (Moxa)	
	NIE	Δ = 143,2° iPKP 04 55 17 D Z: 1°; 0,128μ			RAC (SK)	Δ = 8,0° eSS 17 56 31 eSg 57 16	
	RAC (SK)	Δ = 143,3° ePKP 04 55 18			KRA (SKM)	Δ = 9,0° e 17 57 08 eSg 47	
28.I		Nouvelles Hébrides, USCGS: 17,1°S, 168,4°E, H = 05 ^h 42 ^m 16,3 ^s , h = 23 km; mb = 5,7 (USCGS), M = 6½ (Pasadena), 6¼ (Moskva)		28.I		Près de la côte E de Kamtchatka, USCGS: 51,6°N, 157,0°E, H = 22 ^h 38 ^m 13,7 ^s , h = 122 km; mb = 5,7 (USCGS), M = 5,2 (Berkeley)	
	NIE	Δ = 138,6° eiPKP 06 01 34 eipPKP 44			KRA (SKM)	Δ = 71,8° eP 22 49 27 ePoP 37	
	KRA (SKM)	Δ = 138,5° ePKS 06 05 19 (GW) eL 50 Lm 07 02 36 NE: 20°; 10,4μ, 11,2μ		30.I		Grèce, USCGS: 38,8°N, 21,5°E, H = 06 ^h 47 ^m 00,1 ^s , h = 36 km; mb = 4,4 (USCGS)	
28.I		Région frontière URSS-Chine, USCGS: 39,4°N, 73,1°E, H = 08 ^h 52 ^m 05,0 ^s ; mb = 5,3 (USCGS), M = 5 (Moskva)			KRA (SKM)	Δ = 11,3° eP 06 49 40 eiPP 49	
	KRA (SKM)	Δ = 38,3° eiP 08 59 25 C ePP 09 00 50		31.I		Yunnan, Chine, USCGS: 27,9°N, 99,6°E, H = 02 ^h 35 ^m 05,4 ^s , h = 28 km; mb = 5,4 (USCGS), 4½-5 (Moskva)	
					KRA (SKM)	Δ = 62,5° eP 02 45 30	
F É V R I E R							
1.II				2.II		H = 05 ^h 34 ^m 05,2 ^s , h = 59 km; mb = 5,2 (USCGS), M = 5½ (Moskva)	
	NIE	eP 06 04 48,6 e 05 18			RAC (SK)	Δ = 146,5° ePKP 05 53 43 epPKP 54 02	
1.II		Ouest de l'Iran, USCGS: 34,9°N, 46,1°E, H = 07 ^h 07 ^m 50,4 ^s , h = 50 km; mb = 4,3 (USCGS)		2.II		Ouest du Pakistan, USCGS: 33,8°N, 73,1°E, H = 09 ^h 20 ^m 09,3 ^s , h = 46 km; mb = 5,1 (USCGS)	
	NIE	Δ = 23,5° eiP 07 13 02 C ei 22			NIE	Δ = 41,3° eiP 09 27 55 C ei 58	
	KRA (SKM)	Δ = 24,4° eiP 07 13 06 C ePP 31		2.II		Iles Fidji, USCGS: 21,6°E, 176,7°W, H = 17 ^h 10 ^m 34,5 ^s , h = 231 km	
2.II		Région des Iles Tonga, USCGS: 17,9°S, 173,0°W,					

Date	Station	Phase	G.M.T. h m s	Date	Station	Phase	G.M.T. h m s
2.II (suite)	NIE	$\Delta = 149,0^\circ$ iPKP ₁ ePKP ₂	17 29 56 D 30 13	4.II	Crète, USCGS: 34,3°N, 24,0°E, H = 08 ^h 38 ^m 00,5 ^s , h = 22 km; mb = 4,8 (USCGS)		
3.II		Iles Fidji, USCGS: 20,9°S, 178,3°W, H = 02 ^h 11 ^m 58 ^s , h = = 489 km; M = 4,6 (USCGS)		NIE	$\Delta = 15,3^\circ$. Traces eP e	08 41 42 42 12	
	NIE	$\Delta = 148,0^\circ$ eiPKP ₁ i ePKP ₂	02 30 48 53 57	4.II	Iles Tonga, USCGS: 21,3°S, 174,5°W, H = 09 ^h 51 ^m 08,7 ^s , h = 116 km ca; mb = 4,0 (USCGS)		
3.II		Nord de Célèbes, USCGS: 0,1°N, 123,5°E, H = 05 ^h 48 ^m 10,1 ^s , h = 165 km; mb = = 6,0 (USCGS)		NIE	$\Delta = 149,5^\circ$. Traces ePKP ei	10 10 48 52	
	NIE	$\Delta = 98,5^\circ$ eiP e iPP	06 01 31 C 42 05 37	4.II	Nouvelles Hébrides, USCGS: 15,9°S, 167,9°E, H = 10 ^h 39 ^m 11,1 ^s , h = 179 km; mb = = 5,9 (USCGS)		
	RAC (SK)	$\Delta = 99,4^\circ$ eP	06 01 37	NIE	$\Delta = 137,5^\circ$ ePKP ei epPKP	10 58 13 16 59 17	
3.II		Luçon, Iles Philippines, USCGS: 16,6°N, 120,0°E, H = 11 ^h 58 ^m 35,3 ^s , h = = 69 km; mb = 5,5 (USCGS)		4.II	Iles Tonga, USCGS: 21,3°S, 174,3°W, H = 15 ^h 36 ^m 34,0 ^s , h = 55 km; mb = 4,9 (USCGS)		
	KRA (Ch)	$\Delta = 83,5^\circ$ eP epP	12 10 59 D 11 13	NIE	$\Delta = 149,5^\circ$ eiPKP	15 56 22 C	
	NIE	$\Delta = 83,5^\circ$ iP	12 10 59 D	5.II	Grèce, BCIS: 39,0°N, 21,0°E, H = 02 ^h 01 ^m 49 ^s , M = 6,4 (Athènes), M = 6½ (Stras- bourg), 6,1 (Pruhonice), 6 (Moskva)		
3.II		Sioile, USCGS: 38,6°N, 14,8°E, H = 13 ^h 23 ^m 29,8 ^s , h = 257 km; mb = 4,2 (USCGS)		NIE	$\Delta = 10,5^\circ$ eiP ei eiSS iSg Lm	02 04 16,5 C 19 06 28 07 24 08,9	
	NIE	$\Delta = 11,5^\circ$ eiP	13 26 08		NE: 5,5°; 27µ, 44µ $\Delta = 11,1^\circ$		
3.II		Formose, USCGS: 24,2°N, 121,9°E, H = 17 ^h 11 ^m 49,4 ^s , h = 33 km; mb = 5,2 (USCGS)		KRA (GW)	iP ePP ePPP iS	02 04 26 40 49 06 31	
	NIE	$\Delta = 78,8^\circ$ eP	17 23 22	RAC (M)	$\Delta = 11,4^\circ$ eP ePP Lm	02 04 27 49 09,4	
3.II		Formose, USCGS: 24,2°N, 121,8°E, H = 17 ^h 21 ^m 08,5 ^s , h = 44 km; mb = 5,2 (USCGS)			NE: 4°; 69µ, 62µ		
	NIE	$\Delta = 78,8^\circ$ eP epP	17 33 09 20				

Date	Station	Phase	G.M.T. h m s	Date	Station	Phase	G.M.T. h m s
5.II		Grèce, réplique, BCIS: H = 02 ^h 58 ^m 01 ^s ; M = 4,9 (Athènes)		5.II	(GW)	ePoP ePP eiPPP eiS eL Lm	15 23 56 25 44 27 21 32 08 45,5 49 39
	NIE	$\Delta = 10,5^\circ$ eiP eiPP	03 00 30 43			N: 16°; 41µ Lm	45
	KRA (Ch)	$\Delta = 11,1^\circ$ eP eiPP eS	03 00 41 51 02 46		RAC (SK)	$\Delta = 67,0^\circ$ eP	15 23 26
5.II		Proche, Pruhonice: ePg 12 32 14		5.II		Iles Kouriles, USCGS: 50,0°N, 155,4°E, H = 16 ^h 16 ^m 01,9 ^s , h = 104 km; mb = 5,9 (USCGS), 5½-6 (Moskva)	
	KRA (Ch)	ePg _{NEZ} ei(Sg) _{NEZ}	12 31 51,1 32 05,6		KRA (Ch)	$\Delta = 72,7^\circ$ iP	16 27 23 C
	NIE	ePg _{NEZ} Lm	12 31 53,5 32 13		NIE	$\Delta = 73,3^\circ$ iP	16 27 26 C
5.II		Proche, Pruhonice: e 13 59 41			RAC (SK)	$\Delta = 73,3^\circ$ eP	16 27 28
	NIE	Traces eiP _{NEZ} ei _{NE}	13 58 30,5 50,5	6.II		Yunnan, Chine, USCGS: 26,3°N, 103,1°E, H = 09 ^h 13 ^m 21,7 ^s , h = 14 km; mb = = 5,4 (USCGS)	
5.II		Proche, Pruhonice: e 14 28 46			NIE	$\Delta = 65,5^\circ$ eiP	09 24 10 D
	NIE	ePg _{NZ} ei _{EZ} Lm	14 28 05,5 11 29	6.II		Péninsule de l'Alaska, USCGS: 60,4°N, 152,3°W, H = 23 ^h 28 ^m 07,7 ^s , h = = 91 km; mb = 5,3 (USCGS)	
	KRA (Ch)	eip _{NEZ} ei(Sg) _{NEZ} i _{NEZ}	14 28 09,2 D 26,6 29,6		KRA (Ch)	$\Delta = 69,0^\circ$ eiP	23 39 10 C
	RAC (SK)	Traces NEZ	15 28-31		NIE	$\Delta = 69,7^\circ$ eiP epP	23 39 14 C 26
5.II		Yunnan, Chine, USCGS: 26,2°N, 103,1°E, H = 15 ^h 12 ^m 33,0 ^s , h = 35 km; M = = 6½-6¾ (Moskva); mb = = 6,0 (USCGS), MLH = 6,8 (Kraków)		7.II		Ouest du Pakistan, USCGS: 29,9°N, 69,7°E, H = 04 ^h 26 ^m 10,6 ^s , h = 10 km; M = 6½ (Moskva), 6¼-6½ (Pasa- dena), MLH = 6,3 (Kraków)	
	NIE	$\Delta = 65,6^\circ$ eiP ei	15 23 17 D 37		NIE	$\Delta = 41,6^\circ$ eiP ei	03 34 02 C 11
	KRA (Ch)	$\Delta = 65,8^\circ$ eiP i	15 23 17 D 21				
	(GW)	eipP	28				

Date	Station	Phase	G.M.T. h m s	Date	Station	Phase	G.M.T. h m s
7.II (suite)	KRA (Ch)	$\Delta = 42,0^\circ$	04 34 05	7.II	KRA (Ch)	$\Delta = 42,0^\circ$	23 14 29 C
	i		08		eiP		34
	(GW)	ei	13		ePoP		16 21
		eiPP	35 35		eiPPP		35
		eiPoP	36 07		(GW) eiS		20 51
		i	37-24		Lm		35 30
		eiS	40 26			E: 9° ; $9,2\mu$	
		Lm	55 09		Lm		36 00
						N: 12° ; $14,6\mu$	
					RAC	$\Delta = 43,0^\circ$	
					(SK) eP		23 14 40
	RAC (SK)	$\Delta = 43,0^\circ$	04 34 15		eS		21 10
7.II		Quest du Pakistan, USCGS: $30,0^\circ N, 69,9^\circ E, H = 05^h$ $21^m 45,0^s, h = 13 \text{ km}; M = 5$ $= 5\frac{1}{2}$ (Moskva), $mb = 5,4$ (USCGS)		8.II		Quest du Pakistan, USCGS: $30,0^\circ N, 69,9^\circ E, H = 00^h$ $11^m 31,7^s, h = 36 \text{ km}; mb = 4,1$ (USCGS)	
	NIE	$\Delta = 41,6^\circ$	05 29 38 D		NIE	$\Delta = 41,6^\circ$. Traces	
		eiP	40		eP		00 19 22
		ei	50	8.II		Région des Iles Fidji, USCGS: $21,2^\circ S, 178,6^\circ W, H = 10^h 02^m 10,6^s, h = 544 \text{ km}; mb = 5,3$ (USCGS)	
	KRA (Ch)	$\Delta = 42,0^\circ$	05 29 42		NIE	$\Delta = 148,0^\circ$	
7.II		Quest du Pakistan, USCGS: $30,0^\circ N, 69,8^\circ E, H = 05^h$ $30^m 15,5^s, h = 23 \text{ km}; M = 5$ (Moskva), $mb = 5,4$ (USCGS)			eiPKP ₁		10 20 56
	KRA (Ch)	$\Delta = 42,0^\circ$	05 38 12		eiPKP ₂		21 02
	RAC (SK)	$\Delta = 43,0^\circ$	05 38 18		ei		26
7.II		Quest du Pakistan, USCGS: $30,1^\circ N, 70,0^\circ E, H = 08^h$ $38^m 10,5^s, h = 9 \text{ km}; mb = 4,7$ (USCGS)		8.II		Région frontière Grèce-Bulgarie, USCGS: $41,1^\circ N, 25,0^\circ E, H = 20^h 08^m 05,0^s, h = 33 \text{ km}; mb = 4,9$ (USCGS), $M = 4\frac{1}{2}$ (Moskva)	
	NIE	$\Delta = 41,6^\circ$	08 46 03		NIE	$\Delta = 8,9^\circ$	
		eP			eiP		20 10 15,1 D
7.II		Quest du Pakistan, USCGS: $30,3^\circ N, 69,9^\circ E, H = 23^h$ $06^m 34,7^s, h = 11 \text{ km}; M = 6\frac{1}{2}$ (Palisades), $MLH = 6,2$ (Kraków)			KRA (Ch)	$\Delta = 9,6^\circ$	
	NIE	$\Delta = 41,5^\circ$	23 14 26 C		eP		20 10 24 D
		i	34		ePP		32
		iS	20 46		eiS		12 14
					RAC (SK)	$\Delta = 10,1^\circ$. Traces	
					e(S)		20 12 20
				9.II		Quest du Pakistan, USCGS: $29,9^\circ N, 69,8^\circ E, H = 08^h$ $22^m 17,7^s, h = 28 \text{ km}; mb = 5,2$ (USCGS)	
					NIE	$\Delta = 41,6^\circ$	
					eiP		08 30 08 C
					eipP		16

Date	Station	Phase	G.M.T. h m s	Date	Station	Phase	G.M.T. h m s
9.II	NIE	Local		10.II		(Pasadena, Berkeley), $6\frac{1}{4}$ (Moskva)	
		ePg ₂	13 02 33		KRA	$\Delta = 94,7^\circ$	
		ei ₂	44		(SKM) eiP		14 34 31
9.II		Proche. Pruhonice: eiPg	13 59 00		eipP		52
	RAC (SK)	eNEZ	13 58 42		ei		38 33
9.II		Région de Hondo, Japon, USCGS: $32,6^\circ N, 141,6^\circ E, H = 23^h 33^m 00,7^s, h = 48 \text{ km}; mb = 4,7$ (USCGS)			(GW) eiPPP		40 28
	KRA (SKM)	$\Delta = 82,5^\circ$	23 45 21 C		eiSKKS		45 23
	NIE	$\Delta = 82,5^\circ$	23 45 24 C		ei		56
		eiP	38		eL		15 07,5
		epP			Lm		10 23
10.II		Région de Hondo, Japon, USCGS: $31,1^\circ N, 141,6^\circ E, H = 05^h 29^m 13,6^s, h = 33 \text{ km}; M = 5\frac{1}{2}$ (Moskva), $mb = 5,3$ (USCGS)				N: 25° ; 25μ	
	KRA (SKM)	$\Delta = 83,7^\circ$	05 41 44		Lm		35
	(GW) eS		? 06			E: 25° ; 24μ	
		eL	06 16,5		NIE	$\Delta = 95,0^\circ$	
	NIE	$\Delta = 84,0^\circ$	05 41 45		eiP		14 34 33 C
		eiP	42 05		eipP		48
	RAC (SK)	$\Delta = 84,3^\circ$	05 41 47		ei		38 37
		eP			RAC (SK)	$\Delta = 95,5^\circ$	
10.II		Région de l'île Kodiak, USCGS: $56,6^\circ N, 153,4^\circ W, H = 12^h 38^m 51,6^s, h = 33 \text{ km}; mb = 4,3$ (USCGS)			eP		14 34 35
	NIE	$\Delta = 78,5^\circ$. Traces	12 50 28		epP		47
		eP			ePP		38 27
10.II		Grèce, USCGS: $39,0^\circ N, 21,7^\circ E, H = 13^h 21^m 45,0^s, h = 33 \text{ km}; mb = 4,5$ (USCGS)		10.II		Iles Tonga, USCGS: $19,4^\circ S, 173,1^\circ W, H = 14^h 58^m 04,4^s, h = 12 \text{ km}; mb = 5,0$ (USCGS)	
	NIE	$\Delta = 10,4^\circ$. Traces	13 24 21		NIE	$\Delta = 148,0^\circ$	
		ePP	29		ePKP ₁		15 17 50
10.II		Région des Iles Mariannes, USCGS: $20,8^\circ N, 146,3^\circ E, H = 14^h 21^m 11,2^s, h = 46 \text{ km}; mb = 6,2$ (USCGS), $M = 6\frac{1}{2}$		10.II		Iles Kouriles, USCGS: $47,2^\circ N, 150,8^\circ E, H = 20^h$ $13^m 35,5^s, h = 180 \text{ km ca}; mb = 5,3$ (USCGS)	
					NIE	$\Delta = 74,0^\circ$	
					eP		20 24 57 D
					eipP		25 43
				11.II		Traces	
					e		05 42 57
					KRA	Traces	
					(GW) e		05 43 42
				11.II		Proche	
					NIE	iPg ₂	07 57 49,0
						e(Sg) _{NEZ}	58 04,5
						eNEZ	10
						F	59 30
				11.II		Proche	
					NIE	ePg ₂	12 34 35
						ei ₂	37,5

Date	Station	Phase	G.M.T. h m s	Date	Station	Phase	G.M.T. h m s
11.II (suite)	NIE	e _{1z} e _{1S} _{NEZ} P	12 34 37,5 56,0 36 30	13.II	KRA (SKM)	$\Delta = 36,5^\circ$ 1P e ₁ e ₁ PP e ₁ PoP	05 05 08 C 14 06 24 07 36
12.II	NIE	Proche eP _z e _{NEZ} e _S _{NEZ} Lm	09 00 36,0 38,5 47,5 56		NIE	$\Delta = 36,2^\circ$ 1P 1 1 e ₁	05 05 09 C 18 30 06 15
		NEZ: 1 ^a ; 0,058 μ , 0,056 μ , 0,021 μ			RAC (SK)	$\Delta = 37,5^\circ$ e ₁ P	05 05 17
12.II		Iles Tonga, USCGS: 18,3 ^o S, 174,8 ^o W, H = 11 ^h 39 ^m 27,1 ^s , h = 203 km; mb = 5,6 (USCGS)		13.II		Ile Jan Mayen, USCGS: 71,9 ^o N, 0,6 ^o W, H = 10 ^h 48 ^m 21 ^s , h = 33 km; mb = 4,8 (USCGS)	
	KRA (Ch)	$\Delta = 146,0^\circ$ ePKP ₁ ePKP ₂	11 58 45 54		NIE	$\Delta = 24,2^\circ$. Traces eP epP	10 53 42,5 50,5
	RAC (SK)	$\Delta = 146,5^\circ$ ePKP ₁	11 58 48	13.II		Yunnan, Chine, USCGS: 26,1 ^o N, 103,2 ^o E, H = 10 ^h 44 ^m 41,3 ^s , h = 33 km ca; mb = 5,7 (USCGS), M = = 5 $\frac{1}{2}$ - 6 (Palisades), MLH = = 6,2 (Kraków)	
	NIE	$\Delta = 146,7^\circ$ 1PKP ₁ 1PKP ₂	11 58 52 D 59		NIE	$\Delta = 65,8^\circ$ eP 1	10 55 28 30
12.II		Grèce, USCGS: 38,9 ^o N, 21,6 ^o E, H = 13 ^h 36 ^m 18,3 ^s , h = 17 km; mb = 4,6 (USCGS)			KRA (SKM)	$\Delta = 66,0^\circ$ e ₁ P ePoP	10 55 28 C 57
	NIE	$\Delta = 10,4^\circ$ eP ePP ePPP	13 38 55 39 07 16		(GW)	e ₁ S eL Lm	11 04 20 18,0 21 56
	KRA (SKM)	$\Delta = 11,1^\circ$ eP e ₁ PP	13 39 04 12			E: 10 ^s ; 1,5 μ Lm	22 05
12.II		Région frontière Afghani- stan-URSS; USCGS: 36,7 ^o N, 71,5 ^o E, H = 16 ^h 34 ^m 10,5 ^s , h = 175 km; mb = 4,9 (USCGS)			RAC (SK)	$\Delta = 67,0^\circ$ eP	10 55 37
	NIE	$\Delta = 38,6^\circ$ 1P	16 41 21 D	13.II		Ouest du Pakistan, USCGS: 30,0 ^o N, 69,7 ^o E, H = 19 ^h 09 ^m 44,7 ^s , h = 9 km; mb = = 5,1 (USCGS)	
	KRA (Ch)	$\Delta = 39,0^\circ$. Traces e ₁ P	16 41 22		NIE	$\Delta = 41,5^\circ$ e ₁ P e e ₁	19 17 37 C 18 03 20 18
13.II		Kazakistan, URSS; USCGS: 49,8 ^o N, 78,1 ^o E, H = 04 ^h 57 ^m 57,9 ^s , h = 0; mb = 6,2 (USCGS), M = 6,7 (Moxa), 6,3 (Uppsala)			KRA (SKM)	$\Delta = 41,8^\circ$. Traces eP e ₁	19 17 39 18 05
					(GW)	eL	36,5

Date	Station	Phase	G.M.T. h m s	Date	Station	Phase	G.M.T. h m s
14.II		Ouest du Pakistan, USCGS: 29,9 ^o N, 69,7 ^o E, H = 05 ^h 41 ^m 05,9 ^s , h = 16 km; mb = = 4,8 (USCGS)		15.II	NIE	$\Delta = 151,5^\circ$. Traces ePKP	22 33 32
	NIE	$\Delta = 41,5^\circ$ eP	05 48/58/	15.II		Région des Iles Fidji, USCGS: 26,4 ^o S, 178,3 ^o E, H = 22 ^h 34 ^m 07,2 ^s , h = = 617 km; mb = 5,9 (USCGS)	
14.II		Mer Méditerranée, à l'Est de la Crète, USCGS: 34,9 ^o N, 27,1 ^o E, H = 17 ^h 57 ^m 49,2 ^s , h = 38 km; mb = 5,0 (USCGS)			NIE	$\Delta = 151,5^\circ$ ePKP ₁ e ₁ 1PKP ₂ epPKP	22 52 47 53 53 05 55 12
	NIE	$\Delta = 15,3^\circ$ eP e ePP ePPP	18 01 25 34 44 52	16.II		Nouvelles Hébrides, USCGS: 17,7 ^o S, 168,1 ^o E, H = 03 ^h 18 ^m 27,7 ^s , h = 34 km; M = = 6 $\frac{1}{2}$ (Moskva), 6 $\frac{1}{2}$ (Pa- sadena)	
	Kra (SKM)	$\Delta = 16,0^\circ$ e ₁ P e ₁ PP	18 01 36 47		NIE	$\Delta = 139,0^\circ$ e e ₁ PKP e	03 37 44 51 40 25
	(GW)	eL	08,4		KRA (SKM)	$\Delta = 139,7^\circ$ e ₁ PKP	03 37 52
14.II		Grèce, réplique du séisme du 5.II à 02 ^h 01 ^m , BCIS: 38,9 ^o N, 21,7 ^o E, H = 20 ^h 16 ^m 59 ^s			(GW)	ePP Lm	40 45 04 39 26
	NIE	$\Delta = 10,6^\circ$ eP ePP ePPP	20 19 30 42 48			NE: 20 ^s ; 18 ^s ; 24,5 μ , 8,9 μ	
	KRA (GW)	$\Delta = 11,2^\circ$. Traces eP	20 19 45		RAC (SK)	$\Delta = 139,6^\circ$ ePKP ePP ePKS	03 37 52 40 49 41 28
15.II		Iles Riou-Kiou, USCGS: 27,7 ^o N, 129,0 ^o E, H = 01 ^h 28 ^m 16,3 ^s , h = 33 km; mb = = 5,1 (USCGS)		16.II		Pruhonice: e ₁ 11 ^h 05 ^m 41,5 ^s	
	NIE	$\Delta = 80,1^\circ$ eP	01 40 28		NIE	eP	11 05 53,8
15.II		Région des Iles Fidji, USCGS: 23,0 ^o S, 176,2 ^o W, H = 09 ^h 56 ^m 29,8 ^s , h = = 33 km; mb = 4,8 (USCGS)		16.II		Local. Pruhonice: e 12 30 47	
	NIE	$\Delta = 150,5^\circ$ ePKP ₁ 1PKP ₂ e	10 16 20 29 51		NIE	e(Pg) ₂ e _{NE} P	12 30 50,5 31 05 32 00
	KRA (Ch)	$\Delta = 150,0^\circ$. Traces ePKP ₂	10 16 26	16.II		Local	
15.II		Région des Iles Fidji, USCGS: 26,5 ^o S, 178,2 ^o E, H = 22 ^h 14 ^m 45,1 ^s , h = = 617 km; mb = 4,9 (USCGS)			NIE	eP _z P	13 19 43 20 20
	KRA (Ch)	e ₁ P _{NEZ} e ₁ NEZ	13 41 50,5 54,5	16.II		Local	
					KRA (Ch)	e ₁ P _{NEZ} e ₁ NEZ	13 41 50,5 54,5

Date	Station	Phase	G.M.T. h m s	Date	Station	Phase	G.M.T. h m s
16.II		Iles Tonga, USCGS: 18,2°S, 173,7°W, H = 23 ^h 37 ^m 13,2 ^s , h = 103 km, mb = 5,0 (USCGS)		18.II		140,5°E, H = 00 ^h 27 ^m 53,9 ^s , h = 74 km; mb = 5,5 (USCGS)	
	NIE	Δ = 147,0°			NIE	Δ = 78,8°	
	ePKP	23 56 46			1P	00 39 53 C	
	eI	57 03			ePoP	40 00	
17.II		Région des Iles Fidji, USCGS: 17,5°S, 177,5°W, H = 01 ^h 12 ^m 47 ^s , h = 434 km ca; mb = 4,0 (USCGS)		18.II		Yunnan, Chine, USCGS: 26,2°N, 103,2°E, H = 03 ^h 45 ^m 13,9 ^s , h = 33 km; mb = 5,0 (USCGS)	
	NIE	Δ = 145,0°			NIE	Δ = 65,7°	
	ePKP	01 31 37 D			eIP	03 56 01	
17.II		Crête médiane de l'Océan, Indien, USCGS: 32,2°S, 78,9°E, H = 11 ^h 47 ^m 56,8 ^s , h = 7 km; M = 6% (Pasadena, Moskva), mb = 6,4 (USCGS)		18.II		Mindanao, Philippines, USCGS: 6,7°N, 123,9°E, H = 06 ^h 59 ^m 03,9 ^s , h = 50 km; mb = 5,4 (USCGS)	
	NIE	Δ = 96,8°			NIE	Δ = 93,9°	
	eP	12 01 28			eP	07 12 22	
	eI	39			epP	36	
	eI	47		18.II		Région de Hokkaido, Japon, USCGS: 44,3°N, 143,2°E, H = 19 ^h 02 ^m 51,4 ^s , h = 222 km; mb = 5,2 (USCGS)	
	KRA	Δ = 97,5°			NIE	Δ = 73,5°	
	(SKM)	eP	12 01 35		eP	19 14 07	
	(GW)	eISKS	12 07		ePoP	25	
		eL	20	19.II		Grèce, USCGS: 39,1°N, 21,3°E, H = 10 ^h 22 ^m 31,0 ^s , h = 29 km; mb = 4,4 (USCGS)	
17.II		Ouest du Pakistan, USCGS: 30,1°N, 69,9°E, H = 18 ^h 26 ^m 20,0 ^s , h = 41 km; mb = 4,3 (USCGS)			NIE	Δ = 10,2°	
	NIE	Δ = 41,7°			ePP	10 25 08	
	eP	18 34 09		19.II		Hindou-Kouch, USCGS: 35,1°N, 70,8°E, H = 12 ^h 50 ^m 43,3 ^s , h = 68 km; mb = 5,1 (USCGS)	
17.II		Au Sud des Iles Fidji, USCGS: 23,5°S, 179,9°W, H = 18 ^h 20 ^m 32,4 ^s , h = 544 km; mb = 5,5 (USCGS)			NIE	Δ = 39,2°	
	NIE	Δ = 150,0°			1P	12 58 07 D	
	ePKP ₁	18 39 16			1	09	
	1	22			ipP	23	
	eIPKP ₂	28			KRA	Δ = 39,5°	
17.II		Sud de Sumatra, USCGS: 5,9°S, 104,5°E, H = 20 ^h 45 ^m 46,3 ^s , h = 41 km; mb = 5,4 (USCGS)			(Ch)	eP	12 58 10
	NIE	Δ = 90,8°			epP	24	
	eIP	20 58 47 D		19.II		Iles Kouriles, USCGS: 43,8°N, 147,2°E, H = 22 ^h 48 ^m 50,9 ^s , h = 55 km; mb = 4,9 (USCGS)	
18.II		Près de la côte E de Hondo, Japon, USCGS: 36,5°N,			NIE	Δ = 75,4°	
					eIP	23 00 35	
				20.II		Iles Kouriles, USCGS: 48,0°N, 155,2°E, H = 18 ^h 15 ^m 50,5 ^s , h = 34 km; mb = 5,3 (USCGS), MLH = 5,1 (Miedzica)	

Date	Station	Phase	G.M.T. h m s	Date	Station	Phase	G.M.T. h m s
20.II (suite)	NIE	Δ = 74,8°		22.II	RAC	Δ = 121,0°	
	1P	18 27 28 D			(SK)	ePKP	05 21 32
		Z: 1 ^s ; 0,017μ		22.II	NIE	Traces	
20.II	NIE				e	13 48 36	
	1P	18 28 38 D		22.II		Région de la Nouvelle Bretagne, USCGS: 5,6°S, 151,4°E, H = 18 ^h 18 ^m 36,3 ^s , h = 55 km; mb = 5,5 (USCGS)	
20.II		Au Sud des Iles Fidji, USCGS: 25,9°S, 178,7°W, H = 20 ^h 04 ^m 02,9 ^s , h = 294 km; mb = 4,7 (USCGS)			NIE	Δ = 120,0°	
	NIE	Δ = 152,5°			1PKP	18 37 23 D	
	eIP	20 23 22		24.II		Inde, USCGS: 26,3°N, 91,5°E, H = 00 ^h 16 ^m 40,9 ^s , h = 51 km; mb = 5,1 (USCGS)	
21.II		Région de Formose, USCGS: 26,3°N, 125,7°E, H = 13 ^h 18 ^m 46,8 ^s , h = 100 km; mb = 5,5 (USCGS)			NIE	Δ = 58,2°	
	KRA	Δ = 79,4°			1P	00 26 34 D	
	(Ch)	eIP	13 30 45 D		eI	41	
		epP	31 17	24.II		Iles Proches, Aléoutiennes, USCGS: 52,6°N, 172,4°E, H = 05 ^h 40 ^m 03,8 ^s , h = 36 km; mb = 5,2 (USCGS)	
	NIE	Δ = 79,2°			NIE	Δ = 74,8°	
	1P	13 30 46 D			eIP	05 51 48	
		Z: 0,8 ^s ; 0,068μ		24.II		Péninsule de l'Alaska, USCGS: 60,0°N, 147,9°W, H = 19 ^h 53 ^m 13,5 ^s , h = 16 km; mb = 5,1 (USCGS)	
21.II		Traces			NIE	Δ = 69,6°	
	eP	20 32 24			1P	20 04 29 D	
	e	47		24.II		Crête médiane de l'Atlantique, USCGS: 1,1°N, 28,9°W, H = 21 ^h 21 ^m 28,7 ^s , h = 33 km; mb = 4,5 (USCGS)	
22.II		Région de la Nouvelle Bretagne, USCGS: 5,4°S, 151,5°E, H = 05 ^h 02 ^m 38,9 ^s , h = 44 km; mb = 6,1 (USCGS), M = 6% (Pasadena)			NIE	Δ = 63,9°	
	KRA	Δ = 119,7°			eP	21 32 03	
	(SKM)	eIPKP	05 21 25		epP	14	
		ePP	22 55	25.II		Proche?	
		ePPP	25 28		NIE	Traces	
	(GW)	eL	06 04,8		eP _{NEZ}	13 09 33	
		Lm	14 18		eI _{NEZ}	36	
		NE: 21 ^s ; 27μ, 3,6μ			e _{NEZ}	43	
	NIE	Δ = 120,0°		25.II		Iles Tonga, USCGS: 15,3°S, 173,2°W, H = 22 ^h 50 ^m 54,0 ^s , h = 93 km; mb = 5,1 (USCGS)	
	eIPKP	05 21 26 C			KRA	Δ = 143,5°	
	1	33			(SKM)	ePKP ₁	23 10 18
	ipPKP	47					
	1	22 03					
	eIP	23 01					
	Lm	06 13 08					
		EZ: 21 ^s ; 35μ, 32μ					
	Lm	12					
		N: 21 ^s ; 30μ					

Date	Station	Phase	G.M.T. h m s	Date	Station	Phase	G.M.T. h m s		
25.II (suite)	NIE	$\Delta = 144,4^{\circ}$		26.II	NIE	$e(Sg)_Z$	12 54 05		
		1PKP ₁	23 10 19 D			$e(Sg)_{NE}$	05,5		
		1PKP ₂	26			27.II	Iles aux Rats, Aléoutiennes, USCGS: 52,2°N, 175,1°E, H = 16 ^h 30 ^m 17,6 ^s , h = 48 km; mb = 5,2 (USCGS)		
		epPKP ₁	33						
		e	49						
RAC (SK)	$\Delta = 133,0^{\circ}$		NIE	$\Delta = 75,7^{\circ}$. Traces					
ePKP ₁	23 10 20	eiP		16 42 05					
26.II	Iles Proches, Aléoutiennes, USCGS: 52,5°N, 173,5°E, H = 00 ^h 33 ^m 49,5 ^s , h = 17 km; mb = 5,5 (USCGS)			28.II	Mer du Japon, USCGS: 43,8°N, 139,6°E, H = 02 ^h 02 ^m 13,5 ^s , h = 224 km; M = 5,7 (USCGS)				
		KRA (SKM)	$\Delta = 74,8^{\circ}$			eiP	00 45 30 C		
		ePoP	42			KRA (SKM)	1P	02 13 19 D	
		RAC (SK)	$\Delta = 75,0^{\circ}$			eP	00 45 32	ei	31
		NIE	$\Delta = 75,2^{\circ}$			1P	00 45 33 C	NIE	$\Delta = 72,5^{\circ}$
26.II	Iles Tonga, USCGS: 21,4°S, 174,8°W, H = 02 ^h 49 ^m 10,5 ^s , h = 134 km; mb = 4,2 (USCGS)			28.II	Iles Riou-Kiou, USCGS: 29,3°N, 130,1°E, H = 13 ^h 35 ^m 40,1 ^s , h = 37 km; M = 5,7 (USCGS)				
		NIE	$\Delta = 149,5^{\circ}$. Traces			epPKP	03 08 48		
		ePKP	56			KRA (SKM)	eiP	13 47 47	
		26.II	Iles Tonga, USCGS: 15,4°S, 173,4°W, H = 11 ^h 21 ^m 56,9 ^s , h = 128 km; mb = 5,1 (USCGS)					ePoP	53
		NIE	$\Delta = 144,5^{\circ}$. Traces			ePKP	11 41 20	NIE	$\Delta = 79,4^{\circ}$
26.II	Local			RAC	$\Delta = 80,4^{\circ}$				
		NIE				eiP	13 47 47 C		
		eP _{8NEZ}	12 53 58,5			eiPoP	55		
		e(Sg) _Z	54 05			ei	48 02		
		eP				eP	13 47 51		

1966 M A R S 1966

2.III	Caucase, BCIS: 43,2°N, 45,9°E, H = 02 ^h 37 ^m 05 ^s ; mb = 5,3 (USCGS), M = 4,9 (Moxa), 4,6 (Pruhonice)			2.III	KRA (SKM)	$\Delta = 19,0^{\circ}$	
		NIE	$\Delta = 18,6^{\circ}$			eP	02 41 24,0
		eP	02 41 21			i	25,6
		i	22			i	32
		ei	28			1PP	43
eSSS				(GW)	eS	45 01	
	eSSS	45 19	eSSS		49		
			Lm		52 17		

Date	Station	Phase	G.M.T. h m s	Date	Station	Phase	G.M.T. h m s
2.III (suite)	KRA	E: 9 ^s ; 1,4 μ		3.III	que Nord, USCGS: 20,2°N, 45,7°W, H = 10 ^h 12 ^m 23,7 ^s , h = 33 km; mb = 4,7 (USCGS)		
		Lm	02 41 20			NIE	$\Delta = 35,5^{\circ}$
2.III	RAC (SK)	N: 7 ^s ; 1,0 μ		3.III	Crête médiane de l'Atlantique Nord, USCGS: 20,2°N, 45,7°W, H = 10 ^h 17 ^m 51,0 ^s , h = 33 km; mb = 5,0 (USCGS)		
		$\Delta = 20,1^{\circ}$				NIE	$\Delta = 35,5^{\circ}$
2.III	Iles Proches, Aléoutiennes, USCGS: 52,6°N, 172,5°E, H = 11 ^h 51 ^m 19,0 ^s , h = 20 km; mb = 5,4 (USCGS)			3.III	Crête médiane de l'Atlantique Nord, USCGS: 20,2°N, 45,7°W, H = 10 ^h 17 ^m 51,0 ^s , h = 33 km; mb = 5,0 (USCGS)		
		NIE	$\Delta = 75,0^{\circ}$			NIE	$\Delta = 35,5^{\circ}$
2.III	Proche			3.III	Région des Iles Fidji, USCGS: 20,5°S, 178,7°W, H = 21 ^h 29 ^m 35,9 ^s , h = 608 km; mb = 4,7 (USCGS)		
		NIE	$\Delta = 75,0^{\circ}$			NIE	$\Delta = 147,5^{\circ}$
2.III	NIE			3.III	Région des Iles Fidji, USCGS: 18,0°S, 178,3°W, H = 01 ^h 41 ^m 46,3 ^s , h = 534 km; mb = 3,7 (USCGS)		
		eP _{8NEZ}	14 04 30,0			NIE	$\Delta = 145,5^{\circ}$
2.III	NIE			4.III	Ouest du Pakistan, USCGS: 30,1°N, 70,0°E, H = 06 ^h 01 ^m 01,0 ^s , h = 3 km; mb = 5,0 (USCGS)		
		eiZ	32,5			NIE	$\Delta = 41,5^{\circ}$
2.III	Région de la Nouvelle Bretagne, USCGS: 5,5°S, 151,7°E, H = 20 ^h 13 ^m 33,4 ^s , h = 48 km; mb = 5,2 (USCGS)			4.III	Crête médiane de l'Atlantique Nord, USCGS: 20,2°N, 45,7°W, H = 10 ^h 17 ^m 51,0 ^s , h = 33 km; mb = 5,0 (USCGS)		
		eiL _Z	47,5			KRA (GW)	$\Delta = 42,0^{\circ}$
2.III	NIE			5.III	Ile du Nord, Nouvelle Zélande, USCGS: 38,4°S, 177,9°E, H = 23 ^h 58 ^m 56,0 ^s , h = 18 km; mb = 6,1 (USCGS)		
		ePKP	20 32 20			NIE	$\Delta = 160,5^{\circ}$
3.III	Iles Kouriles, USCGS: 48,3°N, 154,4°E, H = 03 ^h 25 ^m 28,2 ^s , h = 44 km; mb = 5,9 (USCGS), 5 $\frac{1}{2}$ (Palisades)			3.III	Crête médiane de l'Atlantique Nord, USCGS: 20,2°N, 45,7°W, H = 10 ^h 17 ^m 51,0 ^s , h = 33 km; mb = 5,0 (USCGS)		
		KRA (SKM)	$\Delta = 74,0^{\circ}$			RAC (SK)	$\Delta = 74,5^{\circ}$
3.III	NIE			3.III	Crête médiane de l'Atlantique Nord, USCGS: 20,2°N, 45,7°W, H = 10 ^h 17 ^m 51,0 ^s , h = 33 km; mb = 5,0 (USCGS)		
		1P	03 37 04 D				
3.III	NIE			3.III	Crête médiane de l'Atlantique Nord, USCGS: 20,2°N, 45,7°W, H = 10 ^h 17 ^m 51,0 ^s , h = 33 km; mb = 5,0 (USCGS)		
		eiPoP	15				
3.III	NIE			3.III	Crête médiane de l'Atlantique Nord, USCGS: 20,2°N, 45,7°W, H = 10 ^h 17 ^m 51,0 ^s , h = 33 km; mb = 5,0 (USCGS)		
		eS	46 21				
3.III	NIE			3.III	Crête médiane de l'Atlantique Nord, USCGS: 20,2°N, 45,7°W, H = 10 ^h 17 ^m 51,0 ^s , h = 33 km; mb = 5,0 (USCGS)		
		esS	46				
3.III	NIE			3.III	Crête médiane de l'Atlantique Nord, USCGS: 20,2°N, 45,7°W, H = 10 ^h 17 ^m 51,0 ^s , h = 33 km; mb = 5,0 (USCGS)		
		eSoS	47 09				
3.III	NIE			3.III	Crête médiane de l'Atlantique Nord, USCGS: 20,2°N, 45,7°W, H = 10 ^h 17 ^m 51,0 ^s , h = 33 km; mb = 5,0 (USCGS)		
		eL	04 08				
3.III	NIE			3.III	Crête médiane de l'Atlantique Nord, USCGS: 20,2°N, 45,7°W, H = 10 ^h 17 ^m 51,0 ^s , h = 33 km; mb = 5,0 (USCGS)		
		$\Delta = 74,2^{\circ}$					
3.III	NIE			3.III	Crête médiane de l'Atlantique Nord, USCGS: 20,2°N, 45,7°W, H = 10 ^h 17 ^m 51,0 ^s , h = 33 km; mb = 5,0 (USCGS)		
		eiP	03 37 05 C				
3.III	NIE			3.III	Crête médiane de l'Atlantique Nord, USCGS: 20,2°N, 45,7°W, H = 10 ^h 17 ^m 51,0 ^s , h = 33 km; mb = 5,0 (USCGS)		
		i	06				
3.III	NIE			3.III	Crête médiane de l'Atlantique Nord, USCGS: 20,2°N, 45,7°W, H = 10 ^h 17 ^m 51,0 ^s , h = 33 km; mb = 5,0 (USCGS)		
		ePoP	12				
3.III	NIE			3.III	Crête médiane de l'Atlantique Nord, USCGS: 20,2°N, 45,7°W, H = 10 ^h 17 ^m 51,0 ^s , h = 33 km; mb = 5,0 (USCGS)		
		i	35				
3.III	NIE			3.III	Crête médiane de l'Atlantique Nord, USCGS: 20,2°N, 45,7°W, H = 10 ^h 17 ^m 51,0 ^s , h = 33 km; mb = 5,0 (USCGS)		
		i	53				
3.III	RAC (SK)			3.III	Crête médiane de l'Atlantique Nord, USCGS: 20,2°N, 45,7°W, H = 10 ^h 17 ^m 51,0 ^s , h = 33 km; mb = 5,0 (USCGS)		
		$\Delta = 74,5^{\circ}$					
3.III	RAC (SK)			3.III	Crête médiane de l'Atlantique Nord, USCGS: 20,2°N, 45,7°W, H = 10 ^h 17 ^m 51,0 ^s , h = 33 km; mb = 5,0 (USCGS)		
		eP	03 37 07				
3.III	RAC (SK)			3.III	Crête médiane de l'Atlantique Nord, USCGS: 20,2°N, 45,7°W, H = 10 ^h 17 ^m 51,0 ^s , h = 33 km; mb = 5,0 (USCGS)		
		$\Delta = 74,5^{\circ}$					
3.III	RAC (SK)			3.III	Crête médiane de l'Atlantique Nord, USCGS: 20,2°N, 45,7°W, H = 10 ^h 17 ^m 51,0 ^s , h = 33 km; mb = 5,0 (USCGS)		
		eP	03 37 07				

Date	Station	Phase	G.M.T. h m s	Date	Station	Phase	G.M.T. h m s
5.III (suite)	NIE	ePKP ₁	00 18 52 C	6.III		80,6°E, H = 02 ^h 10 ^m 53,6 ^s , h = 12 km; mb = 5,7 (USCGS)	
		iPKP ₂	19 35		NIE	Δ = 47,6°	
	KRA (SKM)	Δ = 160,0°				1P	02 19 34 D
		ePKP ₁	00 18 53			i	37
		ePKP ₂	19 37			eI	55
	RAC (SK)	Δ = 161,0°			KRA (SKM)	Δ = 48,0°	
		ePKP ₁	00 18 56			eP	02 19 35
		ePKP ₂	19 41			e	51
						ePP	21 27
5.III		Région de Hokkaido, Japon, USCGS: 42,8°N, 143,2°E, H = 04 ^h 48 ^m 42,9 ^s , h = = 103 km; mb = 4,9 (USCGS)		6.III		Tibet, USCGS: 31,5°N, 80,5°E, H = 02 ^h 15 ^m 57,2 ^s , h = 50 km; mb = 6,0 (USCGS). M = 6½ (Pasadena), MLH = = 6,7 (Niedzica, Kraków)	
	NIE	Δ = 59,4°			NIE	Δ = 47,6°	
		eIP	05 00 18 C			1P	02 24 32 D
5.III		Au Nord de l'île Ascension, USCGS: 0,1°S, 17,9°W, H = = 20 ^h 54 ^m 45,8 ^s , h = 33 km; mb = 5,2 (USCGS)				Z: 1,8 ^s ; 0,176μ	
	NIE	Δ = 59,4°				i	35
		eP	21 04 46			ipP	47
		ePP	55			eS	31 30
		ePP	06 55			eL	33
	KRA (SKM)	Δ = 59,6°				Im	48,3
		eP	21 04 46			NE: 15 ^s ; 31μ, 43μ	
		epP	57		KRA (SKM)	Δ = 48,0°	
		eIPoP	05 33			eP	02 24 33
						ipP	46
5.III		Iles Tonga, USCGS: 21,9°S, 174,9°W, H = 22 ^h 49 ^m 35,9 ^s , h = 46 km; mb = 5,4 (USCGS)			(GW)	i	25 01
	NIE	Δ = 150,0°				ePoP	26 01
		ePKP ₁	23 09 18			iPP	24
		i	23			eIS	31 41
	KRA (SKM)	Δ = 149,5°				eIPS	58
		ePKP ₁	23 09 22			eI	35 19
		e(PKP ₂)	33			eL	43,3
	(GW)	eL	00 47,4			Im	44 08
		Im	48 44			Im	16
		N: 11 ^s ; 2μ				N: 14 ^s ; 47μ	
		Im	48		RAC (SK)	Δ = 48,8°	
		E: 11 ^s ; 1μ				eP	02 24 42
	RAC (SK)	Δ = 149,5°				ePP	26 42
		ePKP ₁	23 09 22	6.III		Au Sud des Iles Fidji, USCGS: 24,1°S, 177,0°W, H = 18 ^h 01 ^m 47,4 ^s , h = = 15 km; mb = 5,4 (USCGS)	
6.III		Tibet, USCGS: 31,6°N,			KRA (SKM)	Δ = 150,5°	
						ePKP ₁	18 21 41
						ePKP ₂	50

Date	Station	Phase	G.M.T. h m s	Date	Station	Phase	G.M.T. h m s
6.III (suite)	NIE	Δ = 151,5°		7.III	NIE		
		ePKP ₁	18 21 41			eS	21 48 40
		eI	46			eL	22 00
		eI	22 24		KRA (GW)	Δ = 65,0°	
7.III		Turquie orientale, BCIS: 39,3°N, 41,6°E, H = 01 ^h 16 ^m 11 ^s ; M = 5,7 (Ksara), 5,6 (Pruhonice), 5,4 (Moxa)				eP	21 40 02
	NIE	Δ = 18,3°				eIPoP	21
		1P	01 20 21 D			ePP	42 21
		iPP	35			eIS	48 46
		i	23 29			ePS	49 01
		eS	47			eISKS	57
	KRA (SKM)	Δ = 18,7°				eIL	22 03,9
		1P	01 20 26 D			LM	05 39
		eI	40			NE: ca 10 ^s ; ca 80μ, ca 40μ	
	(GW)	eIPPP	50		RAC (SK)	Δ = 66,0°	
		iS	24 05			eP	21 40 06
		eSS	29	8.III		Iles Tonga, USCGS: 19,0°S, 173,2°W, H = 00 ^h 18 ^m 12,6 ^s , h = 56 km; mb = 5,2 (USCGS)	
		eSSS	39		NIE	Δ = 147,7°	
		eL	28,8			ePKP ₁	00 37 52
		Im	30 14		RAC (SK)	Δ = 147,5°	
		N: 11 ^s ; 9μ				ePKP ₁	00 37 53
		Im	25			ePKP ₂	38 00
		E: 10 ^s ; 5μ			KRA (SKM)	Δ = 147,0°	
	Rac (SK)	Δ = 19,8°. Traces				ePKP ₁	00 37 54
		eP	01 20 40	8.III		Nouvelles Hébrides, USCGS: 13,8°S, 166,5°E, H = 01 ^h 13 ^m 42,7 ^s , h = 40 km; mb = = 6,1 (USCGS), M = 6 (Pa- sadena)	
		eS	24 20		NIE	Δ = 135,0°	
7.III		Région des Iles Fidji, USCGS: 20,6°S, 178,4°W, H = 02 ^h 35 ^m 27,3 ^s , h = = 596 km; mb = 5,0 (USCGS)				eIPKP	01 32 58
	NIE	Δ = 147,5°				eIPPP	35 34
		eIPKP ₁	02 54 06 D			iPKS	36 31
		ePKP ₂	16		KRA (SKM)	Δ = 134,5°	
7.III		Nord de la Chine, USCGS: 37,3°N, 114,9°E, H = 21 ^h 29 ^m 17,4 ^s , h = 33 km; mb = = 6,0 (USCGS), M = 7-7¼ (Palisades), 7 (Moskva), 6¼ (Pasadena), 6,4 (Berkeley)				ePKP	01 33 00
	NIE	Δ = 65,0°				ePP	35 32
		eP	21 39 56			ePKS	36 34
		i	40 00		(GW)	eI	02 29,9
		eIPoP	22	8.III		Détroit des Moluques, USCGS: 1,8°N, 126,3°E, H = 05 ^h 41 ^m 03,5 ^s , h = = 27 km; mb = 5,9 (USCGS), MLH = 6 (Kraków), M = 5¼-6 (Pasadena)	

Date	Station	Phase	G.M.T. h m s	Date	Station	Phase	G.M.T. h m s
8.III (suite)	NIE	$\Delta = 99,0^\circ$ eP ePP	05 54 44 58 43	9.III		H = 23 ^h 13 ^m 51,4 ^s , h = = 148 km; mb = 5,6 (USCGS)	
	KRA (SKM) (GW)	$\Delta = 99,0^\circ$ eP epP ePP eISKs eIS eL Im	05 54 44 55 58 43 06 05 22 06 15 34,2 37 02		NIE	$\Delta = 94,3^\circ$ eP	23 26 56
		N: 20 ^m ; 7 ^{μ} Im	43,9	10.III		Région de Hondo, Japon, USCGS: 32,2 ^o N, 137,6 ^o E, H = 04 ^h 26 ^m 19,7 ^s , h = = 382 km; mb = 5,6 (USCGS), M = 5,5-5,9 (Berkeley)	
	RAC (SK)	$\Delta = 100,0^\circ$ eP	05 54 51		KRA (SKM)	$\Delta = 81,0^\circ$ iP iPoP	04 37 55 D 38 01
8.III		Grèce, BCIS: 38,9 ^o N, 21,4 ^o E, H = 18 ^h 51 ^m 49 ^s , h = 60 km ca; M = 4,2 (Atnèhes)			NIE	$\Delta = 81,2^\circ$ iP	04 37 56 D
	NIE	$\Delta = 10,5^\circ$. Traces eP eIPP	18 54 19 23	10.III	KRA (SKM)	Traces eP	04 47 30,7
	KRA (GW)	$\Delta = 11,2^\circ$. Traces eP ePP eL	18 54 33 39 59,1	10.III	NIE	Proche eFGZ iZ	09 00 22,4 36
8.III		Traces e	21 04 03	10.III		Turquie orientale, réplique du séisme du 7.III à 01 ^h 16 ^m , BCIS: 39,3 ^o N, 41,6 ^o E, H = 11 ^h 18 ^m 56 ^s ; mb = 3,9 (USCGS), M = 4 $\frac{1}{2}$ (Moskva)	
	KRA (SKM)	e(P)	21 04 17		NIE	$\Delta = 18,3^\circ$ eP ePP	11 23 03 23
8.III		Iles Tonga, USCGS: 22,0 ^o S, 175,0 ^o W, H = 23 ^h 15 ^m 47 ^s , h = 50 km; mb = 4,6 (USCGS)		10.III		Pologne, région de Zako- pane	
	NIE	$\Delta = 150,0^\circ$ ePKP ₁	23 35 35		NIE	eFGNZ iSNEZ Sm	22 37 29,2 33,7 34,3
9.III		Proche?		11.III		Mer Méditerranée, au Sud de la Crête, BCIS: 34,4 ^o N, 24,3 ^o E, H = 20 ^h 01 ^m 46 ^s	
	NIE	eZ	15 30 07,7		NIE	$\Delta = 15,3^\circ$ eP ei eIPP ei	20 05 22 26 39 06 22
9.III		Traces e	16 04 08,7				
9.III		Java, USCGS: 7,3 ^o S, 108,4 ^o E,					

Date	Station	Phase	G.M.T. h m s	Date	Station	Phase	G.M.T. h m s
11.III (suite)	KRA (SKM)	$\Delta = 16,0^\circ$ eP ei eIPP ePPP	20 05 29 33 48 54	12.III		Région des Iles Samoa, USCGS: 15,0 ^o S, 173,6 ^o W, H = 14 ^h 19 ^m 36 ^s , h = 19 km; mb = 4,9 (USCGS)	
	RAC (SK)	$\Delta = 16,4^\circ$ eP	20 05 35		NIE	$\Delta = 144,0^\circ$ ePKP ei	14 39 10 17
11.III	NIE	eP	20 21 51	12.III		Iles Tonga, USCGS: 15,6 ^o S, 173,0 ^o W, H = 14 ^h 26 ^m 58 ^s , h = 33 km; mb = = 5,2 (USCGS)	
11.III		Crête médiane de l'Atlanti- que Nord, USCGS: 28,3 ^o N, 43,9 ^o W, H = 23 ^h 15 ^m 42,8 ^s , h = 33 km; mb = 5,0 (USCGS)			NIE	$\Delta = 144,5^\circ$ ePKP	14 46 31
	NIE	$\Delta = 27,5^\circ$ eP	23 24 58	12.III		Région de Formose, USCGS: 24,2 ^o N, 122,6 ^o E, H = 16 ^h 34 ^m 20,6 ^s , h = 48 km; M = = 7 $\frac{1}{2}$ (Moskva), mSH = 7,8 (Racibórs), M = 7 $\frac{1}{2}$ -7 $\frac{1}{2}$ (Pasadena)	
11.III		Crête médiane de l'Atlanti- que Nord, USCGS: 28,3 ^o N, 44,0 ^o W, H = 23 ^h 18 ^m 50,0 ^s , h = 33 km; mb = 4,9 (USCGS)			KRA (SKM) (GW)	$\Delta = 79,4^\circ$ iP iPoP epP iPP iPPP eIS	16 43 23 C 30 37 46 29 48 30 53 27
	NIE	$\Delta = 27,5^\circ$ eIP	23 28 03	12.III	NIE	$\Delta = 79,2^\circ$ iP Z: 1,7 ^m ; 0,642 ^{μ} iPoP eIS Im	16 43 24 C 34 53 30 17 31,3 NE: 18 ^m ; 500 ^{μ} , 530 ^{μ}
11.III		Crête médiane de l'Atlanti- que Nord, USCGS: 28,4 ^o N, 44,0 ^o W, H = 23 ^h 36 ^m 42,6 ^s , h = 33 km; mb = 5,1 (USCGS)			RAC (M)	$\Delta = 80,8^\circ$ eP iPoP Z: 1,5 ^m ; 52 ^{μ} ePP ePPP eS	16 43 29 40 46 36 48 27 53 29 NE: 5 ^m ; 20 ^{μ} , 31 ^{μ}
	KRA (SKM)	$\Delta = 28,5^\circ$. Traces eP	23 45 53		NIE	ePS Im	54 26 17 14,2 NE: 30 ^m ; 1750 ^{μ} , 1070 ^{μ}
	NIE	$\Delta = 27,5^\circ$. Traces eP	23 45 57	12.III		Proche	
12.III		Région des Iles Kermadec, USCGS: 30,9 ^o S, 178,5 ^o W, H = 01 ^h 05 ^m 33,3 ^s , h = 84 km; mb = 5,3 (USCGS), M = 4 $\frac{1}{2}$ -5 (Berkeley)			NIE	e(FG) _Z eZ eNE Im _{NEZ}	14 04 05,7 10 20 26
	NIE	$\Delta = 157,0^\circ$ ePKP ₁ eIPK ₂	01 25 18 47	12.III		Région de Formose, USCGS: 24,2 ^o N, 122,6 ^o E, H = 17 ^h	

Date	Station	Phase	G.M.T. h m s	Date	Station	Phase	G.M.T. h m s
12.III (suite)	KRA (SKM)	$\Delta = 79,4^\circ$ 1P ePoP epP	18 11 38 D 46 12 05	13.III	Région de Formose, USCGS: 23,6°N, 122,8°E, H = 14 ^h 53 ^m 46,6 ^s , h = 40 km; mb = = 5,1 (USCGS), M = 4 $\frac{1}{2}$ (Moskva)		
	NIE	$\Delta = 79,2^\circ$ 1P	18 11 39 D		NIE	$\Delta = 79,7^\circ$ eP	15 06 01
12.III		Région de Formose, USCGS: 23,6°N, 122,9°E, H = 18 ^h 13 ^m 39,3 ^s , h = 49 km; mb = = 4,7 (USCGS)		13.III	Sud du Pacifique, USCGS: 55,5°S, 126,4°W, H = 17 ^h 58 ^m 34,5 ^s , h = 33 km; mb = = 5,5 (USCGS)		
	NIE	$\Delta = 80,0^\circ$ eP	18 25 46		NIE	$\Delta = 137,0^\circ$. Traces ePKP ₁ ePKP ₂	18 18 28 19 08
12.III	KRA (SKM)	Iles Riou-Kiou, USCGS: 24,0°N, 122,9°E, H = 19 ^h 13 ^m 56 ^s , h = 33 km; mb = = 4,8 (USCGS)		13.III	Iles Tonga, USCGS: 20,9°S, 175,4°W, H = 18 ^h 40 ^m 40,9 ^s , h = 66 km; mb = 5,2 (USCGS), M = 5 $\frac{1}{2}$ (Moskva)		
	NIE	$\Delta = 79,5^\circ$. Traces eP	19 26 03		NIE	$\Delta = 149,0^\circ$ ePKP ₁ i	19 00 20 24
	NIE	$\Delta = 79,5^\circ$ eP ePoP	19 26 04 17		KRA (SKM)	$\Delta = 148,5^\circ$ ePKP ₁ ePKP ₂	19 03 22 D 36
12.III		Région de Formose, USCGS: 23,9°N, 122,9°E, H = 19 ^h 22 ^m 59,9 ^s , h = 51 km; mb = 5,0 (USCGS)			RAC (SK)	$\Delta = 149,0^\circ$ ePKP ₁	19 00 24
	KRA (SKM)	$\Delta = 79,5^\circ$ eP ePoP epP	19 35 05 17 21	13.III	Grèce, USCGS: 38,9°N, 21,6°E, H = 19 ^h 35 ^m 51,8 ^s , h = 15 km; mb = 4,3 (USCGS)		
	NIE	$\Delta = 79,5^\circ$ eP epP	19 35 05 22		NIE	$\Delta = 10,5^\circ$. Traces eP	19 38 25
12.III		Méditerranée occidentale, BCIS: 39,3°N, 5,7°E, H = 22 ^h 47 ^m 33 ^s		14.III	Crête médiane de l'Atlanti- que, USCGS: 1,1°N, 27,8°W, H = 03 ^h 21 ^m 31,9 ^s , h = 24 km; mb = 5,2 (USCGS)		
	NIE	$\Delta = 14,5^\circ$ eP	22 51 05		NIE	$\Delta = 63,4^\circ$ eP epP	03 32 00 09
13.III		Crête médiane de l'Atlanti- que Nord, USCGS: 28,3°N, 43,8°W, H = 01 ^h 36 ^m 34,0 ^s , h = 33 km; mb = 4,9 (USCGS)			KRA (SKM)	$\Delta = 63,5^\circ$ e1P	03 32 02 C
	NIE	$\Delta = 27,5^\circ$ eP	01 45 48	14.III	Pologne, région de Zako- pane		
					NIE	eP _{GN} iS _{NEZ}	12 59 47,2 51,6

Date	Station	Phase	G.M.T. h m s	Date	Station	Phase	G.M.T. h m s
14.III (suite)	KRA	Traces eNEZ	13 00 04	16.III	NIE	eP e1	11 43 43,5 44 02,5
14.III		Grèce, BCIS: 39,6°N, 22,2°E, H = 14 ^h 08 ^m 43 ^s ; M = 4,8 (Athènes)		16.III		Iles Tonga, USCGS: 21,2°S, 174,3°W, H = 12 ^h 13 ^m 01,7 ^s , h = 60 km; mb = 5,4 (USCGS)	
	NIE	$\Delta = 9,9^\circ$ eP ePP	14 11 09 21		NIE	$\Delta = 149,5^\circ$ 1PKP ₁ e1PKP ₂	12 32 46 33 01
	KRA (SKM) (GW)	$\Delta = 10,6^\circ$ eP eS eS* eL	14 11 19 13 26 45 15,0		RAC (SK)	$\Delta = 149,5^\circ$ ePKP ₁ ePKP ₂ P	12 32 47 54 35
14.III	NIE	eP	18 23 13,2		KRA (SKM)	$\Delta = 149,0^\circ$ ePKP ₂	12 32 52
15.III	NIE	eP e	10 48 51 49 03	16.III	NIE	e e1	13 00 59 01 11,5
15.III	NIE	eP e	12 21 05 18	16.III		Autriche, BCIS: 47,4°N, 11,5°E, H = 13 ^h 27 ^m 16 ^s ; M = 4,0 (Bensberg)	
15.III		Au Sud des Iles Fidji, USCGS: 22,1°S, 179,4°W, H = 16 ^h 10 ^m 25,4 ^s , h = = 591 km; mb = 4,8 (USCGS)			NIE	$\Delta = 6,2^\circ$ ePn eP* e1Sg	13 28 56 29 03 30 42
	NIE	$\Delta = 148,5^\circ$ e1PKP i	16 29 08 13		RAC (SK)	$\Delta = 5,2^\circ$ e eSSS eSg	13 29 29 30 01 06
15.III		Région de Formose, USCGS: 24,2°N, 122,6°E, H = 23 ^h 31 ^m 48,0 ^s , h = 35 km; mb = = 5,4 (USCGS), M = 5 (Moskva)			KRA (GW)	$\Delta = 6,1^\circ$ eSn e1Sg	13 30 05 41
	KRA (SKM)	$\Delta = 79,3^\circ$ eP e1PoP	23 43 52 C 59	16.III		Iles Philippines, USCGS: 9,6°N, 122,1°E, H = 20 ^h 38 ^m 23,7 ^s , h = 23 km; mb = = 5,4 (USCGS), M = 5 $\frac{1}{2}$ (Moskva)	
	NIE	eP	23 43 53		NIE	$\Delta = 90,5^\circ$ eP epP	20 51 24 33
6.III	KRA (SKM)	Traces e1P	00 02 57,5 D	17.III		Pologne, région de Zako- pane	

Date	Station	Phase	G.M.T. h m s	Date	Station	Phase	G.M.T. h m s
17.III (suite)	NIE	ePg _N	00 41 59,5	17.III	RAC (SK)	ePKP ₁	16 09 06
		1Sg _{NEZ}	42 03,9			ei	10
	KRA	Traces				1PKP ₂	16
	(SKM)	1(Sg) _E , e1(Sg) _Z	00 42 18,5	17.III			
		1(Sn) _{NE}	22,8				
17.III		Pologne, région de Zakopane		18.III	NIE	e	03 00 25,5
	NIE					e	57
		e1P _{NEZ}	00 54 01,4	18.III		Péninsule de l'Alaska, USCGS: 60,4°N, 146,4°W, H = 18 ^h 11 ^m 07,5 ^s , h = = 17 km; mb = 5,0 (USCGS)	
		1Sg _{NEZ}	05,8		NIE	Δ = 69,5°	
	KRA	e(Pg) _{NEZ}	00 54 11,3			eP	18 22 20
	(SKM)	1(Sg) _{NEZ}	20,4			ePoP	38
		1(Sn) _N	24,7	18.III		Nouvelles Hébrides, USCGS: 20,6°S, 169,6°E, H = 20 ^h 46 ^m 20,9 ^s , h = 89 km; mb = = 5,0 (USCGS)	
17.III	NIE	eP	13 11 00		NIE	Δ = 142,5°	
		e	08,4			ePKP	21 05 40
		e	10,4			e(pPKP)	09 13
17.III	NIE	e(P)	13 29 51	19.III		Local	
		e	30 19,1		NIE	e1P _{NEZ}	00 04 48,9
17.III		Pologne, région de Zakopane				1Sg _{NEZ}	53,3
	NIE			19.III		Pologne, région de Zakopane	
		e _{NEZ}	15 29 28,5		NIE		
		1(Sg) _{NEZ}	31,7			eP _{SEZ}	03 01 59,7
17.III		Région des Iles Fidji, USCGS: 21,1°S, 179,2°W, H = 15 ^h 50 ^m 33,1 ^s , h = = 639 km; mb = 6,2 (USCGS), M = 6 ^¼ (Pasadena)				1Sg _{SEZ}	02 04,0
	NIE	Δ = 147,5°			KRA		
		e1PKP	16 09 04		(SKM)	1(Sg) _{NEZ}	03 02 18
		ei	10 04	19.III		Hokkaido, Japon, USCGS: 43,3°N, 145,8°E, H = 08 ^h 11 ^m 46,3 ^s , h = 61 km; mb = = 5,6 (USCGS)	
	KRA	Δ = 147,5°			NIE	Δ = 75,3°	
	(SKM)	ePKP ₁	16 09 05 D			eP	08 23 30
	(GW)	1PKP ₂	13			ePoP	41
		epPKP ₁	11 29	20.III		République du Congo, USCGS: 0,7°N, 29,8°E, H = 01 ^h 42 ^m 49,8 ^s , h = 24 km; M = 6 ^¼ -7 (Pasadena), 7	
		ePKS	12 42				
		eSKKS	19 29				
		ei	22 59				
	RAC	Δ = 148,0°					

Date	Station	Phase	G.M.T. h m s	Date	Station	Phase	G.M.T. h m s
20.III (suite)		(Moskva), MLH = 7,1 (Kra- ków), 7 (Racibórz)		20.III		Iles Tonga, USCGS: 16,9°S, 174,3°W, H = 07 ^h 47 ^m 50,5 ^s , h = 117 km; mb = 5,7 (USCGS)	
	NIE	Δ = 49,5°			KRA	Δ = 145,0°. Traces	
		eP	01 51 35		(GW)	ePKP	08 07 15
		i	38		NIE	= 145,5°	
		eS	58 51			e1PKP	08 07 17 D
		eL	02 02			Z: 1 ^s ; 0,137μ	
	KRA	Δ = 50,2°				eipPKP	49
	(GW)	eP	01 51 43		RAC	Δ = 145,5°	
		1pP	55		(SK)	ePKP	08 07 17
		eS	58 53	20.III		Iles Tonga, USCGS: 17,0°S, 174,1°W, H = 08 ^h 06 ^m 45,3 ^s , h = 140 km; mb = 4,7 (USCGS)	
		esS	59 03		NIE	Δ = 145,5°	
		ePFS	15			ePKP	08 26 09
		eSS	02 02 22			epPKP	43
		Im	18 40	20.III		République du Congo, USCGS: 0,8°N, 29,8°E, H = 08 ^h 55 ^m 34,6 ^s , h = 5 km; mb = 5,3 (USCGS)	
		N: 17 ^s ; 115μ			KRA	Δ = 50,0°. Traces	
		E: 13 ^s ; 33μ			(SKM)	e1P	09 04 33 D
	RAC	Δ = 50,5°				ePoP	05 53
	(M)	eP	01 51 46	20.III		Iles Tonga, USCGS: 21,0°S, 174,6°W, H = 09 ^h 04 ^m 34,7 ^s , h = 122 km; mb = 5,2 (USCGS), M = 5 ^¼ (Pasadena)	
		epP	56		NIE	Δ = 149,0°	
		ePP	53 47			ePKP ₁	09 24 08
		Im	02 12,1			1PKP ₂	13
		NE: 18 ^s ; 75μ, 114μ			KRA	Δ = 148,5°	
20.III		République du Congo, USCGS: 0,9°N, 30,0°E, H = 03 ^h 22 ^m 46,9 ^s , h = 33 km; mb = 5,0 (USCGS)			(SKM)	e1PKP	09 24 11 C
	NIE	Δ = 49,3°. Traces			RAC	Δ = 149,5°	
		eP	03 31 34		(SK)	ePKP ₂	09 24 13
	KRA	Δ = 50,0°. Traces		20.III		Région de l'île Jan Mayen, USCGS: 71,7°N, 2,8°W, H = = 21 ^h 49 ^m 59,8 ^s , h = 33 km; mb = 4,9 (USCGS)	
	(SKM)	eP	03 31 43		NIE	Δ = 24,5°	
20.III		Kazakstan, URSS, BCIS: 50,0°N, 78,0°E, H = 05 ^h 50 ^m 00 ^s ; M = 6,4 (Uppsala), 5,8 (Bensberg)				e1P	21 55 22
	KRA	Δ = 36,2°				epP	32
	(SKM)	e1P	05 57 07 C	21.III		Région de Formose, USCGS:	
	(GW)	ePP	58 28				
		ePPP	48				
	NIE	Δ = 36,0°					
		eL	06 05,4				
		Z: 1 ^s ; 0,197μ					
		1P	05 57 08 C				
		1PP	58 19				
	RAC	Δ = 37,4°					
	(SK)	eP	05 57 17				

Date	Station	Phase	G.M.T. h m s	Date	Station	Phase	G.M.T. h m s
21.III (suite)		23,8°N, 122,9°E, H = 00 ^h 02 ^m 55,6 ^s , h = 33 km; mb = = 5,0 (USCGS)		22.III	(Pasadena), 6,5-6,8 (Berkeley)		
KRA (SKM)		Δ = 79,7°. Traces		NIE	Δ = 65,0°		
NIE		Δ = 79,7°		eP		08 30 15	
eP		00 15 03		e		18	
ePoP		18		e(S)		38 40	
				eL		45	
				Lm		56	
							NE: 12 ^s ; 150 μ, 190 μ
21.III		République du Congo, USCGS: 0,8°N, 30,0°E, H = 01 ^h 30 ^m 37,7 ^s , h = = 5 km; mb = 5,4 (USCGS)		KRA (SKM)	Δ = 65,0°	08 30 14 C	
NIE		Δ = 49,5°		eipP		21	
eipP		01 39 30		eipPoP		46	
eI		41 01		(GW) eIPP		32 45	
KRA (SKM)		Δ = 50,0°		IS		38 56	
eipP		01 39 33 D		ePS		39 12	
ePoP		40 55		ePPS		22	
				eSoS		40 13	
21.III		République du Congo, USCGS: 0,8°N, 29,9°E, H = 09 ^h 23 ^m 49,3 ^s , h = 6 km; mb = 5,1 (USCGS)		RAC (M)	Δ = 66,0°	08 30 22	
NIE		Δ = 49,5°		eP		39 18	
eipP		09 32 40		eS		56,8	
				Lm			NE: 3 ^s ; 35 μ, 42 μ
21.III		Proche		22.III	Chine, USCGS: 37,8°N, 115,0°E, H = 11 ^h 08 ^m 35,5 ^s , h = 11 km; mb = 5,2 (USCGS)		
NIE				NIE	Δ = 65,0°	11 19 19	
eP _N		13 00 39		eipP			
eEZ		41					
eZ		01 02		22.III	Traces		
Lm		06		e		13 34 32,5	
		NEZ: 0,8 ^s ; 1,0 ^s ; 0,8 ^s , 0,118 μ, 0,140 μ, 0,045 μ		23.III	Région de Formose, USCGS: 23,9°N, 122,9°E, H = 00 ^h 04 ^m 33,2 ^s , h = 36 km; mb = = 6,6 (USCGS), M = 6 (Pa- sadena), mPV = 6,6 (Nie- dzica)		
22.III		Chine, USCGS: 37,5°N, 115,0°E, H = 08 ^h 11 ^m 33,2 ^s , h = 3 km; mb = 6,0 (USCGS), 6 ^h -7 (Pasadena), 5,8-6,2 (Berkeley)		KRA (SKM)	Δ = 79,7°	00 16 39 C	
KRA (SKM)		Δ = 65,0°		eipP		47	
eP		08 22 18		ePoP		55	
NIE		Δ = 65,0°		i		13 53	
eipP		08 22 20		(GW) ePP		26 39	
				IS		53	
				eSoS		27 01	
22.III		Chine, USCGS: 37,6°N, 115,2°E, H = 08 ^h 19 ^m 34,5 ^s , h = 33 km; M = 6 ^h -7		ePS		23	
				eL		45	

Date	Station	Phase	G.M.T. h m s	Date	Station	Phase	G.M.T. h m s
23.III (suite)	NIE	Δ = 79,7°		26.III	NIE		
1P			00 16 40 C	ei		10 05 22	
i			41				
		Z: 1 ^s ; 0,479 μ		26.III	Iles Philippines, USCGS: 19,9°N, 120,7°E, H = 14 ^h 09 ^m 07,9 ^s , h = 20 km; mb = = 5,7 (USCGS)		
1PoP			50	NIE	Δ = 81,4°		
eS			26 40	eP		14 21 27	
RAC (SK)		Δ = 80,7°		ePoP		37	
eipP			00 16 47				
ePoP			56	26.III	Chine, USCGS: 37,7°N, 115,1°E, H = 15 ^h 19 ^m 03,8 ^s , h = 33 km; mb = 5,5 (USCGS), M = 5,4-5,6 (Berkeley), MLH = 6,5 (Kraków)		
		Z: 1 ^s ; 5 μ		NIE	Δ = 65,0°		
23.III		Chine, USCGS: 37,4°N, 115,0°E, H = 17 ^h 28 ^m 01,9 ^s , h = 33 km; mb = = 5,2 (USCGS)		eP		15 29 43	
NIE		Δ = 65,0°		eL		51,5	
eP			17 38 42	KRA (SKM)	Δ = 65,0°	15 29 44	
24.III		Région des Iles Fidji, USCGS: 21,5°S, 176,3°W, H = 04 ^h 04 ^m 55,5 ^s , h = = 191 km; mb = 5,3 (USCGS)		eipP		51	
KRA (SKM)		Δ = 148,5°. Traces		ePoP		30 21	
ePKP ₁			04 24 18	eS		38 31	
epPKP ₂			25 23	ePPS		57	
NIE		Δ = 149,0°		eSKS		39 50	
eiPKP ₁			04 24 23 C	eL		50,4	
epPKP ₁			25 13	Lm		55 30	
24.III		Nouvelles Hébrides, USCGS: 13,7°S, 166,8°E, H = 08 ^h 27 ^m 51,4 ^s , h = 45 km; mb = = 5,8 (USCGS)					E: 13 ^s ; 10 μ
NIE		Δ = 135,0°		LM		39	N: 13 ^s ; 21 μ
ePKP			08 47 08	RAC (SK)	Δ = 66,0°	15 29 50	
24.III		Iles Tonga, USCGS: 19,7°S, 176,0°W, H = 22 ^h 08 ^m 11,5 ^s , h = 257 km; mb = 4,5 (USCGS)		eP		53	
NIE		Δ = 147,5°. Traces		26.III	Chine, USCGS: 37,8°N, 115,0°E, H = 18 ^h 14 ^m 23,1 ^s , h = 33 km; mb = 5,1 (USCGS), M = 5 ^h 1/2-5 ^h 3/4 (Palisades), MLH = 5,9 (Kraków)		
ePKP ₁			22 27 28	NIE	Δ = 65,0°	18 25 02	
25.III		Traces		eP			
NIE			16 07 05,5	KRA (SKM)	Δ = 65,0°	18 25 04	
e				eP		48	
26.III				eL		50 48	
NIE				Lm			E: 11 ^s ; 1,4 μ
eipP			10 05 04				N: 12 ^s ; 4 μ

Date	Station	Phase	G.M.T. h m s	Date	Station	Phase	G.M.T. h m s
26.III		Grèce, USCGS: 39,0°N, 21,8°E, H = 20 ^h 17 ^m 32,3 ^s , h = 33 km; mb = 4,4 (USCGS)		29.III		Chine, USCGS: 37,4°N, 115,0°E, H = 06 ^h 11 ^m 57,8 ^s , h = 17 km; mb = 5,7 (USCGS), MLH = 6,2 (Kraków)	
	NIE	Δ = 10,0°			KRA	Δ = 65,0°	
		eP	20 20 01		(GW)	eP	06 22 41
		ePP	06			ePoP	23 18
		ePPP	14			eL	47,0
						Lm	48 14
27.III		Mer d'Arabie, USCGS: 14,4°N, 56,7°E, H = 01 ^h 40 ^m 59,5 ^s , h = 35 km; mb = 5,1 (USCGS)				E: 11 ^s ; 3μ	
	NIE	Δ = 45,7°. Traces				Lm	22
		eP	01 49 20			N: 13 ^s ; 9μ	
	KRA	Δ = 46,5°. Traces		29.III		Iles Tonga, USCGS: 20,0°S, 175,4°W, H = 10 ^h 42 ^m 15,2 ^s , h = 97 km; mb = 5,2 (USCGS)	
		eP	01 49 23		NIE	Δ = 147,8°	
27.III		Costa-Rica, USCGS: 8,8°N, 83,5°W, H = 18 ^h 53 ^m 41,3 ^s , h = 41 km; mb = 5,9 (USCGS), M = 5,5-6 (Berkeley)				ePKP ₁	11 01 52
	KRA	Δ = 91,6°. Traces				e1	02 10
	(SKM)	e1P	19 06 47	30.III		Mer d'Arabie, USCGS: 21,6°N, 62,2°E, H = 04 ^h 18 ^m 38,3 ^s , h = 33 km; mb = 5,5 (USCGS)	
		epP	54		KRA	Δ = 43,5°	
	NIE	Δ = 92,2°			(SKM)	eP	04 26 39 D
		eP	19 06 49			1pP	47
28.III		Pologne, région de Zakopane			(GW)	eS	33 17
	NIE	<i>not felt</i>			NIE	Δ = 43,0°. Traces	
		1S _{NEZ}	05 01 58,5			eP	04 26 42
						e1	56
29.III		Région des Iles Volcano, USCGS: 23,7°N, 142,1°E, H = 02 ^h 17 ^m 39,0 ^s , h = 82 km; mb = 6,1 (USCGS)		30.III		Région de l'île Vancouver, USCGS: 49,8°N, 129,7°W, H = 12 ^h 40 ^m 01,0 ^s , h = 33 km; mb = 5,3 (USCGS), M = 5½-5¾ (Pasadena)	
	NIE	Δ = 90,6°			NIE	Δ = 77,0°	
		eP	02 30 34			eP	12 52 00
		i	41		KRA	Δ = 76,6°. Traces	
		epP	31 05		(GW)	eP	12 52 09
	KRA	Δ = 90,2°. Traces				eS	13 01 51
	(SKM)	eP	02 30 34			eSKS	02 20
		e	40			eL	.25
	(GW)	epP	57	30.III		Près de la côte E de Hondo, Japon, USCGS: 39,8°N, 143,2°E, H = 18 ^h 46 ^m 19,0 ^s , h = 15 km; mb = 5,1 (USCGS)	
		ePP	34 11		NIE	Δ = 77,2°	
		eSKS	40 54				
		e1S	41 16				
		ePFS	42 38				

Date	Station	Phase	G.M.T. h m s	Date	Station	Phase	G.M.T. h m s
30.III (suite)	NIE	eP	18 58 19	31.III	NIE	e1 _Z	14 00 30
		ePoP	30			1(SG) _{EZ}	47,5
31.III				31.III		Pruhonice: e1P	20 56 13,7
	NIE	1P	05 23 17 D		NIE	eP	20 56 15
		e1	25 23			e	23
31.III						e	30
	NIE	Traces		31.III			
		e	08 59 06		NIE	1P	23 15 05
31.III		Pruhonice: ePg	14 00 30			E: 1 ^s ; 0,051μ	
	NIE	eP _{NEZ}	14 00 25,5			e	49
1969	A V R I L						1069
1.IV		Mer du Groenland, USCGS: 74,3°N, 9,3°E, H = 01 ^h 14 ^m 40,2 ^s , h = 33 km; mb = 4,4 (USCGS)		1.IV	NIE	ePn	17 55 52
	NIE	Δ = 24,3°				ePg	56 26
		eP	01 17 09	2.IV			
1.IV		Iles aux Rats, Aléoutiennes, USCGS: 51,8°N, 176,4°E, H = 02 ^h 51 ^m 07,2 ^s , h = 60 km; mb = 5,1 (USCGS)			NIE	eP	02 07 45
	NIE	Δ = 76,2°				e	56
		eP	03 02 56	2.IV		Près de la côte E de Hondo, Japon, USCGS: 38,6°N, 142,0°E, H = 22 ^h 43 ^m 21,8 ^s , h = 43 km; mb = 5,2 (USCGS)	
1.IV		Grèce occidentale, BCIS: 38,8°N, 21,6°E, H = 13 ^h 15 ^m 05 ^s ; ML = 4,7 (Moxa)			KRA	Δ = 77,6°	
	NIE	Δ = 10,8°			(SKM)	e1P	22 55 18 C
		e1P	13 17 36			ePoP	31
	KRA	Δ = 11,3°		2.IV	NIE	Δ = 77,7°	
	(GW)	eP	13 17 52			1P	22 55 20 C
		eS	20 05			ePoP	32
		eL	21,6	3.IV		Près de la côte E de Hondo, Japon, USCGS: 36,6°N, 141,0°E, H = 04 ^h 43 ^m 38,4 ^s , h = 45 km; mb = 5,8 (USCGS), mPV = 6,0 (Niedzioa)	
		Lm	22,43		KRA	Δ = 78,8°	
		NE: 11 ^s ; 3,0μ, 1,0μ			(SKM)	1P	04 55 41 C
1.IV		Serbie, Yougoslavie, BCIS: 43,1°N, 20,5°E, H = 17 ^h 54 ^m 15 ^s			(GW)	ePoP	52
	NIE	Δ = 6,4°. Traces				ePP	58 38
						eSKS	05 05 54

Date	Station	Phase	G.M.T. h m s	Date	Station	Phase	G.M.T. h m s
3.IV (suite)	NIE	$\Delta = 78,9^\circ$		3.IV	NIE	$\Delta = 24,6^\circ$. Traces	
		1P	04 55 42 C			eP	23 08 02
		Pm	44	4.IV		Région des Iles Andaman,	
		Z: $0,9^s$; $0,112\mu$				USCGS: $11,8^\circ N$, $92,5^\circ E$,	
		ePoP	55			H = $02^h 17^m 16,6^s$, h = 25 km;	
		eFP	58 46			mb = 4,9 (USCGS)	
	RAC	$\Delta = 79,5^\circ$			NIE	$\Delta = 71,2^\circ$. Traces	
	(SK)	eP	04 55 46			eP	02 28 27
3.IV		Algérie, BCIS: $36,5^\circ N$,		4.IV		Région des Iles Andaman,	
		$2,9^\circ E$, H = $05^h 11^m 39^s$;				USCGS: $11,9^\circ N$, $92,5^\circ E$,	
		mb = 4,3 (USCGS)				H = $02^h 51^m 37,6^s$, h = 25 km;	
	NIE	$\Delta = 18,1^\circ$. Traces				mb = 5,1 (USCGS)	
		eP	05 15(52)		NIE	$\Delta = 71,2^\circ$	
3.IV		Grèce occidentale, BCIS,				eP	03 02 47
		$39,1^\circ N$, $21,6^\circ E$, H = 11^h				ePoP	03 19
		$36^m 30^s$; ML = 5,2 (Moxa),		4.IV		Traces	
		5 (Pruhonice)				eP	03 41 02
	NIE	$\Delta = 10,3^\circ$		4.IV		Région de l'île Macquarie,	
		eP	11 38 57			USCGS: $54,5^\circ S$, $146,1^\circ E$,	
		ePPP	39 16			H = $05^h 37^m 50,5^s$, h = 33 km;	
		eS	41 02			mb = 5,4 (USCGS)	
		eL	42,5		NIE	$\Delta = 147,5^\circ$	
	KRA	$\Delta = 11,0^\circ$				ePKP ₁	05 57 29
	(GW)	eP	11 39 05			ePKP ₂	34
		eS	41 17		KRA	$\Delta = 147,5^\circ$	
		Im	43 49		(SKM)	ePKP ₁	05 57 32
		E: 5^s ; 1μ				ePKP ₂	38
		Im	44 06				
		N: 5^s ; $3,5\mu$		4.IV		Région des Iles Andaman,	
	RAC	$\Delta = 11,2^\circ$				USCGS: $11,8^\circ N$, $92,5^\circ E$,	
	(SK)	eP	11 39 10			H = $06^h 42^m 12,2^s$, h = 22 km;	
		ePP	29			mb = 5,1 (USCGS)	
3.IV		Région des Iles Fidji,			NIE	$\Delta = 71,2^\circ$	
		USCGS: $16,3^\circ S$, $177,0^\circ W$,				eP	06 53 23
		H = $15^h 55^m 20,4^s$, h =				epP	28
		= 33 km; mb = 4,9 (USCGS)				ePoP	54
	NIE	$\Delta = 144,0^\circ$. Traces		4.IV		Salvador, USCGS: $13,8^\circ N$,	
		ePKP	16 14(52)			$89,7^\circ W$, H = $19^h 50^m 07,1^s$,	
						h = 102 km; mb = 5,1	
						(USCGS)	
3.IV		Proche			NIE	$\Delta = 92,0^\circ$. Traces	
		Traces				eP	20 03 08
	KRA	e(Pg)NEZ	21 27 12	5.IV		Traces	
	(SKM)	eNEZ	24			eIP	04 54 22
					(SKM)	e	45
3.IV		Région de l'île Jan Mayen,					
		USCGS: $71,8^\circ N$, $2,6^\circ W$, H =					
		= $23^h 02^m 39^s$, h = 33 km;					
		mb = 4,3 (USCGS),					

Date	Station	Phase	G.M.T. h m s	Date	Station	Phase	G.M.T. h m s
5.IV		Iles Kouriles, USCGS:		6.IV		H = $22^h 28^m 38,2^s$, h = 33 km;	
		$43,9^\circ N$, $147,7^\circ E$, H = 04^h				mb = 5,5 (USCGS)	
		$57^m 41,4^s$, h = 76 km;			KRA	$\Delta = 73,0^\circ$	
		mb = 5,2 (USCGS)			(SKM)	eIP	22 40 10 C
	NIE	$\Delta = 75,6^\circ$				epP	21
		eIP	05 09 24 C		NIE	$\Delta = 73,8^\circ$	
		ePoP	46			eIP	22 40 14
5.IV		Hondo, Japon, USCGS:				epP	22
		$36,9^\circ N$, $138,1^\circ E$, H = 08^h		7.IV			
		$51^m 17,9^s$, h = 17 km; mb =			KRA	eIP _{NEZ}	01 43 27,5
		= 5,1 (USCGS), MLH = 5,7			(SKM)	eNEZ	33
		(Kraków)		7.IV		Mer Ionienne, BCIS:	
	NIE	$\Delta = 77,4^\circ$				$37,6^\circ N$, $21,3^\circ E$, H = 03^h	
		eP	09 03 18			$25^m 45^s$; mb = 4,8 (USCGS)	
		ePoP	28		NIE	$\Delta = 11,8^\circ$	
	KRA	$\Delta = 77,3^\circ$. Traces				eP	03 28 31
	(GW)	eL	09 35,5		KRA	$\Delta = 12,5^\circ$	
		Im	36 04		(SKM)	eP	03 28 41
		NE: 14^s ; 15^s ; $3,1\mu$,			(GW)	1PP	55
		$2,1\mu$		7.IV		Iles Riou-Kiou, USCGS:	
6.IV		Quent du Pakistan, USCGS:				$26,2^\circ N$, $127,4^\circ E$, H = 09^h	
		$34,9^\circ N$, $73,1^\circ E$, H = 01^h				$42^m 32,2^s$, h = 45 km; mb =	
		$51^m 53,2^s$, h = 58 km; mb =				= 5,8 (USCGS)	
		= 5,0 (USCGS)			KRA	$\Delta = 80,5^\circ$	
	NIE	$\Delta = 47,4^\circ$			(SKM)	eIP	09 54 42 C
		eIP	01 59 32			eI	46
		epP	47		(GW)	epP	55
6.IV						eSKS	10 04 57
	KRA					eSoS	05 06
	(GW)	eL	03 47,3			ePPS	52
		Im	48 25	7.IV	NIE	$\Delta = 80,5^\circ$	
		N: 12^s , $1,7\mu$				1P	09 54 44 C
		Im	30			epP	57
		E: 12^s , $1,1\mu$				ePP	57 45
6.IV				6.IV	KRA		
						eL	04 04,2
6.IV		Mindanao, Philippines,		6.IV			
		USCGS: $9,0^\circ N$, $126,4^\circ E$,					
		H = $21^h 53^m 08,4^s$, h =					
		= 50 km; mb = 5,4					
		(USCGS)					
	NIE	$\Delta = 93,5^\circ$					
		eP	22 06 21				
		epP	35				
6.IV		Région de l'île Kodiak		7.IV		Piémont, Italie, BCIS:	
		USCGS: $56,5^\circ N$, $154,5^\circ W$,				$44,2^\circ N$, $7,4^\circ E$, H =	

Date	Station	Phase	G.M.T. h m s	Date	Station	Phase	G.M.T. h m s
7.IV (suite)	NIE	$\Delta = 10,2^\circ$. Traces	19 41 27	8.IV	RAC (SK)	$\Delta = 31,5^\circ$ eP	05 59 01
	RAC (SK)	$\Delta = 9,9^\circ$ e(S)	19 43 10		KRA (SKM)	$\Delta = 32,7^\circ$ eIP	05 59 11 C
	KRA (SKM)	$\Delta = 10,3^\circ$ eS	19 43 22		(GW)	ePP	06 00 16
		eL	44,9			ePPP	29
						eL	09,8
8.IV		Sud de Sumatra, USCGS: 2,0°S, 100,2°E, H = 23 ^h 53 ^m 51,1 ^s , h = 33 km; mb = = 4,9 (USCGS)		8.IV		Région de l'île Kodiak, USCGS: 56,5°N, 152,5°W, H = 22 ^h 40 ^m 57,1 ^s , h = 33 km; mb = 5,0 (USCGS), M = 5½ - -5¾ (Pasadena)	
	NIE	$\Delta = 84,8^\circ$			KRA	$\Delta = 72,9^\circ$	
		eP	00 06 25		(SKM)	eP	22 22 30 D
		epP	35		NIE	$\Delta = 73,6^\circ$	
8.IV		Près de la côte E de Kamohatka, USCGS: 51,3°N, 157,8°E, H = 01 ^h 46 ^m 45,5 ^s , h = 48 km; M = 5½ (Pasa- dena), MLH = 6,6 (Kraków)				eP	22 22 34
	KRA (SKM)	$\Delta = 72,4^\circ$			ePoP		57
		eIP	01 58 10 C	8.IV		Iles Proches, Aléoutiennes, USCGS: 52,4°N, 173,5°E, H = = 23 ^h 46 ^m 50,1 ^s , h = 38 km; mb = 4,8 (USCGS)	
	(GW)	epP	21		NIE	$\Delta = 76,2^\circ$. Traces	
		ePoP	27			eP	23 58 34
		ePP	02 00 52			ePoP	48
		iS	07 33	9.IV		Costa-Rica, USCGS: 9,4°N, 84,2°W, H = 02 ^h 34 ^m 23,9 ^s , h = 47 km; mb = 5,3 (USCGS)	
		ePS	08 10		KRA	$\Delta = 91,7^\circ$	
		ePPS	27		(SKM)	eIP	02 47 29
		eL	26,0			epP	39
		Im	33 22		NIE	$\Delta = 92,2^\circ$	
		NE: 22 ^s ; 36 μ , 18 μ				eIP	02 47 31 C
	NIE	$\Delta = 72,5^\circ$		9.IV		Costa-Rica, USCGS: 9,5°N, 84,1°W, H = 02 ^h 42 ^m 11,1 ^s , h = 49 km; mb = 5,7 (USCGS), M = 5¾ (Palisades)	
		eIP	01 58 13 C		KRA	$\Delta = 91,7^\circ$. Traces	
		ePoP	27		(GW)	eIP	02 55 15
	RAC (SK)	$\Delta = 72,8^\circ$			NIE	$\Delta = 92,2^\circ$	
		eP	01 58 14			eIP	02 55 17 C
8.IV		Près de la côte E de Kamohatka, USCGS: 51,3°N, 157,9°E, H = 05 ^h 24 ^m 45,2 ^s , h = 48 km; mb = 5,3 (USCGS)			iPoP		18
	NIE	$\Delta = 72,5^\circ$. Traces		9.IV		Local	
		eP	05 36 14				
8.IV		Atlantique du Nord, USCGS: 52,7°N, 33,3°W, H = 05 ^h 52 ^m					

Date	Station	Phase	G.M.T. h m s	Date	Station	Phase	G.M.T. h m s
9.IV (suite)	NIE	eIP ₂	07 00 34,5	11.IV		Afghanistan-URSS; USCGS: 38,9°N, 70,6°E, H = 16 ^h 42 ^m 52,2 ^s , h = 13 km; mb = = 4,8 (USCGS)	
		i ₂	38,8		NIE	$\Delta = 36,0^\circ$	
		i ₂	39,8			eIP	16 50 02
		Im	45			eIPP	51 32
		NEZ: 0,9 ^s ; 0,8 ^s ; 1 ^s ; 0,136 μ , 0,092 μ , 0,060 μ			KRA	$\Delta = 37,2^\circ$	
		P	01 00		(SKM)	eP	16 50 04 D
9.IV		Région de l'île Kodiak, USCGS: 56,4°N, 152,3°W, H = 20 ^h 08 ^m 34,7 ^s , h = 14 km; mb = 5,4 (USCGS)			(GW)	ePP	51 27
	NIE	$\Delta = 73,6^\circ$			ePoS		56 08
		eP	20 20 14	11.IV		Mexique, USCGS: 18,3°N, 102,3°W, H = 17 ^h 17 ^m 32,4 ^s , h = 56 km; mb = 5,5 (USCGS), M = 5¾ -5½ (Pa- lisades)	
10.IV		Iles Proches, Aléoutiennes, USCGS: 53,1°N, 170,9°E, H = = 10 ^h 39 ^m 53,2 ^s , h = 33 km; mb = 5,1 (USCGS)			Rac (SK)	$\Delta = 93,7^\circ$ eP	17 30 47
	KRA (SKM)	$\Delta = 73,6^\circ$. Traces			KRA (SKM)	$\Delta = 95,0^\circ$ eIP	17 30 50 C
		eP	10 51 29		(GW)	eS	41 53
		ePoP	44		NIE	$\Delta = 95,4^\circ$	
10.IV		Chili, USCGS: 31,5°S, 71,0°W, H = 16 ^h 36 ^m 14,9 ^s , h = 63 km; mb = 5,6 (USCGS)				eIP	17 30 54 C
	KRA (SKM)	$\Delta = 114,2^\circ$				epP	31 07
		ePKP	16 54 48	11.IV		Région de l'île Kodiak, USCGS: 57,2°N, 153,4°W, H = 18 ^h 26 ^m 09,0 ^s , h = = 12 km; mb = 4,9 (USCGS)	
10.IV		Près de la côte Californie, USCGS: 41,3°N, 125,6°W, H = = 22 ^h 27 ^m 00,9 ^s , h = 33 km; mb = 5,0 (USCGS)			NIE	$\Delta = 73,2^\circ$. Traces	
	KRA (SKM)	$\Delta = 83,1^\circ$. Traces				eP	18 37 44
		eP	22 39 30	11.IV		Région de l'île Kodiak, USCGS: 56,6°N, 152,1°W, H = 23 ^h 00 ^m 23,7 ^s , h = 33 km; mb = 5,4 (USCGS), M = = 5¾ -6 (Palisades)	
	NIE	$\Delta = 84,0^\circ$. Traces			RAC (SK)	$\Delta = 72,5^\circ$ eP	23 11 54
		eP	22 39 35		KRA (SKM)	$\Delta = 73,0^\circ$ eIP	23 11 55 C
11.IV		Iles Proches, Aléoutiennes, USCGS: 52,7°N, 173,1°E, H = 16 ^h 05 ^m 43,4 ^s , h = 31 km; mb = 5,1 (USCGS)			NIE	$\Delta = 73,5^\circ$	
	KRA (Ch)	$\Delta = 74,5^\circ$. Traces				eIP	23 11 59 C
		eP	16 17 24			ei	12 03
		ePoP	36			ePoP	18
	NIE	$\Delta = 75,0^\circ$		12/13. IV		Près de la côte du Chili, USCGS: 38,2°S, 73,1°W, H =	
		eIP	16 17 28				

Date	Station	Phase	G.M.T. h m s	Date	Station	Phase	G.M.T. h m s
12/13 IV (suite)		= 23 ^h 37 ^m 38,7 ^s , h = 20 km; M = 6 (Pasadena), 6,4 (Berkeley), 6-6/4 (Pali- sades)		14.IV		Proche	
	NIE	$\Delta = 120,0^\circ$			KRA (SKM)	eIP _{NEZ} 1S _{NEZ}	00 25 14,5 C 20,0
		ePKP	23 56 29	14.IV		Proche	
	KRA (GW)	$\Delta = 120,0^\circ$			KRA (SKM)	eIP _{NEZ} eI _{NEZ} eI _{NEZ}	14 00 43,0 50,5 56,5
		ePKP	23 56 35				
		ePP	58 08	14.IV		Nevada, États-Unis, USCGS: 37°14'34"N, 116°25'51" W, H = 14 ^h 13 ^m 43,1 ^s	
		ePKS	00 00 14		NIE	$\Delta = 85,0^\circ$	
		eSKS	03 33			eP	14 26 24 D
		ePS	07 52				
		Im	50 56				
		N: 18 ^s ; 13,2 μ					
		LM	51 46				
		E: 17 ^s ; 6,2 μ					
13.IV		République du Congo, USCGS: 0,9°N, 30,1°E, H = 02 ^h 14 ^m 17,9 ^s , h = 17 km; mb = 5,0 (USCGS)		14.IV		Local	
	NIE	$\Delta = 49,4^\circ$			NIE	eP _{NEZ} eIP _{NEZ} eI(L) _{NE} eI _Z	15 50 33,0 53,5 54,5
		eP	02 23 06				
13.IV		Près de la côte du Chili, USCGS: 38,1°S, 73,1°W, H = = 03 ^h 35 ^m 16,7 ^s , h = 39 km; mb = 5,8 (USCGS), M = 5 1/2 (Pasadena)		14.IV		Au Sud de la Crête, USCGS: 34,6°N, 24,0°E, H = 18 ^h 51 ^m 44 ^s	
	NIE	$\Delta = 120,0^\circ$			NIE	$\Delta = 15,2^\circ$	
		ePKP	03 54 04			eP	18 55 16
	KRA (SKM)	$\Delta = 120,0^\circ$				ePP	26
	(GW)	ePKP	03 54 04		KRA (SKM)	$\Delta = 15,8^\circ$. Traces	
		eSKS	04 01 15			eP	18 55 29
		eL	41,2			ePP	47
13.IV		Au Sud des Iles Fidji, USCGS: 23,6°S, 179,8°W, H = 04 ^h 27 ^m 54,9 ^s , h = = 549 km; mb = 5,1 (USCGS)		14.IV		Afghanistan-URSS, USCGS: 38,9°N, 70,6°E, H = 21 ^h 06 ^m 14,4 ^s , h = 12 km; mb = = 5,1 (USCGS), mPV = 5,2 (Niedzica)	
	NIE	$\Delta = 149,5^\circ$			NIE	$\Delta = 36,5^\circ$	
		ePKP ₁	04 46 37			eIP	21 13 26 C
		eIPKP ₂	44			Pm	29
		Z: 1,1 ^s ; 0,083 μ					
		1	49			ePP	14 46
		eIPKP	48 55		KRA (SKM)	$\Delta = 37,1^\circ$	
	KRA (SKM)	$\Delta = 149,5^\circ$			(GW)	eIP	21 13 27 C
		1PKP ₁	04 46 42 D			eIPP	14 55
		ePKP ₂	48		RAC (SK)	$\Delta = 38,0^\circ$. Ag. mi.	
		epPKP	48 49			eP	21 13 45
						ePP	15 04

Date	Station	Phase	G.M.T. h m s	Date	Station	Phase	G.M.T. h m s
15.IV		République du Congo, USCGS: 0,8°N, 30,1°E, H = 03 ^h 08 ^m 15,2 ^s , h = = 26 km; mb = 5,2 (USCGS)		16.IV		Près de la côte E de Hondo, Japon, USCGS: 35,0°N, 141,7°E, H = 10 ^h 13 ^m 25,6 ^s , h = 39 km; mb = 5,1 (USCGS), MLH = 5,8 (Kra- ków)	
	NIE	$\Delta = 49,4^\circ$			KRA (Ch)	$\Delta = 80,5^\circ$	
		eP	03 17 04			eP	10 25 37
15.IV		Près de la côte E de Hondo, Japon, USCGS: 36,7°N, 141,0°E, H = 17 ^h 59 ^m 33,8 ^s , h = 40 km; mb = 4,9 (USCGS)			(GW)	eL	11 00,5
	NIE	$\Delta = 79,0^\circ$				Im	05 47
		eP	18 11 39			N: 15 ^s ; 2,8 μ	
		epP	(50)			Im	58
16.IV		Région de l'île Kodiak, USCGS: 56,9°N, 153,6°W, H = 01 ^h 27 ^m 13,5 ^s , h = = 23 km; mb = 5,7 (USCGS), M = 6 1/4 (Pasadena), MLH = = 5,9 (Kraków)				E: 14 ^s ; 1,9 μ	
	KRA (GW)	$\Delta = 72,5^\circ$			NIE	$\Delta = 80,6^\circ$	
		eP	01 38 47			eIP	10 25 40
		epP	49			ePP	28 43
		ePoP	55	16.IV		République Dominicaine, USCGS: 19,0°N, 70,5°W, H = 11 ^h 31 ^m 59,2 ^s , h = = 27 km; mb = 4,9 (USCGS)	
		eIS	48 13		NIE	$\Delta = 76,1^\circ$	
		eSoS	51			eP	11 43 49
		ePPS	57	16.IV		Local	
		eL	02 10,0		NIE	eP _{NEZ}	14 31 59,8
		Im	13 08			1S _{NEZ}	32 03,5
		N: 20 ^s ; 11,5 μ				eIL _{NE}	08,0
		Im	19 28			Im	15
		NE: 15 ^s ; 14 ^s ; 3,9 μ , 2,0 μ					NE: 0,7 ^s ; 0,5 ^s ; 0,068 μ , 0,081 μ
	RAC (SK)	$\Delta = 72,3^\circ$			KRA (Ch)	Traces	
		eP	01 38 46			e	14 32 12,5
		ePoP	39 04			e	33
	NIE	$\Delta = 73,2^\circ$		16.IV		République du Congo, USCGS: 0,8°N, 29,9°E, H = 14 ^h 43 ^m 18,0 ^s , h = 11 km; mb = 5,3 (USCGS)	
		eIP	01 38 49 C		NIE	$\Delta = 49,4^\circ$	
		ePoP	39 01			eIP	14 52 08 D
16.IV		Local			KRA (SKM)	$\Delta = 50,0^\circ$. Traces	
	NIE	1P _{NEZ}	07 19 45,3 D			eP	14 52 12
		eL _Z	20 01,7	16.IV		Région des Iles Fidji, USCGS: 21,2°S, 178,5°W, H = 15 ^h 23 ^m 28,5 ^s , h = = 500 km; mb = 5,3 (USCGS)	
16.IV		Local					
	NIE	e(PG) _Z	09 54 04,5				
		e(L) _Z	19,5				

Date	Station	Phase	G.M.T. h m s	Date	Station	Phase	G.M.T. h m s	
16.IV (suite)	NIE	$\Delta = 147,5^{\circ}$		19.IV	NIE	$\Delta = 18,5^{\circ}$		
		ePKP ₁	15 42 14			eP	01 17 56	
	i	18	ePP			18 05		
	Z: 1,1 ^s ; 0,09 μ		20.IV		Iles Mariannes, USCGS.			
ePKP ₂	36	KRA		Traces				
17.IV	KRA (SKM)	$\Delta = 147,5^{\circ}$		20.IV	KRA (GW)	eL	03 25,0	
		ePKP ₁	15 42 16 D					
	ei	21	20.IV	Iles Mariannes, USCGS.				
	ePKP ₂	30		KRA				
RAC (SK)	$\Delta = 148,0^{\circ}$		20.IV	KRA (GW)	eL	06 52,8		
ePKP ₁	15 42 19	Lm			07 01 34			
18.IV	Iles Tonga, USCGS: 15,2 ^o S, 173,1 ^o W, H = 06 ^h 38 ^m 05,6 ^s , h = 30 km; mb = 4,8 (USCGS)			20.IV	NIE	eP	11 59 29,9	
	NIE	$\Delta = 144,0^{\circ}$. Traces				e	46	
		ePKP	06 57 39			e	12 00 42	
	18.IV	Golfe d'Aden, USCGS: 12,9 ^o N, 48,4 ^o E, H = 08 ^h 14 ^m 16,6 ^s , h = 33 km; mb = 5,3 (USCGS)				20.IV	NIE	eP
NIE		$\Delta = 43,3^{\circ}$		ePoP	40			
		eP	08 22 15					
KRA (Ch)		$\Delta = 43,7^{\circ}$. Traces		20.IV	Iles Mariannes, USCGS: 18,8 ^o N, 147,0 ^o E, H = 16 ^h 26 ^m 20,8 ^s , h = 50 km; mb = 5,3 (USCGS)			
	eP	08 22 23	NIE		$\Delta = 97,3^{\circ}$. Traces			
eS	28 50	eP			16 40 00			
RAC (SK)	$\Delta = 44,5^{\circ}$		ePP		15			
18.IV	NIE	$\Delta = 10,4^{\circ}$		ePP	55			
		eP	10 01 53	20.IV	Caucase, USCGS: 41,7 ^o N, 48,2 ^o E, H = 16 ^h 42 ^m 06,0 ^s , h = 36 km; mb = 5,4 (USCGS), ML = 5,7 (Fruhonice)			
	ePP	02 04	NIE		$\Delta = 20,8^{\circ}$			
	ePPP	14			eP	16 46 46		
18.IV	NIE	$\Delta = 77,8^{\circ}$. Traces			ei	49		
		eP	22 47 18	ei	56			
	19.IV	Caucase, USCGS: 43,0 ^o N, 45,7 ^o E, H = 01 ^h 13 ^m 38,7 ^s , h = 33 km; mb = 4,7 (USCGS)			1PP	47 07		
		eP		1S	50 40			
19.IV	KRA	$\Delta = 21,2^{\circ}$		e1PoP	56			
		eP		ei	51 39			

Date	Station	Phase	G.M.T. h m s	Date	Station	Phase	G.M.T. h m s			
20.IV (suite)	KRA (SKM)	eP	16 46 51	21.IV	KRA	ePoP	15 57 42			
		i	53			ePP	16 00 40			
		i	56			eS	07 40			
		1PP	47 12			eL	28,8			
		1PPP	21			Lm	37 44			
		e1S	50 51				N: 14 ^s ; 10,6 μ			
		e1SS	51 18			Lm	38 09			
							E: 14 ^s ; 7,3 μ			
		RAC (M)	$\Delta = 22,0^{\circ}$				21.IV	Près de la côte E de Hondo, Japon, USCGS: 35,6 ^o N, 142,0 ^o E, H = 17 ^h 36 ^m 47,9 ^s , h = 25 km; mb = 5,0 (USCGS), MLH = 5,9 (Kraków)		
		eP	16 47 09			KRA		$\Delta = 80,1^{\circ}$		
20.IV	KRA (SKM)	ePP	30	(GW)	eS		17 59 06			
		Lm	54,1			eL	18 25,0			
			NE: 3,5 ^s ; 46 μ , 31 μ			Lm	29 00			
							NE: 13,5 ^s ; 3,3 μ , 2,6 μ			
21.IV	KRA (SKM)	Proche		NIE	eP		23 38 47			
		ePKP _{NEZ}	21 24 48			ePoP	39 15			
		e1S _{NEZ}	58			eS	48 14			
		ePKP _{RZ}	21 24 58,3							
21.IV	KRA (SKM)	Kazakstan-URSS; USCGS: 49,8 ^o N, 78,1 ^o E, H = 03 ^h 57 ^m 57,9 ^s , h = 0; mb = 5,4 (USCGS)		NIE	eP		23 38 48 D			
		$\Delta = 36,3^{\circ}$				ePoP	39 14			
		e1P	04 05 07			ePP	41 33			
		$\Delta = 36,2^{\circ}$				e1S	48 12			
21.IV	KRA (SKM)	1P	04 05 09 C	KRA (SKM)	e1P		23 38 48 D			
		e	16			ePoP	39 14			
		i	21			ePP	41 33			
		ePP	06 20			e1S	48 12			
21.IV	KRA (SKM)	Au Sud-Est de la Crête, USCGS: 34,7 ^o N, 25,7 ^o E, H = 06 ^h 45 ^m 29,1 ^s , h = 62 km; mb = 4,9 (USCGS)		NIE	eL		00 09,7			
		$\Delta = 16,0^{\circ}$				Lm	11 13			
		1P	06 49 11 C				N: 20 ^s ; 4,1 μ			
		ePPP	42			LM	19			
21.IV	KRA (GW)	eL	55,9	NIE	e1P		23 38 52 D			
							E: 16 ^s ; 1,2 μ			
		Près de la côte E de Hondo, Japon, USCGS: 35,7 ^o N, 142,0 ^o E, H = 15 ^h 45 ^m 23,0 ^s , h = 29 km; mb = 5,2 (USCGS), MLH = 6,4 (Kraków)								
		$\Delta = 80,1^{\circ}$				23.IV	Célèbes du Nord, USCGS: 0,9 ^o S, 122,4 ^o E, H = 00 ^h 09 ^m 34,1 ^s , h = 40 km; M = 6 $\frac{1}{2}$ (Pasadena), 6 $\frac{1}{4}$ -7 (Palisades)			
eP	15 57 32	NIE	$\Delta = 97,3^{\circ}$							
21.IV	KRA (GW)			NIE	e1P		00 23 10 D			

Date	Station	Phase	G.M.T. h m s	Date	Station	Phase	G.M.T. h m s	
23.IV (suite)	NIE	epP	00 23 22	23.IV	KRA			
		1PP	27 15			(Ch)	eP	09 10 20
	(SKM)	KRA $\Delta = 97,6^\circ$			(GW)	ePP	14 23	
		1	00 23 10 D		25.IV	Région des Iles Fidji, USCGS: 21,0°S, 178,7°W, H = 10 ^h 41 ^m 58,6 ^s , h = = 560 km, mb = 5,2 (USCGS)		
	(GW)	1PP	27 16			KRA	$\Delta = 147,4^\circ$	
	e1PPP	29 27	(SKM)			ePKP ₁	11 00 39 C	
	eS	34 48				ePKP ₂	48	
	e1	35 50	NIE			$\Delta = 147,8^\circ$		
	ePPS	36 41				ePKP ₁	11 00 39	
	e1	38 31				e(PKP ₂)	42	
eL	56,6		1	01 00				
Im	01 00 07		epPKP	02 57				
	N: 32 ^m ; 40 ^m							
	Im	08 27						
	N: 22 ^m ; 30 ^m							
RAC	$\Delta = 98,3^\circ$			RAC	$\Delta = 149,0^\circ$			
	(SK)	eP	00 23 16		(SK)	ePKP ₁	11 00 42	
	ePP	27 18						
23.IV	Mer du Groenland, USCGS: 73,5°N, 8,3°E, H = 01 ^h 03 ^m 24,0 ^s , h = 33 km; mb = = 4,6 (USCGS)			25.IV	Ouzbékistan, URSS, USCGS: 41,3°N, 69,2°E, H = 23 ^h 22 ^m 49,3 ^s , h = 5 km; mb = 5,0 (USCGS), M = 4¼ (Uppsala)			
	RAC	$\Delta = 23,8^\circ$			NIE	$\Delta = 34,5^\circ$		
	(SK)	eP	01 08 37			eP	23 39 43	
		ePP	09 09		KRA	$\Delta = 34,6^\circ$. Traces		
	KRA	$\Delta = 23,8^\circ$. Traces			(SKM)	eP	23 29 44	
	(SKM)	e1P	01 08 37 C			ePP	31 02	
		epP	45		(GW)	eSS	37 33	
		ePP	09 15		26.IV	Proche ?		
		e1PPP	22			KRA		
		eS	12 41		(SKM)	e ⁱ NEZ	12 09 24,3	
NIE	$\Delta = 24,6^\circ$			e ^e NEZ	42,3			
	eP	01 08 44	27.IV	Turquie orientale, BCIS: 38,1°N, 42,6°E, H = 19 ^h 48 ^m 51 ^s ; mb = 5,0 (USCGS), ML = = 5,2 (Moxa), 5,1 (Pru- honice)				
	e(pP)	59		NIE	$\Delta = 19,7^\circ$			
23.IV	Nouvelle Zélande, USCGS: 41,6°S, 174,3°E, H = 06 ^h 49 ^m 39,0 ^s , h = 18 km; mb = = 5,8 (USCGS)				e1P	19 53 19 C		
	KRA	$\Delta = 160,5^\circ$			e1	35		
	(Ch)	ePKP ₂		07 10 17	e1PP	44		
	23.IV	Célèbes du Nord, USCGS: 0,5°S, 122,2°E, H = 08 ^h 56 ^m 46,1 ^s , h = 82 km; M = 6 (Pasadena), 6-6¼ (Pa- lisades)				1S	57 04	
		KRA		$\Delta = 97,6^\circ$		KRA	$\Delta = 20,0^\circ$	
						(GW)	eP	19 53 27
							ePP	42
							e1PPP	49
						e1S	57 10	
						eL	20 00,3	

Date	Station	Phase	G.M.T. h m s	Date	Station	Phase	G.M.T. h m s
27.IV (suite)	RAC (SK)	$\Delta = 20,8^\circ$		28.IV	NIE	$\Delta = 148,0^\circ$	
		eP	19 53 38			ePKP ₁	17 33 16
		ePPP	54 13			ePKP ₂	26
		eS	57 18		RAC	$\Delta = 148,0^\circ$. Traces	
27.IV	Au Sud des Iles Fidji, USCGS: 25,1°S, 179,8°E, H = 21 ^h 33 ^m 17,8 ^s , h = = 499 km, mb = 4,7 (USCGS)				(SK)	ePKP ₁	17 33 17
	NIE	$\Delta = 151,0^\circ$		28.IV	Au Sud de Péninsule de l'Alaska, USCGS: 53,9°N, 157,6°W, H = 01 ^h 46 ^m 42,2 ^s , h = 28 km; mb = 5,1 (USCGS)		
		ePKP ₁	21 52 08		KRA	$\Delta = 75,6^\circ$	
1PKP ₂		14	(SKM)		e1P	01 58 29 D	
		Z: 0,9 ^m ; 0,023 ^m			epP	33	
28.IV	Région des Iles Fidji, USCGS: 21,8°S, 179,2°W, H = 00 ^h 17 ^m 50,8 ^s , h = = 596 km, mb = 4,7 (USCGS)			29.IV	Local		
	NIE	$\Delta = 148,5^\circ$			NIE		
		ePKP ₁	00 36 32			e ^e NZ	16 57 05
			e(SG)	10			
28.IV	Iles Auckland, USCGS: 49,0°S, 164,2°E, H = 01 ^h 15 ^m 36,0 ^s , h = 14 km; mb = = 5,6 (USCGS)				eL	30	
	NIE	$\Delta = 157,0^\circ$		29.IV	Près de la côte E de Kamohatka, USCGS: 52,1°N, 160,5°E, H = 23 ^h 03 ^m 41,6 ^s , h = 53 km; mb = 4,5 (USCGS)		
		e	01 35 46		NIE	$\Delta = 72,5^\circ$	
ePKP ₂		58	eP			23 15 10	
KRA	$\Delta = 157,0^\circ$						
(SKM)	e1PKP ₂	01 36 00	30.IV	Local			
28.IV	Iles Tonga, USCGS: 19,4°S, 173,4°W, H = 16 ^h 56 ^m 21,3 ^s , h = 36 km; mb = 5,1 (USCGS)			NIE			
	NIE	$\Delta = 148,0^\circ$				e1P ₂	10 11 01,8
		ePKP ₁	17 16 04		e(SG) ₂ ; e1(SG) ₂	08,1	
RAC		$\Delta = 147,5^\circ$		eL ^e NZ	12,0		
	(SK)	ePKP ₁	17 16 06	Im	14		
	KRA	$\Delta = 147,5^\circ$		30.IV	Kirghizie, URSS, USCGS: 41,1°N, 72,1°E, H = 13 ^h 41 ^m 11,8 ^s , h = 33 km; mb = 5,0 (USCGS)		
(GW)	ePKP ₁	17 16 07	NIE		$\Delta = 36,5^\circ$		
	ePKP ₂	12			e1P	13 48 18 C	
	eL	18 25		epP	24		
28.IV	Iles Tonga, USCGS: 19,2°S, 173,6°W, H = 17 ^h 13 ^m 34,5 ^s , h = 56 km; mb = 5,1 (USCGS)			KRA	$\Delta = 36,8^\circ$		
	(SKM)	$\Delta = 147,5^\circ$. Traces			(Ch)	e1P	13 48 18 C
		ePKP ₁	17 33 14			e1P	25
		ePKP ₂	30				

Date	Station	Phase	G.M.T. h m s	Date	Station	Phase	G.M.T. h m s	
1966				M A I				1966
1.V		Région frontière Pérou- -Brésil, USCGS: 8,5°S, 74,3°W, H = 16 ^h 22 ^m 56,3 ^s , h = 165 km ca; mb = 5,7 (USCGS), M = 6 ³ / ₄ (Pa- sadena)		2.V		Région des Iles Fidji, USCGS: 18,0°S, 178,3°W, H = 10 ^h 53 ^m 28 ^s , h = 537 km; mb = 4,9 (USCGS)		
	KRA	Δ = 99,5°			NIE	Δ = 145,0°		
	(SKM)	eP	16 36 21 C			1FKP ₁	11 12 06	
		epP	37 02			Z: 1 ^s ; 0,043μ		
	(GW)	eSKS	46 47			ePKP ₂	22	
		eS	47 37	2.V		Proche		
1.V	NIE	Δ = 99,5°			NIE	eNEZ	11 32 18	
		eP	16 36 22			eNEZ	39	
		epP	37 01	2.V				
1.V	NIE				NIE	e	13 56 06	
		eP	16 52 45			e	15	
1.V		Au Sud de Hondo, Japon, USCGS: 30,6°N, 140,6°E, H = 18 ^h 30 ^m 41,8 ^s , h = = 114 km; mb = 5,0 (USCGS)		2.V		Turquie, région du Lao de Van, USCGS: 38,7°N, 42,7°E, H = 13 ^h 55 ^m 03,6 ^s , mb = 4,7 (USCGS)		
	NIE	Δ = 84,0°			NIE	Δ = 19,1°		
		eIP	18 43 02			eP	13 59 30	
		ePoP	07			epP	37	
1.V		Crête médiane de l'Atlan- tique Nord, USCGS: 23,8°N, 45,2°W, H = 22 ^h 23 ^m 21,5 ^s , h = 33 km; mb = 4,9 (USCGS)		2.V		Région de Java, USCGS: 8,6°S, 114,9°E, H = 16 ^h 39 ^m 44 ^s , h = 103 km; mb = = 5,8 (USCGS)		
	NIE	Δ = 56,3°			NIE	Δ = 99,5°		
		eP	22 33 03			eIP	16 53 17	
2.V		Région de la Nouvelle Bretagne, USCGS: 6,2°S, 149,7°E, H = 09 ^h 52 ^m 48,5 ^s , h = 52 km; M = 6 (Pasa- dena), MLH = 6,1 (Kraków)				Z: 1 ^s ; 0,019μ		
	NIE	Δ = 119,5°				ePP	57 20	
		ePKP	10 11 34	2.V		Turquie, USCGS: 37,8°N, 42,4°E, H = 20 ^h 40 ^m 38 ^s , h = 15 km; mb = 4,5 (USCGS)		
	KRA	Δ = 119,2°			NIE	Δ = 19,5°. Traces		
	(GW)	eL	10 54,1			eP	20 45 09	
		LM	11 02 39	2.V		Turquie, BCIS: 38,1°N, 42,4°E, H = 23 ^h 12 ^m 28 ^s , h = 75 km ± 20 km; ML =		
		NE: 22 ^s ; 5,5μ, 5,0μ						

Date	Station	Phase	G.M.T. h m s	Date	Station	Phase	G.M.T. h m s
2.V (suite)		= 4,7 (Moxa), 4,6 (Pru- honice), MLH = 4,6 (Kraków)		4.V		58,9 ^s , h = 47 km; mb = 4,2 (USCGS)	
	NIE	Δ = 19,3°			NIE	Δ = 10,4°	
		eIP	23 16 50 C			eP	07 41 31
		epP	58			ePP	40
	KRA	Δ = 20,0°		4.V		Iles Tonga, USCGS: 15,4°S, 174,9°W, H = 07 ^h 46 ^m 41,2 ^s , h = 240 km; mb = 4,6 (USCGS)	
	(SKM)	eIP	23 16 55 C		NIE	Δ = 144,0°. Traces	
		ePP	17 11			ePKP ₁	08 05 48
	(GW)	ePPP	21			ePKP ₂	56
		eS	20 39	4.V			
		Lm	27,2		NIE		
		NE: 12 ^s ; 1,4μ, 1,1μ				eIP	08 58 58
	RAC	Δ = 21,0°				e	59 11
	(SK)	eP	23 17 11	3.V		Traces	
3.V					NIE		
		c	14 50 29			e	54,7
		e	54,7	3.V		Turquie, USCGS: 38,3°N, 42,6°E, H = 20 ^h 34 ^m 28 ^s , h = 33 km	
3.V					NIE	Δ = 19,4°. Traces	
						eP	20 38 55
4.V		Grèce, BCIS: 39,2°N, 21,6°E, H = 06 ^h 37 ^m 01 ^s ; M = 5,4 (Athènes), MLH = = 4,5 (Kraków)		4.V			
	NIE	Δ = 10,2°			NIE	Δ = 13,0°	
		eIP	06 39 30			eP	21 52 03
		1PP	37			ePP	18
		ePPP	50			eL	55,2
		eL	43 11		KRA	Δ = 13,6°	
	KRA	Δ = 11,0°		(SKM)	eIP	21 52 14 D	
	(GW)	eP	06 39 38			ePP	25
		1PP	50			ePPP	35
		eS	41 47	(GW)	eS	54 47	
		ePoP	45 35		eL	56,0	
		Lm	47 08		Lm	58 21	
		E: 9 ^s ; 1,5μ				E: 9,5 ^s ; 2,8μ	
		N: 9 ^s ; 2,3μ				N: 9 ^s ; 2,5μ	
	Lm		11		RAC	Δ = 14,4°	
				(SK)	eP	21 52 28	
	RAC	Δ = 11,2°		5.V		Proche	
	(SK)	eP	06 39 49		NIE		
4.V		Grèce, USCGS: 39,0°N, 21,8°E, H = 07 ^h 38 ^m				eP ₂	02 49 53
						eL _{NEZ}	50 11

Date	Station	Phase	G.M.T. h m s	Date	Station	Phase	G.M.T. h m s
5.V		Iles Aléoutiennes, USCGS: 51,6°N, 176,8°E, H = 06 ^h 39 ^m 12 ^s ; h = 75 km; mb = = 4,9 (USCGS)		6.V	NIE	eP eI	00 18(58) 19 05
	NIE	Δ = 76,5°		6.V		Afrique du Sud, USCGS: 15,7°S, 34,4°E, H = 02 ^h 36 ^m 56,8 ^s , h = 33 km ca; mb = 5,5 (USCGS)	
		eIP 06 51 02 C			NIE	Δ = 66,3°	
		epP 10				eIP 02 47 42 D	
5.V		Proche				eI 45	
	NIE				KRA	Δ = 67,1°	
		eIP _Z 13 24 38,5		(SKM)	(SKM)	eIP 02 47 46 D	
		i _Z 49,5			(GW)	eI 51	
5.V		Région de Formose, USCGS: 24,4°N, 122,6°E, H = 14 ^h 21 ^m 22,7 ^s , h = 60 km; mb = = 5,7 (USCGS), M = 5 ¹ / ₄ -6 (Pasadena), 6-6 ¹ / ₄ (Pa- lisades)			(GW)	epP 57	
	NIE	Δ = 79,0°			(SKM)	ePoP 48 19	
		eIP 14 33 23			(SKM)	ePP 50 19	
		iPoP 36		6.V		Région de Formose, USCGS: 23,8°N, 123,0°E, H = 03 ^h 52 ^m 51,0 ^s , h = 33 km; mb = = 4,8 (USCGS)	
		eS 43 18			NIE	Δ = 79,7°	
		eL 15 00				eP 04 04 58	
	KRA	Δ = 79,1°			KRA	Δ = 79,8°. Traces	
	(SKM)	eIP 14 33 23 C		(SKM)	(SKM)	eIP 04 04 59 C	
		eIPoP 30				e 05 13	
	(GW)	epP 35		6.V		Au Sud des Iles Fidji, USCGS: 25,0°S, 179,6°E, H = 07 ^h 14 ^m 43,5 ^s , h = = 488 km; mb = 5,3 (USCGS)	
	(SKM)	ePP 36 22			NIE	Δ = 151,0°	
	(GW)	eS 43 21				ePKP ₁ 07 33 04	
		eSKS 37				iPKP ₂ 11	
		ePPS 44 27				Z: 0,9 ^s ; 0,029 ^μ	
		Lm 15 05 27				epPKP 35 17	
		NE: 15 ^s ; 10 ^s ; 8,4 ^μ , 2,1 ^μ		6.V		Iles Tonga, USCGS: 19,4°S, 173,7°W, H = 19 ^h 53 ^m 47,0 ^s , h = 112 km; mb = 4,9 (USCGS)	
	RAC	Δ = 80,0°			KRA	Δ = 147,0°. Traces	
	(SK)	eP 14 33 30		(SKM)	(SKM)	ePKP 20 13 20	
		ePoP 40					
		eS 43 35		7.V		Proche ?	
5.V		Au SW de l'Islande, BCIS: 61,8°N, 27,3°W, H = 15 ^h 52 ^m 37 ^s ; ML = 5,2; 5,0 (Moxa)			RAC		
	KRA	Δ = 28,0°. Traces			(SK)	e _{NEZ} 12 58 42	
	(SKM)	eP 15 58 33				P 13 00	
		eIPP 59 28					

Date	Station	Phase	G.M.T. h m s	Date	Station	Phase	G.M.T. h m s
7.V (suite)	KRA (SKM)	iP _{NEZ} , eP _{ZE} eI _{NEZ}	12 59 12 C 20	9.V	NIE	eIP eI e ePPPP i iS	00 46 37 40 45 47 09 32 49 41
	NIE	e _{NE} e _{NE} e _{NE}	12 59 25 28 45		KRA	Δ = 16,4°	
7.V		Turquie occidentale, BOIS: 37,7°N, 27,9°E, H = 13 ^h 08 ^m 15 ^s , h = 20 km ca; ML = = 5,4 (Moxa), 5,2 (Pru- honice), MLH = 5,0 (Kra- ków)		(SKM)	(SKM)	eP 00 46 44 C	
	NIE	Δ = 13,0°. Traces				i 46	
		eP 13 11 23				iPP 55	
		eL 14,5				iPPP 47 02	
	KRA	Δ = 13,4°			(GW)	eISS 55	
	(GW)	eIP 13 11 31				eI 51 27	
		eIPP 39				Lm 54 35	
		ePPP 48				N: 9 ^s ; 15 ^μ	
		eS 14 05				LM E: 9 ^s ; 14 ^μ	
		eSS 24			RAC	Δ = 16,8°	
		eL 16,0		(SK)	(SK)	eP 00 46 49	
		Lm 18 25				ePPP 47 17	
		E: 8 ^s ; 3,6 ^μ		9.V		Turquie méridionale, BCIS: 37,1°N, 31,0°E, H = 03 ^h 51 ^m 08 ^s , h = 110 km ca,	
		N: 10 ^s ; 5,2 ^μ			NIE	Δ = 14,5°	
	RAC	Δ = 14,2°				eP 03 54 32	
	(SK)	ePP 13 11 47			KRA	Δ = 15,1°	
7.V		Mer Noire, au Nord de la Turquie, BCIS: 42,5°N, 36,0°E, H = 22 ^h 09 ^m 07 ^s		(SKM)	(SKM)	eP 03 54 39 C	
	NIE	Δ = 12,8°				ePP 51	
		eP 22 12 09		(GW)	(GW)	eS 57 34	
		ePPPP 37		9.V		Au SE de la Crête, BCIS: 34,5°N, 26,5°E, H = 06 ^h 08 ^m 30 ^s ; mb = 5,0 (USCGS)	
	KRA	Δ = 13,3°. Traces			KRA	Δ = 16,2°. Traces	
	(SKM)	eIP 22 12(35)		(GW)	(GW)	eP 06 12 18	
		ePP 44		10.V		Région frontière URSS- -Mongolie, USCGS: 51,8°N, 99,0°E, H = 21 ^h 04 ^m 04,0 ^s , h = 2 km; mb = 4,9 (USCGS), MLH = 5,6 (Kraków)	
		eIS 14 41			KRA	Δ = 47,2°	
		eISS 15 06		(SKM)	(SKM)	eP 21 12 42 D	
9.V		Au SE de la Crête, BCIS: 34,5°N, 26,6°E, H = 00 ^h 42 ^m 55 ^s , h = 40 km ca; M = = 6 (Strasbourg), ML = 5,6 (Pruhonice), MLH = 5,7 (Kraków)				eI 53	
	NIE	Δ = 15,7°				ePoP 14 10	
						eIPP 42	
						eL 26,9	

Date	Station	Phase	G.M.T. h m s	Date	Station	Phase	G.M.T. h m s
10.V (suite)	KRA	Im	21 30 48	11.V	NIE	i	14 30 01
		E: 8 ^m ; 1,0 μ				eIP	38 22
			54			ei	25
		N: 10 ^m ; 3,0 μ				ePoP	42
	NIE	$\Delta = 47,2^\circ$			RAC	$\Delta = 74,3^\circ$	
		eP	21 12 50		(SK)	eIP	14 29 19
		ePoP	14 19			eIPoP	31
11.V		Au SE de la Crête, BCIS:				ePI	38 23
		34,5 ^o N, 26,5 ^o E, H = 01 ^h		11.V		Au SE de la Crête, BCIS:	
		22 ^m 54 ^s , h = 70 km ca				34,3 ^o N, 26,4 ^o E, H = 15 ^h	
	KRA	$\Delta = 16,3^\circ$				06 ^m 01 ^s ; mb = 4,9 (USCGS)	
	(SKM)	eP	01 26 39		NIE	$\Delta = 15,8^\circ$. Traces	
		ePP	48			eP	15 09 44
11.V		Afghanistan, USCGS: 34,6 ^o N,				ePP	56
		69,9 ^o E, H = 01 ^h 53 ^m 56,7 ^s ,			KRA	$\Delta = 16,4^\circ$	
		h = 27 km; mb = 5,1 (USCGS)			(SKM)	eP	15 09 50
	NIE	$\Delta = 39,7^\circ$. Traces				ei	54
		eP	02 01 24			ePP	10 05
						eIPPP	17
	KRA	$\Delta = 39,2^\circ$		11.V		Proche	
	(SKM)	eP	02 01 24		NIE	Traces	
		eipP	29			e _N	18 12 09
		eiPP	02 49			e _E	12,5
		ePPP	03 29	11.V		Local	
11.V		Iles Kouriles, USCGS:			NIE	Traces	
		48,9 ^o N, 156,2 ^o E, H = 14 ^h				ei _{NE}	21 09 19,5
		17 ^m 34,1 ^s , h = 13 km; mb =		11.V		Local	
		= 5,8 (USCGS), M = 6 (Pa-			NIE	Traces	
		lisades), MLH = 6,3					
		(Kraków), IUSCGS: 49,0 ^o N,		11.V		Iles Kouriles, USCGS:	
		156,2 ^o E, H = 14 ^h 26 ^m 41,6 ^s ,				48,8 ^o N, 156,3 ^o E, H = 21 ^h	
		h = 33 km; mb = 5,5				39 ^m 35,3 ^s , h = 28 km; mb =	
		(USCGS)				= 5,7 (USCGS), M = 5 $\frac{1}{2}$ -5 $\frac{3}{4}$	
	KRA	$\Delta = 74,0^\circ$				(Palisades), MLH = 6,1	
	(GW)	eP	14 29 14			(Kraków)	
		ePoP	28		KRA	$\Delta = 74,0^\circ$	
		ePP	31 57		(SKM)	iP	24 51 14 C
		ePI	38 19			eipP	25
		ePoPI	33		(GW)	ePoP	31
		eS	46			eS	22 00 47
		eSoS	39 22			eSKS	01 19
		eL	56,5			eL	19,5
		Im	59 26			Im	21 23
		NE: 22 ^m ; 14 μ , 13,5 μ				Im	30
	NIE	$\Delta = 74,2^\circ$				N: 23 ^m ; 9,4 μ	
		eIP	14 29 18			E: 23 ^m ; 7,2 μ	
		i	22		RAC	$\Delta = 74,3^\circ$	
		ePoP	38		(SK)	eP	21 51 18
						ePoP	29

Date	Station	Phase	G.M.T. h m s	Date	Station	Phase	G.M.T. h m s
11.V (suite)	NIE	$\Delta = 74,3^\circ$		14.V	NIE	eP	20 39 31
		eIP	21 51 18			ePoP	44
		ePoP	32	14.V		Au Sud du Péloponèse,	
12.V		Mer Egée, près de la côte				USCGS: 36,8 ^o N, 22,3 ^o E,	
		Turquie, BCIS: 38,5 ^o N,				H = 23 ^h 00 ^m 43 ^s , h = 33 km;	
		25,8 ^o E, H = 20 ^h 31 ^m 02 ^s ;				mb = 4,4 (USCGS)	
	NIE	$\Delta = 11,5^\circ$. Traces			KRA	$\Delta = 13,3^\circ$. Traces	
		eP	20 33 46		(GW)	eP	23 03 58
	KRA	$\Delta = 12,2^\circ$			(SKM)	ePP	04 03
	(SKM)	eP	20 33 56			ePPP	12
		ePP	34 05		(GW)	eL	08,3
13.V		Au SE de la Crête, BCIS:		15.V		Mer Méditerranée, BCIS:	
		34,6 ^o N, 26,7 ^o E, H = 13 ^h				35,1 ^o N, 27,2 ^o E, H = 10 ^h	
		11 ^m 51 ^s ; mb = 4,8 (USCGS)				11 ^m 08 ^s , h = 40 km ca;	
	NIE	$\Delta = 15,5^\circ$			KRA	$\Delta = 15,2^\circ$. Traces	
		eP	13 15 31		(SKM)	eP	10 14 54
		e(PP)	39	15.V		Iles Andeanow, Aldoutien-	
	KRA	$\Delta = 16,2^\circ$				nes, USCGS: 51,5 ^o N, 178,4 ^o E,	
	(SKM)	eP	13 15 38			178,4 ^o E, H = 14 ^h 46 ^m 06,5 ^s ,	
		ePP	50			h = 31 km; M = 5 $\frac{1}{4}$ -6 (Pa-	
		eIPPP	16 02			sadena)	
		eL	22,8		KRA	$\Delta = 76,6^\circ$	
13.V		Local			(SKM)	eIP	14 58 02 C
	NIE	eP _{NE}	19 22 16		(GW)	ePoP	13
		ei _{NE}	34			ePP	15 00 57
14.V		Près de la côte E de Hondo,				eS	07 43
		Japon, USCGS: 34,2 ^o N,				eSKS	08 06
		138,9 ^o E, H = 17 ^h 03 ^m 56,5 ^s ,				eFS	29
		h = 33 km; mb = 4,9				ei	51
		(USCGS)				eL	29,0
	KRA	$\Delta = 79,7^\circ$. Traces				Im	36 46
	(SKM)	eP	17 16 08			NE: 17 ^m ; 5,5 μ , 2,4 μ	
	(GW)	eL	45,1		NIE	$\Delta = 76,7^\circ$	
	NIE	$\Delta = 80,0^\circ$. Traces				eP	14 58 05
		eP	17 16 09			ePoP	23
14.V		Près de la côte du Vene-				ei	59 11
		zuela, USCGS: 10,5 ^o N,			RAC	$\Delta = 77,0^\circ$	
		63,0 ^o W, H = 20 ^h 27 ^m 27,4 ^s ,			(SK)	eP	14 58 05
		h = 16 km; mb = 5,5				ePoP	11
		(USCGS)		16.V		Mer de Banda, USCGS: 6,9 ^o S,	
	KRA	$\Delta = 77,4^\circ$				129,4 ^o E, H = 02 ^h 46 ^m 42,4 ^s ,	
	(SKM)	eP	20 39 26 C			h = 212 km; mb = 5,9	
	NIE	$\Delta = 77,5^\circ$. Traces				(USCGS)	
					KRA	$\Delta = 107,6^\circ$	
					(SKM)	eP	03 00 39 D
						ePP	04 55

Date	Station	Phase	G.M.T. h m s	Date	Station	Phase	G.M.T. h m s
16.V		Au SE de la Crête, BCIS: 34,8°N, 26,4°E, H = 17 ^h 31 ^m 00 ^s , h = 70 km ca; ML = = 4,4; 4,3 (Moxa)		17.V	NIE	1(Sg)NE eIm	12 57 58 58 13
	NIE	Δ = 15,3°. Traces				NE: 0,8 ^m ; 0,029 ^μ , 0,030 ^μ	
		eP	17 34 38	18.V	KRA	eL	08 20,6
		ePP	50	(GW)	Im	22 18	
	KRA	Δ = 16,0°				NE: 20 ^m ; 5,4 ^μ , 2,9 ^μ	
	(SKM)	eP	17 34 45	18.V		Local	
	(GW)	ePP	55		NIE	eP _{NE}	13 03 13
	RAC	Δ = 16,4°				e _N	19
	(SK)	eP	17 34 54	19.V		Région de l'île Unimak, USCGS: 54,1°N, 164,1°W, H = 07 ^h 06 ^m 26,8 ^s , h = = 28 km; mb = 5,8 (USCGS), M = 6 (Pasadena, Palisades)	
17.V		Près de la côte E de Hondo, Japon, USCGS: 35,8°N, 140,5°E, H = 00 ^h 59 ^m 06,3 ^s , h = 68 km; mb = 5,3 (USCGS)			KRA	Δ = 75,2°	
	KRA	Δ = 79,3°		(SKM)	1P	07 18 14 C	
	(SKM)	eP	01 11 08 C			ePoP	25
		ePoP	15	(GW)	ePP	21 15	
		ePP	14 11		eS	27 52	
	NIE	Δ = 79,5°. Traces			ePS	28 28	
		eP	01 11 12		ePPS	54	
		ePoP	22		eL	37,3	
		epP	30		NIE	Δ = 75,8°	
	RAC	Δ = 0°				eP	07 18 19
	(SKM)	eP	01 11 14			i	22
17		République du Congo USCGS: 0,8°N, 29,9°E, H = = 07 ^h 03 ^m 30, h = 15 km; mb = 5,5 (USCGS), MP = 5,7 (Moxa), ML = 5,4 (Moxa)				eIPoP	28
	NIE	Δ = 49,2°		19.V	NIE	eP	12 57 26
		eIP	07 12 22			e	59 11
		eI	25	20.V		Iles Riou-Kiou, USCGS: 25,4°N, 128,3°E, H = 02 ^h 53 ^m 47,4 ^s , h = 58 km; mb = 5,2 (USCGS)	
		ePP	14 22		KRA	Δ = 81,6°	
	KRA	Δ = 50,0°		(SKM)	eIP	03 06 03 C	
	(GW)	eP	07 12 24	20.V		Au Sud des Iles Mariannes, USCGS: 13,9°N, 146,1°E, H = 09 ^h 14 ^m 49,2 ^s , h = = 66 km; mb = 6,0 (USCGS), M = 6½ - 6½ (Pasadena), MLH = 6,3 (Kraków)	
		ePoP	13 50				
		ePP	14 24				
		eS	19 36				
		ePS	44				
	RAC	Δ = 50,5°					
	(SK)	eP	07 12 29				
17.V		Local					
	NIE	eIP _{NE}	12 57 56,5				

Date	Station	Phase	G.M.T. h m s	Date	Station	Phase	G.M.T. h m s
20.V (suite)	KRA (GW)	Δ = 100,1° e eIPKP eS eL Im	09 31 24 39 12 40 06 10 06,3 07 58	22.V	KRA	ePP ePPP	07 40 38 46
		E: 20 ^m ; 5,4 ^μ		23.V		Atlantique du Nord, USCGS: 52,6°N, 33,9°W, H = 01 ^h 28 ^m 53 ^s , h = 33 km; mb = = 4,6 (USCGS)	
		Im	08 09		KRA	Δ = 32,8°	
		N: 20 ^m ; 9,2 ^μ	17 45	(SKM)	eP	01 35 28	
		NE: 18 ^m ; 9,1 ^μ , 6,0 ^μ		23.V		Au Sud de Hondo, Japon, USCGS: 30,0°N, 139,8°E, H = 08 ^h 39 ^m 44,4 ^s , h = = 28 km; mb = 5,6 (USCGS), M = 5,7-6,1 (Berkeley)	
20.V		Proche			KRA	Δ = 84,0°	
	KRA			(SKM)	eP	08 52 14	
	(SKM)	e ₁ NEZ e ₂ NEZ	12 40 21,2 36,6	(GW)	eSKS eL	09 02 39 25,8	
20.V		Au Nord des Iles Philippi- nes, USCGS: 19,6°N, 122,0°E, H = 18 ^h 02 ^m 41,4 ^s , h = 96 km; mb = 5,6 (USCGS)		23.V		Proche	
	KRA	Δ = 82,4°			NIE	Traces	
	(SKM)	1P	18 14 56 C			eP ₂ e ₂	13 22 48 23 11
		eIPoP	15 01	23.V		Traces	
		ePP	18 11		KRA	Traces	
	NIE	Δ = 82,4°		(GW)	eL Im	15 15,5 25 52	
		eP	18 14 58			NE: 17 ^m ; 2,5 ^μ , 2,0 ^μ	
		epP	15 15	23.V		Traces	
	RAC	Δ = 83,5°			NIE	e(P)	15 35 51,7
	(SK)	eP	18 15 02	23.V		Au Sud de Hondo, Japon, USCGS: 30,2°N, 139,8°E, H = 20 ^h 45 ^m 47,5 ^s , h = = 25 km; mb = 4,8 (USCGS)	
20.V		Proche			NIE	Δ = 83,8°	
	KRA					eP	20 58 17
	(SKM)	eP _{NEZ} eS _{NE}	19 12 00 07,6			epP	24
	NIE	eP _{NE} e _{NE}	19 12 14 30,5	24.V		Traces	
22.V		Traces			NIE	eP	07 36 24
		e	05 01 11			e	35
		e	19,5	24.V		Grèce Péloponèse, BCIS: 37,4°N, 22,1°E, H = 09 ^h 39 ^m 28 ^s , h = 50 km ca; ML =	
22.V		Anatolie, Turquie, BCIS: 39,0°N, 28½°E, H = 07 ^h 37 ^m 33 ^s					
	KRA	Δ = 12,5°. Traces					
	(SKM)	eP	07 40 29 C				

Date	Station	Phase	G.M.T. h m s	Date	Station	Phase	G.M.T. h m s
24.V (suite)		= 5,2; 4,9 (Moxa), 4,6 (Athènes)		25.V	NIE	Traces	
	NIE	$\Delta = 12,0^\circ$			e		09 47 24
	eP		09 42 18		e		50
	ePP		33	25.V		Région des Iles Loyauté, USCGS: 21,6°S, 169,9°E, H = 12 ^h 07 ^m 04,8 ^s , h =	
	ePPP		38			= 35 km; mb = 5,5 (USCGS)	
	KRA	$\Delta = 12,8^\circ$		NIE	$\Delta = 143,4^\circ$		
	(GW)	eP	09 42 27		ePKP ₁		12 26 34
	ePPP		44		epPKP		45
	eS		44 56		ePKS		30 17
	eSS		45 09	25.V		Région de l' Ile Macquarie, USCGS: 52,9°S, 160,0°E, H = 13 ^h 20 ^m 56,2 ^s , h = 33 km;	
	eL		46,4			mb = 6,6 (USCGS)	
24.V		Grèce, Péloponèse, BCIS: 37,3°N, 22,1°E, H = 11 ^h 09 ^m 26 ^s ; ML = 4,3 (Athènes)		KRA	$\Delta = 155,0^\circ$		
	NIE	$\Delta = 12,0^\circ$		(SKM)	ePKP ₁		13 40 45
	eIP		11 12 16		eIPK ₂		41 12
	eIPP		26	(GW)	ePKS		44 21
24.V		Au Sud des Iles Fidji, USCGS: 25,6°S, 177,4°W, H = 15 ^h 29 ^m 42 ^s , h = 112 km;			ePP		53
		mb = 5,3 (USCGS)			eL		55,2
	NIE	$\Delta = 152,5^\circ$		NIE	$\Delta = 155,0^\circ$		
	ePKP ₁		15 48 50		IPKP ₁		13 40 45 C
	IPKP ₂		56		eI		41 01
		Z: 1,0 ^s ; 0,021 μ			ePKP ₂		14
24.V		Crète, BCIS: 35,0°N, 25,0°E, H = 17 ^h 43 ^m 30 ^s		RAC	$\Delta = 156,5^\circ$		
	NIE	$\Delta = 14,8^\circ$. Traces		(SK)	ePKP ₁		13 40 48
	eP		17 47 02		ePKP ₂		41 18
					ePP		44 51
25.V		Albanie, BCIS: 40,2°N, 19,7°E, H = 09 ^h 06 ^m 57 ^s , h = 55 km ca		26.V	NIE		
	NIE	$\Delta = 9,3^\circ$			e		12 41 23,7
	eIP		09 09 11		e		30
		Z: 1,2 ^s ; 0,022 μ		26.V		Au Sud des Iles Fidji, USCGS: 25,5°S, 179,8°W, H = 12 ^h 26 ^m 23,8 ^s , h =	
	IPP		20			= 455 km; mb = 5,0 (USCGS)	
	ePPP		31	NIE	$\Delta = 151,5^\circ$		
	KRA	$\Delta = 9,9^\circ$			eIPK ₁		12 45 20 C
	(GW)	eP	09 09 19		IPKP ₂		26
	ePP		30			Z: 1 ^s ; 0,024 μ	
	eSg		12 13		epPKP		47 19
	eL		12,5	26.V		Région des Iles Tonga, USCGS: 21,2°S, 176,9°W,	
	RAC	$\Delta = 9,9^\circ$					
	(SK)	eP	09 09 21				

Date	Station	Phase	G.M.T. h m s	Date	Station	Phase	G.M.T. h m s
26.V (suite)		H = 18 ^h 30 ^m 07,4 ^s , h = = 230 km; mb = 5,4 (USCGS)		26.V		Iles Riou-Kiou, USCGS: 28,6°N, 130,3°E, H = 22 ^h 59 ^m 03 ^s , h = 33 km; mb =	
	NIE	$\Delta = 148,6^\circ$				= 49 (USCGS), MLH = 5,3 (Kraków)	
	eIPK ₁		18 49 23	NIE	$\Delta = 80,2^\circ$		
	IPKP ₂		28		eP		23 11 15
		Z: 1,2 ^s ; 0,024 μ			ePoP		23
	RAC	$\Delta = 149,0^\circ$. Traces		KRA	$\Delta = 80,1^\circ$. Traces		
	(SK)	ePKP ₁	18 49 25	(SKM)	eP		23 11 17
26.V				(GW)	eL		44,1
					Lm		50 30
						NE: 14 ^s ; 1,2 μ , 1,0 μ	
27.V				27.V	NIE	Traces	
					eP		10 00 23
					eI		40
27.V				27.V		Local	
				NIE			
					eP _{NEZ}		14 24 35
					eS _{NEZ} , 1S _{NEZ}		38
					Lm		49
						NE: 0,5 ^s ; 1,0 ^s ; 0,066 μ , 0,041 μ	
27.V				27.V		Au Nord du Spitzberg, USCGS: 82,4°N, 7,0°W, H = 19 ^h 02 ^m 13 ^s , h = 33 km;	
						mb = 4,4 (USCGS)	
				NIE	$\Delta = 33,8^\circ$		
					eP		19 08 57
					1		09 12
27.V				27.V		Iles Aléoutiennes, USCGS: 51,4°N, 178,5°W, H = 22 ^h 07 ^m 43,4 ^s , h = 33 km; mb =	
						= 5,2 (USCGS)	
				NIE	$\Delta = 77,5^\circ$		
					eP		22 19 41
27.V				27.V		Région frontière Pakistan- Inde, USCGS: 24,4°N, 68,7°E, H = 22 ^h 14 ^m 14,1 ^s , h = 5 km; mb = 5,1 (USCGS)	
				KRA	$\Delta = 45,3^\circ$		
				(SKM)	eIP		22 22 36 C
					ePP		24 17
				NIE	$\Delta = 44,6^\circ$		
					eP		22 22 33
28.V				28.V		Région de Formose, USCGS: 24,4°N, 122,5°E, H = 00 ^h 03 ^m 56,8 ^s , h = 33 km; mb =	
						= 5,7 (USCGS), MLH = 5,8 (Kraków)	
				NIE	$\Delta = 78,9^\circ$		
					eIP		00 16 00 C
					epP		08
				KRA	$\Delta = 79,0^\circ$		
				(SKM)	eIP		00 16 01 C
				(GW)	eS		25 59
					eSKS		26 13
					ePS		31
					eL		44,2
					eL		47 45
						NE: 11 ^s ; 8 ^s ; 2,0 μ , 1,0 μ	
28.V				28.V		Au Sud des Iles Fidji, USCGS: 22,2°S, 179,6°W, H = 02 ^h 09 ^m 53,4 ^s , h =	
						= 600 km; mb = 4,9 (USCGS)	
				NIE	$\Delta = 148,5^\circ$		
					ePKP		02 28 36
28.V				28.V		Japon, USCGS.	
				KRA			
				(GW)	eL		06 05,6
					Lm		06 21
						N: 14 ^s ; 1,6 μ	
					Lm		25
						E: 14 ^s ; 1,1 μ	
29.V				29.V		Iles Fidji, USCGS: 21,6°S, 178,7°W, H = 13 ^h 44 ^m 32,9 ^s , h = 516 km; mb = 5,2 (USCGS)	
				NIE	$\Delta = 148,5^\circ$		
					ePKP ₁		14 03 17

Date	Station	Phase	G.M.T. h m s	Date	Station	Phase	G.M.T. h m s
29.V (suite)	NIE	1PKP ₂	14 03 22	30.V	KRA (SKM)	$\Delta = 88,0^\circ$ eP ePoP	03 22 28 36
		Z: 1,2 ^s ; 0,114 μ					
		1	28		NIE	$\Delta = 89,0^\circ$ eIP	03 22 30 C
		Z: 1,0 ^s ; 120 μ					
		epPKP	05 26	31.V		Iles aux Benards, USCGS: 52,3 ^s N, 169,7 ^s W; H = = 07 ^h 43 ^m 00 ^s ; h = 33 km; mb = 4,7 (USCGS)	
	RAC (SK)	$\Delta = 148,5^\circ$ ePKP ₁	14 03 19		NIE	$\Delta = 77,5^\circ$ eP ePoP	07 54 58 55 06
	KRA (SKM)	$\Delta = 148,0^\circ$ eIPK ₁ 1PKP ₂	14 03 20 26				
30.V		Colombie du Nord, USCGS: 7,6 ^s N, 77,0 ^s W, H = 03 ^h 09 ^m 34,4 ^s , h = 32 km; mb = = 5,3 (USCGS)					
1966	J U I N			1966			
1.VI		Iles aux Rats, Aléoutien- nes, USCGS: 51,5 ^s N, 176,2 ^s E, H = 02 ^h 33 ^m 56 ^s , h = 15 km; mb = 5,1 (USCGS)		1.VI	KRA NIE	ePP eSKS $\Delta = 151,5^\circ$ ePKP ₁ 1PKP ₂	12 11 33 14 21 12 07 20 28
	NIE	$\Delta = 77,6^\circ$ eP ePoP	02 45 56 46 05			eI eI RAC (SK)	32 08 17 12 07 27 41
1.VI		Région de la Nouvelle Bretagne, USCGS: 5,8 ^s S, 151,2 ^s H = 03 ^h 48 ^m 49,2 ^s , h = 61 km; mb = 5,5 (USCGS)		1.VI	KRA (SKM)	Traces eIP	17 18 59 D
	NIE	$\Delta = 120,1^\circ$ eIPK ₁	04 07 35 C	1.VI	KRA (SKM)	eIP eI eI	17 21 34,6 C 41,0 51,6
1.VI		Nouvelles Hébrides, USCGS: 13,8 ^s S, 166,6 ^s E, H = 10 ^h 14 ^m 43,2 ^s , h = 48 km; mb = = 5,5 (USCGS)		2.VI		Iles aux Rats, Aléoutien- nes, USCGS: 51,1 ^s N, 176,0 ^s E, H = 03 ^h 27 ^m 53,3 ^s , h = 41 km, MLH = 6,3 (Kra- ków), 5,4 (Niedziona)	
	NIE	$\Delta = 135,0^\circ$. Traces ePKP	10 33 59		KRA (SKM)	$\Delta = 76,5^\circ$ eIP	03 39 45 D
1.VI		Iles Tonga, USCGS: 23,4 ^s S, 174,9 ^s W, H = 11 ^h 47 ^m 33,1 ^s , h = 24 km; mb = 5,9 (USCGS)			(GW)	ePoP ePP ePPP	56 42 41 44 28
	KRA (SKM)	$\Delta = 151,0^\circ$ ePKP ₁ ePKP ₂ ePKS	12 07 21 35 11 02				

Date	Station	Phase	G.M.T. h m s	Date	Station	Phase	G.M.T. h m s
2.VI (suite)	KRA	eS ePS eSS eL	03 49 33 50 14 54 32 04 13,8	2.VI		38,5 ^s N, 27,5 ^s E, H = 22 ^h 51 ^m 23 ^s , mb = 4,5 (USCGS)	
	RAC (SK)	$\Delta = 76,7^\circ$ eP ePoP	03 39 47 40 04		NIE	$\Delta = 12,0^\circ$ eP ePPP	22 54 20 42
	NIE	$\Delta = 76,8^\circ$ 1P	03 39 49 D		KRA (GW)	$\Delta = 12,6^\circ$ eL	22 58,8
		Z: 1 ^s ; 0,034 μ		3.VI		Proche	
		ePoP eI	40 04 42 29		NIE	ePg ₂ eN eZ iE	12 57 04 08 15 25
2.VI		Célebès du Nord, USCGS: 0,0 ^s N, 123,2 ^s E, H = 07 ^h 08 ^m 08,4 ^s , h = 185 km; mb = = 5,8 (USCGS)			KRA (SKM)	Traces eIP _{NEZ} 1(S _E) _{NEZ}	12 57 08 25
	NIE	$\Delta = 98,4^\circ$ eP	07 21 27	3.VI		Local	
2.VI					NIE	ePg ₂ e _{NE} , e _Z Im	13 21 46,3 22 06,5 09,5
	KRA (GW)	eL	15 12			NEZ: 0,7 ^s ; 0,7 ^s ; 0,5 ^s ; 0,046 μ ; 0,033 μ ; 0,024 μ	
2.VI				3.VI		Région des Iles Fidji, USCGS: 17,9 ^s S, 178,8 ^s W, H = 13 ^h 49 ^m 13,8 ^s , h = = 643 km; mb = 5,3 (USCGS)	
	KRA (SKM)	1P e	15 42 37 D 56		NIE	$\Delta = 144,5^\circ$. Traces eIPK ₁	14 07 43 D
	NIE	1P Pm e	15 42 40 C 41,3 46			Z: 0,9 ^s ; 0,016 μ	
2.VI		Iles Tonga, USCGS: 18,6 ^s S, 173,4 ^s W, H = 16 ^h 53 ^m 56,6 ^s , h = 33 km; mb = 5,0 (USCGS)		3.VI	RAC (SK)	e	14 12 35
	KRA (SKM)	$\Delta = 146,6^\circ$ ePKP ₁ ePKP ₂	17 13 41 45		KRA (SKM)	e e	14 12 37,5 45
	NIE	$\Delta = 147,2^\circ$ ePKP	17 13 40		NIE	eIP Pm	14 12 41,0 C 44
2.VI		Golfe de Gadix, BCIS: 36,5 ^s N, 7,6 ^s W, H = 18 ^h 37 ^m 46 ^s , mb = 4,4 (USCGS)				Z: 1,2 ^s ; 0,049 μ	
	NIE	$\Delta = 24,0^\circ$ eIP	18 43 02	4.VI	KRA (GA)	Traces e	02 26 48 28 40
2.VI		Anatolie, Turquie, BCIS:					

Date	Station	Phase	G.M.T. h m s	Date	Station	Phase	G.M.T. h m s
7.VI	NIE	Traces e(P) e	03 33 19 27	7.VI	NIE	e1SKKS Lm NZ: 23 ^m ; 73 ^μ , 216 ^μ Lm E: 23 ^m ; 23 ^μ , 216 ^μ	14 24 15 58 37 44
7.VI		Région de Formose, USCGS: 25,5 ^o N, 122,3 ^o E, H = 09 ^h 18 ^m 58,6 ^s , h = 241 km; mb = = 5,1 (USCGS)		7.VI		Région des Iles Pidji, USCGS: 21,4 ^o S, 179,3 ^o W, H = 19 ^h 05 ^m 47,4 ^s , h = = 606 km; mb = 5,2 (USCGS)	
	NIE	Δ = 78,1 ^o . Traces ePP ePPP e	09 33 43 35 25 27		NIE	Δ = 148,0 ^o 1FKP ₁ e1FKP ₂ epPKP ₁ epPKP ₂	19 24 26 D 32 26 47 27 00
7.VI		Région de Formose, USCGS: 24,2 ^o N, 122,5 ^o E, H = 11 ^h 44 ^m 51,5 ^s , h = 41 km; mb = = 5,7 (USCGS)		7.VI		Détroit de Sunda, USCGS: 5,7 ^o S, 105,5 ^o E, H = 22 ^h 18 ^m 57,4 ^s , h = 40 km; mb = = 5,3 (USCGS)	
	NIE	Δ = 79,2 ^o eP	11 56 55		NIE	Δ = 91,3 ^o eP	22 32 01
7.VI	NIE	eP	13 42 26 D	7.VI	NIE	eP	23 44 46,5
7.VI		Iles Carolines, USCGS: 11,3 ^o N, 139,6 ^o E, H = 13 ^h 59 ^m 36,0 ^s , h = 50 km; M = = 6 ^h -7 (Pasadena, Palis- sades)		8.VI		Local	
	KRA (SKM)	Δ = 97,8 ^o e1P epP	14 13 15 C 31		NIE	e(Pg) ₂ e1L ₂	08 10 02,0 24,3
	(GW)	e1PP ePPP e1SKS e1S e1PS e1PPS eL Lm	17 23 19 26 23 56 24 53 26 28 27 18 45,3 15 01 29	8.VI		Proche	
		NB: 20 ^m ; 21 ^m ; 75 ^μ , 58 ^μ			NIE	eP ₂₂ e _{NE} eL _{NE} Lm	11 50 31 36 48 55
	NIE	Δ = 98,0 ^o 1P Pm	14 13 15 C 18			NEZ: 0,8 ^m ; 0,7 ^m ; 0,9 ^m ; 0,148 ^μ , 0,091 ^μ , 0,046 ^μ	
		Z: 1,0 ^m ; 0,098 ^μ			KRA (Ch)	e1P _{NEZ} 1(L) _{NEZ}	11 50 33,7 D 51,7
		e1pP 1PP epPP e1SKS	30 17 15 45 23 46		RAC (SK)	e _{NEZ}	11 50 47
				8.VI		Proche	
					NIE	eP ₂ e(S _E) _{NE} e _{NEZ}	13 01 42 44 49

Date	Station	Phase	G.M.T. h m s	Date	Station	Phase	G.M.T. h m s
8.VI		Iles Proches, Aléoutien- nes, USCGS: 53,1 ^o N, 171,1 ^o E, H = 19 ^h 56 ^m 21,3 ^s , h = 20 km; mb = 5,4 (USCGS)		9.VI		Suisse, Alpes bernoises, BCIS: 46,6 ^o N, 7,3 ^o E, H = = 14 ^h 17 ^m 10 ^s	
	KRA (SKM) (GW)	Δ = 73,0 ^o 1P ePoP eS ePPS eL	20 08 00 C 11 17 34 18 14 44,7		RAC (SK)	Δ = 8,1 ^o eS [*] eS	14 21 18 38
	RAC (SK)	Δ = 74,0 ^o eP ePoP	20 08 02 20		KRA (SKM)	Δ = 8,1 ^o eS _g	14 22 07
	NIE	Δ = 74,0 ^o 1P ePoP e1PP	20 08 03 C 14 10 48	9.VI		Iles Kouriles, USCGS: 44,3 ^o , 147,6 ^o , H = 15 ^h 39 ^m 27,8 ^s , h = 110 km; mb = 5,5 (USCGS), mPV = = 5,6 (Niedzica)	
9.VI		Région des Iles Nicobar, USCGS: 7,6 ^o N, 94,1 ^o E, H = = 00 ^h 12 ^m 12,1 ^s , h = 55 km; mb = 5,3 (USCGS)			KRA (SKM) (GW)	Δ = 75,1 ^o 1P e1S	15 51 02 16 00 36
	NIE	Δ = 73,7 ^o e1P	00 23 42		NIE	Δ = 75,1 ^o 1P	15 51 06 D
	KRA (SKM) (GW)	Δ = 74,0 ^o eP epP ePoP	00 23 44 D 57 24 06			Z: 1 ^m ; 0,043 ^μ e1PoP	18
	RAC (SK)	Δ = 75,0 ^o eP	00 23 51	9.VI		Japon, USCGS: 30,1 ^o N, 142,2 ^o E, H = 22 ^h 16 ^m 22 ^s , h = 12 km; mb = 5,1 (USCGS)	
9.VI		Iles Kouriles, USCGS: 45,0 ^o N, 146,4 ^o E, H = 01 ^h 57 ^m 38,0 ^s , h = 160 km; mb = = 4,9 (USCGS)			NIE	Δ = 85,0 ^o eP e1PP	22 29 02 31 17
	NIE	Δ = 74,2 ^o e1P	02 09 04 C		KRA (GW)	Δ = 84,9 ^o eP ePoP eSKS eS eL	22 29 04 12 39 24 28 23 04,5
		Z: 1 ^m ; 0,013 ^μ		10.VI		Iles Proches, Aléoutien- nes, USCGS: 52,0 ^o N, 175,0 ^o E, H = 04 ^h 25 ^m 14,3 ^s , h = 33 km; mb = 4,9 (USCGS)	
9.VI		Au Nord, du Terre du Nord, USCGS: 85,3 ^o N, 92,9 ^o E, H = 06 ^h 57 ^m 52 ^s , h = 33 km; mb = 4,9 (USCGS)			NIE	Δ = 75,7 ^o . Traces eP ePoP	04 37 04 15
	KRA (GW)	Δ = 38,7 ^o eP	07 05 17	10.VI		Roumanie, BCIS: 44,9 ^o N, 24,9 ^o E, H = 09 ^h 11 ^m 57 ^s	
	NIE	Δ = 39,2 ^o e1P	07 05 22 C				

Date	Station	Phase	G.M.T. h m s	Date	Station	Phase	G.M.T. h m s
10.VI (suite)	NIE	$\Delta = 5,5^\circ$ ePn ePP	09 13 18 27	10.VI	Crête médiane de l'Atlantique Nord, USCGS: 32,9°N; 39,8°W, H = 22 ^h 14 ^m 37,3 ^s , h = 8 km; mb = 5,2 (USCGS)	NIE	$\Delta = 46,6^\circ$. Traces eP 22 23 10
	KRA (SKM)	$\Delta = 6,1^\circ$ ePn eP*	09 13 31 43				
10.VI		Roumanie, BCIS: deuxième choc, H = 09 ^h 12 ^m 44 ^s		10.VI	Mongolie, USCGS: 45,1°N, 99,7°E, H = 22 ^h 41 ^m 48,5 ^s , h = 33 km; mb = 5,1 (USCGS)		
	NIE	$\Delta = 5,5^\circ$ iPn	09 14 06		KRA (GW)	$\Delta = 51,2^\circ$. Traces eP 22 50 53 eS 58 18 ePPS 29 eL 23 08,5	
	KRA (SKM)	$\Delta = 6,1^\circ$ eIPn eIPP eIP* ePg eS*	09 14 15 22 29 47 15 50		NIE	$\Delta = 51,1^\circ$ eIP 22 50 54 C	
	RAC (SK)	$\Delta = 6,5^\circ$ ePn eS*	09 14 24 16 05	10.VI	Mer de Norvège, USCGS: 72,6°N, 3,1°E, H = 23 ^h 30 ^m 55 ^s , h = 33 km; mb = 4,6 (USCGS)		
10.VI		Local			KRA (GW)	$\Delta = 23,7^\circ$ eP 23 36 10	
	NIE	eIP _{NE} , iPG _Z i(Sg) _{NEZ}	12 52 22,6 C 30,9	11.VI	Région de Formose, USCGS: 23,6°N, 119,9°E, H = 03 ^h 01 ^m 08,7 ^s , h = 33 km; mb = 5,2 (USCGS)		
10.VI		Local			KRA (GW)	$\Delta = 78,2^\circ$ eP 03 13 14 ePoP 24 eSoS 23 32 ePS 47 eL 42,8	
	NIE	Traces e(Pg) _Z eZ	14 20 23 35		NIE	$\Delta = 78,2^\circ$. Traces eP 03 13 08	
10.VI		Local		11.VI	Grèce, BCIS: 38,9°N, 21,8°E, H = 10 ^h 21 ^m 57 ^s , h = 55 km; mb = 4,7 (USCGS), M = 4,2 (Athènes)		
	NIE	ePg _{NE} , iPG _Z e _{NEZ} i(Sg) _{NE} , e(Sg) _Z	16 01 23,0 D 25,8 33,0		NIE	$\Delta = 10,6^\circ$ eP 10 24 26 ePP 41 eIPPP 53 eS 27 32 eL 28,0	
10.VI		Iles Proches, Aléoutiennes, USCGS: 52,5°N, 173,6°E, H = 19 ^h 11 ^m 17,4 ^s , h = 45 km; mb = 4,9 (USCGS)					
	NIE	$\Delta = 75,2^\circ$ eP	19 23 02				
10.VI		Iles Kouriles, USCGS: 44,7°N, 149,4°E, H = 21 ^h 35 ^m 39 ^s , h = 33 km; mb = 4,5 (USCGS)					
	NIE	$\Delta = 75,5^\circ$ eP	21 47 26				

Date	Station	Phase	G.M.T. h m s	Date	Station	Phase	G.M.T. h m s
11.VI (suite)	KRA (GW)	$\Delta = 11,2^\circ$ eIP ePP ePPP eS eSS Lm	10 24 37 48 54 26 43 27 00 29 33	13.VI	KRA (SKM)	Traces eP 01 10 09	
		N: 8 ^s ; 1,6 μ E: 5 ^s ; 1 μ	30 01	13.VI		Iles Tonga, USCGS: 16,8°S, 174,0°W, H = 04 ^h 00 ^m 02,3 ^s , h = 39 km; mb = 4,9 (USCGS)	
	RAC (SK)	$\Delta = 11,4^\circ$ eP eS	10 24 49 26 45		NIE	$\Delta = 145,5^\circ$ ePKP 04 19 38 ei 59	
11.VI		Mer Ionienne, BCIS: 37,4°N, 21,3°E, H = 12 ^h 05 ^m 01 ^s ; M = 4,4 (Athènes)		13.VI		Région des Nouvelles Hébrides, USCGS: 21,2°S, 174,1°E, H = 07 ^h 33 ^m 13,4 ^s , h = 49 km; mb = 5,9 (USCGS), M = 6-6 $\frac{1}{4}$ (Pasadena)	
	NIE	$\Delta = 12,0^\circ$ eP eS	12 07 51 10 37		NIE	$\Delta = 145,0^\circ$ eIPKP 07 52 46	
	KRA (GW)	$\Delta = 12,7^\circ$ eP ePP ePPP eS eSSS	12 08 09 13 21 10 26 49		KRA (SKM) (GW)	$\Delta = 144,5^\circ$. Traces ePKP 07 52 52 ePKS 56 28 eL 08 47,0 Lm 55 30 NE: 21 ^s ; 4,5 μ , 3,7 μ	
11.VI		Proche			RAC (SK)	$\Delta = 145,4^\circ$ ePKP 07 52 52	
	NIE	Traces ePg _Z	12 45 58	13.VI		Péninsule de l'Alaska, USCGS: 59,2°N, 152,0°W, H = 12 ^h 02 ^m 48 ^s , h = 11 km; mb = 4,5 (USCGS)	
11.VI		Iles Aléoutiennes, USCGS: 51,6°N, 178,4°W, H = 18 ^h 13 ^m 40,6 ^s , h = 60 km; mb = 5,9 (USCGS)			NIE	$\Delta = 80,6^\circ$. Traces eP 12 14 12	
	NIE	$\Delta = 77,3^\circ$ eP	18 25 36	13.VI		Mer du Groenland, USCGS: 73,8°N, 8,7°E, H = 13 ^h 06 ^m 00 ^s , h = 33 km; mb = 4,4 (USCGS)	
12.VI		Proche			NIE	$\Delta = 24,8^\circ$. Traces eP 13 11 23	
	NIE	eIP	00 55 10	13.VI		Proche Traces eZ 13 22 26	
12.VI		Au Sud des Iles Fidji, USCGS: 22,7°S, 178,7°W, H = 16 ^h 33 ^m 42 ^s , h = 402 km; mb = 4,5 (USCGS)		13.VI		Mer du Groenland, USCGS: 73,1°N, 7,2°E, H = 13 ^h 19 ^m 35 ^s , h = 33 km; mb = 4,7 (USCGS)	
	NIE	$\Delta = 149,5^\circ$ iPKP	16 52 46 C		KRA	$\Delta = 23,8^\circ$	
12.VI		Traces eP	20 32(51)				

Date	Station	Phase	G.M.T. h m s	Date	Station	Phase	G.M.T. h m s
13.VI (suite)	KRA (SKM)	eP	13 24 47	14.VI	KRA	$\Delta = 20,2^\circ$	
	NIE	$\Delta = 24,3^\circ$		(SKM)	eIP		02 50 30 C
	eP		13 24 55	(GW)	ePP		48
	epP		25 05		eS		54 16
					eSS		39
13.VI		Au de l'ouest du Spitz- berg, BCIS: 79,6°N, 2,8°E, H = 14 ^h 12 ^m 58 ^s ; mb = 4,2 (USCGS)		14.VI	NIE	Traces	
	NIE	$\Delta = 30,7^\circ$			eP		02 57 21,5
	eP		14 19 19	14.VI		Crête médiane de l'Atlanti- que, USCGS: 0,2°S, 19,1°W, H = 03 ^h 16 ^m 06,1 ^s , h = 33 km; mb = 4,5 (USCGS)	
	eI		28		NIE	$\Delta = 60,1^\circ$. Traces	
13.VI		Iles Santa Cruz, USCGS: 12,2°S, 167,1°E, H = 18 ^h 08 ^m 38,4 ^s , h = 259 km; mb = 6,2 (USCGS), M = 6,7 (Pasadena), 6,1-6,4 (Berkeley)			eP		03 26 12
	NIE	$\Delta = 133,8^\circ$		14.VI	NIE	Traces	
	e		18 27 16		eP		10 43 41,5
	eIPKP		26	14.VI		Mer de Banda, USCGS: 5,3°S, 124,5°E, H = 16 ^h 39 ^m 50,5 ^s , h = 656 km; mb = 5,4 (USCGS)	
	eIPP		30 00		NIE	$\Delta = 103,4^\circ$. Traces	
	eISKP		36		eIPP		16 57 12
	eIPKS		50	14.VI		Hondo du Sud, Japon, USCGS: 30,7°N, 138,7°E, H = 21 ^h 03 ^m 48,3 ^s , h = 397 km; mb = = 5,1 (USCGS)	
	KRA	$\Delta = 133,5^\circ$			NIE	$\Delta = 83,0^\circ$	
	(SKM) IPKP		18 27 27 D		eIP		21 15 32
	(GW) eI		44		epP		17 03
	eIPKP		28 45		KRA	$\Delta = 82,6^\circ$. Traces	
	IPP		30 01		(SKM) eIP		21 15 26
	IPKS		55		epP		17 05
	IPKS		31 53		ePP		18 49
	ePS		40 14	15.VI		Iles Salomon, USCGS: 10,4°S, 160,8°E, H = 00 ^h 59 ^m 45,8 ^s , h = 31 km; mb = = 6,1 (USCGS), M = 7,2 (Pasadena), 7-7,3 (Berke- ley), 7,2-7,4 (Palisades)	
	eL		47,5		NIE	$\Delta = 129,2^\circ$	
	Lm		49 39		ePKP		01 18 53
		N: 7 ^s ; 1 μ			ePP		21 06
		E: 12 ^s ; 2,2 μ			ePKS		22 15
	RAC	$\Delta = 134,3^\circ$			KRA	$\Delta = 128,8^\circ$	
	(SK) ePKP		18 27 29		(GW) ePKP		01 18 58
	eSKP		30 38				
	epPKS		32 09				
14.VI		Anatolie, Turquie, BCIS: 38,1°N, 42,9°E, H = 02 ^h 45 ^m 52 ^s ; mb = 4,7 (USCGS)					
	NIE	$\Delta = 19,7^\circ$					
	eIP		02 50 26				
	ePP		46				
	e		51 08				

Date	Station	Phase	G.M.T. h m s	Date	Station	Phase	G.M.T. h m s
15.VI (suite)	KRA	IPP	01 21 06	15.VI	NIE		
	ePKS		22 34		ePKP		06 32 56
	ePPP		23 54		ePP		35 04
	Lm		02 09 34		KRA	$\Delta = 128,6^\circ$	
		E: 16 ^s ; 68 μ		(GW) ePP			06 35 11
	Lm		09,8		ePKS		36 28
		N: 20 ^s ; 142 μ		15.VI		Local	
	Lm		13,8		NIE		
		E: 14 ^s ; 29,5 μ			ePg _{NEZ}		09 41 49
	Lm		14,1		i _{NEZ}		53
		N: 20 ^s ; 215 μ			e _{NEZ}		42 00
	RAC	$\Delta = 129,8^\circ$		15.VI		Local	
	(M) ePKP		01 19 02		NIE		
	Lm		02 21,5		ePg _{NEZ}		12 58 55
		NEZ: 20 ^s ; 200 μ ,			eL _{NE}		59 02
		190 μ , 250 μ		15.VI		Iles Salomon, USCGS: 10,3°S, 160,7°E, H = 16 ^h 36 ^m 24,1 ^s , h = 18 km; mb = = 5,8 (USCGS), M = 5,9 (Berkeley)	
15.VI		Iles Salomon, USCGS: 10,2°S, 161,1°E, H = 01 ^h 32 ^m 55,5 ^s , mb = 6,2 (USCGS), M = 7,2 (Pasadena)			NIE	$\Delta = 128,7^\circ$	
	KRA	$\Delta = 128,6^\circ$			ePKP		16 55 32
	(SKM) ePKP		01 52 04	15.VI		Traces	
	eIPP		54 09		eP		18 15 27
	ePKS		55 39	15.VI		Iles Kouriles, USCGS: 44,2°N, 149,1°E, H = 23 ^h 25 ^m 27 ^s , h = 40 km; mb = = 4,9 (USCGS)	
	NIE	$\Delta = 129,0^\circ$			NIE	$\Delta = 75,7^\circ$. Traces	
	ePKP		01 52 04		eP		23 37 15
	ePP		54 22	16.VI		Yougoslavie, BCIS: 43 $\frac{1}{2}$ °N, 20,0°E, H = 04 ^h 30 ^m 59 ^s ; M = = 3,8 (Beograd)	
	RAC	$\Delta = 129,7^\circ$			NIE	$\Delta = 6,0^\circ$. Traces	
	(SK) ePKP		01 52 08		ePn		04 32 27
15.VI		Iles Salomon, USCGS: 10,2°S, 160,7°E, H = 03 ^h 03 ^m 34,2 ^s , h = 33 km; mb = = 5,7 (USCGS)			ePP		39
	NIE	$\Delta = 129,2^\circ$			ePg		33 00
	ePKP		03 22 40		eSg		34 21
15.VI		Iles Salomon, USCGS: 10,7°S, 161,3°E, H = 04 ^h 26 ^m 53,3 ^s , h = 33 km; mb = = 5,3 (USCGS)		16.VI		Proche	
	NIE	$\Delta = 129,6^\circ$			NIE	Traces	
	ePKP		04 46 02		eIPg _Z		13 52 38,8
15.VI		Iles Salomon, USCGS: 10,1°S, 161,0°E, H = 06 ^h 13 ^m 52,3 ^s , h = 39 km; mb = = 5,9 (USCGS)			e(Sg) _{NE}		52
	NIE	$\Delta = 129,0^\circ$. Traces			eL _{NE}		57,5

Date	Station	Phase	G.M.T. h m s	Date	Station	Phase	G.M.T. h m s
16.VI		Mer du Groenland, BCIS: 71,6°N, 2,8°W, H = 17 ^h 05 ^m 21 ^s		17.VI		République du Congo, USCGS: 0,8°N, 30,0°E, H = 18 ^h 31 ^m 55,1 ^s , h = 33 km	
	KRA	Δ = 23,6°			NIE	Δ = 49,5°	
	(SKM)	e1P	17 10 38 D			eP	18 40 42
		ePP	11 08	18.VI		Local	
		eS	14 46		NIE	e1P _{ENZ}	09 00 13,0
		eL	19,5			eL _{NZ}	27,3
	NIE	Δ = 24,6°		18.VI		Près de la côte N de la Nouvelle Guinée, USCGS: 3,3°S, 143,2°E, H = 19 ^h 15 ^m 24,4 ^s , h = 17 km; mb = = 5,2 (USCGS)	
		eP	17 10 44		NIE	Δ = 113,5°. Traces	
		e1	52			ePKP	19 34 05
16.VI		Crête médiane de l'Atlan- tique, USCGS: 12,9°N, 44,5°W, H = 18 ^h 01 ^m 02 ^s , h = 30 km; mb = 4,8 (USCGS)				ePP	35 04
	NIE	Δ = 63,7°. Traces		19.VI		Yougoslavie, BCIS: 46,1°N, 14,2°E, H = 04 ^h 12 ^m 12 ^s	
		eP	18 11 36		NIE	Δ = 5,4°. Traces	
	KRA	Δ = 63,7°				e(Pn)	04 13 29
	(GW)	eP	18 11 37			ePP	41
16.VI		Océan Indien, USCGS: 26,2°S, 70,8°E, H = 22 ^h 30 ^m 04,2 ^s , h = 33 km; mb = = 5,1 (USCGS)			KRA	Δ = 5,5°	
	KRA	Δ = 88,0°			(SKM)	e1Pg	04 14 02
	(SKM)	eP	22 42 53			e1Sn	40
		e1	58			e1Sg	15 17
	NIE	Δ = 87,8°. Traces		19.VI		Anatolie Occidentale, BCIS: 38,5°N, 27,4°E, H = 17 ^h 55 ^m 27 ^s ; M = 4,6 (Athènes), MLH = 4,3 (Kraków)	
		eP	22 42 56		NIE	Δ = 12,0°	
17.VI		Hokkaido, Japon, USCGS: 42,4°N, 142,9°E, H = 08 ^h 48 ^m 33,2 ^s , h = 67 km; mb = = 4,8 (USCGS)				eP	17 58 21
	NIE	Δ = 75,0°				ePPP	37
		eP	09 00 14			eL	18 02,5
17.VI		Iles Fidji, USCGS: 21,9°S, 178,8°W, H = 10 ^h 04 ^m 02 ^s , h = 544 km; mb = 4,8 (USCGS)			KRA	Δ = 12,6°	
	NIE	Δ = 148,5°			(GW)	eP	17 58 29
		e1PKP ₁	10 22 49			ePP	40
		e1PKP ₂	54			eS	18 00 15
17.VI		Traces				eL	02,9
	NIE	eP	17 26 55,6			IM	04 44
						Im	52
						N: 10 ^μ ; 1,2μ	
						E: 9 ^μ ; 1,0μ	

Date	Station	Phase	G.M.T. h m s	Date	Station	Phase	G.M.T. h m s	
20.VI		NIE		21.VI		NIE		
		eP	09 11 40,5			e1P	23 18 05	
		e1	56,0			ePoP	22	
20.VI		Iles Tonga, USCGS: 20,5°S, 174,1°W, H = 19 ^h 08 ^m 57 ^s , h = 33 km; mb = 4,5 (USCGS)			RAC	Δ = 74,0°		
	NIE	Δ = 149,0°			(SK)	eP	23 18 05	
		ePKP	19 28 46	22.VI		Péninsule de l'Alaska, USCGS: 61,4°N, 147,6°W, H = 11 ^h 38 ^m 53,7 ^s , h = = 33 km; mb = 5,2 (USCGS), M = 5-5½ (Palisades)		
21.VI		Iles Santa Cruz, USCGS: 10,9°S, 165,3°E, H = 00 ^h 43 ^m 13,5 ^s , h = 25 km; mb = = 5,3 (USCGS)			NIE	Δ = 61,2°		
	KRA	Δ = 131,5°				eP	11 49 57	
	(SKM)	ePKP	01 02 37			e1PoP	50 06	
	(GW)	ePP	04 56	22.VI		Mer de Banda, USCGS: 7,2°S, 124,6°E, H = 20 ^h 29 ^m 03,6 ^s , h = 507 km; mb = 6,1 (USCGS)		
		ePKS	05 53		NIE	Δ = 104,8°		
21.VI		Région des Iles Bonin, USCGS: 28,6°N, 142,7°E, H = 03 ^h 50 ^m 19,2 ^s , h = = 15 km; mb = 4,9 (USCGS)				eP	20 42 16	
	NIE	Δ = 86,6°				ipP	44 17	
		eP	04 03 05			e1PP	46 39	
21.VI		Proche				e1	48 14	
	NIE	e1Pg _Z	14 02 25,7 D			e1pPP	34	
		i _{NEZ}	35		KRA	Δ = 105,0°		
		e1 _{NEZ}	45		(GW)	eP	20 42 21	
		i _{NEZ}	(54)			e	27	
	KRA					epP	44 15	
	(SKM)	e1 _{NEZ}	14 02 57,2			ePP	46 53	
		i _{NEZ}	03 15,7			eSKS	52 08	
	RAC	Traces				eS	53 27	
	(SK)	NEZ	14 03-06			ePPS	57 25	
						eL	21 08	
21.VI		Iles Kouriles, USCGS: 50,1°N, 157,8°E, H = 23 ^h 06 ^m 25,9 ^s , h = 14 km; mb = = 5,8 (USCGS), M = 5½-5½ (Palisades)			RAC	Δ = 106,0°		
	KRA	Δ = 73,4°			(SK)	ePKP	20 46 04	
	(SKM)	e1P	23 18 03 D	23.VI		Hokkaido, Japon, USCGS: 43,8°N, 139,9°E, H = 05 ^h 01 ^m 42,4 ^s , h = 218 km; mb = 5,5 (USCGS)		
		e1PoP	19			KRA	Δ = 72,5°	
		eL	48,2			(SKM)	e1P	05 12 49 D
	NIE	Δ = 73,5°				(GW)	1PoP	59
						NIE	Δ = 72,5°	
						eP	05 12 51 D	
						Pn	53	
						Z: 1,0 ^μ ; 0,103μ		
					RAC	Δ = 73,0°		

Date	Station	Phase	G.M.T. h m s	Date	Station	Phase	G.M.T. h m s
23.VI (suite)	RAC (SK)	eIP ePoP	05 12 56 13 06	24.VI	NIE	eP _{NE} , eIP _{NE} ei(SG) _{NE}	09 01 47,0 (54,2)
23.VI		Angola, USCGS: 14,4°S, 21,8°E, H = 09 ^h 37 ^m 03 ^s , h = 33 km; mb = 5,3 (USCGS)		24.VI		Grèce, BCIS: 38,8°N, 21,7°E, H = 22 ^h 34 ^m 22 ^s ; mb = 4,6 (USCGS)	
	NIE	Δ = 63,7°. Traces eP	09 47 32		NIE	Δ = 10,5° eP ePP	22 37 00 11
23.VI	Local				KRA (GW)	Δ = 11,3° eP eiPPP	22 37 14 27
	NIE	Traces eP _{NE} , eIP _{NE} eiL _{NE}	13 00 46,0 01 05,5	25.VI		Sud de Hondo, Japon, USCGS: 29,6°N, 142,1°E, H = 01 ^h 46 ^m 10,4 ^s , h = = 49 km; mb = 5,5 (USCGS), MLH = 5,6 (Kraków)	
23.VI		Près de la côte E de Hondo, Japon, USCGS: 38,2°N, 141,4°E, H = 21 ^h 51 ^m 57,4 ^s , h = 92 km; mb = = 5,0 (USCGS)			KRA (SKM) (GW)	Δ = 85,3° eIP ei eS eL Im	01 58 45 C 50 02 09 15 32,5 39 59
	NIE	Δ = 78,0° eP ePoP	22 03 57 04 10			N: 14 ^s ; 1 ^μ Im E: 14 ^s ; 1 ^μ	40 14
24.VI	NIE	eP ei	06 00 15,2 32,0		NIE	Δ = 85,5° eIP ePP	01 58 46 C 02 02 08
24.VI	Local			25.VI	Local		
	NIE	eP _{NEZ} eiL _{NE}	08 00 11 31		NIE	Traces eP _{NE} eL _{NE}	08 55 02,5 29,5
24.VI		Au Sud des Iles Fidji, USCGS: 26,7°S, 177,3°W, H = 08 ^h 17 ^m 49,1 ^s , h = = 146 km; mb = 5,3 (USCGS)		25.VI		W Iran, USCGS: 32,7°N, 48,5°E, H = 11 ^h 52 ^m 18 ^s , h = 33 km; mb = 4,7 (USCGS)	
	NIE	Δ = 153,5° eiPKP ₁ ei ePKP ₂	08 37 23 32 44		NIE	Δ = 26,7°. Traces eP ePP	11 58 02 14
	KRA (SKM)	Δ = 153,0° eiPKP ₁ i	08 37 23 D 31	26/27. VI		Chine, USCGS: 31,9°N, 104,0°E, H = 23 ^h 30 ^m 52,5 ^s , h = 33 km; mb = 5,2 (USCGS)	
24.VI	RAC (SK)	Δ = 154,0° e	08 37 33				
	Local						

Date	Station	Phase	G.M.T. h m s	Date	Station	Phase	G.M.T. h m s
26/27. VI (suite)	KRA (SKM)	Δ = 62,8° eP eL	23 41 18 00 05,1	27.VI	NIE	eP _{NE}	10 58 37,6
27.VI		Emilie, Italie, BCIS: 44,4°N, 12,3°E, H = 05 ^h 16 ^m 22 ^s		27.VI		Région frontière Nepal- -Inde. USCGS: 29,7°N, 81,0°E, H = 10 ^h 59 ^m 18,1 ^s , h = 40 km; mb = 6,0 (USCGS), M = 6 (Pasadena)	
	NIE	Δ = 7,5°. Traces ePP eP*	05 18 22 35		NIE	Δ = 49,0° iP	11 08 06 C
	RAC (SK)	Δ = 7,0° eSS eSg	05 19 41 20 17		KRA (GW)	Δ = 49,4° eIP epP ePoP iPP eiS	11 08 09 17 09 36 10 06 15 14
	KRA (GW)	Δ = 7,7°. Traces eSn eSg	05 19 42 20 37	27.VI		Région frontière Nepal- -Inde. USCGS: 29,6°N, 80,8°E, H = 13 ^h 55 ^m 51,9 ^s , h = 35 km; mb = 5,4 (USCGS)	
27.VI		Région des Iles Tonga, USCGS: 22,7°S, 175,8°W, H = 08 ^h 38 ^m 45,8 ^s , h = = 60 km; mb = 5,3 (USCGS)			NIE	Δ = 49,0° eIP epP	14 04 41 C 51
	NIE	Δ = 150,5° ePKP ₁ eiPKP ₂	08 58 32 48	27.VI		Ile du Nord Nouvelle Zélande, USCGS: 38,0°S, 177,2°E, H = 21 ^h 47 ^m 05,5 ^s , h = 54 km; mb = 5,7 (USCGS)	
	RAC (SK)	Δ = 150,7° ePKP ₂	08 58 48		NIE	Δ = 160,0° ePKP ₁ eiPKP ₂	22 06 55 07 36
27.VI		Région frontière Nepal- -Inde, USCGS: 29,7°N, 80,9°E, H = 10 ^h 41 ^m 08,6 ^s , h = 37 km; mb = 6,1 (USCGS), M = 6 ¹ / ₄ -6 ¹ / ₂ (Palisades), 5 ¹ / ₂ (Pa- sadena)			KRA (Ch)	Δ = 159,8° eiPKP ₂	22 07 36
	NIE	Δ = 49,0° iP ei	10 49 56 C 57	28.VI		Roumanie, BCIS: 45,7°N, 26,6°E, H = 00 ^h 01 ^m 32 ^s , h = 150 km ca; mb = 4,2 (USCGS)	
		Z: 1,0 ^s ; 0,154 ^μ eipP i	50 04 56		NIE	Δ = 5,6° eiPn ePP eP*	00 02(55) 03 01 09
	KRA (GW)	Δ = 49,4° eIP ei eIPP ePoS eS ePPS eSoS	10 49 58 C 50 32 51 56 55 18 57 01 25 59 51	28.VI		Californie, USCGS: 35,9°N, 120,5°W, H = 04 ^h 26 ^m 12,4 ^s , h = 4 km; mb = 5,3 (USCGS), M = 5,8 (Pasadena), MLH = = 6,0 (Kraków)	
	RAC (SK)	Δ = 50,5° eP	10 50 08				

Date	Station	Phase	G.M.T. h m s	Date	Station	Phase	G.M.T. h m s			
28.VI (suite)	KRA (Ch) (GW)	$\Delta = 87,0^\circ$		29.VI	NIE	$\Delta = 36,0^\circ$				
		eP	04 39 10			eIP	07 05 08 C			
		ePoP	13			Pm	10			
		eSKS	49 30			Z: $1,0^\circ$; $0,085\mu$				
		eS	39			ei	13			
		ePPS	51 03			ePP	06 18			
		eL	05 09,3			29.VI Proche				
		Im	51 37			NIE	eP _{NEZ}	09 05 53,0 C		
		N: 14° ; $4,5\mu$							ei _N	56,8
		Im	53 57						eIS _{NEZ}	06 01,0
		N: 13° ; $3,5\mu$							Im	23,0
E: 14° ; $2,8\mu$		Z: $1,2^\circ$; $0,4\mu$		KRA (Ch)	Traces	ePg	09 06 07			
28.VI Proche		ei	25							
NIE		29.VI Nouvelles Hébrides, USCGS:								
eP _{GZ}		13,8 ⁰ S, 166,7 ⁰ E, H = 21 ^h		KRA (SKM)	$\Delta = 134,8^\circ$	ePKP	22 06 12			
eS _{NEZ}		46 ^m 54,5 ^s , h = 35 km; mb =								
Im		= 6,2 (USCGS), M = 5,4-		KRA (SKM)	$\Delta = 79,0^\circ$	ePKP	22 06 12			
NE: 1° ; $0,321\mu$, $0,203\mu$		-5,8 (Berkeley)								
28.VI Formose, USCGS: 27,0 ⁰ N, 125,9 ⁰ E, H = 16 ^h 47 ^m 49 ^s , h = 100 km; mb = 5,0 (USCGS)		NIE $\Delta = 135,0^\circ$. Traces		KRA (SKM)	$\Delta = 78,8^\circ$	ePP	08 47			
KRA $\Delta = 79,0^\circ$		ePKP								
(SKM) eIP		22 06 12		KRA (SKM)	$\Delta = 78,8^\circ$	ePKS	09 43			
NIE $\Delta = 78,8^\circ$		eL								
1P		23 03,5		KRA (SKM)	$\Delta = 79,4^\circ$. Traces	eP	23 03 22			
29.VI Frontière Albanie-Yougosla- vie, BCIS: 41,0 ⁰ N, 20,2 ⁰ E; H = 00 ^h 49 ^m 32 ^s ; mb = 4,3 (USCGS)		29.VI Région de Formose, USCGS: 24,2 ⁰ N, 122,5 ⁰ E, H = 22 ^h 51 ^m 22,7 ^s , h = 33 km; mb = = 5,2 (USCGS)								
NIE $\Delta = 8,4^\circ$		KRA $\Delta = 79,4^\circ$. Traces		KRA (SKM)	$\Delta = 79,4^\circ$. Traces	ePoP	38			
eIP		30.VI Région des Iles Fidji, USCGS: 21,0 ⁰ S, 176,3 ⁰ W, H = 06 ^h 06 ^m 42 ^s , h = 169 km; mb = 4,5 (USCGS)								
ePP		30.VI URSS, région de Vlady- vostok, USCGS: 43,6 ⁰ N, 132,2 ⁰ E, H = 08 ^h 59 ^m 48,3 ^s , h = 454 km; mb = 5,4 (USCGS)		KRA (GW)	$\Delta = 9,0^\circ$	eP	00 51 45			
29.VI Kasakstan, URSS, BCIS: 50,0 ⁰ N, 78,0 ⁰ E, H = 06 ^h 58 ^m 00 ^s ; mb = 5,7 (USCGS), M = 6,0 (Moxa); mPV = 5,6 (Niedzica)		NIE $\Delta = 148,8^\circ$								
KRA $\Delta = 36,2^\circ$		eIPKP		KRA (SKM)	$\Delta = 36,2^\circ$	1P	07 05 07 C			
(SKM) 1P		06 26 11								

Date	Station	Phase	G.M.T. h m s	Date	Station	Phase	G.M.T. h m s	
30.VI (suite)	KRA	$\Delta = 69,3^\circ$		30.VI	KRA	$\Delta = 79,0^\circ$		
		1P	09 10 13 D			(SKM) eIP	15 57 27 D	
		ei	20			(GW) ePoP	37	
		eIPP	12 55			eS	16 07 26	
		NIE $\Delta = 69,3^\circ$				eSKS		36
eIP		09 10 15 D		30.VI	Frontière Albanie-Yougo- slavie, BCIS: 41,2 ⁰ N, 21,0 ⁰ E, H = 19 ^h 21 ^m 28 ^s	NIE $\Delta = 8,4^\circ$	eP	19 23 28
Pm		16						
Z: $0,9^\circ$; $0,203\mu$		ePP						
RAC $\Delta = 70,0^\circ$		30.VI Mindanao, Philippines, USCGS: 9,6 ⁰ N, 126,7 ⁰ E, H = 12 ^h 27 ^m 41,9 ^s , h = = 44 km; mb = 5,4 (USCGS)		KRA (GW)	$\Delta = 9,0^\circ$	eP	19 23 39	
(SK) eP		09 10 18						
30.VI		NIE $\Delta = 93,4^\circ$		KRA (SKM)	$\Delta = 9,0^\circ$	ePP	48	
eP		12 40 53						
epP		41 12		KRA (SKM)	$\Delta = 9,0^\circ$	eS	25 20	
30.VI		KRA $\Delta = 93,2^\circ$						
eP		12 40 57		KRA (SKM)	$\Delta = 9,0^\circ$	eSg	26 27	
eSKS		51 31						
eS		52 03		KRA (SKM)	$\Delta = 9,0^\circ$	eL	35,3	
eL		13 08,1						
30.VI		Région de Formose, USCGS: 24,4 ⁰ N, 122,2 ⁰ E, H = 15 ^h 45 ^m 26,0 ^s , h = 47 km; mb = = 5,4 (USCGS)		KRA (SKM)	$\Delta = 9,0^\circ$	1P	22 27 36 C	
NIE $\Delta = 78,8^\circ$		eP						
eP		15 57 27		KRA (SKM)	$\Delta = 9,0^\circ$	ei	40	
epP		49						
30.VI		Région de Formose, USCGS: 24,4 ⁰ N, 122,2 ⁰ E, H = 15 ^h 45 ^m 26,0 ^s , h = 47 km; mb = = 5,4 (USCGS)		KRA (SKM)	$\Delta = 9,0^\circ$	ei	28 17	
NIE $\Delta = 78,8^\circ$		eP						
eP		15 57 27		KRA (SKM)	$\Delta = 9,0^\circ$	1P	22 27 40 C	
epP		49						
30.VI		Région de Formose, USCGS: 24,4 ⁰ N, 122,2 ⁰ E, H = 15 ^h 45 ^m 26,0 ^s , h = 47 km; mb = = 5,4 (USCGS)		KRA (SKM)	$\Delta = 9,0^\circ$	Pm	42	
NIE $\Delta = 78,8^\circ$		eP						
eP		15 57 27		KRA (SKM)	$\Delta = 9,0^\circ$	ei	48	
epP		49						
1966		J U I L L E T		1966				
1.VII		Région de Formose, USCGS: 24,8 ⁰ N, 122,4 ⁰ E, H = 05 ^h 50 ^m 38,8 ^s , h = 109 km; mb = = 6,2 (USCGS), M = 6 ¹ / ₄ (Passadena)		KRA (GW)	$\Delta = 78,7^\circ$	eP	05 02 32	
1.VII		Région de Formose, USCGS: 24,8 ⁰ N, 122,4 ⁰ E, H = 05 ^h 50 ^m 38,8 ^s , h = 109 km; mb = = 6,2 (USCGS), M = 6 ¹ / ₄ (Passadena)						
KRA		eP		KRA (SKM)	$\Delta = 79,6^\circ$	eIP	06 02 38	
(GW)		1PoP						
ei		03 03		KRA (SKM)	$\Delta = 79,6^\circ$	ePoP	31	
eIPP		05 36						
eS		12 19		KRA (SKM)	$\Delta = 79,6^\circ$	eS	12 34	
eSKS		38						
eS		13 10		KRA (SKM)	$\Delta = 78,6^\circ$	eIPoP	06 02 48	
ePS		19						
eL		24		KRA (SKM)	$\Delta = 78,6^\circ$	eL	18,4	
1.VII		Proche						
KRA		eIP _{GZ}		KRA (SKM)	$\Delta = 78,6^\circ$	eIP _{GZ}	09 13 03,6	
(SKM)		09 13 03,6						

Date	Station	Phase	G.M.T. h m s	Date	Station	Phase	G.M.T. h m s
1.VII (suite)	KRA	1(Sg)NEZ	09 13 13,5	4.VII	Iles aux Rats, Aléoutiennes, USCGS: 51,8°N, 176,4°E, H = 02 ^h 55 ^m 37,2 ^s , h = 37 km; mb = 5,5 (USCGS)		
1.VII	NIE	Proche		KRA	Δ = 76,0°		
		eIP _{NEZ}	13 34 02,6	(SKM)	eIP	03 07 25 C	
		eSg _{NEZ}	13,6		ePoP	39	
		P	35 00	RAC	Δ = 76,4°		
1.VII		Iles Proches Aléoutiennes, USCGS: 52,3°N, 174,1°E, H = 19 ^h 05 ^m 25,0 ^s , h = 41 km; mb = 4,9 (USCGS)		(SK)	eP	03 07 27	
	NIE	Δ = 75,4°		NIE	Δ = 76,4°		
		eIP	19 17 11		1P	03 07 28 C	
		ePoP	26		ePoP	38	
1.VII		Au Sud des Iles Fidji, USCGS: 23,8°S, 179,9°E, H = 19 ^h 20 ^m 26,6 ^s , h = 555 km; mb = 4,0 (USCGS)		4.VII	Au Sud des Iles Fidji, USCGS: 22,2°S, 179,5°W, H = 07 ^h 22 ^m 25,5 ^s , h = 601 km; mb = 4,4 (USCGS)		
	NIE	Δ = 150,0°		NIE	Δ = 148,7°		
		1PKP ₁	19 39 15 D		ePKP ₁	07 41 02	
2.VII		Proche			i	06	
	NIE	Traces			e1PKP ₂	12	
		eP ₂	12 56 40,1		e1PKP	43 30	
		i _{NEZ}	59,6	4.VII	Océan Atlantique, BCIS: 37,5°N, 24,4°W, H = 12 ^h 15 ^m 25 ^s ; ML = 5 ¹ / ₄ (Strasbourg), 5,4; 5,2 (Moxa), MLH = 5,4 (Kraków)		
	KRA	e _E	12 56 41,6	RAC	Δ = 32,5°		
	(Ch)	e _N	43,1	(SK)	eP	12 22 02	
3.VII		Iles aux Renards, Aléoutiennes, USCGS: 52,4°N, 170,3°W, H = 03 ^h 55 ^m 13,7 ^s , h = 55 km; mb = 5,0 (USCGS)		KRA	Δ = 33,3°		
	NIE	Δ = 77,5°		(SKM)	eIP	12 22 12 D	
		eIP	04 07 09		ePP	23 19	
3.VII		Iles Tonga, USCGS: 21,2°S, 174,2°W, H = 04 ^h 09 ^m 34,2 ^s , h = 69 km; mb = 4,9 (USCGS)			ePPP	49	
	KRA	Δ = 149,0°		(GW)	eS	27 38	
	(GW)	ePKP ₁	04 29 19		ePoS	28 29	
		ePKP ₂	31		Im	36 00	
	NIE	Δ = 149,5°			N: 12 ^s ; 2,2μ		
		e1PKP ₁	04 29 19		Im	11	
		e1PKP ₂	29		E: 9 ^s ; 1,1μ		
		e1	40	NIE	Δ = 33,5°		
	RAC	Δ = 149,5°			eIP	12 22 13	
	(SK)	ePKP ₁	04 29 20		eIPoP	24 50	
				4.VII	Iles aux Rats, Aléoutiennes, USCGS: 51,9°N, 179,8°E, H = 18 ^h 33 ^m 37,1 ^s , h = 15 km; mb = 6,0 (USCGS), M = 6 ¹ / ₄ - 7 (Pasadena), MLH = 7,3 (Kraków)		

Date	Station	Phase	G.M.T. h m s	Date	Station	Phase	G.M.T. h m s
4.VII (suite)	KRA (Ch)	Δ = 76,5° eP	18 45 32 C	5.VII	NIE	1PoP	02 33 48
		eIPoP	45			ePP	36 29
		e1PP	48 27			e1	37 17
		e1	43		KRA	Δ = 76,4°	
		eS	55 24	(GW)	eIP	02 33 45	
	(GW)	eL	19 10,0		ePoP	59	
		Im	22 38		eS	43 20	
		N: 19 ^s ; 128μ			eSKS	27	
		Im	56		eSoS	48 53	
		E: 16 ^s ; 29μ			eL	03 07,0	
	NIE	Δ = 76,8°			Im	14 42	
		eP	18 45 35			N: 16 ^s ; 4,0μ	
		i	40		Im	48	
		e1PP	48 32			E: 15 ^s ; 1,1μ	
		e1	49 07		RAC	Δ = 76,6°	
		e1SKS	55 35	(SK)	eP	02 33 47	
		ePPS	56 12	5.VII		Iles Tonga, USCGS: 15,1°S, 175,0°W, H = 03 ^h 22 ^m 45,5 ^s , h = 252 km; mb = 5,0 (USCGS)	
	RAC	Δ = 77,0°			KRA	Δ = 143,0°. Traces	
	(SK)	eP	18 45 38		(SKM)	e1PKP	03 41 48
		eS	55 29		RAC	Δ = 143,5°	
4.VII		Iles Andreanov, Aléoutiennes, USCGS: 51,4°N, 179,5°W, H = 18 ^h 50 ^m 22,6 ^s , h = 36 km; mb = 5,0 (USCGS)		(SK)	ePKP	03 41 49	
	KRA	Δ = 77,0°		NIE	Δ = 143,5°		
		eP	19 02 16		1PKP	03 41 50 D	
		eIPoP	31	5.VII		Région des Iles Açores, USCGS: 37,6°N, 24,7°W, H = 05 ^h 09 ^m 04,7 ^s , h = 18 km; mb = 5,1 (USCGS), ML = 5 ¹ / ₄ (Strasbourg)	
	(SKM)	ePS	12 46		KRA	Δ = 33,8°	
		e1PPS	57	(SKM)	1P	05 15 49 D	
5.VII		Océan Atlantique, réplique du 4.VII à 12 ^h 15 ^m , BCIS: H = 02 ^h 22 ^m 22 ^s ; ML = 5 ¹ / ₄ (Strasbourg)			i	55	
	KRA	Δ = 33,8°. Traces		(GW)	eS	21 16	
	(SKM)	eP	02 29 08 C		eL	27,8	
	NIE	Δ = 33,5°		NIE	Δ = 33,8°		
		eIP	02 29 10 C		eIP	05 15 51	
5.VII		Iles Andreanov, Aléoutiennes, USCGS: 52,2°N, 178,4°W, H = 02 ^h 21 ^m 43,8 ^s , h = 66 km; mb = 4,9 (USCGS), MLH = 5,8 (Kraków)		5.VII		Région frontalière Indonésie-Chine, USCGS: 27,8°N, 92,7°E, H = 10 ^h 01 ^m 17,7 ^s , h = 33 km; mb = 4,8 (USCGS)	
	NIE	Δ = 76,8°			NIE	Δ = 58,0°. Traces	
		eP	02 33 32		eP	10 11 12	

Date	Station	Phase	G.M.T. h m s	Date	Station	Phase	G.M.T. h m s
5.VII		Proche		6.VII	KRA	Lm	14 23 00
	NIE						N: 10 ^m ; 2,1 μ
		eP _{NEZ}	11 59 42		RAC	Traces	
		eISS _{NEZ}	46		(SK)	NEZ	14 19-30
		iZ	54	6.VII		Iles Riou-Kiou, USCGS:	
		Lm	12 00 05			25,8 ^o N, 128,0 ^o E, H = 20 ^h	
		E: 0,7 ^m ; 0,047 μ				21 ^m 42,3 ^m , h = 13 km; mb =	
		Lm	08			= 5,1 (USCGS)	
		N: 0,8 ^m ; 0,114 μ			NIE	$\Delta = 81,0^{\circ}$	
		Lm	10			eIP	20 34 02
		Z: 0,8 ^m ; 0,033 μ				iPoP	07
		P	01 20			ei	22
	KRA				KRA	$\Delta = 81,0^{\circ}$	
	(Ch)	eIP _{NEZ}	11 59 46		(GW)	eP	20 34 06
		e(SG) _{NEZ}	12 00 02			ePoP	12
6.VII		Italie méridionale, BCIS:				eS	44 09
		40,9 ^o N, 15,6 ^o E, H = 04 ^h 24 ^m				eSKS	19
		42 ^m , h = 50 km ca				eSoS	28
	NIE	$\Delta = 9,1^{\circ}$				eL	21 06,0
		eP	04 26 56	7.VII		Iles Tonga, USCGS: 18,1 ^o S,	
		eIPP	27 00			173,5 ^o W, H = 23 ^h 22 ^m 04,7 ^m ,	
		eISSS	29 04			h = 15 km; mb = 5,0 (USCGS)	
	KRA	$\Delta = 9,6^{\circ}$			NIE	$\Delta = 147,0^{\circ}$	
	(SKM)	eP	04 27 03			eIPKP	23 41 46
		ePP	12	8.VII		Local	
		ePPP	21		NIE		
		eS	28 56			eP _Z	08 57 02,0
		eISS	29 08			e(SG) _{NEZ}	08,5
		eS*	28			Lm _{NEZ}	23
		eSg	30 00			P	58 30
	RAC	$\Delta = 9,3^{\circ}$		8.VII		Région frontière Chili-	
	(SK)	eSSS	04 29 11			-Bolivie, USCGS: 20,5 ^o S,	
		eSg	48			68,9 ^o W, H = 10 ^h 28 ^m 09 ^m ,	
6.VII		N Sinkiang, Chine, USCGS:				h = 236 km; mb = 4,0	
		44,0 ^o N, 83,3 ^o E, H = 13 ^h			KRA	$\Delta = 105,0^{\circ}$	
		59 ^m 14,8 ^m , h = 33 km; mb =			(GW)	e	10 50 25
		= 4,7 (USCGS)				ei(SS)	11 00 11
	KRA	$\Delta = 42,2^{\circ}$				eL	40,7
	(SKM)	eIP	14 07 08 D	8.VII		Iles Tonga, USCGS: 19,0 ^o S,	
6.VII		Suisse, BCIS: 46,8 ^o N,				174,5 ^o W, H = 22 ^h 12 ^m 27,6 ^m ,	
		7,5 ^o E, H = 14 ^h 18 ^m 03 ^m				h = 33 km; mb = 5,2 (USCGS)	
	KRA	$\Delta = 8,5^{\circ}$			NIE	$\Delta = 147,5^{\circ}$	
	(GW)	eP	14 20 16			iPKP	22 32 10 C
		ePP	22			e	29
		eS	21 54				
		Lm	22 52				
		E: 8 ^m ; 1 μ					

Date	Station	Phase	G.M.T. h m s	Date	Station	Phase	G.M.T. h m s
9.VII				10.VII		Iles Kermadec, USCGS:	
	NIE					30,4 ^o S, 177,8 ^o W, H = 10 ^h	
		e	00 47 39,5			00 ^m 39,2 ^m , h = 44 km; mb =	
		e	57			= 5,4 (USCGS), M = 5-5,4	
		e	48 31,5			(Berkeley)	
9.VII		Proche ?			KRA	$\Delta = 156,0^{\circ}$	
	NIE				(SKM)	eFKP ₁	10 20 28
		eIP _Z	04 29 31 D			eFKP ₂	58
	KRA				NIE	$\Delta = 156,7^{\circ}$	
	(Ch)	e _N	04 29 43			eIPKP ₁	10 20 30 C
		e _{NEZ}	59			eFKP ₂	58
9.VII		Yougoslavie, BCIS: 43 ^o N,		10.VII		Alpes Juliennes, BCIS:	
		19 ^o E, H = 10 ^h 04 ^m 32 ^m				46,4 ^o N, 13,4 ^o E, H = 13 ^h	
	NIE	$\Delta = 6,3^{\circ}$				30 ^m 15 ^m	
		eP*	10 06 15		KRA	$\Delta = 5,7^{\circ}$. Traces	
		eP _Z	34		(SKM)	ePn	13 31 44
		ei	07 04			eS*	33 14
		eISg	58			eSg	33
	KRA	$\Delta = 6,6^{\circ}$			RAC	$\Delta = 5,0^{\circ}$	
	(GW)	eP _Z	10 06 48		(SK)	eS*	13 32 53
		eSn	07 34			eSg	33 04
		eSg	08 14	10.VII		Région des Iles Riou-Kiou,	
9.VII		Région des Iles Fidji,				USCGS: 24,2 ^o N, 125,2 ^o E,	
		USCGS: 20,2 ^o S, 178,4 ^o W,				H = 16 ^h 12 ^m 41,5 ^m , h =	
		H = 14 ^h 14 ^m 41,0 ^m , h =				= 27 km; mb = 5,8 (USCGS),	
		= 553 km; mb = 4,3 (USCGS)				MLH = 6,2 (Kraków)	
	NIE	$\Delta = 147,3^{\circ}$			KRA	$\Delta = 80,8^{\circ}$	
		eIPKP ₁	14 33 22 D		(SKM)	eIP	16 24 54 C
		eIPKP ₂	32			ePoP	25 02
9.VII					(GW)	eS	35 02
	NIE					iSKS	12
		iP	16 24 29,2 C			eISoS	19
9.VII		Traces				eIPS	54
	(GW)	eIP	17 08 44 C			eL	57,3
		ei	51			Lm	18 04 18
10.VII		Région des Iles Fidji,				E: 13 ^m ; 4,1 μ	
		USCGS: 17,4 ^o S, 178,7 ^o W,				Lm	08 00
		H = 01 ^h 22 ^m 02,8 ^m , h =				N: 13 ^m ; 6,3 μ	
		= 530 km; mb = 4,0 (USCGS)			NIE	$\Delta = 80,8^{\circ}$	
	KRA	$\Delta = 144,0^{\circ}$. Traces				iP	16 24 56 C
	(SKM)	eIPKP ₁	01 40 38 D			iPoP	25 06
		iPKP ₁	01 40 39 D			ei	31
		eIPKP ₂	44			eIPP	28 07
	RAC	$\Delta = 81,7^{\circ}$					
	(SK)	eP	16 25 01				
		ePoP	12				
		eS	35 17				

Date	Station	Phase	G.M.T. h m s	Date	Station	Phase	G.M.T. h m s
10.VII		Sud-Ouest des Iles Riou-Kiou, USCGS: 24,8°N, 125,3°E, H = 22 ^h 04 ^m 24,5 ^s , h = 56 km; mb = 5,2 (USCGS)		12.VII	KRA	eSS eL	00 12 12 14,8
	KRA	$\Delta = 80,4^\circ$		12.VII		Mer Mediterranée, à l'W de la Crête, BCIS: 35,5°N, 22,5°E, H = 02 ^h 56 ^m 21 ^s ; ML = 5 (Strasbourg), 4,8 (Moxa), MLH = 4,6 (Kraków)	
	(SKM)	eP 22 16 27 1PoP 33			NIE	$\Delta = 14,0^\circ$ eP 02 59 43 eiPP 52 1PPP 03 00 03 1PPPP 07	
	NIE	$\Delta = 80,4^\circ$ 1P 22 16 33 C ePoP 38 e1pP 46			KRA	$\Delta = 14,7^\circ$	
11.VII		Au Sud de Hondo, Japon, USCGS: 32,8°N, 142,0°E, H = 05 ^h 34 ^m 01,9 ^s , h = 33 km; mb = 4,0 (USCGS)			(SKM)	e1P 02 59 52 D	
	NIE	$\Delta = 82,7^\circ$ e1P 05 46 28			(GW)	ePP 03 00 02 eS 02 32 eSS 54 eL 03,8 Im 05 10 NE: 8 ^s ; 1 μ , 6 μ	
11.VII		Mer de Norvège, USCGS: 67,3°N, 10,1°E, H = 21 ^h 37 ^m 48,3 ^s , h = 41 km; mb = 4,1 (USCGS)			RAC	$\Delta = 15,0^\circ$	
	NIE	$\Delta = 18,8^\circ$ eP 21 42 07			(SK)	ePP 03 00 06	
11.VII		Iles Tonga, USCGS: 19,3°S, 173,4°W, H = 2 ^h 45 ^m 52,0 ^s , h = 8 km; mb = 5,3 (USCGS)		12.VII		Région des Iles Loyauté, USCGS: 21,6°S, 170,5°E, H = 17 ^h 37 ^m 26,3 ^s , h = 116 km; mb = 5,2 (USCGS)	
	KRA	$\Delta = 147,5^\circ$			NIE	$\Delta = 143,5^\circ$ e1PKP 17 56 48 epPKP 57 26	
	(GW)	ePKP ₁ 23 05 32 ePKP ₂ 42 ePKS 09 08			KRA	$\Delta = 143,2^\circ$	
	NIE	$\Delta = 148,0^\circ$ e1PKP ₂ 23 05 40 1 06 07			(SKM)	ePKP 17 56 51 C	
	RAC	$\Delta = 147,3^\circ$		12.VII		Nord-Ouest du Caucase, BCIS: 44,7°N, 37,3°E, H = 18 ^h 53 ^m 05 ^s ; ML = 5,2; 5;1 (Moxa), 5 (Pruhonice, Strasbourg), MLH = 5,5 (Kraków)	
	(SK)	ePKP 23 05 41			NIE	$\Delta = 12,4^\circ$ 1P 18 56 06 D 1PP 17 1PPP 24 1S 58 26	
12.VII		Turquie, BCIS: 39 $\frac{1}{2}$ °N, 41 $\frac{1}{2}$ °E, H = 00 ^h 04 ^m 09 ^s			KRA	$\Delta = 12,8^\circ$	
	NIE	$\Delta = 18,0^\circ$ e1P 00 08 22 e1PPP 44			(Ch)	1P 18 56 10 D e1 14	
	KRA	$\Delta = 18,5^\circ$					
	(GW)	eP 00 08 26 ePP 42 eS 11 56					

Date	Station	Phase	G.M.T. h m s	Date	Station	Phase	G.M.T. h m s
12.VII	KRA	e1PP	18 56 21	13.VII		N Célèbes, USCGS: 0,1°S, 122,9°E, H = 14 ^h 40 ^m 27,4 ^s , h = 135 km; mb = 5,4 (USCGS)	
(suite)		ePPP	30		NIE	$\Delta = 98,2^\circ$. Traces eP 14 54 13	
		e1PPPP	36			Région de Hondo, Japon, USCGS: 35,4°N, 140,2°E, H = 06 ^h 18 ^m 45,1 ^s , h = 53 km; mb = 5,0 (USCGS)	
		eS	58 39		NIE	$\Delta = 79,8^\circ$ e1P 06 30 51 C e1pP 31 08	
		eSS	48			Iles Kouriles, USCGS: 45,8°N, 151,8°E, H = 09 ^h 57 ^m 59,1 ^s , h = 24 km; mb = 4,5 (USCGS)	
		eSSS	59 01		NIE	$\Delta = 75,5^\circ$ e1P 10 09 48 D epP 54 ePoP 10 05	
		e1L	56			Golfe de l'Alaska, USCGS: 56,1°N, 150,0°W, H = 12 ^h 18 ^m 16,3 ^s , h = 33 km; mb = 5,0 (USCGS)	
	(GW)	Im	19 00 10		NIE	$\Delta = 74,0^\circ$ e1P 12 29 53 epP 30 03	
						Proche	
		E: 3 ^s ; 3,1 μ			NIE	e(Pg) _Z 13 04 02 e _Z 24 e ¹ NEZ 43	
		N: 2 ^s ; 4,9 μ			KRA	e(Pg) _Z 13 04 11,7 e ¹ NEZ 23,7 e _Z 25,7 e ¹ Z 31,2	
	RAC	$\Delta = 14,0^\circ$			(Ch)		
	(M)	eP 18 56 24 Im 19 10,9 NEZ: 3 ^s ; 3 ^s ; 1,6 ^s ; 55 μ , 33 μ , 11 μ				Mexique, USCGS: 15,1°N, 93,7°W, H = 15 ^h 05 ^m 35 ^s , h = 33 km; mb = 3,7 (USCGS)	
					KRA	$\Delta = 92,7^\circ$	
					(SKM)	eL 15 51,3	
12.VII		Iles Tonga, USCGS: 20,6°S, 174,4°W, H = 21 ^h 39 ^m 58,1 ^s , h = 33 km; mb = 4,6 (USCGS)		13.VII		Proche	
	KRA	$\Delta = 148,5^\circ$			NIE	eP _{NEZ} 11 01 18,6 e1(SG) _{NEZ} 40	
	(SKM)	e1PKP ₁ 21 59 42 C					
	NIE	$\Delta = 149,0^\circ$ e1PKP ₁ 21 59 47 ePKP ₂ 22 00 03					
13.VII		Nicaragua, USCGS: 12,6°N, 87,8°W, H = 08 ^h 20 ^m 58,8 ^s , h = 56 km; mb = 5,3 (USCGS), M = 5 (Palisades)					
	NIE	$\Delta = 149,5^\circ$ 1PKP ₁ 07 45 D e1 52					

Date	Station	Phase	G.M.T. h m s	Date	Station	Phase	G.M.T. h m s
14.VII	NIE			15.VII	Proche		
	eIP		18 01 22 C		NIE	Traces	
14.VII		Iles Proches, Aléoutiennes, USCGS: 53,1°N, 171,0°E, H = 18 ^h 07 ^m 04,6 ^s , h = 33 km; mb = 5,1 (USCGS)			NIE	e _z	12 58 15
	NIE	Δ = 74,1°			eIP		19 41 52
	eP		18 18 44 C	15.VII	Grèce, BCIS: 38,8°N, 21,5°E, H = 23 ^h 50 ^m 08 ^s		
	ePoP		19 07		NIE	Δ = 10,5°. Traces	
14.VII		Iles Proches, Aléoutiennes, USCGS: 53,1°N, 170,9°E, H = 18 ^h 08 ^m 46 ^s , h = 33 km; mb = 4,9 (USCGS)			eP		23 52 45
	NIE	Δ = 74,1°			eIPPP	(56)	
	eP		18 20 28		eI		53 13
	eI		33	KRA	Δ = 11,2°		
	epP		36	(SKM)	ePP		23 53 11
	ePoP		42	(GW)	eL		56,9
15.VII		Crête médiane de l'Atlantique Nord, USCGS: 35,4°N, 36,4°W, H = 02 ^h 26 ^m 15,2 ^s , h = 33 km; mb = 4,4 (USCGS)		16.VII	Région frontière, URSS-Chine, USCGS: 40,9°N, 74,1°E, H = 19 ^h 43 ^m 28,7 ^s , h = 40 km; mb = 4,7 (USCGS)		
	NIE	Δ = 42,6°			NIE	Δ = 37,9°. Traces	
	eP		02 34 14		eP		19 50 47
15.VII		Antilles, USCGS: 16,9°N, 61,5°W, H = 07 ^h 59 ^m 58,8 ^s , h = 66 km; mb = 5,3 (USCGS)			KRA	Δ = 38,0°	
	NIE	Δ = 71,7°. Traces		(GW)	eL		20 04,0
	eP		08 11 20	16.VII	Proche		
	eI(pP)		29		KRA	Traces	
	KRA	Δ = 71,7°		(SKM)	eNEZ		21 24 39,2
	(SKM)	eP	08 11 27		eNEZ		25 00,7
15.VII		Iles Fidji, USCGS: 20,2°S, 178,6°W, H = 08 ^h 37 ^m 35,5 ^s , h = 613 km; mb = 4,2 (USCGS)		17.VII	Iles Loyauté, USCGS: 21,7°S, 169,8°E, H = 02 ^h 24 ^m 04,2 ^s , h = 43 km; mb = 4,9 (USCGS)		
	NIE	Δ = 147,0°. Traces			NIE	Δ = 142,5°	
	ePKP ₁		08 56 12		ePKP		02 43 32
	ePKP ₂		16		eI		39
15.VII				17.VII	Proche		
	NIE	eIP	09 38 39		KRA		
				(SKM)	e _z		05 08 26
					e _z		38
				17.VII	Péninsule de l'Alaska, USCGS: 62,0°N, 151,9°W, H = 08 ^h 46 ^m 27,7 ^s , h = 119 km; mb = 4,5 (USCGS)		

Date	Station	Phase	G.M.T. h m s	Date	Station	Phase	G.M.T. h m s
17.VII (suite)	NIE	Δ = 68,0°		18.VII		= 5,0 (USCGS)	
	eP		08 57 21		NIE	Δ = 47,4°	
	ePoP		49		eP		10 07 42
17.VII					KRA	Δ = 48,2°. Traces	
	NIE			(SKM)	eP		10 07 48
	eP		13 54 05		ePoP		09 14
17.VII		Iles Tonga, USCGS: 19,6°S, 175,7°W, H = 16 ^h 04 ^m 37,0 ^s , h = 215 km; mb = 4,1 (USCGS)		18.VII	Proche		
	NIE	Δ = 147,5°. Traces			KRA		
	ePKP		16 23(57)	(Ch)	eNEZ		15 37 58
18.VII		Au Sud des Iles Fidji, USCGS: 23,2°S, 176,7°W, H = 00 ^h 47 ^m 35,8 ^s , h = 133 km; mb = 4,7 (USCGS), M = 6-6½ (Berkeley)			1(SG)NEZ		38 08
	NIE	Δ = 150,5°		19.VII	Proche		
	ePKP ₁		01 07 13		NIE	Traces	
	epPKP ₂		45		eNEZ		00 16 30,5
18.VII		Crête indo-arabie, USCGS: 8,3°N, 58,6°E, H = 01 ^h 55 ^m 01,6 ^s , h = 33 km; mb = 4,8 (USCGS)		19.VII	Iles du Commandeur, USCGS: 56,3°N, 164,9°E, H = 01 ^h 40 ^m 55,2 ^s , h = 22 km; mb = 5,3 (USCGS), M = 6-6½ (Pasadena), MLH = 6,4 (Kraków)		
	NIE	Δ = 52,2°. Traces			KRA	Δ = 69,2°	
	eP		02 04 16	(SKM)	eP		01 52 06 D
	KRA	Δ = 52,6°		(GW)	IPoP		34
	(GW)	eP	02 04 21		ePPP		56 20
	epP		31		ePoS		36
	ePP		06 16		eS		02 01 14
	ePPP		07 22		ePS		45
18.VII					ePPS		54
	NIE				eSKKS		02 03
	eP		03 01 07		eL		09,1
18.VII		Région de Hondo, Japon, USCGS: 38,4°N, 141,6°E, H = 04 ^h 39 ^m 23,8 ^s , h = 70 km; mb = 4,8 (USCGS)			Lm		25 30
	NIE	Δ = 78,0°			E: 14 ^s ; 11,9μ		
	eIP		04 51 18		Lm		35
	ePoP		34		N: 14 ^s ; 12,4μ		
	epP		48		NIE	Δ = 69,6°	
18.VII		Mer d'Arabie, USCGS: 13,0°N, 57,5°E, H = 09 ^h 59 ^m 09,8 ^s , h = 33 km; mb =			eIP		01 52 10 D
					i		14
					eIPoP		26
					eI		53 35
					eIS		02 01 29
					RAC	Δ = 70,0°	
				(SK)	eP		01 52 13
					ePoP		27
					ePP		54 41
					eS		02 01 27
				19.VII	Iles Andreanov, Aléoutiennes, USCGS: 51,7°N,		

Date	Station	Phase	G.M.T. h m s	Date	Station	Phase	G.M.T. h m s
19.VII (suite)		173,3°W, H = 19 ^h 20 ^m 33,5 ^s , h = 47 km; mb = 5,4 (USCGS), M = 5½ (Palisades), MLH = 5,6 (Kraków)		21.VII	Kazakstan, UBSS, BCIS: 50,0°N, 78,0°E, H = = 03 ^h 58 ^m 00 ^s ; M = 5,8 (Uppsala), mFV = 5,7 (Niedzica)		
	KRA (SKM)	Δ = 77,4°			KRA	Δ = 36,0°	
		eP	19 32 28 D		(SKM)	1P	04 05 07 C
		ePoP	41			eS	10 42
		eS	42 18		NIE	Δ = 36,2°	
		eSKS	38			e1P	04 05 08 C
		ePFS	43 16			Z: 0,8 ^s ; 0,091 ^μ	
		eL	20 05,0			e1PP	06 32
		Lm	12 27			e1	36
		N: 17 ^s ; 1,9 ^μ		21.VII	Local		
		Lm	32		NIE	eP _{NEZ}	08 31 44,4
		E: 16 ^s ; 1,2 ^μ				e1 _{NEZ}	32 06
19.VII	NIE	Δ = 77,6°		21.VII	Iles aux Renards, Aléoutiennes, USCGS: 52,1°N, 170,0°W, H = 09 ^h 02 ^m 28,1 ^s , h = 35 km; mb = 4,6 (USCGS)		
		e1P	19 32 31		NIE	Δ = 77,6°	
		e1PoP	38			eP	09 14 27
		1	33 15	21.VII	Proche		
20.VII		Grèce, BCIS: 38,7°N, 21,4°E, H = 10 ^h 16 ^m 08 ^s			KRA		
	NIE	Δ = 10,6°			(GW)	1(Sg) _{NE}	11 17 49,0
		eP	10 18(37)	21.VII	Région des Iles Fidji, USCGS: 17,8°S, 178,6°W, H = 18 ^h 30 ^m 15,3 ^s , h = = 592 km; mb = 5,7 (USCGS), M = 6 (Pasadena)		
		e1	42		KRA	Δ = 144,5°	
		e1	19 11		(SKM)	e1PKP ₁	18 48 47 C
	KRA	Δ = 11,4°				e(PKP ₂)	49 08
	(GW)	eP	10 18 47			e1SKP	52 01
		eS	21 04			ePKS	47
		eSS	19		NIE	Δ = 145,0°	
		eL	23,7			e1PKP ₁	18 48 47
20.VII		Océan Pacifique du Sud, USCGS: 13,3°S, 111,5°W, H = 13 ^h 22 ^m 53,8 ^s , h = = 32 km; mb = 4,8 (USCGS)				e1PKP ₂	54
	KRA	Δ = 126,1°				e1	49 15
	(GW)	e	13 40 05			1	51 33
		ePKP	41 54		RAC	Δ = 145,0°	
21.VII		Ile Macquarie, USCGS: 52,7°S, 160,5°E, H = 03 ^h 33 ^m 09,1 ^s , h = 33 km; mb = = 5,5 (USCGS)			(SK)	ePKP ₁	18 48 51
	KRA	Δ = 155,5°				e(PKP ₂)	49 12
	(SKM)	ePKP ₁	03 53 10	28.VII	Sinkiang, Chine, USCGS: 42,9°N, 84,5°E, H = 03 ^h		
		e1	25				
	NIE	Δ = 155,5°					
		ePKP ₁	03 53 12				
		e1	22				

Date	Station	Phase	G.M.T. h m s	Date	Station	Phase	G.M.T. h m s
22.VII (suite)		40 ^m 00,1 ^s , h = 33 km; mb = = 5,0 (USCGS)		22.VII	KRA		
	KRA	Δ = 43,5°			(Ch)	eP	10 29 17 C
	(Ch)	e1P	03 48 04 C		(GW)	ePoP	30
	(GW)	e1	08			ePP	32 06
		epP	16			eS	39 06
		ePP	49 52			esS	22
		ePoP	59			eSoS	32
		ePPP	50 28			ePS	49
		eS	54 35			Lm	11 00,4
		eSS	57 52			NE: 16 ^s ; 14 ^s ; 4,0 ^μ , 3,8 ^μ	
		eSoS	58 04		RAC	Δ = 77,7°	
		eL	04 03,8		(SK)	eP	10 29 19
	NIE	Δ = 43,2°			NIE	Δ = 77,7°	
		1P	03 48 04 C			1P	10 29 20 C
		1	08			1PoP	27
		e1	42			e1pP	36
		e	51 25	23.VII	Grande-Bretagne, BCIS: 50½°N, 5½°W, H = 01 ^h 50 ^m 00 ^s		
22.VII		Local			KRA	Δ = 16,2°	
	NIE	eP _{NEZ} , e1P _{NEZ}	05 59 04,4		(SKM)	eL	01 58 47
		e1 _{NEZ}	30,0	23.VII	Iles Andreanov, USCGS: 51,6°N, 173,6°W, H = 03 ^h 37 ^m 55,7 ^s , h = 43 km; mb = = 4,7 (USCGS)		
		P	06 01 00		KRA	Δ = 77,2°	
22.VII		Proche			(SKM)	eP	03 49 52
	KRA					ePoP	50 05
	(SKM)	1P _{NEZ}	05 59 35		NIE	Δ = 77,7°	
		1(Sg) _{NEZ}	54			eP	03 49 55
22.VII		Iles Nouvelle Hébrides, USCGS: 16,0°S, 168,0°E, H = 08 ^h 25 ^m 55,1 ^s , h = = 190 km; mb = 5,1 (USCGS)		23.VII	Grèce, USCGS: 38,9°N, 21,8°E, H = 05 ^h 28 ^m 32,3 ^s , h = 20 km; mb = 4,1 (USCGS)		
	NIE	Δ = 137,6°			NIE	Δ = 10,5°. Traces	
		ePKP	08 44 47			eP	05 31 05,4
		e1	45 59			ePP	14,4
		e1PP	47 44		KRA	Δ = 10,2°. Traces	
	KRA	Δ = 137,2°			(SKM)	ePPP	05 31 19
	(SKM)	ePKP	08 44 57	23.VII	Iles Andreanov, USCGS: 51,7°N, 173,4°W, H = 14 ^h 31 ^m 51,4 ^s , h = 55 km; mb = = 5,3 (USCGS), MLH = 5,8 (Kraków)		
		ePP	47 46		KRA	Δ = 77,2°. Traces	
		ePKS	48 33				
22.VII		Iles Andreanov, Aléoutiennes, USCGS: 51,7°N, 173,5°W, H = 10 ^h 17 ^m 23,0 ^s , h = 55 km; mb = 5,4 (USCGS), M = 5½ (Palisades), MLH = 6,0 (Kraków)					
	KRA	Δ = 77,2°					

Date	Station	Phase	G.M.T. h m s	Date	Station	Phase	G.M.T. h m s
30.VII	KRA (GW)	$\Delta = 7,1^\circ$ ePn	05 21 17	31.VII	NIE	$\Delta = 19,0^\circ$. Traces eP	03 32 42
	(SKM)	eSn	22 32			ePP	53
	(GW)	eSS	47		KRA	$\Delta = 19,7^\circ$	
	(SKM)	eS*	58		(GW)	eP	03 32 42
		eSg	23 18	31.VII		Uganda, USCGS: $0,7^\circ N$, $30,1^\circ E$, $H = 15^h 17^m 48,8^s$, $h = 33$ km; $mb = 4,8$ (USCGS)	
	(GW)	eIL	23,5		NIE	$\Delta = 49,5^\circ$. Traces eP	15 26 07
31.VII		Est du Caucase, USCGS: $42,9^\circ N$, $46,6^\circ E$, $H = 03^h$ $28^m 17,2^s$, $h = 58$ km; $mb =$ $= 4,7$ (USCGS)					
1966	A O Û T						1966
1.VIII		Pakistan, BCIS: $30,0^\circ N$, $68,5^\circ E$, $H = 19^h 09^m 57^s$; $mb = 5,4$ (USCGS), $ML =$ $= 6-6\frac{1}{4}$ (Strasbourg), $M =$ (Moxa, Pruhonice), $M =$ $= 5,6$ (Moxa)		1.VIII		Pakistan, BCIS: $30,0^\circ N$, $68,5^\circ E$, $H = 20^h 30^m 57^s$; $mb = 5,6$ (USCGS), $M =$ $= 6-6\frac{1}{2}$ (Quetta), $ML =$ $= 6-6\frac{1}{4}$ (Strasbourg)	
	NIE	$\Delta = 40,7^\circ$			NIE	$\Delta = 40,7^\circ$	
		iP	19 17 38 C			iP	20 38 40 C
		i	50			ei	48
		eI	18 28			eI	39 02
		eL	30			eS	44 51
	KRA	$\Delta = 41,2^\circ$			KRA	$\Delta = 41,2^\circ$	
	(SKM)	iP	19 17 42 C		(SKM)	iP	20 38 43 C
		eIPP	19 16		(GW)	eIPP	40 27
		eIPoP	41			ePPP	51
		ePoS	23 36			eS	45 03
	(GW)	eS	59			eSSS	48 43
		eSS	27 17	1.VIII		Iles Tonga, USCGS: $15,2^\circ S$, $173,0^\circ W$, $H = 20^h 24^m 22^s$; $h = 33$ km; $mb = 4,3$ (USCGS)	
		eL	35,5		KRA	$\Delta = 143,5^\circ$	
		Lm	39 45		(SKM)	1PKP ₁	20 43 50 C
		NE: 15^μ ; 10^μ ; $8,7^\mu$, $3,1^\mu$			NIE	$\Delta = 144,0^\circ$	
	RAC	$\Delta = 42,2^\circ$				1PKP ₁	20 43 52 C
	(M)	eP	19 17 54			ePKP ₂	54
1.VIII						ei	44 09
	NIE			1.VIII			
		eP	19 28 22 D		NIE		
1.VIII		Iles Tonga, USCGS: $19,4^\circ S$, $174,4^\circ W$, $H = 19^h 45^m 17,6^s$, $h = 33$ km; $mb = 4,6$ (USCGS)				eP	20 57 06,0
						e	13,5
	NIE	$\Delta = 147,5^\circ$		1.VIII		Ouest du Pakistan, BCIS: $30,0^\circ N$, $68,5^\circ E$, $H = 21^h$ $03^m 00^s$, $h = 33$ km; $M = 6\frac{1}{2}$	
		ePKP	20 05 02				

Date	Station	Phase	G.M.T. h m s	Date	Station	Phase	G.M.T. h m s
1.VIII (suite)		(Pasadena), $MLH = 6,8$ (Kraków, Niedzica)		2.VIII		$18^m 57,6^s$, $h = 21$ km; $mb =$ $= 5,0$ (USCGS)	
	NIE	$\Delta = 40,7^\circ$			NIE	$\Delta = 41,2^\circ$	
		iP	21 10 42 C			eIP	09 26 45
		ei	58			ei	53
		ePoS	16 42	2.VIII		Hondo, Japon, USCGS: $36,7^\circ N$, $137,9^\circ E$, $H = 18^h$ $48^m 35,2^s$, $h = 7$ km; $mb =$ $= 4,8$ (USCGS), $MLH = 5,6$ (Kraków)	
		eIS	17 02				
		Lm	34,5				
		NEZ: 11^μ ; 10^μ ; 13^μ ; 65^μ , 20^μ , 67^μ			NIE	$\Delta = 77,5^\circ$	
	KRA	$\Delta = 41,1^\circ$				eP	19 00 36
	(GW)	eIP	21 10 45			ePoP	46
	(SKM)	eIPP	12 24		KRA	$\Delta = 77,3^\circ$	
	(GW)	eIPoP	43		(GW)	eL	19 32,6
		eIS	17 05			Lm	33 21
		Lm	31 55				
		E: 11^μ ; 12^μ				Lm	$N: 14^\mu$; $1,7^\mu$
		N: 14^μ ; 81^μ					26
	RAC	$\Delta = 42,2^\circ$				E: 14^μ ; $1,2^\mu$	
	(SK)	eP	21 10 56	3.VIII		Région des Iles Kouriles, USCGS: $44,9^\circ N$, $150,2^\circ E$, $H = 04^h 25^m 44,2^s$, $h =$ $= 33$ km; $mb = 4,3$ (USCGS)	
		ePoS	16 38				
1.VIII		Ouest du Pakistan, USCGS: $29,7^\circ N$, $69,2^\circ E$, $H = 21^h$ $35^m 40,5^s$, $h = 33$ km; $mb =$ $= 5,0$ (USCGS)			NIE	$\Delta = 75,6^\circ$	
						eP	04 37 32
	NIE	$\Delta = 41,5^\circ$				eIPoP	46
		eIP	21 43 27	3.VIII		Iles Riou-Kiou, USCGS: $26,0^\circ N$, $129,5^\circ E$, $H = 11^h$ $00^m 19,9^s$, $h = 33$ km; $mb =$ $= 4,9$ (USCGS)	
		ei	40				
1.VIII		Réplique du séisme à 21^h 03^m , Pakistan, BCIS: $30,0^\circ N$, $68,5^\circ E$, $H = 22^h$ $30^m 58^s$			NIE	$\Delta = 81,7^\circ$. Traces	
						eP	11 12 36
	NIE	$\Delta = 40,7^\circ$		3.VIII		Traces	
		eIP	22 38 39 C			e	16 19 02,6
		ei	50	3.VIII		Région frontière Afgha- nistan-URSS; USCGS: $37,2^\circ N$, $71,3^\circ E$, $H = 22^h$ $13^m 25,8^s$, $h = 88$ km; $mb =$ $= 4,7$ (USCGS)	
	KRA	$\Delta = 41,1^\circ$					
	(SKM)	eP	22 38 42		NIE	$\Delta = 38,2^\circ$	
2.VIII		Ouest du Pakistan, USCGS: $30,1^\circ N$, $68,7^\circ E$, $H = 05^h 41^m$ $38,0^s$, $h = 33$ km; $mb = 5,0$ (USCGS)				eIP	22 20 41
				4.VIII		Ouest du Pakistan, USCGS: $29,9^\circ N$, $68,6^\circ E$, $H = 22^h$ $29^m 25,2^s$, $h = 33$ km; $mb =$ $= 4,9$ (USCGS)	
	NIE	$\Delta = 40,9^\circ$					
		eIP	05 49 20				
		ei	28				
2.VIII		Ouest du Pakistan, USCGS: $29,9^\circ N$, $69,2^\circ E$, $H = 09^h$					

Date	Station	Phase	G.M.T. h m s	Date	Station	Phase	G.M.T. h m s
4.VIII (suite)	NIE	$\Delta = 41,1^\circ$. Traces eP	22 37 09	5.VIII	Yougoslavie, USCGS: 42,0°N, 18,7°E, H = 17 ^h 47 ^m 42,0 ^s , h = 37 km; mb = 5,0 (USCGS)		
5.VIII		Inde-Chine, USCGS: 32,7°N, 79,5°E, H = 01 ^h 03 ^m 02,4 ^s , h = 36 km; mb = 5,2 (USCGS)		NIE	$\Delta = 7,6^\circ$ eIPn 17 49 31 eIPP 38 eI 50 04		
	NIE	$\Delta = 46,3^\circ$ eP 01 11 28 I 30 epP 37 I 12 04		KRA (SKM)	$\Delta = 8,1^\circ$ ePn 17 49 39 C		
	KRA (SKM)	$\Delta = 46,5^\circ$ eP 01 11 29 I 32 ePP 13 16 (GW) eS 18 18 esS 33		(GW)	ePP 45 ePPP 53 eP* 50 00 ePg 18 eSn 51 13 eSS 27 eSSS 31 eS* 44 Lm 53 05		
5.VIII		Kazakistan, URSS; USCGS: 49,9°N, 78,0°E, H = 03 ^h 57 ^m 57,8 ^s , h = 0; mb = 5,5 (USCGS)			NE: 9 ^s ; 1,5 μ , 1 μ		
	KRA (SKM)	$\Delta = 36,6^\circ$. Traces eIP 04 05 07 C eIPP 06 28		RAC (SK)	$\Delta = 8,2^\circ$ ePn 17 49 49 eSn 51 22		
	NIE	$\Delta = 36,2^\circ$ IP 04 05 08 C I 12 eI 06 18		6.VIII	Yougoslavie, USCGS: 42,2°N, 18,8°E, H = 02 ^h 31 ^m 07,1 ^s , h = 33 km; mb = 5,2 (USCGS)		
5.VII		Hokkaido, Japon, USCGS: 44,6°N, 141,1°E, H = 04 ^h 26 ^m 02,8 ^s , h = 238 km; mb = = 4,3 (USCGS)		NIE	$\Delta = 7,4^\circ$ eIPn 02 32 54 I 58 IPF 33 07 I 34 10 ISn 20		
	NIE	$\Delta = 72,2^\circ$ eIP 04 37 09 epP 38 04		KRA (GW)	$\Delta = 8,0^\circ$ eIPn 02 33 03 IPF 13 IPFP 19 IP* 23 IPg 43 ISn 34 37 ISS 45 eS* 35 05 eSg 30		
5.VIII		Iles Salomon, USCGS: 11,1°S, 162,6°E, H = 04 ^h 33 ^m 02,6 ^s , h = 52 km; mb = = 5,4 (USCGS)		(SKM)	Lm 36 39		
	KRA (GW)	$\Delta = 130,3^\circ$ ePKP 04 52 09 ePP 54 24 ePKS 55 28			NE: 7 ^s ; 6,1 μ , 2,1 μ		
	NIE	$\Delta = 130,6^\circ$ ePKP 04 52 10 eIPP 54 24		RAC (SK)	$\Delta = 8,0^\circ$ ePn 02 33 06 ePP 11 ePPP 23 Lm 35,9		
					NE: 3 ^s ; 2 μ , 4 μ		

Date	Station	Phase	G.M.T. h m s	Date	Station	Phase	G.M.T. h m s
6.VIII	NIE	$\Delta = 11,3^\circ$. Traces ePP 18 35 24 ePPP 36		6.VIII	NIE	$\Delta = 7,4^\circ$ IPn 05 53 46 D I 53 eIPP 54 00 IL 55 08	
6.VIII		Yougoslavie, USCGS: 42,2°N, 18,8°E, H = 05 ^h 51 ^m 59,0 ^s , h = 33 km; mb = = 4,9 (USCGS), MLH = 4,4 (Iraków)		KRA (GW)	$\Delta = 8,0^\circ$ ePn 05 53 55 ePP 54 04 IPFP 11 ePg 34 eSS 55 39 eSSS 53 IS* 59 eSg 56 21 Lm 57 31		
	NIE	$\Delta = 7,4^\circ$ IPn 05 53 46 D I 53 eIPP 54 00 IL 55 08			NE: 8 ^s ; 3,0 μ , 1,1 μ		
	RAC (SK)	$\Delta = 8,0^\circ$ ePP 05 54 07 eSn 55 27		6.VIII	Iles Kouriles, USCGS: 45,4°N, 150,1°E, H = 08 ^h 04 ^m 10,1 ^s , h = 53 km; mb = = 4,6 (USCGS)		
6.VIII		Iles Kouriles, USCGS: 44,8°N, 150,2°E, H = 20 ^h 19 ^m 30,0 ^s , H = 39 km; mb = 4,9 (USCGS)		NIE	$\Delta = 75,2^\circ$ eP 08 15 52		
	KRA (SKM)	$\Delta = 75,6^\circ$ eIP 20 31 16 C		6.VIII	Hondo, Japon, USCGS: 31,6°N, 139,6°E, H = 08 ^h 21 ^m 26,5 ^s , h = 169 km; mb = = 4,7 (USCGS)		
	NIE	$\Delta = 75,6^\circ$ eIP 20 31 18 C epP 26		NIE	$\Delta = 82,6^\circ$ eP 08 33 24		
6.VIII		Iles aux Rats, Aléoutien- nes, USCGS: 52,0°N, 175,3°E, H = 21 ^h 04 ^m 33,1 ^s , h = 33 km; mb = 5,2 (USCGS)		6.VIII	Grèce, USCGS: 38,1°N, 22,1°E, H = 18 ^h 32 ^m 32,3 ^s , h = 36 km; mb = 4,4 (USCGS)		
	NIE	$\Delta = 75,7^\circ$. Traces eP 21 16 23		KRA (SKM)	$\Delta = 12,0^\circ$ eP 18 35 22 ePP 36 27		
7.VIII	NIE	eIP 01 55 35					
7.VIII		Iles Aléoutiennes, USCGS: 50,6°N, 171,2°W, H = 02 ^h 13 ^m 04,7 ^s , h = 33 km; mb = = 6,2 (USCGS), M = 6,7 (Pasadena), 7 (Berkeley),					

Date	Station	Phase	G.M.T. h m s	Date	Station	Phase	G.M.T. h m s
7.VIII (suite)		MLH = 6,9 (Racibórz), 6,7 (Kraków)		7.VIII	KRA (SKM)	$\Delta = 13,9^{\circ}$ eP ePP ePPP	 14 33 59 34 10 22
	KRA (SKM) (GW)	$\Delta = 78,6^{\circ}$ eIP ePoP ePP eS eIS eISKS eISoS eL Lm	02 25 08 D 16 28 02 35 04 11 19 27 53,8 58 43		NIE	$\Delta = 14,0^{\circ}$. Traces ePP	 14 34 22
	RAC (M)	$\Delta = 78,8^{\circ}$ eIP eISKS Lm	02 25 11 35 19 03 02,5	7.VIII		Iles Tonga, USCGS: 17,4 ^{OS} , 173,5 ^{OW} , H = 15 ^h 07 ^m 37 ^s , h = 33 km; mb = 4,4 (USCGS)	
	NIE	$\Delta = 78,8^{\circ}$ 1P 1PoP eIS	02 25 12 25 30 22		NIE	$\Delta = 146,5^{\circ}$ eFKP	15 27 18
7.VIII		Iles Salomon, USCGS: 10,7 ^{OS} , 161,2 ^{OE} , H = 03 ^h 07 ^m 43,0 ^s , h = 22 km; mb = 5,2 (USCGS)		7.VIII		Golfe de Californie, USCGS: 31,7 ^{ON} , 114,5 ^{OW} , H = 17 ^h 36 ^m 27,3 ^s , h = 33 km; M = 6 $\frac{1}{4}$ -6 $\frac{1}{2}$ (Pasadena), MLH = 6,8 (Kraków, Racibórz)	
	NIE	$\Delta = 129,6^{\circ}$. Traces eP	03 26 22		NIE	$\Delta = 89,5^{\circ}$. Traces eP	17 49 28
7.VIII		Tsinghai, Chine, USCGS: 42,3 ^{ON} , 85,1 ^{OE} , H = 10 ^h 28 ^m 28,3 ^s , h = 27 km; mb = 4,6 (USCGS)			KRA (SKM) (GW)	$\Delta = 88,6^{\circ}$. Traces eP ePP ePPP eS eL Lm	17 49 29 53 06 54 57 18 00 12 23,3 30,2
	NIE	$\Delta = 44,0^{\circ}$ eIP	10 36 39 C		RAC (M)	$\Delta = 88,0^{\circ}$ eL Lm	18 20 28,5
7.VIII		Péninsule de l'Alaska, USCGS: 59,6 ^{ON} , 144,6 ^{OW} , H = 14 ^h 11 ^m 54,9 ^s , h = 33 km; mb = 4,8 (USCGS), M = 4,4-4,8 (Berkeley)		7.VIII		Hokkaido, Japon, USCGS: 42,4 ^{ON} , 143,0 ^{OE} , H = 20 ^h 18 ^m 41,2 ^s , h = 62 km; mb = 5,4 (USCGS)	
	Kra (SKM)	$\Delta = 69,2^{\circ}$ eP	14 23 07		KRA (SKM)	$\Delta = 74,9^{\circ}$ 1P eIP	20 30 19 C 43
	NIE	$\Delta = 69,8^{\circ}$ eP	14 23 10		NIE	$\Delta = 74,7^{\circ}$ 1P 1	20 30 22 C 27
7.VIII		Mer Méditerranée, BCIS: 36,2 ^{ON} , 22,0 ^{OE} , H = 14 ^h 30 ^m 47 ^s ; mb = 4,4 (USCGS)		8.VIII		Hondo, Japon, USCGS: 36,6 ^{ON} , 138,1 ^{OE} , H = 00 ^h 37 ^m 16,6 ^s , h = 6 km; mb = 4,6 (USCGS)	
	KRA	$\Delta = 77,5^{\circ}$			KRA	$\Delta = 77,5^{\circ}$	

Date	Station	Phase	G.M.T. h m s	Date	Station	Phase	G.M.T. h m s
8.VIII (suite)	KRA (SKM) (GW)	eP eL Lm	00 49 18 01 21,4 22 15	9.VIII	NIE	$\Delta = 7,4^{\circ}$ eIPn eP* eSn eSg	 01 07 23 42 08 49 10 34
		N: 14 ^s ; 1,0 μ			KRA (GW)	$\Delta = 7,8^{\circ}$ ePn eP* eSn eSS eS* eSg	 01 07 31 48 09 02 16 33 59
		Lm	23		RAC (M)	$\Delta = 8,0^{\circ}$ eL	01 10 12
	NIE	$\Delta = 77,6^{\circ}$. Traces eP	00 49 19	9.VIII		Albanie, BCIS: 40,1 ^{ON} , 19,8 ^{OE} , H = 03 ^h 34 ^m 14 ^s , h = 45 km; ML = 4,3 (Moxa)	
8.VIII		NIE			NIE	$\Delta = 9,3^{\circ}$ 1P eI eS	03 36 30,0 54 38 20
	NIE	eIP eI	02 05 52,5 07 21,5		KRA (GW)	$\Delta = 10,0^{\circ}$ eP ePP ePPP eS eS* eSg	03 36 37 43 51 38 25 39 10 41
	KRA (SKM)	e(P) eI	02 06 01 10		RAC (M)	$\Delta = 10,0^{\circ}$ e(S*)	03 39 19
8.VIII		Près de la côte du Mexique, USCGS: 19,3 ^{ON} , 108,2 ^{OW} , H = 08 ^h 02 ^m 45,8 ^s , h = 33 km; mb = 5,2 (USCGS), M = 5,5-5,9 (Berkeley)		9.VIII		Région des Iles Tonga, USCGS: 23,1 ^{OS} , 175,8 ^{OW} , H = 23 ^h 31 ^m 23 ^s , h = 33 km; mb = 4,6 (USCGS)	
	KRA (GW)	$\Delta = 96,7^{\circ}$ eSKKS eS eL Lm	08 27 20 41 09 00,5 03 08		NIE	$\Delta = 151,0^{\circ}$ ePKP ₁ ePKP ₂	23 51 16 22
		Lm	17	10.VIII		Local	
		N: 16 ^s ; 2,3 μ			NIE	Traces eNBZ	00 54 34,3
8.VIII		Grèce, USCGS: 40,8 ^{ON} , 21,4 ^{OE} , H = 11 ^h 43 ^m 38,2 ^s , h = 24 km; mb = 4,2 (USCGS)		10.VIII		Iles Tonga, USCGS: 20,1 ^{OS} , 175,4 ^{OW} , H = 05 ^h 01 ^m 09,3 ^s ; h = 95 km; M = 6 $\frac{1}{2}$ (Pasadena)	
	NIE	$\Delta = 8,6^{\circ}$. Traces eP ePPP	11 45 46 46 00		KRA (GW)	$\Delta = 147,5^{\circ}$ ePKP ₁	05 20 39
9.VIII		Iran, USCGS: 32,6 ^{ON} , 48,9 ^{OE} , H = 00 ^h 19 ^m 58,0 ^s , h = 39 km; mb = 4,2 (USCGS)					
	NIE	$\Delta = 27,0^{\circ}$. Traces eP	00 25 42				
	KRA (SKM)	$\Delta = 27,3^{\circ}$ eP ePP	00 25 45 26 26				
9.VIII		Yougoslavie, BCIS: 42,2 ^{ON} , 19,3 ^{OE} , H = 01 ^h 05 ^m 35 ^s ; ML = 3,9 (Moxa)					

Date	Station	Phase	G.M.T. h m s	Date	Station	Phase	G.M.T. h m s
10.VIII (suite)	KRA	1PKP ₂	05 20 45	10.VIII		35,3°N, h = 5 km; mb = 5,3 (USCGS), mPV = 6,0 (Niedzica)	
		1pPKP ₁	21 05		NIE	Δ = 36,4°	
		esPKP ₁	19			1P	22 12 44,3 C
	RAC	Δ = 148,0°				Z: 0,8 ^s ; 0,174 ^μ	
	(M)	ePKP ₁	05 20 43		KRA	Δ = 36,7°	
		ePKP ₂	47		(SKM)	e1P	22 12 45,3 C
		epPKP ₁	21 10		RAC	Δ = 37,6°	
	NIE	Δ = 148,0°			(SK)	eP	22 12 56
		1PKP ₁	05 20 43 D	11.VIII		Mer Ionienne, BCIS: 37,8°N, 21,2°E, H = 00 ^h 23 ^m 40 ^s	
		1PKP ₂	47		NIE	Δ = 11,5°	
		e1	23 21			eP	00 26 26
10.VIII		Région de la Nouvelle Bretagne, USCGS: 5,5°S, 151,8°E, H = 12 ^h 33 ^m 42,2 ^s , h = 37 km; mb = 5,2 (USCGS)				e	27 00
	NIE	Δ = 120,2°			KRA	Δ = 12,2°. Traces	
		ePKP	12 52 31		(SKM)	eP	00 26 38
		e1	39	11.VIII		Grèce, BCIS: 38 ^h 0 ^m N, 21 ^h 1 ^m 0 ^s E, H = 04 ^h 34 ^m 16 ^s	
	KRA	Δ = 120,0°. Traces			NIE	Δ = 10,6°	
	(GW)	ePKP	12 52 31			eP	04 36 48
		ePP	47			ePP	57
		eL	13 42,8			e1PPP	37 10
		Lm	45 13		KRA	Δ = 11,4°. Traces	
		N: 16 ^s ; 1,2 ^μ			(SKM)	eP	04 36 57
		Lm	56			ePPP	37 14
		N: 18 ^s ; 1,6 ^μ				eS	39 13
10.VIII		Pologne, région de Zakopane		11.VIII		Iles Tonga, USCGS: 19,3°S, 173,8°W, H = 05 ^h 12 ^m 42,5 ^s , h = 31 km; mb = 5,4 (USCGS)	
	NIE				KRA	Δ = 147,5°	
		eP _{NEZ}	13 54 39,7		(SKM)	ePKP	05 32 24 C
		e1 _{NEZ}	41,8		(GW)	ePKP ₂	29
		Lm	47			ePP	35 55
		NZ: 0,8 ^s ; 0,227 ^μ , 0,051 ^μ			NIE	Δ = 148,0°	
		Lm	48			ePKP ₁	05 32 25
		B: 0,8 ^s ; 0,057 ^μ				1	28
						1	38
10.VIII		Mer Méditerranée, BCIS: 35,9°N, 21,9°E, H = 15 ^h 22 ^m 35 ^s ; ML = 4,3 (Athènes)			RAC	Δ = 148,0°	
	NIE	Δ = 13,5°. Traces			(SK)	ePKP ₁	05 32 27
		eP	15 25 47	11.VIII			
		e1PP	26 03		NIE		
	KRA	Δ = 14,2°				e1P	10 57 53,0
	(SKM)	eP	15 25 55	11.VIII		Iles Tonga, USCGS: 23,5°S,	

Date	Station	Phase	G.M.T. h m s	Date	Station	Phase	G.M.T. h m s
11.VIII (suite)		175,9°W, H = 20 ^h 39 ^m 56,0 ^s , h = 33 km; mb = 5,2 (USCGS)		11.VIII		H = 23 ^h 33 ^m 48 ^s , h = 8 km; mb = 4,6 (USCGS)	
	KRA	Δ = 150,5°			NIE	Δ = 151,5°	
	(SKM)	ePKP ₁	20 59 46			ePKP ₁	23 53 44
		e(PKP ₂)	54			ePKP ₂	54 00
	RAC	Δ = 151,5°		12.VIII		Région des Iles Tonga, USCGS: 23,4°S, 175,8°W, H = 00 ^h 12 ^m 35,1 ^s , h = 11 km; mb = 4,9 (USCGS)	
	(SK)	ePKP ₁	20 59 48		KRA	Δ = 150,5°. Traces	
	NIE	Δ = 151,5°			(SKM)	ePKP ₁	00 32 28
		1PKP ₁	20 59 49 D		NIE	Δ = 151,5°	
		ePKP ₂	21 00 04			1PKP ₁	00 32 30 D
11.VIII		Iles Tonga, USCGS: 23,4°S, 175,7°W, H = 22 ^h 16 ^m 15,2 ^s , h = 33 km; mb = 4,8 (USCGS)				ePKP ₂	41
	NIE	Δ = 151,5°		12.VIII		Région des Iles Pidji, USCGS: 22,4°S, 176,2°W, H = 03 ^h 59 ^m 49,7 ^s , h = 126 km; mb = 5,4 (USCGS)	
		e1PKP ₁	22 36 08		NIE	Δ = 150,0	
		ePKP ₂	22			ePKP ₁	04 19 21
11.VIII						1	27
	NIE					Z: 1 ^s ; 0,044 ^μ	
		1P	23 32 30 D			1PKP ₂	33
11.VIII		Région des Iles Tonga, USCGS: 23,4°S, 175,9°W, H = 23 ^h 17 ^m 19 ^s , h = 33 km; mb = 4,7 (USCGS)				e1	20 03
	NIE	Δ = 151,5°			KRA	Δ = 149,5°	
		e1PKP ₁	23 37 10 D		(SKM)	1PKP ₁	04 19 25 C
		ePKP ₂	21			ePKP ₂	36
11.VIII		Région des Iles Tonga, USCGS: 23,4°S, 175,9°W, H = 23 ^h 25 ^m 37,9 ^s , h = 36 km; mb = 5,3 (USCGS)			RAC	Δ = 150,5°	
	NIE	Δ = 151,5°			(SK)	ePKP ₁	04 19 28
		ePKP ₁	23 45 24 C			ePKP ₂	41
		e1	29	12.VIII		Iles Tonga, USCGS: 23,7°S, 175,8°W, H = 14 ^h 37 ^m 48,4 ^s , h = 5 km; mb = 4,9 (USCGS)	
		1PKP ₂	39		KRA	Δ = 151,0°	
		1	46 07		(SKM)	ePKP ₁	14 57 44
		1	23		NIE	Δ = 151,5°	
	KRA	Δ = 150,5°				e1	50
	(GW)	ePKP ₁	23 45(27)			e1PKP ₂	57
		ePKS	48 55	12.VIII		Atlantique du Nord, USCGS: 53,7°N, 35,1°W, H = 15 ^h 36 ^m 16,5 ^s , h = 33 km; mb = 4,7 (USCGS), MLH = 4,8 (Kraków)	
	RAC	Δ = 151,5°			KRA	Δ = 33,2°. Traces	
	(SK)	ePKP ₁	23 45 30		(GW)	eL	15 55,5
11.VIII		Région des Iles Tonga, USCGS: 23,6°S, 175,6°W,					

Date	Station	Phase	G.M.T. h m s	Date	Station	Phase	G.M.T. h m s
12.VIII (suite)	KRA	Lm	15 57 33	13.VIII	NIE		
		N: 14 ^m ; 1 μ				eP _{NEZ}	13 00 14,4
		Lm	39			eIS _{EN}	22
		E: 14 ^m ; 1 μ				eL _{EZ}	25
12.VIII		Atlantique du Nord, USCGS: 53,9 ^m N, 35,3 ^m W, H = 16 ^h 06 ^m 27,6 ^m , h = 33 km; mb = = 4,6 (USCGS)		13.VIII	NIE		01 20
	KRA	$\Delta = 33,2^{\circ}$. Traces				eP	20 36 36
	(GW)	eS	16 18 31			ei	48
		esS	37	15.VIII			
		eL	25,6			Inde, USCGS: 28,7 ^m N, 78,9 ^m E, H = 02 ^h 15 ^m 34,4 ^m , h = 53 km; mb = 5,6 (USCGS), mPV = 6,1 (Niedzica)	
12.VIII		Près de la côte S de Hondo, Japon, USCGS: 34,0 ^m N, 137,4 ^m E, H = 19 ^h 22 ^m 25,5 ^m , h = 337 km; mb = 4,9 (USCGS)			NIE	$\Delta = 48,5^{\circ}$	
	NIE	$\Delta = 79,3^{\circ}$				1P	02 24 15 D
		1P	19 33 59 D			Z: 0,8 ^m ; 0,139 μ	
		1PoP	34 03			ei	22
		ei	15			epP	29
12.VIII		Sud de l'Alaska, USCGS: 52,6 ^m N, 161,6 ^m W, H = 20 ^h 17 ^m 00,5 ^m , h = 31 km; mb = = 5,6 (USCGS), mPV = 5,6 (Niedzica)				ei	25 11
	KRA	$\Delta = 77,2^{\circ}$				eiPoP	40
	(SKM)	1P	20 28 56 D		KRA	$\Delta = 48,7^{\circ}$	
		1PoP	29 06		(SKM)	e1P	02 24 17 D
		RAC	$\Delta = 77,2^{\circ}$		(GW)	epP	29
	(SK)	eP	20 28 56			ePoP	25 39
		ePoP	29 05			ePP	26 11
		NIE	$\Delta = 77,7^{\circ}$			ePFS	31 39
		e1P	20 29 00 D		RAC	$\Delta = 49,8^{\circ}$	
		Z: 1 ^m ; 0,047 μ			(SK)	eP	02 24 26
		ei	04	15.VIII			
		1PoP	09			Mindoro, Philippines, USCGS: 13,3 ^m N, 121,3 ^m E, H = 02 ^h 45 ^m 34,3 ^m , h = 24 km; mb = 5,4 (USCGS), MLH = 6,0 (Kraków)	
		ei	33		NIE	$\Delta = 86,7^{\circ}$	
13.VIII		Proche				e1P	02 58 19
	NIE	Traces				1PoP	26
		eZ	11 01 26			1	44
		eL _{EZ}	02 25			ePP	03 01 52
		F	03 30			ei	03 01 52
13.VIII		Proche			KRA	$\Delta = 86,8^{\circ}$	
	NIE	Traces			(GW)	e1P	02 58 21
		eZ	11 01 26			ePoP	24
		eL _{EZ}	02 25			eS	03 08 59
		F	03 30			eSeS	09 03
		N: 16 ^m ; 4,4 μ				eL	30,6
		E: 15 ^m ; 2,0 μ				Lm	37 43
						Lm	37 43

Date	Station	Phase	G.M.T. h m s	Date	Station	Phase	G.M.T. h m s
15.VIII (suite)	RAC (SK)	$\Delta = 87,8^{\circ}$ eP	02 58 24	16.VIII	NIE	$\Delta = 38,2^{\circ}$	
15.VIII		Océan Indien, USCGS: 3,8 ^m N, 64,0 ^m E, H = 10 ^h 20 ^m 42,3 ^m , h = 33 km; mb = 5,8 (USCGS)				1P	02 23 25 C
						ei	27
						epP	24 28
						eiPP	54
						eL	32
	NIE	$\Delta = 58,6^{\circ}$			KRA	$\Delta = 38,5^{\circ}$	
		eiP	10 30 38 D		(SKM)	1P	02 23 26 C
		ei	57			Pm	27
						Z: 1,4 ^m ; 0,88 μ	
	KRA	$\Delta = 59,2^{\circ}$			(GW)	epP	24 03
	(SKM)	eP	10 30 41 D			1PP	25 03
	(GW)	eS	38 48			1PPP	31
						eS	29 11
	RAC	$\Delta = 60,0^{\circ}$			RAC	$\Delta = 39,6^{\circ}$	
	(SK)	eP	10 30 48		(SK)	eP	02 23 36
		ePoP	31 27			ePP	25 05
						eSS	32 32
15.VIII		Sud de l'Alaska, USCGS: 60,3 ^m N, 146,0 ^m W, H = 13 ^h 36 ^m 24,7 ^m , h = 15 km; mb = = 5,3 (USCGS)		16.VIII		Région de l'île Jan Mayen, USCGS: 71,2 ^m N, 6,4 ^m W, H = = 02 ^h 47 ^m 45,1 ^m , h = 33 km; mb = 4,3 (USCGS)	
	RAC	$\Delta = 69,0^{\circ}$				NIE	$\Delta = 24,8^{\circ}$
	(SK)	eP	13 47 33			eP	02 53 10
						epP	17
	KRA	$\Delta = 68,8^{\circ}$		16.VIII		Côte de l'Albanie, pré- monitoire du 16.VIII à 03 ^h 53 ^m , BCIS: vers 40,0 ^m N, 20,0 ^m E, H = 03 ^h 28 ^m 40 ^m	
	(SKM)	e1P	13 47 34 D			NIE	$\Delta = 9,4^{\circ}$
		ePoS	52 05			eP	03 30 52
	(GW)	eS	56 41			ePP	31 04
		ePS	57 01			KRA	$\Delta = 10,1^{\circ}$. Traces
		eSeS	34		(SKM)	ePP	03 31 14
	NIE	$\Delta = 69,4^{\circ}$		16.VIII		Côte de l'Albanie, BCIS: 39,8 ^m N, 19,9 ^m E, H = 03 ^h 53 ^m 38 ^m ; mb = 4,9 (Athènes)	
		e1P	13 47 37			NIE	$\Delta = 9,5^{\circ}$
		ei	42			e1P	03 55 58 C
		ePoP	48 05			eiPP	56 09
						ePPP	17
15.VIII		Proche				KRA	$\Delta = 10,2^{\circ}$
	NIE				(GW)	e1P	03 56 06
		eP _{NEZ}	21 53 59			ePP	13
		eNE	54 05			ePPP	23
		eL _{NEZ}	30			eS	57 53
		Lm	40				
		NEZ: 0,8 ^m ; 0,8 ^m ; 1 ^m ; 0,041 μ , 0,022 μ , 0,019 μ					
		F	56 00				
16.VIII		Hindou-Kouch, USCGS: 36,5 ^m N, 70,8 ^m E, H = 02 ^h 16 ^m 19,8 ^m , h = 199 km; mb = = 5,5 (USCGS) mPV = 6,1 (Niedzica)					

Date	Station	Phase	G.M.T. h m s	Date	Station	Phase	G.M.T. h m s
16.VIII (suite)	KRA	eSg	03 59 08	17.VIII	Iles aux Rats, Aléoutiennes, USCGS: 52,2°N, 175,0°E, H = 20 ^h 58 ^m 36,6 ^s , h = 33 km; mb = 5,5 (USCGS)		
	Lm		04 00 51				
		N: 9 ^s ; 4 ^μ					
	Lm		58				
		E: 8 ^s ; 3,2 ^μ					
	RAC	Δ = 10,3°		KRA	Δ = 75,3°		
	(SK)	eP	03 56 07	(SKM)	eP	21 10 21 C	
16.VIII				(GW)	ePoP	30	
		Nevada, États-Unis, USCGS: 37,4°N, 114,2°W, H = 18 ^h 02 ^m 36,6 ^s , h = 33 km; mb = 5,6 (USCGS), M = 6 (Pasadena)		NIE	Δ = 75,6°		
	KRA	Δ = 83,5°. Traces			eP	21 10 25 C	
	(SKM)	e1P	18 15 09 C		i	27	
		eL	47,4		e1PoP	39	
16.VIII	NIE	Δ = 84,0°		17.VIII	Crête médiane de l'Atlantique, USCGS: 50,8°N, 30,1°W, H = 23 ^h 14 ^m 42,4 ^s		
		e1P	18 15 12 C				
		epP	21	NIE	Δ = 31,7°. Traces		
16.VIII					eP	23 21 06	
		Iles Laysan, USCGS: 21,4°S, 171,4°E, H = 19 ^h 45 ^m 38,0 ^s , h = 28 km; mb = 5,2 (USCGS), M = 5,6-6,0 (Berkeley)		18.VIII			
	RAC	Δ = 144,5°			NIE	Traces	
	(SK)	ePKP ₁	20 05 12		eP	00 17 42	
	KRA	Δ = 143,5°. Traces		18.VIII	Iles Samoa, USCGS: 15,8°S, 172,8°W, H = 02 ^h 29 ^m 44,3 ^s , h = 33 km; mb = 4,4 (USCGS)		
	(GW)	ePKP ₁	20 05 13				
		ePP	08 37	NIE	Δ = 145,0°. Traces		
		ePKS	52		ePKP ₁	02 49 19	
		eL	55,9	18.VIII	Iles aux Rats, Aléoutiennes, USCGS: 51,7°N, 178,0°E, H = 06 ^h 38 ^m 04,4 ^s , h = 36 km; mb = 5,2 (USCGS)		
		Lm	21 10 15				
		E: 21 ^s ; 3,3 ^μ		NIE	Δ = 77,0°		
		N: 20 ^s ; 1,3 ^μ			iP	06 49 59 D	
	NIE	Δ = 144,0°			epP	50 08	
		ePKP ₁	20 05 14	18.VIII			
		ePKP ₂	18	KRA	Traces		
16.VIII				(SKM)	e(P)	09 16 27	
		Région de l'île Jan Mayen, USCGS: 71,4°N, 2,9°W, H = 22 ^h 16 ^m 00,3 ^s , h = 33 km; mb = 4,2 (USCGS)		RAC	Traces		
				(SK)	NEZ	09 16-18	
	NIE	Δ = 24,1°. Traces		18.VIII	Guatemala, USCGS: 14,6°N, 91,7°W, H = 10 ^h 33 ^m 17,7 ^s , h = 85 km; mb = 5,6 (USCGS), M = 6,0 (Pasadena)		
		eP	22 23 21				
17.VIII				RAC	Δ = 91,0°		
				(SK)	eP	10 46 16	
	NIE	Traces		KRA	Δ = 92,0°. Traces		
		eP	15 00 15,5	(SKM)	e1P	10 46 20 C	
				(GW)	ePP	50 08	

Date	Station	Phase	G.M.T. h m s	Date	Station	Phase	G.M.T. h m s
18.VIII (suite)	KRA	eSKS	10 56 53	18.VIII	NIE	Δ = 14,0°. Traces	
		eS	57 21			eP	22 12 15
		esS	41		KRA	Δ = 14,6°. Traces	
	NIE	Δ = 92,6°		(SKM)	e1P	22 12 25 D	
		eP	10 46 22	19.VIII			
		epP	34			Golfe de l'Alaska, USCGS: 59,5°N, 144,8°W, H = 03 ^h 10 ^m 01,4 ^s , h = 14 km; mb = 4,7 (USCGS)	
		e1PP	50 04				
18.VIII				NIE	Δ = 70,2°		
		Mer des Moluques, USCGS: 0,1°S, 125,0°E, H = 14 ^h 33 ^m 58,3 ^s , h = 33 km; mb = 6,1 (USCGS)			eP	03 21 19	
	KRA	Δ = 99,5°		19.VIII			
	(SKM)	iP	14 47 40 C		NIE		
	(GW)	epP	54			iP	04 00 09 D
		iPP	51 52	19.VIII			
		eS	59 08			Italie, BCIS: 45,6°N, 11,4°E, H = 04 ^h 06 ^m 32 ^s	
		ePS	15 00 45				
	NIE	Δ = 99,6°		NIE	Δ = 7,2°. Traces		
		iP	14 47 40 C		eP*	04 08 41	
		e1pP	51		eS*	10 14	
		e1	51 34	KRA	Δ = 7,3°. Traces		
		iPP	53	(SKM)	ePg	04 08 55	
	RAC	Δ = 100,6°			eSn	09 40	
	(SK)	eP	14 47 45		eS*	10 08	
18.VIII					e1Sg	34	
		Célèbes, USCGS: 0,0°N, 124,9°E, H = 14 ^h 37 ^m 53,0 ^s , h = 33 km; mb = 6,2 (USCGS)		RAC	Δ = 6,5°		
				(SK)	eSg	04 10 07	
	KRA	Δ = 99,5°		19.VIII			
	(SKM)	e1P	14 51 34 C		NIE	Traces	
	(GW)	epP	45			e(P)	04 40 10
		eSKS	15 02 17	19.VIII			
18.VIII						Iles aux Renards, USCGS: 53,6°N, 167,4°W, H = 11 ^h 23 ^m 11,0 ^s , h = 23 km; mb = 5,1 (USCGS)	
	KRA	Traces					
	(SKM)	e(P)	15 20 46	NIE	Δ = 76,2°		
18.VIII					eP	11 35 06	
	NIE			19.VIII			
		e1P	17 24 33			Anatolie, Turquie, BCIS: 39,2°N, 41,5°E, H = 12 ^h 22 ^m 13 ^s , h = 50 km ca; M = 7,7 (Athènes), 7,0 (Strasbourg), ML = 6,8 (Pruhonice, Prague, Colln), MLH = 6,9 (Niedzica)	
	RAC						
	(SK)	e	17 24 34	18.VIII			
	KRA	Traces				Dodécannèse, USCGS: 36,3°N, 26,4°E, H = 22 ^h 09 ^m 00,3 ^s , h = 122 km; mb = 4,3 (USCGS)	
	(SKM)	e(P)	17 24 34				
18.VIII				NIE	Δ = 18,3°		
					e1P	12 26 23	
					iPP	38	
					iS	29 54	

Date	Station	Phase	G.M.T. h m s	Date	Station	Phase	G.M.T. h m s
19.VIII (suite)	NIE	Lm	12 35 13	19.VIII	KRA	$\Delta = 18,7^\circ$	
		Z: 15° ; 230μ		(SKM)	eP		13 19 24
		Lm	18	RAC	$\Delta = 19,4^\circ$		
		E: 15° ; 400μ		(SK)	eP		13 19 37
		Lm	22	19.VIII	E Anatolie, Turquie, réplique du séisme à 12^h22^m , BCIS: H = $13^h54^m30^s$; mb = = 5,3 (USCGS)		
		N: 15° ; 300μ			NIE	$\Delta = 18,3^\circ$	
	KRA	$\Delta = 18,7^\circ$			eP		13 58 40
(SKM)	1P		12 26 28 C		ei		42
(GW)	ePP		42		ei		50
	ePPP		55	KRA	$\Delta = 18,7^\circ$		
	1S		29 59	(SKM)	eP		13 58 44
	RAC	$\Delta = 19,4^\circ$			eiPP		59 08
(M)	eP		12 26 43		eS		14 02 15
	1		50		eSS		35
		NEZ: 4° ; 56μ , 155μ , 28μ		RAC	$\Delta = 19,4^\circ$		
		ei	27 28	(SK)	eP		13 59 01
		1SS	30 38	19.VIII	Turquie, USCGS: $39,2^\circ N$, $41,3^\circ E$, H = $14^h03^m57,8^s$, h = 33 km; mb = 4,7 (USCGS)		
		Lm	37,8		NIE	$\Delta = 18,2^\circ$	
		NEZ: 8° ; 37μ , 70μ , 112μ			eP		14 08 08
19.VIII	Région de Haiti, USCGS: $19,7^\circ N$, $73,1^\circ W$, H = 12^h $41^m07,0^s$, h = 33 km; mb = = 4,8 (USCGS)			19.VIII	Anatolie, Turquie, réplique du séisme à 12^h22^m , BCIS: H = $14^h17^m57^s$; mb = = 5,0 (USCGS)		
	NIE	$\Delta = 77,2^\circ$			NIE	$\Delta = 18,2^\circ$	
	eP		12 53 03		eP		14 22 05 C
19.VIII	Près de la côte de Hondo, USCGS: $36,4^\circ N$, $141,8^\circ E$, H = $12^h46^m23,7^s$, h = = 27 km; mb = 5,2 (USCGS)				eiPP		24
	KRA	$\Delta = 79,2^\circ$		KRA	$\Delta = 18,7^\circ$		
(SKM)	eP		12 58 31	(SKM)	eiP		14 22 10 C
	NIE	$\Delta = 79,5^\circ$		(GW)	ePP		30
	eiP		12 58 32		ePPP		43
	RAC	$\Delta = 80,2^\circ$			eS		25 42
(SK)	eP		12 58 36	RAC	$\Delta = 19,4^\circ$		
19.VIII	NIE			(SK)	eP		14 22 25
	e(P)		13 12 47	19.VIII	Local		
19.VIII	Anatolie, Turquie, réplique du séisme à 12^h22^m , BCIS: H = $13^h15^m12^s$, mb = = 5,0 (USCGS)				NIE		
	NIE	$\Delta = 18,3^\circ$			eiP _{NEZ}		16 06 58,5
	eP		13 19 19		ei _{NEZ}		07 06,5
					Lm _{NEZ}		10
					P		08 20

Date	Station	Phase	G.M.T. h m s	Date	Station	Phase	G.M.T. h m s
19.VIII	Anatolie, Turquie, réplique du séisme à 12^h22^m , BCIS: H = $18^h41^m19^s$; mb = = 4,8 (USCGS)			20.VIII	NIE	$\Delta = 18,5^\circ$	
	KRA	$\Delta = 18,7^\circ$			eiP		12 03 17 D
(GW)	e(P)		18 45 33		ei		25
	ePP		53		ei		05 50
	eS		48 58		eISS		07 07
	eSS		49 19	KRA	$\Delta = 19,0^\circ$		
19.VIII	Turquie, USCGS: $39,0^\circ N$, $41,4^\circ E$, H = $21^h42^m48,1^s$, h = 33 km; mb = 4,5 (USCGS)			(SKM)	eiP		12 03 22 D
	NIE	$\Delta = 18,4^\circ$. Traces		(GW)	1pP		30
	eP		21 46 59		ePP		40
20.VIII	Hokkaido, Japon, USCGS: $43,1^\circ N$, $140,6^\circ E$, H = 09^h $32^m31,9^s$, h = 163 km; mb = 5,7 (USCGS), M = $6\frac{1}{2}$ (Pasadena)				ePPP		49
	KRA	$\Delta = 73,3^\circ$			eS		06 47
(SKM)	1P		09 43 50 D		1SS		07 06
	1PoP		44 02		1PoP		08 02
(GW)	eiS		53 07	RAC	$\Delta = 19,9^\circ$		
	ePS		34	(SK)	eP		12 03 37
	NIE	$\Delta = 73,4^\circ$			ePPP		04 07
	1P		09 43 52 D	20.VIII	Turquie, USCGS: $39,1^\circ N$, $40,7^\circ E$, H = $12^h01^m43,2^s$, h = 33 km; mb = 5,5 (USCGS)		
	eiPoP		44 02		KRA	$\Delta = 18,2^\circ$	
RAC	$\Delta = 74,1^\circ$			(SKM)	1P		12 05 55 D
(SK)	eP		09 43 55	20.VIII	Yougoslavie, Montenegro, BCIS: $42,3^\circ N$, $18,9^\circ E$, H = = $12^h05^m13^s$		
	epP		46 36		KRA	$\Delta = 7,7^\circ$	
20.VIII	KRA			(GW)	ePn		12 07 17
(SKM)	ei(P)		09 46 17		ePP		23
	ei		29		eSn		08 45
20.VIII	Sumatra, USCGS: $4,1^\circ S$, $102,6^\circ E$, H = $11^h31^m18,0^s$, h = 98 km; mb = 5,4 (USCGS)				1SS		57
	NIE	$\Delta = 7,6^\circ$		20.VIII	NIE		
	ePn		13 09 58		e(P)		12 44 27
	ePP		10 11	20.VIII	Yougoslavie, USCGS: $42,0^\circ N$, $18,6^\circ E$, H = $13^h08^m08,8^s$, h = 30 km; mb = 5,6 (USCGS)		
20.VIII	NIE	Traces			NIE	$\Delta = 7,6^\circ$	
	eP		13 23 11		ePn		13 09 58
20.VIII	Anatolie, Turquie, BCIS: $39,0^\circ N$, $41,6^\circ E$, H = 11^h 59^m05^s ; M = $6\frac{1}{2}$ - $6\frac{1}{2}$ (Strasbourg), ML = 6,1 (Prahonice)				ePP		10 11
	KRA			20.VIII	NIE	Traces	
(SKM)	eiP _{NEZ}		14 47 53,0		eP		13 23 11
	e _{NEZ}		48 18,2	20.VIII	Proche ?		

Date	Station	Phase	G.M.T. h m s	Date	Station	Phase	G.M.T. h m s
20.VIII		Proche		20.VIII	NIE	Traces	
	KRA					eP _{g2}	22 50 03,5
	(SKM)	eIP _{NEZ}	16 26 49	20.VIII		Région des Iles Tonga,	
		°NEZ	27 21			USCGS: 23,5°S, 175,9°W,	
20.VIII						H = 22 ^h 55 ^m 00,9 ^s , h =	
	NIE	e	17 01 49			= 37 km; mb = 5,6 (USCGS),	
						M = 5½ (Pasadena)	
20.VIII		Turquie, USCGS: 39,4°N,			NIE	Δ = 151,0°	
		40,7°E, H = 17 ^h 54 ^m 06,9 ^s ,				ePKP ₁	23 14 46
		h = 39 km; mb = 4,4			KRA	Δ = 150,5°	
		(USCGS)			(SKM)	ePKP ₁	23 14 49
	NIE	Δ = 17,5°			RAC	Δ = 151,4°	
		eP	17 58 10		(SK)	ePKP ₁	23 14 51
		ePP	26	20.VIII		Région des Iles Tonga,	
20.VIII						USCGS: 23,5°S, 175,3°W,	
	NIE	Traces				H = 23 ^h 13 ^m 17,9 ^s , h =	
		e	18 33 34			= 13 km; mb = 5,0 (USCGS)	
20.VIII		Yougoslavie, réplique du			NIE	Δ = 151,0°	
		séisme à 12 ^h 05 ^m , BCIS:				ePKP ₁	23 33 12 C
		H = 19 ^h 08 ^m 26 ^s ; mb = 4,5				ePKP ₂	26
		(USCGS)			KRA	Δ = 151,0°. Traces	
	NIE	Δ = 7,3°		21.VIII		Anatolie, Turquie, répli-	
		eIPn	19 10 09 D			que du séisme du 19.VIII	
		ePPP	14			à 12 ^h 22 ^m , BCIS: 39,2°N,	
	KRA	Δ = 7,7°				41,5°E, H = 00 ^h 15 ^m 09 ^s ;	
	(GW)	iPn	19 10 23			mb = 4,7 (USCGS)	
		eIPF	29		NIE	Δ = 18,3°	
		eSn	11 53			eP	00 19 17
		eS*	12 21		KRA	Δ = 18,7°. Traces	
		eSg	43		(SKM)	eP	00 19 24 D
	RAC	Δ = 7,8°				eIPF	40
	(SK)	ePn	19 10 24	21.VIII		Anatolie, Turquie, BCIS:	
		eP*	11 44			40,3°N, 27,6°E, H = 01 ^h	
20.VIII						30 ^m 43 ^s ; M = 5½ (Stras-	
	NIE	e	19 16 32			bourg), ML = 4,7 (Pruho-	
		e1	47,5			nice)	
20.VIII					NIE	Δ = 10,4°	
	NIE	Traces				eP	01 33 14
		eP	22 45 56			ePP	20
						ePPP	31
20.VIII		Proche				eIS*	35 44
	KRA	Traces				eSg	36 19
	(SKM)	eIP _{NEZ}	22 49 57		KRA	Δ = 10,8°	
		iNEZ	50 05		(SKM)	eIP	01 33 23
						eIPF	32

Date	Station	Phase	G.M.T. h m s	Date	Station	Phase	G.M.T. h m s
21.VIII	KRA	e1	01 35 16	21.VIII	NIE	eL ₂	10 02 29,0
(suite)		e1	33			eIL _{NZ}	31,5
	(GW)	Lm	38 43	21.VIII		Yougoslavie, USCGS: 42,1°N,	
						18,6°E, H = 11 ^h 50 ^m 39,4 ^s ,	
	RAC	Δ = 11,9°				h = 24 km; mb = 4,8 (USCGS)	
	(SK)	eP	01 33 41		NIE	Δ = 7,5°	
		eSS	36 08			eIPn	11 52 28
21.VIII		Turquie, USCGS: 39,1°N,				ePP	38
		41,7°E, H = 02 ^h 25 ^m 06,8 ^s ,				eSn	53 53
		h = 33 km; mb = 4,9				eIS*	54 19
		(USCGS)			KRA	Δ = 8,1°. Traces	
	NIE	Δ = 18,4°			(SKM)	ePn	11 52 37
		eP	02 29 19			eP*	59
		ePP	40			eSn	54 09
21.VIII		Iles Tonga, USCGS: 23,5°S,		21.VIII		Région des Iles Riou-Kiou,	
		176,0°W, H = 02 ^h 14 ^m 03,0 ^s ,				USCGS: 28,9°N, 132,0°E,	
		h = 47 km; mb = 4,8				H = 20 ^h 25 ^m 36,3 ^s , h = 34 km;	
		(USCGS)				mb = 5,2 (USCGS)	
	NIE	Δ = 151,2°			KRA	Δ = 80,8°. Traces	
		ePKP ₁	02 33 53		(SKM)	eIP	20 37 50
		e1	59			eIPoP	58
21.VIII		Mindanao, Philippines,			NIE	Δ = 80,7°	
		USCGS: 8,5°N, 126,6°E,				eIP	20 37 51
		H = 05 ^h 00 ^m 28,6 ^s , h =				e1	38 07
		= 79 km; mb = 5,9 (USCGS),					
		M = 6,6-6,9 (Berkeley)		21.VIII		Turquie, USCGS: 39,2°N,	
	KRA	Δ = 93,9°				41,5°E, H = 22 ^h 36 ^m 35,7 ^s ,	
	(SKM)	eIP	05 13 39 C			h = 33 km; mb = 4,8 (USCGS)	
	(GW)	eS	24 49		NIE	Δ = 18,2°. Traces	
		eSS	25 10			eP	22 40 47
		ePS	26 12	22.VIII		Mer d'Ochotok, USCGS:	
	NIE	Δ = 94,1°				50,3°N, 147,7°E, H = 14 ^h	
		iP	05 13 40 C			21 ^m 14,0 ^s , h = 630 km; mb =	
		e1	42			= 5,1 (USCGS)	
	RAC	Δ = 95,0°			KRA	Δ = 70,0°. Traces	
	(SK)	eP	05 13 44		(SKM)	eIP	14 31 28 D
21.VIII		Région des Iles Fidji,			NIE	Δ = 70,1°	
		USCGS: 24,1°S, 176,6°W,				iP	14 31 30 D
		H = 07 ^h 43 ^m 23 ^s , h = 33 km;				ePoP	42
		mb = 4,5 (USCGS)				e1	32 09
	NIE	Δ = 151,5°. Traces				iPP	33 40
		ePKP ₁	08 03 15			iPP	34 21
21.VIII		Proche			RAC	Δ = 70,7°	
					(SK)	eP	14 31 31
	NIE			22.VIII		Local	
						Traces	
					NIE	e ₂	15 58 18

Date	Station	Phase	G.M.T. h m s	Date	Station	Phase	G.M.T. h m s
22.VIII		Proche ?		23.VIII		H = 23 ^h 53 ^m 35,4 ^s , H = 33 km; mb = 5,5 (USCGS)	
	NIE	Traces			NIE	$\Delta = 144,5^\circ$	
		e(Pg) ₂	16 31 36		ePKP	00 13 08	
22.VIII					eI	27	
	NIE	Traces		23.VIII		Turquie, USCGS: 39,4 ^o N, 41,0 ^o E, H = 01 ^h 35 ^m 45,2 ^s , h = 38 km; mb = 4,6 (USCGS)	
		e	17 20 30		NIE	$\Delta = 18,8^\circ$	
22.VIII		Région des Iles Loyauté USCGS: 22,4 ^o S, 170,6 ^o E, H = 17 ^h 42 ^m 09,9 ^s , h = = 36 km; M = 6½ (Fasa- dena)			eP	01 39 52 C	
	KRA	$\Delta = 144,0^\circ$			*ePP	40 02	
	(SKM)	ePKP	18 01 42		KRA	$\Delta = 18,2^\circ$	
		ePP	05 08		(SKM)	eIP	01 39 56 C
	NIE	$\Delta = 144,5^\circ$			ePP	40 09	
		ePKP ₁	18 01 42	23.VIII		Iles Riou-Kiou, USCGS: 23,8 ^o N, 123,3 ^o E, H = 18 ^h 22 ^m 17,3 ^s , h = 41 km; mb = = 5,4 (USCGS)	
		e(PKP) ₂	45		KRA	$\Delta = 80,0^\circ$	
		eI	04 49		(SKM)	IP	18 34 24 C
	RAC	$\Delta = 145,0^\circ$			ePoP	35	
	(SK)	ePKP	16 01 44		NIE	$\Delta = 79,8^\circ$	
22.VIII		Turquie, USCGS: 39,3 ^o N, 41,5 ^o E, H = 20 ^h 36 ^m 10,3 ^s , h = 30 km; mb = 4,7 (USCGS)			IP	18 34 25 C	
	NIE	$\Delta = 18,2^\circ$. Traces			eIPoP	31	
		eP	20 40 21		RAC	$\Delta = 81,1^\circ$	
22.VIII		Région des Iles Loyauté, USCGS: 22,5 ^o S, 170,6 ^o E, H = 20 ^h 31 ^m 57,2 ^s , h = 33 km; mb = 4,9 (USCGS)			(SK)	eP	18 34 30
	NIE	$\Delta = 144,5^\circ$. Traces		23.VIII		Iles Tonga, USCGS: 16,2 ^o S, 173,2 ^o W, H = 22 ^h 35 ^m 02,7 ^s , h = 33 km; mb = 4,9 (USCGS)	
		ePKP	20 51 29		KRA	$\Delta = 144,2^\circ$	
22.VIII		Région de l' Ile Jan Mayen, USCGS: 71,8 ^o N, 11,5 ^o W, H = = 21 ^h 49 ^m 17,2 ^s , h = 33 km; mb = 4,5 (USCGS)			(SKM)	eIPKP ₁	22 54 36
	NIE	$\Delta = 144,5^\circ$. Traces			eI	44	
		ePKP	20 51 29		NIE	$\Delta = 145,0^\circ$	
22.VIII					ePKP ₁	22 54 37	
	KRA	$\Delta = 25,7^\circ$. Traces			ePKP ₂	39	
	(SKM)	eP	21 54 50		RAC	$\Delta = 145,2^\circ$	
		ePP	55 21		(SK)	ePKP ₁	22 54 39
	(GW)	eS	59 25	24.VIII		Région des Iles Fidji, USCGS: 19,0 ^o S, 177,6 ^o W, H = 02 ^h 20 ^m 49,3 ^s , h = = 445 km; mb = 4,3 (USCGS)	
	NIE	$\Delta = 26,5^\circ$			NIE	$\Delta = 145,5^\circ$. Traces	
		eP	21 54 56		ePKP	02 39 40	
		epP	55 03	24.VIII		Tadzhikistan, URSS; USCGS:	
23.VIII		Région de Ile Loyauté, USCGS: 22,6 ^o S, 170,5 ^o E,					

Date	Station	Phase	G.M.T. h m s	Date	Station	Phase	G.M.T. h m s
24.VIII (suite)		37,4 ^o N, 73,0 ^o E, H = 02 ^h 46 ^m 58,4 ^s , h = 38 km; mb = = 4,7 (USCGS)		26.VIII	KRA	$\Delta = 154,0^\circ$	
	NIE	$\Delta = 39,6^\circ$. Traces			(SKM)	eIPKP ₁	01 11 44 D
	eP	02 54 27				ePKP ₂	57
24.VIII		Ouest du Pakistan, USCGS: 30,0 ^o N, 68,6 ^o E, H = 06 ^h 51 ^m 15,9 ^s , h = 33 km; mb = = 5,0 (USCGS)			RAC	$\Delta = 155,0^\circ$	
	NIE	$\Delta = 40,8^\circ$			(SK)	ePKP ₁	01 11 46
	eIP	06 58 59 C				ePKP ₂	12 02
25.VIII		Shikok, Japon, USCGS: 32,2 ^o N, 132,3 ^o E, H = 00 ^h 32 ^m 49,1 ^s , h = 31 km; mb = = 4,3 (USCGS)		26.VIII		Portugal, au Sud de Lisboa, BCIS: 38,1 ^o N, 8,6 ^o W, H = = 05 ^h 56 ^m 19 ^s	
	NIE	$\Delta = 78,4^\circ$. Traces			KRA	$\Delta = 23,5^\circ$	
	eP	00 44 50			(SKM)	eIP	06 01 33 D
25.VIII		Local		26.VIII		Local	
	NIE				NIE		
	eIP ₁ , eIP ₂ , eIP ₃	06 24 05,2 C				eIP ₁ NEZ	07 45 19,4 C
	e(SG) ₁ , eI(SG) ₂	10,2				i(SG) ₁ NEZ	24
	i ₁ NEZ	13,2				eI ₁ NEZ	28,4
	i ₂ NEZ	22				eI ₂	29,4
	P	25 05		26.VIII		Traces	
25.VIII		Local			NIE	e(P)	09 11 24
	NIE					eI	43
	Traces			26.VIII		Région des Iles Tonga, USCGS: 23,4 ^o S, 175,9 ^o W, H = = 22 ^h 24 ^m 48,6 ^s , h = 61 km; mb = 4,5 (USCGS)	
	e	15 47 52			NIE	$\Delta = 151,0^\circ$	
25.VIII		Local				eIPKP ₁	22 44 38
	NIE					eIPKP ₂	50
	Traces			27.VIII		Région des Iles Tonga, USCGS: 23,7 ^o S, 175,7 ^o W, H = 03 ^h 02 ^m 32,7 ^s , H = 60 km; mb = 4,8 (USCGS)	
	eP	19 39 15			KRA	$\Delta = 151,0^\circ$. Traces	
26.VIII		Proche			(SKM)	eIPKP ₁	03 22 20 C
	NIE					eIPKP ₂	34
				26.VIII		Iles Kermadec, USCGS: 27,8 ^o S, 176,9 ^o W, H = 00 ^h 51 ^m 54,1 ^s , h = 83 km; mb = = 5,6 (USCGS), M = 5,7-6,1 (Berkeley)	
					NIE	$\Delta = 151,5^\circ$	
						ePKP ₁	03 22 22
						eIPKP ₂	36
	NIE	$\Delta = 155,0^\circ$		27.VIII		Local	
	ePKP ₁	01 11 37			NIE		
	eI	46				eIP	12 55 49
	eIPKP ₂	(59)		27.VIII		Hondo, Japon, USCGS: 39,4 ^o N, 141,1 ^o E, H = 12 ^h	
	epPKP ₂	12 06					

Date	Station	Phase	G.M.T. h m s	Date	Station	Phase	G.M.T. h m s
27.VIII (suite)		58 ^m 56,8 ^s , h = 99 km; mb = 3,9 (USCGS)		28.VIII		70,9 ^o E, H = 10 ^h 43 ^m 01,6 ^s , h = 180 km; mb = 4,8 (USCGS)	
	NIE	$\Delta = 76,6^{\circ}$			NIE	$\Delta = 38,2^{\circ}$	
	eIP		13 10 42		eIP		10 50 09
28.VIII		Côte Yougoslave, BCIS: 42,1 ^o N, 19,0 ^o E, H = 04 ^h 18 ^m 09 ^s ; mb = 4,5 (USCGS), M = 4,2 (Beograd)			eIP		48
	NIE	$\Delta = 7,5^{\circ}$			e1		51 10
	ePn		04 19 58		KRA	$\Delta = 38,8^{\circ}$	
	eIPP		20 05	(SKM)	eIP		10 50 11 C
	eIPPP		14		ePP		51 45
	eP*		22		ePPP		52 14
	e1		21 20		eS		55 48
	e1SS		37	28.VIII		Côte Yougoslave, réplique à 04 ^h 18 ^m , BCIS: 42,2 ^o N, 18,9 ^o E, H = 12 ^h 41 ^m 04 ^s ; mb = 3,3 (Beograd)	
	RAC	$\Delta = 8,0^{\circ}$			NIE	$\Delta = 7,5^{\circ}$	
(SK)	ePn		04 20 07		ePn		12 42 54
	KRA	$\Delta = 8,0^{\circ}$			ePPP		43 09
(SKM)	eIPn		04 20 08 C	28.VIII		Iles Tonga, USCGS: 18,7 ^o S, 175,6 ^o W, H = 13 ^h 21 ^m 13,5 ^s , h = 176 km, mb = 4,6 (USCGS)	
	ePPP		24		NIE	$\Delta = 146,5^{\circ}$	
	eP*		34		ePKP ₁		13 40 34
	eSn		21 42		eIPKP ₂		36
	eS*		22 16	28.VIII		Hondo, Japon, USCGS: 36,7 ^o N, 138,2 ^o E, H = 15 ^h 36 ^m 16,5 ^s , h = 5 km; mb = 5,0 (USCGS)	
	eSg		38		NIE	$\Delta = 77,7^{\circ}$. Traces	
	Lm		23 44		eP		15 48 19
		NE: 4 ^s ; 4 μ , 1,7 μ		28.VIII		Iles Philippines, USCGS: 13,9 ^o N, 120,8 ^o E, H = 18 ^h 56 ^m 20,5 ^s , h = 119 km; mb = 5,1 (USCGS)	
28.VIII		Nouvelle Zélande, Ile du Nord, USCGS: 35,9 ^o S, 178,5 ^o E, H = 07 ^h 29 ^m 35,6 ^s , h = 120 km; mb = 5,7 (USCGS)			NIE	$\Delta = 86,0^{\circ}$	
	NIE	$\Delta = 159,0^{\circ}$			eP		19 08 50
	ePKP ₁		07 49 19	28.VIII		Près de la côte S de Hondo, Japon, USCGS: 35,7 ^o N, 139,8 ^o E, H = 20 ^h 03 ^m 34,7 ^s , H = 20 ^h 03 ^m 34,7 ^s , h = 66 km; mb = 4,7 (USCGS)	
	1		58		NIE	$\Delta = 79,3^{\circ}$	
	KRA	$\Delta = 159,0^{\circ}$			eP		20 15 37
(SKM)	1PKP ₁		07 49 57 D				
	e1PKP ₂		50 49				
	RAC	$\Delta = 160,0^{\circ}$					
(SK)	epPKP ₁		07 50 02				
28.VIII							
	NIE						
	1P		10 20 59,5 D				
28.VIII							
	NIE	Traces					
	eP		10 31 02				
28.VIII							
		Hindou-Kouoh, USCGS: 36,4 ^o N,					

Date	Station	Phase	G.M.T. h m s	Date	Station	Phase	G.M.T. h m s
29.VIII		Iles Kouriles, USCGS: 46,6 ^o N, 152,6 ^o E, H = 13 ^h 28 ^m 18,7 ^s , h = 52 km; mb = 4,6 (USCGS)		30.VIII	NIE	$\Delta = 146,3^{\circ}$. Traces	
	NIE	$\Delta = 75,0^{\circ}$. Traces			ePKP		13 57 20
	eP		13 40 00 ^o	30.VIII		Sud de l'Alaska, USCGS: 61,3 ^o N, 147,5 ^o W, H = 20 ^h 20 ^m 53,9 ^s , h = 36 km; mb = 5,8 (USCGS), M = 5 $\frac{1}{2}$ -6 (Pasadena), 5 $\frac{1}{2}$ (Palisades)	
29.VIII					RAC	$\Delta = 67,8^{\circ}$	
	KRA	Traces		(SK)	eP		20 31 52
(SKM)	e(P)		21 15 03,5		KRA	$\Delta = 67,8^{\circ}$	
	e		10,5	(SKM)	eIP		20 31 52 D
30.VIII					eIPP		34 28
	KRA	Traces		(GW)	eS		40 57
(SKM)	e(P)		03 23 47		ePS		41 17
	e		24 11		eSKS		51
30.VIII					NIE	$\Delta = 68,5^{\circ}$	
		Région du Lac Baikal; USCGS: 51,7 ^o N, 104,5 ^o E, H = 06 ^h 10 ^m 33,4 ^s , h = 33 km; mb = 4,9 (USCGS)			eIP		20 31 58 D
	NIE	$\Delta = 67,7^{\circ}$			ePP		34 33
	eP		06 19 32	31.VIII		Luçon, Iles Philippines, USCGS: 15,2 ^o N, 120,2 ^o E, H = 15 ^h 42 ^m 14,5 ^s , h = 87 km; mb = 5,0 (USCGS)	
	KRA	$\Delta = 67,7^{\circ}$			NIE	$\Delta = 84,7^{\circ}$	
(GW)	eP		06 19 38		eIP		15 54 42
	eS		26 45	31.VIII		Ile Jan Mayen, BCIS: 71 $\frac{1}{2}$ ^o N, 3 ^o W, H = 18 ^h 15 ^m 33 ^s ; mb = 5,0 (USCGS), ML = 4,7 (Moxa), 4,6 (Pruhonice)	
30.VIII					RAC	$\Delta = 23,3^{\circ}$	
		Mindoro, Iles Philippines, USCGS: 13,4 ^o N, 120,7 ^o E, H = 12 ^h 40 ^m 27,8 ^s , h = 81 km; mb = 5,4 (USCGS)		(SK)	eP		18 20 49
	NIE	$\Delta = 86,4^{\circ}$			KRA	$\Delta = 23,8^{\circ}$. Traces	
	1P		12 53 04 C	(SKM)	eIP		18 20 52 C
	epP		14		eIPP		21 20
	e1sPoP		56 32		ePPP		37
	KRA	$\Delta = 86,4^{\circ}$			NIE	$\Delta = 24,4^{\circ}$	
(SKM)	eP		12 53 09		eP		18 20 59 C
(GW)	eS		13 03 33		ePP		21 26
30.VIII							
		Iles Tonga, USCGS: 17,4 ^o S, 173,4 ^o W, H = 13 ^h 37 ^m 38,8 ^s , h = 33 km; mb = 4,7 (USCGS)					
1966				1966			
1.IX				1.IX			
		Ile Jan Mayen, BCIS: 71,3 ^o N, 2 ^o W, H = 01 ^h 38 ^m 32 ^s ; mb = 5,0 (USCGS), ML = 4,4 (Moxa, Pruhonice)		(SKM)	eP		01 43 47 D
	RAC	$\Delta = 23,2^{\circ}$			ePP		44 21
(SK)	eP		01 43 44	(GW)	eS		48 07
					eSSS		49 01
					NIE	$\Delta = 24,0^{\circ}$	

Date	Station	Phase	G.M.T. h m s	Date	Station	Phase	G.M.T. h m s
1.IX (suite)	NIE	eIP ePP	01 43 55 44 23	1.IX	Région Jan Mayen, BCIS: 71½°N, 3°W, H = 19 ^h 17 ^m 56 ^s ; mb = 5,0 (USCGS), ML = 4,3 (Moxa, Pruhonice)		
1.IX		Mer Egée, BCIS: 38,0°N, 24½°E, H = 12 ^h 35 ^m 29 ^s ; mb = 4,6 (USCGS)		RAC	Δ = 23,5°		
NIE		Δ = 11,8°		(SK)	eP 19 23 11 ePP 32		
		eP 12 38 17 ePP 24		KRA	Δ = 23,9°		
KRA		Δ = 12,5°		(SKM)	eIP 19 23 15 ePP 43		
(GW)		eP 12 38 23 ePP 32 ePPP 43 eS 40 46 ePoP 44 15		(GW)	ePPP 27 55 Lm 33 19		
1.IX		Péloponèse, BCIS: 37,4°N, 22,1°E, H = 14 ^h 22 ^m 54 ^s ; M = 6,0 (Athènes), ML = = 5,6 (Collm, Pruhonice), MLH = 5,3 (Kraków, Racibórz)			N: 17 ^s ; 1,7μ		
NIE		Δ = 12,1°		NIE	Δ = 24,5°		
		eIP 14 25 52 1PP 26 01 1PPP 07 1PPPP 14 ISS 28 43		(SKM)	eP 19 23 21 C 1 24 ePPP 24 03		
KRA		Δ = 12,7°		1.IX	Italie, région du Lac de Garde, BCIS: 45,9°N, 10,9°E, H = 23 ^h 17 ^m 27 ^s		
(SKM)		eP 14 25 59 D		NIE	Δ = 7,3°		
(GW)		eIPPP 26 08 eIP 27 24 eISS 28 51 Lm 30 37 N: 7 ^s ; 10,8μ		ePP 23 19 28 eI 40			
		ePoP 31 39 Lm 46 E: 9 ^s ; 5,8μ		RAC	Δ = 6,6°		
RAC		Δ = 13,0°		(SK)	eS* 23 20 48 eSg 21 04		
(SK)		eP 14 26 03 ePPP 21 Lm 32,2 NE: 3 ^s ; 2,6μ, 2,6μ		KRA	Δ = 7,4°. Traces		
1.IX		Iles Tonga, USCGS: 20,6°S, 175,3°W, H = 15 ^h 24 ^m 59,6 ^s h = 33 km; mb = 5,1 (USCGS)		(SKM)	eS* 23 21 10 eSg 22 26		
NIE		Δ = 148,5°		1.IX	Sud de l'Alaska, USCGS: 61,7°N, 149,7°W, H = 23 ^h 19 ^m 08,1 ^s , h = 63 km; mb = = 5,1 (USCGS)		
		ePKP 15 44 45		NIE	Δ = 68,5°		
				eP 23 30 08 ePoP 21			
				2.IX	Iles aux Rats, Aléoutien- nes, USCGS: 51,2°N, 178,0°E, H = 00 ^h 54 ^m 44,9 ^s , h = 37 km; mb = 5,1 (USCGS)		
				KRA	Δ = 77,1°		
				(SKM)	eIP 01 06 38 D eIPoP 49		
				NIE	Δ = 77,3°		
				eP 01 06 41 eIPoP 53			

Date	Station	Phase	G.M.T. h m s	Date	Station	Phase	G.M.T. h m s
2.IX		Pruhonice: e 02 10 19		3.IX	NIE	Δ = 75,4°. Traces eIP 08 23 23	
	NIE	Traces e 02 09 35,2		3.IX		Région des Iles Fidji, USCGS: 20,8°S, 178,8°W, H = 19 ^h 45 ^m 46,4 ^s , h = = 580 km; mb = 4,6 (USCGS)	
2.IX				NIE	Δ = 147,5°		
KRA		Traces		ePKP ₁ 20 04 26 ePKP ₂ 31			
(GW)		eL 09 13 Lm 14 09 NE: 18 ^s ; 1,0μ, 1,0μ		4.IX		Roumanie, région de Vrancea, BCIS: 45,8°N, 26,8°E, H = = 01 ^h 29 ^m 29 ^s , h = 160 km ca; mb = 4,1 (USCGS)	
2.IX		Golfe d'Aden, USCGS: 13,2°N, 50,9°E, H = 10 ^h 41 ^m 23,1 ^s , h = 34 km; mb = = 4,7 (USCGS)		NIE	Δ = 5,7°		
NIE		Δ = 44,0°. Traces		iPn 01 30 52,7 D eSg 32 39			
eP 10 49 30				KRA	Δ = 6,3°		
2.IX		Proche		(SKM)	eIPn 01 31 00 D ePP 06 eIP* 10 eIPg 28 eISn 32 15 eS* 33		
NIE		eIPg ₂ 13 49 45,0 eL _{NEZ} 50 06,8 F 30		RAC	Δ = 7,3°		
2.IX		Yougoslavie, BCIS: 42,1°N, 19,0°E, H = 14 ^h 24 ^m 55 ^s ; mb = 4,2 (USCGS), M = 3,2 (Beograd)		(SK)	ePn 01 31 13		
NIE		Δ = 7,5°		4.IX		Iles Andaman, USCGS: 12,0°N, 92,9°E, H = 04 ^h 37 ^m 05,6 ^s , h = 39 km; mb = = 5,2 (USCGS)	
ePn 14 26 43 eP 27 04 eSg 28 59				NIE	Δ = 69,5°		
KRA		Δ = 8,0°		iP 04 48 08 D eIP 18			
(GW)		ePn 14 26 57 eSn 28 28 eSg 29 22 eL 30,4		KRA	Δ = 69,9°		
2.IX		Traces		(SKM)	eIP 04 48 14 D eP 26		
NIE		eP 17 23 50,8		4.IX		Colombie, USCGS: 4,6°N, 73,9°W, H = 22 ^h 14 ^m 50,0 ^s , h = 8 km; mb = 5,2 (USCGS)	
2.IX		Sud de l'Alaska, USCGS: 60,2°N, 146,9°W, H = 22 ^h 46 ^m 39,7 ^s , h = 31 km; mb = = 4,8 (USCGS)		NIE	Δ = 89,3°. Traces eP 22 27 56		
NIE		Δ = 69,7°. Traces		5.IX		Région des Iles Fidji, USCGS: 21,6°S, 176,3°W, H = 00 ^h 08 ^m 05,4 ^s , h = = 212 km; mb = 4,8 (USCGS)	
eP 22 57 51				KRA	Δ = 148,7°. Traces		
3.IX		Iles Kouriles, USCGS: 43,6°N, 146,5°E, H = 08 ^h 11 ^m 38,2 ^s , h = 52 km; mb = = 4,3 (USCGS)					

Date	Station	Phase	G.M.T. h m s	Date	Station	Phase	G.M.T. h m s
5.IX (suite)	KRA (SKM)	ePKP ₁ ePKP ₂	00 27 28 C 43	5.IX	NIE	ePP ePPP eIPPPP	22 36 59 37 08 20
	NIE	$\Delta = 149,3^\circ$ ePKP ₁ 1	00 27 29 36	6.IX		Iles Kouriles, USCGS: 45,2°N, 151,5°E, H = 06 ^h 33 ^m 45,1 ^s , h = 25 km; mb = = 3,9 (USCGS)	
5.IX	NIE	Traces e	01 47 32,2		NIE	$\Delta = 76,0^\circ$ eIP	06 45 34
5.IX		Iles Salomon, USCGS: 7,5°S, 155,9°E, H = 06 ^h 52 ^m 51,2 ^s , h = 65 km; mb = 4,7 (USCGS)		6.IX		Yougoslavie, réplique du séisme du 28.VIII à 40 ^h 18 ^m , BCIS: 42,1°N, 19,0°E, H = = 12 ^h 39 ^m 09 ^s ; mb = 4,6 (USCGS), M = 3,8 (Beograd)	
	NIE	$\Delta = 124,0^\circ$. Traces ePKP	07 11 44		KRA (SKM)	$\Delta = 8,1^\circ$ ePn	12 41 05 C
5.IX		Iles aux Rats, Aléoutiennes, USCGS: 51,9°N, 176,6°E, H = = 08 ^h 48 ^m 20,8 ^s , h = 56 km; mb = 4,7 (USCGS)			RAC (SK)	$\Delta = 8,0^\circ$ eSg	12 43 30
	NIE	$\Delta = 76,4^\circ$ eP ePoP	09 00 11 25	8.IX		Hindou-Kouch, USCGS: 36,5°N, 70,4°E, H = 12 ^h 18 ^m 14,5 ^s , h = 225 km; mb = = 4,8 (USCGS)	
5.IX		Région des Iles Tonga, USCGS: 23,7°S, 175,8°W, H = = 11 ^h 17 ^m 01,4 ^s , h = 40 km; mb = 4,6 (USCGS)			NIE	$\Delta = 38,0^\circ$ eIP	12 25 16
	NIE	$\Delta = 151,5^\circ$. Traces ePKP ₁	11 36 54	8.IX		Local	
	KRA (GW)	$\Delta = 150,9^\circ$ eSKS eL Lm E: 5 ^s ; 1 μ Lm	11 54 05 12 12,3 19 23 43		KRA (SKM)	1P _{NEZ} eL _{NE} F	14 12 51,7 D 13 16 14 12 52,5 13 12,5 40
5.IX		Nouvelles Hébrides, USCGS: 15,8°S, 167,4°E, H = 17 ^h 58 ^m 31,3 ^s , h = 47 km; mb = = 5,1 (USCGS)		8.IX		Halmahera, USCGS: 2,4°N, 128,3°E, H = 21 ^h 15 ^m 50,5 ^s , h = 71 km; M = 6 ^h -7 (Pasa- dena, Palisades)	
	NIE	$\Delta = 137,0^\circ$ ePKP	18 17 46		KRA (SKM)	$\Delta = 99,9^\circ$ eIP eIP eIP	21 29 28 C 51 33 18 48
5.IX		Grèce, BCIS: 38 ^h 4 ^m 0 ^s N, 21 ^h 4 ^m 0 ^s E, H = 22 ^h 34 ^m 12 ^s ; mb = 4,2 (USCGS)			NIE	$\Delta = 100,0^\circ$ iP iP	21 29 28 C 54
	NIE	$\Delta = 11,2^\circ$ ep	22 36 53				

Date	Station	Phase	G.M.T. h m s	Date	Station	Phase	G.M.T. h m s
8.IX (suite)	NIE	e1 1PP 1SKS 1	21 30 15 33 48 40 03 44 41	9.IX		Sud de Sumatra, USCGS: 4,2°S, 102,8°E, H = 12 ^h 04 ^m 32,1 ^s , h = 33 km; mb = = 5,3 (USCGS)	
	RAC (SK)	$\Delta = 100,8^\circ$ eP ePP	21 29 33 33 43		NIE	$\Delta = 88,3^\circ$ eP	12 17 22
8.IX		Région des Iles Fidji, USCGS: 21,8°S, 176,0°W, H = 21 ^h 17 ^m 23,7 ^s , h = = 95 km; mb = 5,6 (USCGS)		9.IX		Vénézuéla, USCGS: 10,8°N, 69,5°W, H = 18 ^h 39 ^m 57,8 ^s , h = 8 km; mb = 5,0 (USCGS), M = 5,2-5,6 (Berkeley)	
	KRA (Ch)	$\Delta = 150,0^\circ$ ePKP ₁ ePKP ₂	21 36 59 37 04		NIE	$\Delta = 81,5^\circ$ eIP	18 52 26
	NIE	$\Delta = 149,5^\circ$ 1PKP 1PKP ₂	21 37 01 07	9.IX		Golfe d'Aden, USCGS: 14,7°N, 52,3°E, H = 20 ^h 42 ^m 07,5 ^s , h = 38 km; mb = = 4,9 (USCGS)	
8.IX		Iles Kouriles, USCGS: 45,4°N, 150,5°E, H = 21 ^h 55 ^m 39,9 ^s , h = 32 km; mb = = 5,4 (USCGS)			NIE	$\Delta = 43,5^\circ$ eP eIP	20 20 09 16
	KRA (SKM)	$\Delta = 75,2^\circ$ 1P ePoP	22 07 24 C 38		KRA (SKM)	$\Delta = 44,0^\circ$. Traces eIP	20.50 13 D
	NIE	$\Delta = 75,5^\circ$ 1P	22 07 25 C	9.IX		Région des Iles Kouriles, USCGS: 48,8°N, 156,3°E, H = 23 ^h 12 ^m 13,7 ^s , h = 17 km; mb = 4,8 (USCGS)	
8.IX		Région des Iles Fidji, USCGS: 18,0°S, 178,4°W, H = 22 ^h 58 ^m 23,3 ^s , h = = 590 km; mb = 4,3 (USCGS)			NIE	$\Delta = 74,5^\circ$ eIP ePoP	23 23 55 24 07
	NIE	$\Delta = 145,0^\circ$ eIPKP	23 16 56	10.IX		Mer d'Okhotsk, USCGS: 46,4°N, 144,3°E, H = 02 ^h 27 ^m 48,1 ^s , h = 346 km; mb = = 5,0 (USCGS)	
9.IX		Proche			KRA (SKM)	$\Delta = 73,0^\circ$. Traces eIP	02 38 39 C
	NIE	eIP _{NEZ} eIS _{NE} iL _{NEZ} Lm _N Lm _Z P	07 46 22 33,4 37 44 46 47 10		NIE	$\Delta = 72,3^\circ$ eIP ePoP	02 38 42 C 48
9.IX		Proche		10.IX		Iles Talaud, USCGS: 3,5°N, 125,3°E, H = 06 ^h 30 ^m 00,5 ^s , h = 34 km; mb = 4,9 (USCGS)	
	NIE	eIP _Z eIS _{NE} Lm P	11 57 31,5 11 57 38 58 02 59 00		NIE	$\Delta = 97,2^\circ$ eP	06 44 32
10.IX		Proche		10.IX		Proche	
	NIE	1P _{NEZ}	10 01 36,5 C				

Date	Station	Phase	G.M.T. h m s	Date	Station	Phase	G.M.T. h m s
10.IX (suite)	NIE	1 ^h NEZ e1(Sg) 1(L)NEZ Lm NEZ: 1 ^h ; 0,6 ^h ; 1 ^h ; 0,233 μ ; 0,129 μ ; 0,064 μ P	10 01 41,0 42,5 46 52	11.IX	NIE	eP e1PoP eipP e1	17 50 30 36 51 15 52 07
	KRA (SKM)	1P _{NEZ} 1S _{NEZ}	10 01 48,2 02 07,4	12.IX	KRA (SKM)	$\Delta = 86,6^\circ$ e1P eipP	17 50 32 C 51 12
10.IX		Anatolie, Turquie, BCIS: 39 $\frac{1}{2}$ ^h N, 41 $\frac{1}{2}$ ^h E, H = 10 ^h 09 ^m 49 ^s		12.IX		Grèce, BCIS: 39 $\frac{1}{2}$ ^h N, 20,0 ^h E, H = 09 ^h 37 ^m 39 ^s ; mb = 4,4 (USCGS)	
	NIE	$\Delta = 18,1^\circ$. Traces eP ePP	10 14 00 17	12.IX	NIE	$\Delta = 9,6^\circ$ eP	09 39 54
10.IX		Mer de Crète, BCIS: 35,5 ^h N, 26,9 ^h E, H = 10 ^h 55 ^m 17 ^s , h = = 150 km ca; mb = 4,2 (USCGS)		12.IX		Région des Iles Loyauté, USCGS: 23,0 ^h S, 170,6 ^h E, H = 11 ^h 29 ^m 35,8 ^s , h = 14 km; M = 6 $\frac{1}{2}$ -6 $\frac{1}{2}$ (Pasadena), 6,4-6,7 (Berkeley), MLH = = 6,5 (Kraków)	
	NIE	$\Delta = 13,8^\circ$. Traces eP	10 58 30		KRA (SKM) (GW)	$\Delta = 144,5^\circ$ e1PKP Lm NE: 20 ^h ; 9,5 μ , 6,7 μ	11 49 12 12 57
10.IX		Région des Iles Fidji, USCGS: 23,5 ^h S, 179,9 ^h E, H = 17 ^h 32 ^m 02,9 ^s , h = = 550 km; mb = 4,9 (USCGS)			NIE	$\Delta = 145,0^\circ$ e1PKP e1 ePKS	11 49 14 51 47 53 27
	KRA (SKM)	$\Delta = 149,0^\circ$ 1PKP ₁ e1PKP ₂	17 50 50 C 57		RAC (SK)	$\Delta = 145,6^\circ$ ePKP	11 49 15
	NIE	$\Delta = 149,5^\circ$ ePKP ₁ 1PKP ₂	17 50 52 C 56	12.IX		Californie du Nord, USCGS: 39,4 ^h N, 120,1 ^h W, H = 16 ^h 41 ^m 02,1 ^s , h = 11 km; M = = 6,3 (Pasadena), MLH = 6,2 (Kraków)	
11.IX		Birmanie-Inde, USCGS: 27,0 ^h N, 95,6 ^h E, H = 15 ^h 55 ^m 19,4 ^h ; mb = 4,8 (USCGS), h = 27 km			KRA (SKM) (GW)	$\Delta = 84,0^\circ$ eP Lm NE: 18 ^h ; 7,8 μ , 4,5 μ	16 53 36 17 30
	NIE	$\Delta = 60,4^\circ$ eP epP	16 05 30 39		NIE	$\Delta = 84,5^\circ$ eP	16 53 39
11.IX		Colombie du Nord, USCGS: 6,8 ^h N, 72,9 ^h W, H = 17 ^h 38 ^m 03,4 ^s , h = 158 km; mb = = 5,8 (USCGS), M = 5-5,4 (Berkeley)		13.IX		Iles Loyauté, USCGS: 23,0 ^h S, 170,6 ^h E, H = 00 ^h 50 ^m 43,3 ^s , h = 32 km; mb = = 4,9 (USCGS)	
	NIE	$\Delta = 86,8^\circ$			KRA (SKM)	$\Delta = 144,5^\circ$ ePKP e1	01 10 17 33

Date	Station	Phase	G.M.T. h m s	Date	Station	Phase	G.M.T. h m s
13.IX (suite)	NIE	$\Delta = 145,0^\circ$ e1PKP	01 10 18	13.IX		= 36 km; mb = 4,4 (USCGS)	
13.IX	NIE	Traces eP	08 04 32		KRA (SKM)	$\Delta = 151,3^\circ$ e1PKP ₁ ePKP ₂ eipPKP ₂	23 13 48 14 01 26
13.IX		Beskids, frontière Tché- coslovaquie-Pologne, BCIS: 49 $\frac{1}{2}$ ^h N, 19,0 ^h E, H = 12 ^h 59 ^m 34 ^s			NIE	$\Delta = 152,0^\circ$ 1PKP ₁ ePKP ₂ epPKP ₂	23 13 49 D 14 07 23
	NIE	$\Delta = 0,8^\circ$ e1P _{NEZ} e1 _{NEZ} e1S _{NEZ} e1 _{NEZ} 1S _{NEZ} P	12 59 52,4 56 13 00 00 07 14 02 30	13.IX		Iles Philippines, USCGS: 9,4 ^h N, 126,1 ^h E, H = 23 ^h 45 ^m 16,6 ^s , h = 72 km; mb = = 5,2 (USCGS)	
	RAC (SK)	$\Delta = 1^\circ$ eP _{NEZ} eS _{NEZ} eSn _{NEZ} Lm NEZ: 0,8 ^h ; 0,3 μ ; 0,7 μ , 0,3 μ P	12 59 54,8 13 00 06,8 11 28 02		NIE	$\Delta = 93,0^\circ$ eP epP	23 58 24 37
	KRA (SKM)	$\Delta = 1^\circ$ e1P _{NEZ} eS _{NEZ} , e1S _{NEZ} eSn _{NEZ} , e1Sn _{NEZ} e1 _{NEZ} , e _{NEZ}	12 59 56,5 D 13 00 03,5 11 14	14.IX		Région des Iles Loyauté, USCGS: 23,1 ^h S, 170,7 ^h E, H = 00 ^h 12 ^m 25 ^s , h = 19 km; mb = 4,8 (USCGS)	
13.IX		Proche			NIE	$\Delta = 145,0^\circ$ ePKP	00 32 02
	KRA (SKM)	Traces e(Pg) eNE	16 16 42 55	14.IX		Région des Iles Loyauté, USCGS: 23,1 ^h S, 170,6 ^h E, H = 00 ^h 20 ^m 59,2 ^s , h = 33 km; mb = 4,8 (USCGS)	
	NIE	Traces eP _{NEZ}	16 16 54,4		NIE	$\Delta = 145,0^\circ$ ePKP	00 40 34
13.IX		Turquie, USCGS: 39,1 ^h N, 40,7 ^h E, H = 20 ^h 33 ^m 50,4 ^s , h = 31 km; mb = 4,5 (USCGS)		14.IX		Mer d'Arabie, USCGS: 14,5 ^h N, 56,4 ^h E, H = 00 ^h 47 ^m 05,0 ^s , h = 33 km; mb = = 5,0 (USCGS)	
	NIE	$\Delta = 17,8^\circ$ eP epP ePPP	20 28 04 12 32		NIE	$\Delta = 45,5^\circ$. Traces eP	00 55 24
13.IX		Au Sud des Iles Tonga, USCGS: 24,0 ^h S, 175,4 ^h W, H = 22 ^h 53 ^m 57,2 ^s , h =		14.IX		Hondo, Japon, USCGS: 36,4 ^h N, 138,0 ^h E, H = 01 ^h 14 ^m 24,1 ^s , h = 73 km; mb = = 4,6 (USCGS)	
	NIE	$\Delta = 77,8^\circ$ eP ePoP	01 26 17 36		NIE	$\Delta = 77,8^\circ$ eP ePoP	01 26 17 36
14.IX		Région des Iles Fidji, USCGS: 23,7 ^h S, 176,0 ^h W, H = 04 ^h 57 ^m 59 ^s , h = 156 km; mb = 4,3 (USCGS)					

Date	Station	Phase	G.M.T. h m s	Date	Station	Phase	G.M.T. h m s
14.IX (suite)	NIE	$\Delta = 151,3^\circ$ ePKP ₁ ePKP ₂	05 17 37 49	15.IX	KRA (SKM)	$\Delta = 79,5^\circ$ e1P ePoP (GW) eS eSKS eL Lm	17 22 52 C 59 32 51 33 08 53,6 59 43 NE: 14 ^m ; 2,5 μ , 3,3 μ
14/15. IX		Iles Sandwich, USCGS: 60,2 ^o S, 27,2 ^o W, H = 23 ^h 18 ^m 40,8 ^s , h = 22 km; mb = = 6,3 (USCGS)					
	NIE	$\Delta = 116,5^\circ$ ePKP e1PKS e1PKP	23 37 22 40 58 48 00		NIE	$\Delta = 79,5^\circ$ 1P 1PoP e1PP	17 22 52 C 23 02 26 01
	KRA (SKM) (GW)	$\Delta = 116,8^\circ$ 1PKP ePP eSKS eS e1PKP ePS eL Lm	23 37 24 38 38 44 14 46 25 48 14 24 00 06 52 28 47		RAC (SK)	$\Delta = 80,5^\circ$ eP	17 22 57
		NE: 17 ^m ; 1,5 μ , 1,5 μ		15.IX		Formose, USCGS: 22,9 ^o N, 121,4 ^o E, H = 17 ^h 24 ^m 45,8 ^s , h = 47 km; mb = 4,8 (USCGS)	
15.IX		Iles Sandwich, USCGS: 60,4 ^o S, 26,9 ^o W, H = 01 ^h 46 ^m 29,1 ^s , h = 33 km; mb = = 5,1 (USCGS)			NIE	$\Delta = 79,5^\circ$ 1P	17 36 51 C
	NIE	$\Delta = 116,5^\circ$. Traces e ePKP	02 04 39 05 12	16.IX		Région de Formose, USCGS: 22,8 ^o N, 121,3 ^o E, H = 02 ^h 01 ^m 59,3 ^s , h = 50 km; mb = = 5,0 (USCGS)	
15.IX		Iles Tonga, USCGS: 23,6 ^o S, 175,8 ^o W, H = 04 ^h 07 ^m 05,1 ^s , h = 57 km; mb = 5,2 (USCGS)			NIE	$\Delta = 79,6^\circ$. Traces eP	02 14 04
	KRA (Ch)	$\Delta = 150,8^\circ$ ePKP ₁ e1PKP ₂ e1 epPKP ₂	04 26 51 27 04 13 29	16.IX		Péninsule de l'Alaska, USCGS: 54,0 ^o N, 163,4 ^o W, H = 02 ^h 48 ^m 21,3 ^s , h = 32 km; mb = 5,2 (USCGS)	
	NIE	$\Delta = 151,5^\circ$ e1PKP ₁ e1PKP ₂	04 26 52 C 27 07		KRA (SKM)	$\Delta = 75,5^\circ$. Traces e1P	03 00 08 C
	RAC (SK)	$\Delta = 151,5^\circ$ ePKP ₁	04 27 01		NIE	$\Delta = 76,0^\circ$ e1P e1pP	03 00 12 C 22
15.IX		Formose, USCGS: 22,9 ^o N, 121,4 ^o E, H = 17 ^h 10 ^m 46,9 ^s , h = 46 km; mb = 5,4 (USCGS), MLH = 5,9 (Kraków)		16.IX		Proche ? NIE Traces e e	11 56 49,7 57 55,2

Date	Station	Phase	G.M.T. h m s	Date	Station	Phase	G.M.T. h m s
16.IX (suite)	NIE	$\Delta = 152,0^\circ$. Traces ePKP ₁ ePKP ₂	13 22 21 33	17.IX	NIE	eNEZ F	14 34 15,5 35 00
16.IX		Région des Iles Loyauté, USCGS: 22,9 ^o S, 170,5 ^o E, H = 13 ^h 11 ^m 55,1 ^s , h = = 33 km; mb = 4,9 (USCGS)		17.IX		Iles Kermadec, USCGS: 27,8 ^o S, 176,5 ^o W, H = 20 ^h 17 ^m 26,8 ^s , h = 39 km; mb = = 5,1 (USCGS)	
	NIE	$\Delta = 144,7^\circ$. Traces ePKP e1	13 31 30 39		NIE	$\Delta = 155,0^\circ$ ePKP ₁ ePKP ₂	20 37,16 42
16.IX		Région des Iles Samoa, USCGS: 16,2 ^o S, 171,5 ^o W, H = 14 ^h 54 ^m 32,4 ^s , h = = 33 km; mb = 4,7 (USCGS)		17.IX		Région des Iles Fidji, USCGS: 20,8 ^o S, 176,2 ^o W, H = 21 ^h 05 ^m 26,4 ^s , H = = 215 km; mb = 5,0 (USCGS)	
	NIE	$\Delta = 145,5^\circ$ 1PKP	15 14 09 C		KRA (Ch)	$\Delta = 148,5^\circ$ ePKP ₁	21 24 47
16.IX		Péninsule de l'Alaska, USCGS: 53,8 ^o N, 163,1 ^o W, H = 17 ^h 10 ^m 37,1 ^s , h = = 15 km; mb = 4,8 (USCGS)			NIE	$\Delta = 148,5^\circ$ 1PKP ₁ e1PKP ₂	21 24 48 D 25 02
	NIE	$\Delta = 76,0^\circ$ e1P ePoP	17 22 31 45	18.IX		Hondo, Japon, USCGS: 37,1 ^o N, 140,6 ^o E, H = 00 ^h 35 ^m 18,9 ^s , h = 85 km; mb = = 4,4 (USCGS)	
17.IX		Iles Tonga, USCGS: 23,2 ^o S, 175,6 ^o W, H = 03 ^h 44 ^m 02,2 ^s , h = 102 km; mb = 4,8 (USCGS)			NIE	$\Delta = 78,5^\circ$ eP epP	00 47 15 37
	NIE	$\Delta = 151,0^\circ$ e1PKP ₁ e1PKP ₂	04 03 46 58	18.IX		Shikok, Japon, USCGS: 29,6 ^o N, 132,2 ^o E, H = 01 ^h 59 ^m 58,4 ^s , h = 33 km; mb = = 4,7 (USCGS)	
17.IX		Iles Tonga, USCGS: 17,1 ^o S, 174,0 ^o W, H = 10 ^h 51 ^m 40,8 ^s , h = 115 km; mb = 4,5 (USCGS)			NIE	$\Delta = 80,5^\circ$ eP ePoP	02 12 12 21
	NIE	$\Delta = 146,0^\circ$. Traces ePKP	11 11 12	18.IX		Hokkaido, Japon, USCGS: 42,3 ^o N, 142,9 ^o E, H = 05 ^h 22 ^m 31,4 ^s , h = 71 km; mb = = 5,1 (USCGS)	
17.IX		Local KRA (SKM) 1(Pg)NEZ 1NEZ	13 39 37,4 40,9		KRA (Ch)	$\Delta = 74,7^\circ$ eP	05 34 09
17.IX		Local NIE	14 33 46 48,5		NIE	$\Delta = 75,0^\circ$ e1P epP	05 34 11 37
				18.IX		Yunnan, Chine, USCGS: 22,6 ^o N, 102,0 ^o E, H = 14 ^h 15 ^m 58,9 ^s , h = 33 km; mb = = 5,3 (USCGS)	

Date	Station	Phase	G.M.T. h m s	Date	Station	Phase	G.M.T. h m s
18.IX (suite)	NIE	$\Delta = 67,5^{\circ}$		19.IX	NIE	$\Delta = 145,0^{\circ}$. Traces	
	eP		14 26 55		ePKP		03 56 30
	i		57	19.IX	Iles Kouriles, USCGS:		
	ePoP		27 22		47,8 ^o N, 153,8 ^o E, H = 04 ^h		
	KRA	$\Delta = 69,0^{\circ}$. Traces			24 ^m 05,8 ^s , h = 81 km; mb =		
	(GW)				= 5,2 (USCGS)		
	eL		14 53,4		NIE	$\Delta = 74,7^{\circ}$	
	Im		55		eIP		04 35 41
		H: 14 ^s ; 1,7 μ			ePoP		53
18.IX		Formose, USCGS: 22,9 ^o N,		19.IX	Birmanie-Chine, USCGS:		
		121,3 ^o E, H = 19 ^h 44 ^m 28,5 ^s ,			24,0 ^o N, 97,7 ^o E, H = 05 ^h		
		h = 41 km; mb = 4,9			03 ^m 50,1 ^s , h = 33 km; mb =		
		(USCGS)			= 4,9 (USCGS)		
	NIE	$\Delta = 79,5^{\circ}$			NIE	$\Delta = 63,8^{\circ}$	
	eP		19 56 34		eP		05 14 21
18.IX		Iran, USCGS: 27,9 ^o N,			e1		24
		54,3 ^o E, H = 20 ^h 43 ^m 53,8 ^s ,		19.IX	Iles Fidji, USCGS: 20,8 ^o S,		
		h = 18 km; mb = 5,9			178,4 ^o W, H = 07 ^h 02 ^m 13,2 ^s ,		
		(USCGS), MLH = 5,2 (Kra-			h = 590 km; mb = 5,3		
		kw)			(USCGS)		
	NIE	$\Delta = 33,6^{\circ}$			NIE	$\Delta = 148,0^{\circ}$	
	iP		20 50 36 C		eIPK ₁		07 20 50
	i		41		iPKP ₂		54
	i		51 36		i		59
	iPPP		52 11		KRA	$\Delta = 147,0^{\circ}$	
	KRA	$\Delta = 34,1^{\circ}$			(SKM)	iPKP ₁	07 20 52 C
	(SKM)			20.IX	Région des Iles Tonga,		
	(GW)				USCGS: 17,2 ^o S, 172,7 ^o W,		
	eIS		56 12		H = 06 ^h 38 ^m 00,1 ^s ; h =		
	eSS		58 16		= 35 km; mb = 4,6 (USCGS)		
	eL		21 07,7		NIE	$\Delta = 146,9^{\circ}$. Traces	
	Im		10 50		ePKP		06 57 39
		NE: 13 ^s ; 2,4 μ ; 1,4 μ		20.IX	Iles Kermadec, USCGS:		
	RAC	$\Delta = 35,1^{\circ}$			28,0 ^o S, 176,6 ^o W, H = 17 ^h		
	(SK)				32 ^m 07,7 ^s , h = 75 km; mb =		
	eIP		20 50 42		= 5,0 (USCGS)		
	e1		53		NIE	$\Delta = 155,0^{\circ}$	
19.IX		Turquie, USCGS: 38,5 ^o N,			ePKP ₁		17 51 59
		42,7 ^o E, H = 02 ^h 03 ^m 38,7 ^s ,			ePKP ₂		52 22
		h = 34 km; mb = 4,9					
		(USCGS)		20.IX	Iles Kouriles, USCGS:		
	NIE	$\Delta = 19,6^{\circ}$			44,8 ^o N, 150,3 ^o E, H = 20 ^h		
	eP		02 08 03		32 ^m 40,9 ^s , h = 35 km; mb =		
	e1		07		= 4,7 (USCGS)		
19.IX		Région des Iles Loyauté,			KRA	$\Delta = 75,6^{\circ}$	
		USCGS: 23,3 ^o S, 170,5 ^o E,					
		H = 03 ^h 36 ^m 53,7 ^s , h =					
		= 33 km; mb = 4,9 (USCGS)					

Date	Station	Phase	G.M.T. h m s	Date	Station	Phase	G.M.T. h m s
20.IX (suite)	KRA (SKM)	eIP	20 44 27 C	22.IX	NIE	$\Delta = 38,3^{\circ}$. Traces	
		epP	41		eP		04 58 27
	NIE	$\Delta = 75,7^{\circ}$		22.IX		Proche	
	eIP		20 44 29		NIE	Traces	
	ePoP		37		eNEZ		12 14 25,5
20.IX		Mer du Groenland, USCGS:		22.IX		Proche	
		73,4 ^o N, 7,7 ^o E, H = 23 ^h 06 ^m			NIE	Traces	
		39 ^s , h = 33 km; mb = 4,3			e ₂		15 00 38,5
		(USCGS)		22.IX		Japon, USCGS: 29,4 ^o N,	
	NIE	$\Delta = 24,5^{\circ}$				142,0 ^o E, H = 18 ^h 20 ^m 46,0 ^s ,	
	eP		23 11 58			h = 44 km; mb = 4,7 (USCGS)	
	epP		12 07		NIE	$\Delta = 85,8^{\circ}$	
20.IX		Birmanie-Chine, USCGS:			eP		18 33 24
		24,2 ^o N, 97,7 ^o E, H = 23 ^h			epP		43
		37 ^m 20,0 ^s , h = 15 km; mb =		22.IX		Région des Iles Tonga,	
		= 5,1 (USCGS)				USCGS: 17,0 ^o S, 172,8 ^o W,	
	NIE	$\Delta = 63,8^{\circ}$. Traces				H = 21 ^h 35 ^m 12,9 ^s , h = 33 km;	
	eIP		23 47 54,7			mb = 4,4 (USCGS)	
	e1		48 10		KRA	$\Delta = 145,0^{\circ}$	
21.IX		Mer du Groenland, USCGS:			(SKM)	ePKP ₁	21 54 51
		73,2 ^o N, 7,0 ^o E, H = 00 ^h 26 ^m				eIPK ₂	54
		29 ^s , h = 33 km; mb = 4,2				e1	55 08
		(USCGS)			NIE	$\Delta = 146,0^{\circ}$	
	NIE	$\Delta = 24,5^{\circ}$. Traces			ePKP		21 54 53
	eP		00 31 49		e1		55 09
22.IX		Au l'Est de Kamtohatka,			RAC	$\Delta = 145,7^{\circ}$	
		USCGS: 52,7 ^o N, 159,5 ^o E,			(SK)	ePKP	21 54 53
		H = 00 ^h 04 ^m 29,5 ^s , h =		22.IX		Est de la Chine, USCGS:	
		= 71 km; mb = 5,2 (USCGS)				26,2 ^o N, 104,5 ^o E, H = 21 ^h	
	KRA	$\Delta = 71,5^{\circ}$. Traces				54 ^m 14,4 ^s , h = 22 km; mb =	
	(Ch)		00 15 48			= 5,1 (USCGS)	
	NIE	$\Delta = 71,8^{\circ}$			NIE	$\Delta = 66,5^{\circ}$	
	eP		00 15 50		eP		22 05 09
	ePoP		16 10		ePoP		31
22.IX		Japon, USCGS: 37,3 ^o N,		23.IX		Iles Kouriles, USCGS:	
		138,6 ^o E, H = 04 ^h 15 ^m 30,6 ^s ,				44,7 ^o N, 150,4 ^o E, H = 01 ^h	
		h = 52 km; mb = 4,8				29 ^m 46,6 ^s , h = 28 km; mb =	
		(USCGS)				= 5,3 (USCGS)	
	NIE	$\Delta = 77,5^{\circ}$			KRA	$\Delta = 75,8^{\circ}$	
	eIP		04 27 25		(SKM)	eIP	01 41 34 C
	ePoP		40		(GW)	eIPoP	41
22.IX		Région frontiere, Afgha-				eSKS	51 31
		nistan-URSS; USCGS: 37,4 ^o N,				eL	02 17,5
		71,7 ^o E, H = 04 ^h 51 ^m 12,8 ^s ,			NIE	$\Delta = 75,8^{\circ}$	
		h = 140 km; mb = 4,7 (USCGS)			eP		01 41 38 C
					ePoP		52

Date	Station	Phase	G.M.T. h m s	Date	Station	Phase	G.M.T. h m s
23.IX (suite)	RAC (SKM)	$\Delta = 76,1^\circ$ eP ePoP	01 41 38 48	24.IX	KRA (SKM)	$\Delta = 34,7^\circ$ 1P e1 e1PP	10 07 33 C 38 08 56
23.IX		Kantohatka, USCGS: 52,9°N, 159,8°E, H = 02 ^h 07 ^m 01,7 ^s , h = 58 km; mb = 4,7 (USCGS)			RAC (SKM)	$\Delta = 35,7^\circ$ eP	10 07 45
	NIE	$\Delta = 71,7^\circ$ e1P epP	02 18 24 D 42	24.IX		Région des Iles Loyauté, USCGS: 22,4°S, 171,7°E, H = 16 ^h 48 ^m 30,7 ^s , h = = 115 km; mb = 5,2 (USCGS)	
23.IX		Local			NIE	$\Delta = 114,0^\circ$ 1PP e1	17 07 54 08 36
	NIE	ePg _{NEZ} e1 _{NEZ}	09 00 26,5 43,5	24.IX		Grèce, USCGS: 38,2°N, 22,1°E, H = 20 ^h 21 ^m 17,7 ^s , h = 66 km; mb = 4,2 (USCGS)	
23.IX		Mer Méditerranée, au Sud de la Crête, BCIS: 34,0°N, 26,4°E, H = 20 ^h 40 ^m 51 ^s			NIE	$\Delta = 11,4^\circ$. Traces eP ePPP	20 24 04 17
	NIE	$\Delta = 16,0^\circ$. Traces eP ePP	20 44 38 48	25.IX		Mexique, USCGS: 18,3°N, 100,8°W, H = 06 ^h 02 ^m 28,4 ^s , h = 79 km; mb = 5,5 (USCGS), M = 5½ (Pasadena), mPV = = 5,8 (Niedzica)	
	KRA (SKM)	$\Delta = 16,7^\circ$ e1P e1PP	20 44 48 D 45 01		RAC (SKM)	$\Delta = 93,0^\circ$ eP	06 15 37
23.IX		Traces			KRA (SKM)	$\Delta = 93,8^\circ$ 1P epP	06 15 40 D 16 01
	KRA (SKM)	eP e	21 59 54,5 22 00 10		NIE	$\Delta = 94,7^\circ$ 1P Z: 1 ^s ; 0,044 μ e1	06 15 44 D 48
23.IX		Grèce, USCGS: 38,7°N, 21,6°E, H = 23 ^h 47 ^m 58,2 ^s , h = 33 km; mb = 4,5 (USCGS)		25.IX		Hondo, Japon, USCGS: 39,8°N, 142,9°E, H = 06 ^h 10 ^m 35,9 ^s , h = 69 km; mb = 4,8 (USCGS)	
	NIE	$\Delta = 10,9^\circ$ eP ePP	23 50 39 47		NIE	$\Delta = 77,2^\circ$ eP ePoP	06 22 28 45
24.IX		Proche		26.IX		Région de Formose, USCGS: 22,3°N, 117,9°E, H = 04 ^h 22 ^m 51,8 ^s , h = 20 km; mb = = 5,0 (USCGS)	
	NIE	e1Pg _{NEZ} e _{NEZ} e1(Sg) _{NEZ} P	06 30 06,5 11,5 17,5 31 30		KRA (SKM)	$\Delta = 78,0^\circ$ e1P e1PoP	04 34 51 D 58
24.IX		Iran, BCIS: 27,3°N, 54,5°E, H = 10 ^h 00 ^m 41 ^s ; mb = 5,3 (USCGS)					
	NIE	$\Delta = 34,0^\circ$ eP i ei	10 07 30 44 08 25				

Date	Station	Phase	G.M.T. h m s	Date	Station	Phase	G.M.T. h m s	
26.IX		Région frontière Indie- -Chine, USCGS: 27,5°N, 92,6°E, H = 05 ^h 10 ^m 56,0 ^s , h = 19 km; mb = 5,5 (USCGS), MLH = 5,4 (Kra- ków)		28.IX		00 ^m 22,3 ^s , h = 27 km; mb = = 6,1 (USCGS)		
	KRA (SKM)	$\Delta = 58,4^\circ$ 1P (GW) epP ePP eS eL Lm	05 20 53 C 21 00 23 10 28 55 43,8 46 22		KRA (SKM)	$\Delta = 63,1^\circ$ eP e1pP ePoP ePP e1PPP eS e1PS ePPS eL Lm	14 10 50 C 58 11 33 13 13 44 19 25 35 49 35,3 37 22	
	RAC (SKM)	$\Delta = 59,5^\circ$ eP	05 21 01		(GW)	N: 20 ^s ; 38 μ E: 15 ^s ; 5,5 μ Lm	29	
26.IX		Proche			RAC (SKM)	$\Delta = 64,0^\circ$ eP	14 11 04	
	NIE	ePg _{NEZ} e _{NEZ} e _{NEZ}	15 46 05 12 34	29.IX		Région des Iles Fidji, USCGS: 19,9°S, 176,3°W, H = 02 ^h 44 ^m 19,2 ^s , h = = 246 km; mb = 5,0 (USCGS)		
27.IX		Traces			KRA (SKM)	$\Delta = 147,1^\circ$ e1PKP ₁	03 03 35 D	
	KRA (SKM)	e(P) e1	03 57 48 58 10		RAC (SKM)	$\Delta = 147,8^\circ$ ePKP ₁	03 03 38	
27.IX		Région du Spitzberg, USCGS: 76,3°N, 10,3°E, H = 15 ^h 06 ^m 49 ^s , h = 33 km; mb = 4,5 (USCGS)		20.IX		Ouzbékistan, URSS; BCIS: 38,9°N, 64,5°E, H = 05 ^h 59 ^m 48 ^s ; mb = 5,1 (USCGS), M = 5,8 (Uppsala)		
	KRA (Ch)	$\Delta = 26,7^\circ$. Traces eP	15 12 35		KRA (Ch)	$\Delta = 33,0^\circ$ e1P	06 06 29	
28.IX		Chine, Yunnan, USCGS: 27,5°N, 100,1°E, H = 14 ^h						
1966				O C T O B R E				1966
1.X		Proche		2.X		Nord-Est de la Chine, USCGS: 43,7°N, 125,1°E, H = 02 ^h 24 ^m 53,1 ^s , h = 7 km; mb = 4,7 (USCGS), MLH = = 5,6 (Kraków)		
	NIE	ePg _{NEZ} e1 _{NEZ} e _{NEZ} Lm P	12 29 39,6 41,9 57 30 16 31 00		KRA (GW)	$\Delta = 65,8^\circ$ eP eL Lm	02 35 48 03 01,3 02 07	
	KRA (Ch)	Traces e(Pg) _{NZ} e _{NZ} e _{NEZ}	12 29 51 30 01 13			N: 16 ^s ; 2,0 μ Lm E: 15 ^s ; 2,0 μ	14	

Date	Station	Phase	G.M.T. h m s	Date	Station	Phase	G.M.T. h m s
2.X		Région frontière Birmanie-Inde, USCGS: 24,4°N, 94,8°E, H = 04 ^h 31 ^m 49,9 ^s , h = 84 km; mb = 5,0 (USCGS)		2.X	RAC (SK)	ePn Lm NE: 2 ^s ; 2,0μ, 3,7μ	11 23 27 26,5
	NIE	Δ = 61,8°		5.X		République du Congo, USCGS: 0,2°N, 29,8°E, H = 08 ^h 34 ^m 37,5 ^s , h = 8 km; mb = 5,3 (USCGS)	
	eP		04 42 03		NIE	Δ = 49,7°	
	epP		24		eP		08 43 33
2.X	KRA (SKM)	Traces e(P) e1 e1	05 18 35 20 37 25 25		RAC (SK)	Δ = 50,8° eP	08 43 39
2.X		Iles Andreanov, Aléoutiennes, USCGS: 51,6°N, 174,6°W, H = 07 ^h 23 ^m 38,1 ^s , h = 58 km; mb = 5,1 (USCGS), M = 5½ (Moskva), MLH = 5,8 (Kraków)		6.X		Proche	
	KRA (GW)	Δ = 77,6° eP ePP eS eSKS ePS eL Lm Lm N: 22 ^s ; 5,0μ E: 20 ^s ; 3,8μ	07 35 40 38 26 45 15 37 52 08 08 10 24 32		NIE	Traces eZ eZ	04 19 21,0 41
	NIE	Δ = 5,6°		6.X		Local	
	iPn		11 23 08 D		NIE	Traces e(Pg)EZ eLNEZ	05 06 17,0 31,5
	e1		12	6.X		Région du Kamotchatka, USCGS: 51,4°N, 159,5°E, H = 13 ^h 48 ^m 31,8 ^s , h = 22 km; mb = 4,9 (USCGS)	
	ePg		38		NIE	Δ = 72,8° eP ePoP	14 00 06 20
	KRA (SKM)	Δ = 6,1°		7.X		Traces	
	iPP		11 23 14,5 D		KRA (GW)	e1P	16 02 33
	iP*		24	7.X		Région des Iles Loyauté, BCIS: 21,6°S, 170,6°E, H = 15 ^h 55 ^m 10,4 ^s , h = 160 km; mb = 6,3 (USCGS), M = 6½ (Pasadena), 6 (Moskva)	
	iPg		30		KRA (SKM)	Δ = 143,0° e1PKP epPKP e1PP ePKS e1SKKS eL Lm E: 10 ^s ; 1,0μ	16 14 25 C 15 12 17 36 55 24 17 35,7 37 49
	iSn		24 29				
	iS*		46				
	RAC	Δ = 7,2°					

Date	Station	Phase	G.M.T. h m s	Date	Station	Phase	G.M.T. h m s
7.X (suite)	KRA	Lm	16 37 53	8.X		Région des Iles Fidji, USCGS: 16,5°S, 177,3°W, H = 02 ^h 34 ^m 11,2 ^s , h = 16 km; mb = 4,8 (USCGS)	
	RAC (SK)	Δ = 144,0° e1PKP	16 14 26		RAC (SK)	Δ = 144,0° ePKP ₁ ePKP ₂	02 53 41 49
		N: 10 ^s ; 4,3μ Z: 1 ^s ; 1,4μ			NIE	Δ = 144,0° ePKP ₁ ePKP ₂	02 53 46 50
7.X		Sud de l'Alaska, USCGS: 61,7°N, 150,1°W, H = 20 ^h 55 ^m 56,4 ^s , h = 57 km; mb = 5,6 (USCGS), M = 5½ (Moskva)			KRA (SKM)	Δ = 143,5° ePKP ₁ ePKP ₂	02 53 49 C 56
	RAC (SK)	Δ = 67,8° eP	21 06 52	8.X		Région de l'Ile Kodiak, USCGS: 57,7°N, 151,6°W, H = 03 ^h 06 ^m 44,8 ^s , h = 20 km; mb = 4,9 (USCGS)	
	KRA (SKM)	Δ = 67,7° iP e1pP ePoP	21 06 53 D 07 08 15		NIE	Δ = 72,5° eP epP ePoP	03 18 15 21 33
	NIE	Δ = 68,1° iP e1pP ePoP	21 06 57 D 07 12 22		KRA (GW)	Δ = 71,5° Traces eL Lm NE: 14 ^s ; 1,2μ, 1,0μ	03 49,8 04 02 02
8.X		Région des Iles Fidji, USCGS: 16,6°S, 177,4°W, H = 00 ^h 12 ^m 16,2 ^s , h = 18 km; mb = 5,5 (USCGS), M = 6,6-6,9 (Berkeley)		8.X		Traces	
	KRA (GW)	Δ = 143,5° ePKP eL Lm N: 22 ^s ; 5,0μ	00 31 45 01 27,8 31 59		NIE	e1P	04 10 01,3 C
	RAC (SK)	Δ = 144,0° ePKP	00 31 49	8.X		Proche	
	NIE	Δ = 144,0° ePKP	00 31 49		NIE	iPg ₂ e(Pg)NE e1NZ eNEZ e1SgNEZ P	07 02 46,1 C 46,3 50,0 58,8 03 01,0 04 20
8.X		Iles Tonga, USCGS: 19,4°S, 175,2°W, H = 02 ^h 21 ^m 58,3 ^s , h = 75 km; mb = 5,1 (USCGS)		8.X		Frès de la côte E de Hondo, Japon, USCGS: 35,4°N, 140,2°E, H = 12 ^h 02 ^m 08,8 ^s , h = 65 km; mb = 4,9 (USCGS)	
	NIE	Δ = 147,5° ePKP ₁ e1PKP ₂ e1	02 41 11 14 31		NIE	Δ = 79,6° eP	12 14 14
	KRA (SKM)	Δ = 147,0° e1PKP	02 41 13 D	8.X		Région des Iles Fidji, USCGS: 15,6°S, 177,8°W, H = 14 ^h 43 ^m 55,2 ^s , h = 435 km; mb = 4,8 (USCGS)	
	RAC (SK)	Δ = 147,5° ePKP	02 41 15				

Date	Station	Phase	G.M.T. h m s	Date	Station	Phase	G.M.T. h m s
8.X (suite)	NIE	$\Delta = 143,5^\circ$ e1PKP ₁ ePKP ₂	15 02 37 43	9.X	RAC (SK)	$\Delta = 38,5^\circ$ eP	06 56 06
8.X		Iles Aléoutiennes, USCGS: 51,7°N, 173,9°W, H = 17 ^h 43 ^m 54,9 ^s , h = 26 km; mb = = 5,2 (USCGS), M = 5½ (Moskva)		9.X		Soudan, réplique du pré- cédent, BCIS: 12,9°N, 30,7°E, H = 10 ^h 28 ^m 25 ^s ; ML = = 4,7 (Moxa)	
	KRA (SKM)	$\Delta = 77,2^\circ$ eP ePoP	17 55 52 56 13		NIE	$\Delta = 38,0^\circ$. Traces eP	10 35 41
	NIE	$\Delta = 77,6^\circ$ eP ePoP	17 55 55 56 11		KRA (SKM)	$\Delta = 38,5^\circ$ eP ePP	10 35 47 37 18
8.X		Près de la côte du Vénézu- éla, USCGS: 10,7°N, 62,6°W, H = 19 ^h 39 ^m 40,8 ^s , h = 93 km; mb = 4,7 (USCGS)			(GW)	eL	47,3
	NIE	$\Delta = 76,8^\circ$. Traces eP	19 51 28	9.X		Local	
9.X		Région des Iles Fidji, USCGS: 17,9°S, 178,2°W, H = 02 ^h 06 ^m 35,7 ^s , h = = 642 km; mb = 4,8 (USCGS)			NIE		
	KRA (SKM)	$\Delta = 144,5^\circ$ 1PKP ₁ ePKP ₂	02 25 02 C 04		e1P _{NEZ} 1S _{NEZ} P		15 48 48 53 49 20
	NIE	$\Delta = 145,0^\circ$ ePKP ₁ 1PKP ₂ e1 i	02 25 03 04 19 57	10.X		Local	
	RAC (SK)	$\Delta = 145,5^\circ$ ePKP	02 25 04		NIR	e1P _{NEZ} e1P _{ZZ} P	15 50 58,0 D 59,0 51 00,5 05,0 06,5 28
9.X		Soudan, BCIS: 12,9°N, 30,7°E, H = 06 ^h 48 ^m 40 ^s ; ML = 5,7 (Moxa), M = 5½ (Moskva)		10.X		Péninsule de l'Alaska, USCGS: 57,4°N, 136,1°W, H = 21 ^h 17 ^m 34,6 ^s , h = 33 km; mb = 4,8 (USCGS)	
	NIE	$\Delta = 38,0^\circ$ 1P	06 55 58 D		NIE	$\Delta = 71,0^\circ$. Traces e1P	21 28 56
	KRA (SKM)	$\Delta = 38,5^\circ$ 1P e1PP	06 56 02 57 45	11.X		Région des Iles Salomon, USCGS: 15,8°S, 172,9°W, H = 23 ^h 58 ^m 25,1 ^s , h = 40 km; mb = 4,6 (USCGS)	
	(GW)	e1S eL Lm	07 01 59 06 43 08 57		NIE	$\Delta = 145,0^\circ$. Traces ePKP ₁ ePKP ₂ epPKP ₁	00 17 59 18 06 23
		ME: 9 ^s ; 7 ^s ; 2,2 μ , 1,3 μ		11.X		Traces eP	02 57 30,5

Date	Station	Phase	G.M.T. h m s	Date	Station	Phase	G.M.T. h m s
11.X (suite)	NIE	$\Delta = 116,2^\circ$. Traces ePKP	06 44 36	12.X		$\Delta = 157,5^\circ$. Traces ePKP ₁	04 42 12
	KRA (SKM)	$\Delta = 116,7^\circ$ ePKP ePP eL	06 44 38 45 38 07 29,5		KRA (SKM)	$\Delta = 156,5^\circ$ ePKP ₂	04 42 24
11.X		Szechwan, Chine, USCGS: 28,0°N, 103,8°E, H = 10 ^h 06 ^m 20,7 ^s , h = 36 km; mb = = 5,0 (USCGS)		13.X		Golfe de l'Alaska, USCGS: 59,5°N, 145,2°W, H = 02 ^h 15 ^m 45,2 ^s , h = 10 km; mb = = 5,0 (USCGS)	
	NIE	$\Delta = 65,0^\circ$ eP epP	10 17 02 11		NIE	$\Delta = 70,0^\circ$. Traces eP	02 27 03
11.X		Lugon, Philippines, USCGS: 14,0°N, 120,7°E, H = 12 ^h 06 ^m 18,9 ^s , h = 102 km; mb = = 5,1 (USCGS)		13.X		Iles Rats, Aléoutiennes, USCGS: 51,7°N, 176,2°E, H = 18 ^h 44 ^m 25 ^s , h = 33 km; mb = 4,7 (USCGS)	
	NIE	$\Delta = 85,8^\circ$. Traces e1P	12 18 50		NIE	$\Delta = 76,3^\circ$. Traces eP	18 56 01
11.X		Région des Iles Kermadec, USCGS: 32,6°S, 178,7°W, H = 20 ^h 40 ^m 39,8 ^s ; mb = 5,0 (USCGS)			KRA (SKM)	$\Delta = 76,5^\circ$. Traces e ePS eL Lm	18 56 41 19 06 35 30,7 36 17
	NIE	$\Delta = 158,0^\circ$. Traces ePKP ₁ ePKP ₂	21 00 34 01 04		(GW)	eL Lm	30,7 36 17
12.X		Au Sud de l'île Timor, USCGS: 12,0°S, 121,7°E, H = 00 ^h 06 ^m 38,8 ^s , h = = 33 km; mb = 5,6 (USCGS)				E: 18 ^s ; 3,6 μ Lm N: 15 ^s ; 1,8 μ	25
	NIE	$\Delta = 106,5^\circ$ ePd1f ePP	00 20 52 25 20	14.X		Sinkiang, Chine, USCGS: 36,4°N, 87,4°E, H = 01 ^h 04 ^m 43,8 ^s , h = 25 km; mb = = 5,3 (USCGS), MLH = 5,6 (Kraków)	
	KRA (GW)	$\Delta = 106,7^\circ$ ePP eSKS eS ePS eL	00 25 19 31 29 32 49 34 33 01 02,2		NIE	$\Delta = 49,0^\circ$ 1P i e1PoP	01 13 33 D 37 53
12.X		Traces eP	00 36 39,5		KRA (SKM)	$\Delta = 49,1^\circ$ e1P i	01 13 33 D 38
12.X		Iles Kermadec, USCGS: 31,3°S, 177,7°W, H = 04 ^h 22 ^m 17,7 ^s , h = 41 km; mb = = 5,1 (USCGS)			(GW)	ePP eS ePS eL Lm	15 27 20 33 49 31,7 35 30
						NE: 9 ^s ; 1,9 μ , 1,5 μ	
					RAC (SK)	$\Delta = 50,0$ eP	01 13 40
				14.X		Sinkiang, Chine, USCGS: 39,4°N, 80,1°E, H = 01 ^h	

Date	Station	Phase	G.M.T. h m s	Date	Station	Phase	G.M.T. h m s
14.X (suite)		11 ^m 52,0 ^s , h = 33 km; mb = 4,7 (USCGS)		15.X	RAC (SK)	$\Delta = 7,2^\circ$ ePn ePP	07 01 02 11
	NIE	$\Delta = 42,5^\circ$ e1P 01 19 51 epP 58 ePoP 20 13		15.X		Japon, USCGS: 41,8 ^o N, 143,0 ^o E, H = 18 ^h 00 ^m 06,3 ^s , h = 52 km; mb = 5,1 (USCGS)	
14.X		Détroit de Mona, USCGS: 19,2 ^o N, 67,8 ^o W, H = 01 ^h 49 ^m 28,5 ^s , h = 47 km; mb = 4,6 (USCGS)			KRA (SKM)	$\Delta = 75,4^\circ$ 1P 18 11 49 C e1pP 12 00	
	NIE	$\Delta = 74,3^\circ$. Traces e1P 02 01 06		16.X		Pakistan, USCGS: 30,0 ^o N, 68,6 ^o E, H = 09 ^h 26 ^m 37,8 ^s ; M = 5 $\frac{1}{2}$ (Moskva)	
14.X		Iles Tonga, USCGS: 15,1 ^o S, 173,4 ^o W, H = 02 ^h 32 ^m 32,1 ^s , h = 33 km; mb = 5,0 (USCGS)			KRA (GW)	$\Delta = 41,2^\circ$ eP 09 34 24 1PoP 36 22 eS 40 42 eL 52,3	
	NIE	$\Delta = 144,0^\circ$. Traces ePKP 02 52 06		17.X		Au Sud des Iles Fidji, USCGS: 23,6 ^o S, 179,9 ^o E, h = 550 km; mb = 4,8 (USCGS), H = 07 ^h 30 ^m 11,4 ^s	
14.X					NIE	$\Delta = 149,0^\circ$ 1PKP ₁ 07 49 00 D 1PKP ₂ 08	
	NIE			17.X		Iles Santa Cruz, USCGS: 11,0 ^o S, 166,8 ^o E, H = 10 ^h 15 ^m 38,7 ^s , h = 35 km; M = = 5 $\frac{1}{4}$ (Pasadena)	
14.X		Proche			KRA (GW)	$\Delta = 132,3^\circ$. Traces ePP 10 37 30 ePKS 38 32 eL 11 23,5	
	NIE	e(Pg) ₂ 14 44 12,4 e ₂ 32			NIE	$\Delta = 132,6^\circ$. Traces ePKP 10 34 56	
15.X		Région de Vrancea, Roumanie, BCIS: 45,6 ^o N, 26,5 ^o E, H = = 06 ^h 59 ^m 19 ^s , h = 170 km ca		17.X		Iles Tonga, USCGS: 21,2 ^o S, 175,6 ^o W, H = 14 ^h 41 ^m 07 ^s , h = 225 km; mb = 4,6 (USCGS)	
	NIE	$\Delta = 5,7^\circ$ 1Pn 07 00(40) D			NIE	$\Delta = 149,0^\circ$ e1PKP 15 00 32 D	
	KRA (SKM)	$\Delta = 6,2^\circ$ 1Pn 07 00 49 D 1PP 57 ePPP 01 08 e1Pg 18 eSn 56 eSS 02 10 eS* 18 eSg 30		17.X		Au Sud des Iles Fidji, USCGS: 22,4 ^o S, 179,2 ^o E, H = 18 ^h 20 ^m 07,9 ^s , h = = 634 km; mb = 5,3 (USCGS)	
					KRA	$\Delta = 148,0^\circ$	

Date	Station	Phase	G.M.T. h m s	Date	Station	Phase	G.M.T. h m s
17.X (suite)	KRA (SKM)	1PKP ₁ e1PKP ₂ (GW) ePP	18 38 44 D 49 42 26	18.X		Au Sud des Iles Fidji, USCGS: 23,3 ^o S, 179,2 ^o E, H = 04 ^h 03 ^m 13,6 ^s , h = 585 km; mb = 4,9 (USCGS)	
	NIE	$\Delta = 148,3^\circ$ ePKP ₁ 18 38 40 ePKP ₂ 46 e 39(53) epPKP 41 12			NIE	$\Delta = 149,3^\circ$ ePKP ₁ 04 21(53) i 58	
	RAC (SK)	$\Delta = 148,5^\circ$ ePKP ₁ 18 38 46			RAC (SK)	$\Delta = 149,5^\circ$ ePKP ₁ 04 22 00 e1 06	
17.X		Près de la côte du Pérou, USCGS: 10,7 ^o S, 78,8 ^o W, H = 21 ^h 41 ^m 54,7 ^s , h = = 24 km; M = 7 $\frac{1}{2}$ (Pasa- dena), MLH = 8,0 (Niedzi- oa, Racibórz), 7,8 (Kra- ków)		18.X		Iles Tonga, USCGS: 15,1 ^o S, 174,2 ^o W, H = 22 ^h 27 ^m 35,6 ^s , h = 120 km; mb = 5,3 (USCGS)	
	KRA (SKM)	$\Delta = 103,7^\circ$ eP 21 55 56 C (GW) e1pP 56 08 e1PP 22 00 18 e1PPP 02 52 e1PKS 04 06 e1SKS 06 38 Im 44,5 NE: 18 ^s ; 19 ^s ; 150 μ , 255 μ			NIE	$\Delta = 143,8^\circ$. Traces ePKP 22 46 57	
	NIE	$\Delta = 104,0^\circ$ e1P 21 55 58 C epP 56 03 e1 13 i 25 e1 59 16 ePP 22 00 24 i 03 10 e1SKS 06 50 Im 46 49 E: 18 ^s ; 380 μ Im 47 33 N: 18 ^s ; 200 μ		19.X		Kazakhstan, URSS; BCIS: 50,0 ^o N, 78,0 ^o E, H = 03 ^h 58 ^m 00 ^s ; M = 6,1 (Uppsala)	
					KRA (SKM)	$\Delta = 36,2^\circ$ 1P 04 05 07 C e 06 19 e1PP 29 ePoP 07 30	
					NIE	$\Delta = 36,2^\circ$ 1P 04 05 08 C i 14 e1 06 00 e1 18	
	RAC (M)	$\Delta = 102,5^\circ$ eP 21 56 00 epP 10 ePP 22 00 02 eL 30 Im 40 NE: 20 ^s ; 400 μ , 234 μ		19.X		Au Nord de Ile Ascension, USCGS: 1,5 ^o S, 15,4 ^o W, H = = 08 ^h 01 ^m 33,8 ^s , h = 33 km; ML = 6 $\frac{1}{4}$ (Pasadena, USCGS), MLH = 7,2 (Racibórz), 7,1 (Kraków)	
					RAC (M)	$\Delta = 59,0^\circ$ eP 08 11 32 epP 50 1PoP 12 16 eL 30 Im 37 E: 14 ^s ; 85 μ Im 38 N: 14 ^s ; 100 μ	
					KRA (SKM)	$\Delta = 59,8^\circ$ e1P 08 11 36 D epP 50	

Date	Station	Phase	G.M.T. h m s	Date	Station	Phase	G.M.T. h m s
19.X (suite)	KRA (GW)	eIPPP eS eSoS Lm	08 15 20 19 46 21 22 36 40	20.X	KRA (SKM)	$\Delta = 6,9^\circ$ eSn eSS eSg	05 01 30 46 02 18
		N: 14^μ ; 92μ Lm	37 14	20.X		Proche	
		E: 11^μ ; 25μ			NIE	eP _{NEZ} eS _{NEZ} P	13 15 25,5 34 17 00
19.X		Près de la côte E de Kamchatka, USCGS: $51,2^\circ N$, $159,2^\circ E$, H = $19^h 25^m 38,4^s$, h = 29 km; mb = 4,5 (USCGS)			RAC (SK)	Traces NEZ	13 15-18
	NIE	$\Delta = 73,0^\circ$ eP epP	19 37 12 19	21.X		Grèce, BCIS: $39,6^\circ N$, $22,2^\circ E$, H = $16^h 17^m 03^s$; ML = = 4,0 (Athènes)	
19.X		Près de la côte E de Kamchatka, USCGS: $51,2^\circ N$, $159,0^\circ E$, H = $19^h 36^m 25,8^s$, h = 41 km; mb = 4,8 (USCGS)			NIE	$\Delta = 9,8^\circ$ eP	16 19 25
	KRA (SKM)	$\Delta = 72,8^\circ$ eIP eIP	19 47 52 55		KRA (GW)	$\Delta = 10,6^\circ$ eP eISg eL	16 19 37 22 34 24,1
	NIE	$\Delta = 73,0^\circ$ eIP epP ePoP	19 47 57 C 48 04 19	22.X		Région frontière Birmanie- -Inde, BCIS: $23,1^\circ N$, $94,4^\circ E$, H = $03^h 03^m 23,5^s$, h = 68 km; mb = 5,3 (USCGS)	
20.X		Région frontière Kaohemire- -Tibet, USCGS: $33,6^\circ N$, $78,6^\circ E$, H = $00^h 53^m 39,8^s$, h = 33 km; mb = 5,0 (USCGS), M = $5\frac{1}{2}$ (Moskva)			NIE	$\Delta = 62,5^\circ$ IP eI eIP ePoP	03 13 43 D 58 14 14 24
	NIE	$\Delta = 45,0^\circ$ eP epP ePoP	01 01 56 02 01 03 38		KRA (SKM)	$\Delta = 62,6^\circ$ eP	03 13 44
	KRA (SKM)	$\Delta = 45,3^\circ$ eP ePP eL	01 01 57 03 42 18,1	22.X		Région frontière Yougosla- vie-Bulgarie, BCIS: $41,9^\circ N$, $23,2^\circ E$, H = $05^h 38^m 24^s$	
20.X		Yougoslavie, région de Mostar, BCIS: $43\frac{1}{4}^\circ N$, $17\frac{1}{4}^\circ E$, H = $04^h 58^m 24^s$			NIE	$\Delta = 7,8^\circ$. Traces ePn	05 40 19
	NIE	$\Delta = 65,0^\circ$. Traces ePn eP* eSg	05 00 08 22 02 04	22.X		Proche	
					NIE	eP _{NEZ} eIS _{NEZ} eI _{NEZ} P	08 59 22,6 39 49,6 09 02 30

Date	Station	Phase	G.M.T. h m s	Date	Station	Phase	G.M.T. h m s
22.X		Proche		23.X		Près de la côte E de Kamchatka, USCGS: $51,2^\circ N$, $159,2^\circ E$, H = $12^h 15^m 16,8^s$, h = 22 km; mb = 4,8 (USCGS), M = 5 (Moskva)	
	NIE	eP _{NEZ} e _Z eI(Sg) _{NEZ} P	11 58 35,0 39,0 45,5 12 00 00		KRA (SKM)	$\Delta = 72,3^\circ$ eIP	12 26 48 D
22.X		Près de la côte E de Kamchatka, USCGS: $55,2^\circ N$, $162,0^\circ E$, H = $12^h 47^m 18,2^s$, h = 59 km; mb = 5,5 (USCGS)			NIE	$\Delta = 73,0^\circ$ eIP ePoP	12 26(51) 27 09
	KRA (SKM)	$\Delta = 69,0^\circ$ eIP eIPoP	12 58 28 C 42	24.X		Région frontière Iran-URSS, BCIS: vers $37,4^\circ N$, $59,6^\circ E$, H = $14^h 31^m 15,0^s$, h = 14 km, mb = 5,2 (USCGS)	
	NIE	$\Delta = 70,2^\circ$ eIP eIPoP eI	12 58 32 48 59 05		NIE	$\Delta = 30,5^\circ$ eIP eI	14 37 31 37
23.X		Ouest du Pakistan, USCGS: $29,9^\circ N$, $68,2^\circ E$, H = $00^h 00^m$ $00,9^s$, h = 20 km; mb = 4,6 (USCGS)		24.X		Proche	
	NIE	$\Delta = 40,6^\circ$ eIP eI	00 07 45 C 57		KRA (SKM)	eIP _{ZZ}	15 20 14,8
23.X		Kamchatka, USCGS: $51,0^\circ N$, $159,2^\circ E$, H = $07^h 09^m 20,3^s$, h = 35 km; mb = 5,2 (USCGS), M = $5\frac{1}{2}$ (Moskva), MLH = 5,9 (Kraków)			NIE	Traces eIP _{ZZ}	15 20 18,1
	KRA (GW)	$\Delta = 73,0^\circ$ eIP ePoP eSKS eSoS eSS eL Lm	07 20 52 C 21 10 30 54 31 00 35 02 52,1 57 06	24.X		Région des Iles Riou-Kiou, USCGS: $24,7^\circ N$, $127,6^\circ E$, H = $18^h 45^m 49,6^s$, h = 40 km; mb = 5,0 (USCGS), M = $4\frac{1}{2}$ (Moskva)	
		E: 12^μ ; $1,2\mu$ Lm	23		NIE	$\Delta = 81,8^\circ$. Traces eP	18 58 08
	NIE	$\Delta = 73,2^\circ$ eIP eIP eI	07 20 54 C 59 21 59	25.X		Ouest du Pakistan, USCGS: $30,0^\circ N$, $68,9^\circ E$, H = $10^h 07^m$ $01,0^s$, h = 26 km; mb = 5,2 (USCGS), M = $5\frac{1}{2}$ (Moskva)	
23.X					NIE	$\Delta = 41,0^\circ$ IP eI eI	10 14 47 C 2: 1^μ ; $0,026\mu$ 53 15 08
	NIE	$\Delta = 41,5^\circ$. Traces eP e	10 14 48 55	25.X		Japon, USCGS: $36,7^\circ N$, $138,2^\circ E$, H = $18^h 04^m 09,1^s$, h = 13 km; mb = 5,3 (USCGS), M = 5 (Moskva)	
					KRA (SKM)	$\Delta = 41,5^\circ$. Traces eP e	10 14 48 55
				25.X		Japon, USCGS: $36,7^\circ N$, $138,2^\circ E$, H = $18^h 04^m 09,1^s$, h = 13 km; mb = 5,3 (USCGS), M = 5 (Moskva)	
					NIE	eP	07 54 01

Date	Station	Phase	G.M.T. h m s	Date	Station	Phase	G.M.T. h m s
25.X (suite)	KRA (SKM)	$\Delta = 77,6^\circ$ eIP eI	18 16 09 16	27.X	KRA	eS eIL Im	06 08 31 12 27 16 56
	NIE	$\Delta = 77,6^\circ$ eIP ePoP	18 16 10 C 21			NE: 9° ; $11,0\mu$, $4,6\mu$	
26.X		Proche			RAC (SK)	$\Delta = 27,5^\circ$ 1P i 1PP ISS	06 03 54 04 00 23 41 06 41
	KRA (SKM)	e(Pg) _{NEZ} e(Sg) _{NEZ}	12 41 55,7 42 01		NIE	$\Delta = 28,0^\circ$ 1P	06 03 55 D
	NIE	Traces ePg _{NEZ}	12 42 02,5	27.X	NIE		
26.X		Proche				eIP	06 36 14,6
	NIE	ePg _Z	13 03 55	27.X		Pacifique du Nord, USCGS: 22,2 ^o N, 145,9 ^o E, H = 14 ^h 21 ^m 04,8 ^s , h = 29 km; mb = = 6,0 (USCGS), M = 6-6 ¹ / ₄ (Pasadena)	
26.X		Nouvelles Hébrides, USCGS: 18,4 ^o S, 167,6 ^o E, H = 18 ^h 28 ^m 53,9 ^s , h = 34 km; mb = = 5,4 (USCGS)			KRA (GW)	$\Delta = 93,2^\circ$ eP eI eIPP eIS ePS ePPS eL Im	14 34 16 35 42 38 06 40 09 45 21 46 37 47 10 15 08 13 38
	NIE	$\Delta = 139,5^\circ$ ePKP	18 48 18			E: 10° ; 1μ N: 15° ; $4,6\mu$	
26.X		Mer Méditerranée, à l'Est de la Crète, BCIS: 35,1 ^o N, 27,0 ^o E, H = 19 ^h 31 ^m 24 ^s			NIE	$\Delta = 93,8^\circ$ eIP ePP	14 34 20 D 38 07
	NIE	$\Delta = 15,2^\circ$ eP ePPP	19 35 04 22		RAC (SK)	$\Delta = 94,0^\circ$ eP	14 34 24
26.X		Iles Philippines, USCGS: 13,6 ^o N, 121,2 ^o E, H = 20 ^h 09 ^m 36,9 ^s , h = 55 km; mb = = 5,0 (USCGS)		27.X	NIE		
	NIE	$\Delta = 86,5^\circ$ eP e	20 22 17 41			eP i	14 59 49 51
27.X		Région de la Nouvelle Zemble, BCIS: 73,5 ^o N, 53,5 ^o E, H = 05 ^h 58 ^m 00 ^s ; ML = 6,0 (Moxa, Strasbourg), 5,9 (Pruhonice), MLH = 5,8 (Kraków)			KRA (GW)	$\Delta = 27,5^\circ$ 1P ePP ePPP ePoP	06 03 50 C 04 36 45 07 07

Date	Station	Phase	G.M.T. h m s	Date	Station	Phase	G.M.T. h m s
27.X		Hokkaido, Japon, USCGS: 41,6 ^o N, 142,0 ^o E, H = 23 ^h 46 ^m 47,6 ^s , h = 71 km; mb = = 5,3 (USCGS)		28.X		159,2 ^o E, H = 17 ^h 35 ^m 07,5 ^s , h = 32 km; mb = 4,6 (USCGS)	
	KRA (SKM)	$\Delta = 75,0^\circ$ 1P ePoP	23 58 27 C 46		NIE	$\Delta = 73,6^\circ$ eIP ePoP	17 46 41 C 54
	NIE	$\Delta = 75,3^\circ$ 1P ePoP	23 58 29 C 42	28.X		Région des Ile Loyauté, USCGS: 22,6 ^o S, 170,9 ^o E, H = 23 ^h 24 ^m 14,4 ^s , h = 26 km; mb = 4,9 (USCGS)	
28.X		Iles Salomon, USCGS: 9,7 ^o S, 159,8 ^o E, H = 01 ^h 41 ^m 19,2 ^s , h = 36 km; mb = 5,6 (USCGS)			NIE	$\Delta = 144,5^\circ$. Traces ePKP	23 43 49
	NIE	$\Delta = 128,0^\circ$ ePKP	02 00 23	29.X		Près de la côte E de Kamtchatka, USCGS: 51,1 ^o N, 159,1 ^o E, H = 00 ^h 45 ^m 40,8 ^s , h = 43 km; mb = 4,9 (USCGS)	
28.X		Proche			KRA (GW)	$\Delta = 73,0^\circ$ eP eL	00 57 10 C 01 31,0
	NIE	e(Pg) _{NEZ} e(Sg) _{NE} e _{NEZ} e _{NEZ}	06 59 14 24 28 40		NIE	$\Delta = 73,0^\circ$ eIP eI	00 57 13 C 16
28.X		Local		29.X		Grèce, BCIS: 38,9 ^o N, 21,0 ^o E, H = 02 ^h 39 ^m 25 ^s ; M = 6-5 ¹ / ₄ (Strasbourg), ML = 5,8 (Moxa, Pruhonice)	
	NIE	eI(Pg) _{NEZ}	06 59 49		NIE	$\Delta = 10,4^\circ$ eIP 1PP 1PPP eISg	02 42 00 D 09 16 44 54
28.X		Local. Pruhonice, ePg 10 22 01, ISg 22 22,5			KRA (SKM)	$\Delta = 11,2^\circ$ eIP 1PPP	02 42 08 D 25
	NIE	ePg _{NEZ} i _{NEZ} e(Sg) _Z e _{NEZ} P	10 21 03,3 03,9 09 25,6 22 30		(GW)	IS i eI(L) Im	44 18 48 45 26 46 28
28.X		Japon, USCGS: 35,8 ^o N, 140,1 ^o E, H = 13 ^h 20 ^m 29,8 ^s , h = 74 km; mb = 5,2 (USCGS)				E: $7,0^\circ$; $19,5\mu$ N: $4,0^\circ$; $7,0\mu$	47 18
	NIE	$\Delta = 79,3^\circ$ eIP epP	13 32 32 C 53		RAC (SK)	$\Delta = 11,3^\circ$ eP ePPP eL Im	02 42 12 32 46,3 37
28.X		Local				E: 3° ; 15μ	40
	NIE	eIPg _Z e(Sg) _Z e _Z	14 29 13,7 20,0 30 20	28.X		Près de la côte E de Kamtchatka, USCGS: 51,1 ^o N,	

Date	Station	Phase	G.M.T. h m s	Date	Station	Phase	G.M.T. h m s
4.XI		Autriche, BCIS: 47,4°N, 11,4°E, H = 17 ^h 33 ^m 16 ^s		6.XI		H = 18 ^h 51 ^m 45 ^s ; M = 3,8 (Beograd)	
	RAC (SK)	Δ = 5,3°	17 36 02		KRA (SKM)	Δ = 7,9°	18 53 40
		eS*	11			eIPn	49
		eSg				ePP	
	KRA (Ch)	Δ = 6,2°	17 36 04	7.XI	KRA (SKM)	Traces	
		eSn	14			e	00 50 48
		eSS	31	7.XI		Local	
		e(S*)	42		NIE		
		eISg				e(Pg) _Z	07 31 04,0
5.XI		Proche				e _Z	06,5
	KRA (Ch)	Traces	12 01 13 C			Lm	07
		eIP ₆ NEZ				F	13
						Z: 0,8 ^m ; 0,015 ^μ	
5.XI		Iles Tonga, USCGS: 15,2°S, 175,1°W, H = 12 ^h 45 ^m 13,5 ^s , h = 33 km; mb = 5,5 (USCGS), M = 6-6½ (Pasadena), 6½ (Moskva)		7.XI		Proche	
	NIE	Δ = 143,5°	13 04 52		KRA (Ch)	Traces	12 46 30,6
		ePKP				eIP ₆ NEZ	
	KRA (SKM)	Δ = 143,0°	13 04 52	7.XI		Local	
		ePKP	14 00		NIE		
		eL				e(Pg) _Z	15 42 03,5
5.XI		Région des Iles Loyauté, USCGS: 22,6°S, 172,8°E, H = 13 ^h 42 ^m 07,5 ^s , h = 72 km; mb = 4,9 (USCGS)				e _Z	05
	NIE	Δ = 145,5°	14 01 37			F	15
		ePKP ₁	39	7.XI		Iles Tonga, USCGS: 15,3°S, 173,3°W, H = 17 ^h 37 ^m 39,9 ^s , h = 33 km; mb = 5,0 (USCGS)	
		ePKP ₂			NIE	Δ = 144,5°	
6.XI		Chine, USCGS: 39,9°N, 78,1°E, H = 01 ^h 28 ^m 53,8 ^s , h = 47 km; mb = 4,5 (USCGS), M = 4½ (Moskva)				ePKP	17 57 14
	NIE	Δ = 41,0°	01 36 37			epPKP	19
		eP			KRA (SKM)	Δ = 143,0°	17 57 14
6.XI		Iles Kouriles, USCGS: 45,4°N, 151,3°E, H = 03 ^h 50 ^m 09,4 ^s , h = 41 km; mb = 4,6 (USCGS)				ePKP	24
	NIE	Δ = 75,7°	04 01 57 D			epPKP	
		IP		7.XI		Proche	
6.XI		Frontière Albanie-Yougoslavie, BCIS: 42,2°N, 19,1°E,			NIE		
						e(Pg) _{NEZ}	22 56 18,5
						e _{NEZ}	42
						F	57 20
				8.XI		Iran, USCGS: 36,1°N, 50,8°E, H = 03 ^h 14 ^m 12,0 ^s , h = 38 km; mb = 5,0 (USCGS), M = 4½ (Moskva)	
					NIE	Δ = 25,5°	
						eP	03 19 42
						eI	47

Date	Station	Phase	G.M.T. h m s	Date	Station	Phase	G.M.T. h m s
8.XI (suite)	KRA (Ch)	Δ = 26,1°	03 19 46 D	10.XI		h = 113 km; mb = 6,0 (USCGS)	
8.XI		Local			KRA (SKM)	Δ = 113,0°	03 21 17
	NIE					ePKP	38
		e(Pg) _{NEZ}	08 30 38			epP	
		Lm	55	10.XI		Local	
		F	31 03		NIE		
8.XI		Iles Proches, Aléoutiennes, USCGS: 52,3°N, 173,1°E, H = 11 ^h 35 ^m 47,9 ^s , h = 41 km; mb = 4,9 (USCGS)				eP ₆ NEZ	06 48 01,3
						e _{NEZ}	09
						eL _{NEZ}	17
						Lm _{NEZ}	23
						F	36
	NIE	Δ = 75,2°	11 47 41	10.XI		Local	
		eP	51		NIE	Traces	
		ePoP				eP ₆ NEZ	16 26 08,0
8.XI		Traces				e _{NEZ}	10,5
	NIE		14 24 34			F	33
8.XI		Local		10.XI		Local	
	NIE		14 26 26		NIE		
		eIP				eP ₆ NEZ	16 28 22,5
9.XI		Proche				e(L) _{NEZ}	27,0
	NIE		06 59 46			F	47
		e(Pg) _Z	07 00 03,5	11.XI		Local	
		e _{NEZ}	12		NIE		
		Lm	01 00			eP ₆ NEZ	11 07 33,5
		F				eI _{NEZ}	35,0
		Z: 0,9 ^m ; 0,016 ^μ				Lm _{NEZ}	40
9.XI		Mer de Chine, USCGS: 26,9°N, 125,6°E, H = 11 ^h 26 ^m 24,2 ^s , h = 36 km; mb = 5,3 (USCGS)				F	46
				11.XI		Proche	
	NIE	Δ = 78,8°	11 38 28		NIE	Traces	
		eP	36			e(Pg) _{NEZ}	11 49 23
		ePoP				F	51 00
9.XI		Mer Ionienne, BCIS: 30,1°N, 20,4°E, H = 15 ^h 12 ^m 27 ^s		11.XI		Iles Fox, Aléoutiennes, USCGS: 52,2°N, 169,1°W, H = 15 ^h 31 ^m 04,3 ^s , h = 40 km; mb = 5,4 (USCGS), mPY = 5,3 (Niedzica)	
	KRA (GW)	Δ = 11,0°	15 15 03		NIE	Δ = 77,8°	
		eP	19			eIP	15 42 56 C
		ePP	29			Pm	58
		eSS	18,2			Z: 1 ^m ; 0,026 ^μ	
		eL	19 34			eIPoP	43 07
		Lm				ePP	46 07
		NE: 8 ^m ; 1 ^μ , 1,1 ^μ		10.XI		Argentine, USCGS: 31,9°S, 68,4°W, H = 03 ^h 02 ^m 37,7 ^s ,	
					KRA (SKM)	Δ = 77,0°	
						eP	15 42 59 C

Date	Station	Phase	G.M.T. h m s	Date	Station	Phase	G.M.T. h m s
16.XI	NIE	eP	23 15 06	18.XI	KRA (Ch)	Traces e1(Fg) _Z	15 01 20
16.XI	Iles Fox, Aléoutiennes, USCGS: 52,6°N, 169,5°W, H = 23 ^h 16 ^m 10,8 ^s , h = = 42 km; mb = 5,1 (USCGS)			18.XI	NIE	Proche e _{NEZ} e _{NEZ}	32 45
	KRA (SKM)	△ = 77,0° e1P	23 28 02 C	18.XI	NIE	Traces e _Z e	18 13 15 28
	NIE	△ = 77,5° e1P epP	23 38 06 16	18.XI	Mer du Groenland, USCGS: 73,4°N, 6,7°E, H = 18 ^h 48 ^m 44,5 ^s ; M = 5 ca (Moskva)		
17.XI	Local			KRA (Ch)	△ = 24,0° eP e1	18 54 00 C 15	
	NIE	eP _{NEZ} e _{NEZ} P	09 00 14 15 32	NIE	△ = 24,5° e1P 1 1PP e1PPP	18 54 04 C 18 34 50	
17.XI	Proche			18.XI	Crête médiane de l'Atlantique Nord, USCGS: 24,1°N, 46,3°W, H = 19 ^h 43 ^m 35,7 ^s , h = 33 km; mb = 4,8 (USCGS)		
	NIE	eP _{NEZ} P	13 41 14,9 55	KRA (SKM)	△ = 56,7°. Traces eP epP	19 53 19 31	
17.XI	Local			NIE	△ = 56,7° eP epP	19 53 21 33	
	NIE	e1P _{NEZ} e _{NEZ} L _{NEZ} P	14 31 45,4 48,4 53 32 10	19.XI	Près de la côte E de Hondo, Japon, USCGS: 37,5°N, 141,4°E, H = 05 ^h 19 ^m 55,2 ^s , h = 61 km; mb = 5,3 (USCGS)		
17.XI	Iles Kouriles, USCGS: 46,6°N, 153,7°E, H = 19 ^h 27 ^m 07,4 ^s , h = 41 km; mb = = 4,6 (USCGS), M = 4½ (Moskva)			KRA (SKM)	△ = 78,4°. Traces 1P ePoP	05 31 53 C 32 01	
	NIE	△ = 75,5° eP	19 38 53	19.XI	Mér Méditerranée, au Sud-Ouest de la Crête, BCIS: 34,9°N, 23,7°E, H = 07 ^h 12 ^m 39 ^s ; M = 5½-5¾ (Strasbourg), ML = 5,4 (Collm)		
18.XI	Proche			NIE	△ = 14,7° 1P ePP 1PPP eS eL	07 16 03 D 11 23 18 58 21,3	
	NIE	Traces eP _{NEZ} eL _{NEZ} P	14 11 17 43,5 12 25	18.XI	KRA (SK)	△ = 74,8°. Traces e1P ePoP	12 31 07 18
18.XI	Pruhonic: 1Pg		14 59 52	NIE	△ = 75,0° e1P ePoP e1pP	12 31 11 D 22 34	
	NIE	Traces eP _Z e _{NEZ}	15 00 56 01 47	22.XI	Mer d'Okhotsk, USCGS: 48,0°N, 146,8°E, H = 06 ^h 29 ^m 53,1 ^s , h = 452 km; M = = 6½-6¾ (Pasadena)		
	RAC (SK)	e _{NEZ}	15 01 00	KRA (SKM)	△ = 71,5° 1P	06 40 32 C	
				KRA (GW)	epP ePP	42 12 43 00	

Date	Station	Phase	G.M.T. h m s	Date	Station	Phase	G.M.T. h m s
19.XI (suite)	KRA (SKM) (GW)	△ = 15,3° e1P ePP ePPP eS eSS eSSS Lm	07 16 11 29 31 19 02 25 45 23 09	19.XI	KRA	e1 _{NEZ} e _{NEZ}	12 05 49,6 53,3
		E: 7 ^s ; 1,8 Lm	15	20.XI	Iles Salomon, USCGS: 6,6°S, 154,4°E, H = 04 ^h 21 ^m 44,6 ^s , h = 57 km; mb = 4,9 (USCGS)		
		N: 8 ^s ; 3,0μ		NIE	△ = 122,5° ePKP	04 40 33	
19.XI	Près de la côte E de Hondo, Japon, USCGS: 40,4°N, 142,7°E, H = 07 ^h 31 ^m 14,2 ^s , h = 41 km; mb = 4,9 (USCGS), M = 4¾ (Moskva)			20.XI	Iles Andreanov, Aléoutiennes, USCGS: 51,4°N, 176,5°W, H = 09 ^h 29 ^m 59,3 ^s , h = 54 km; mb = 5,3 (USCGS)		
	KRA (Ch)	△ = 76,3° eP ePoP	07 43 04 14	NIE	△ = 78,0°. Traces eP	09 42 06	
	NIE	△ = 76,5° eP e1PoP	07 43 06 20	20.XI	Océan Pacifique Sud, USCGS: 55,1°S, 129,4°W, H = 16 ^h 47 ^m 32,7 ^s , h = 33 km; mb = 5,0 (USCGS)		
19.XI	Birmanie, USCGS: 18,4°N, 95,3°E, H = 07 ^h 42 ^m 27,8 ^s , h = 53 km; mb = 5,3 (USCGS), mPV = 5,3 (Niedzica)			NIE	△ = 160,5°. Traces ePKP ₁ ePKP ₂	17 07 28 19 13 35 14 13	
	NIE	△ = 66,4° 1P Pm 1PoP	07 53 14 C 15 36	21.XI	Iles Kouriles, USCGS: 46,7°N, 152,5°E, H = 12 ^h 19 ^m 30,5 ^s , h = 66 km; mb = = 5,6 (USCGS)		
19.XI	Proche. Pruhonic: 1Pg		12 06 05	KRA (SKM)	△ = 74,8°. Traces e1P ePoP	12 31 07 18	
	NIE	e1P _{NEZ} e1 _{NEZ} Lm Lm P	12 05 29,7 36 52,2 54 07 15	NIE	△ = 75,0° e1P ePoP e1pP	12 31 11 D 22 34	
		N: 0,7 ^s ; 0,261μ EZ: 0,7 ^s ; 0,140μ, 0,093μ		22.XI	Mer d'Okhotsk, USCGS: 48,0°N, 146,8°E, H = 06 ^h 29 ^m 53,1 ^s , h = 452 km; M = = 6½-6¾ (Pasadena)		
	RAC (SK)	e _{NEZ}	12 05 32	KRA (SKM)	△ = 71,5° 1P	06 40 32 C	
	KRA (SKM)	e1P _{NEZ}	12 05 33	(GW)	epP ePP	42 12 43 00	

Date	Station	Phase	G.M.T. h m s	Date	Station	Phase	G.M.T. h m s
22.XI (suite)	KRA	eS	06 49 09	26.XI	NIE	$\Delta = 29,5^\circ$	
		ePS	36			eP	03 29 50
		eSKS	47	26.XI		Proche	
	NIE	$\Delta = 71,8^\circ$			NIE	e(Pg) ₂	09 38 35
		1P	06 40 34 C	26.XI		Traces	
		i	46		NIE	eP	10 05 15
		iPoP	54			e	06 28
		1pP	42 14	27.XI		Sud de l'Alaska, USCGS:	
		e1	49 17			60,1 ⁰ N, 145,9 ⁰ W, H = 04 ^h	
	RAC	$\Delta = 72,5^\circ$				10 ^m 42,5 ^s , h = 16 km; mb =	
	(SK)	eP	06 40 36			= 4,9 (USCGS)	
22.XI					NIE	$\Delta = 69,5^\circ$	
	NIE	e1P	07 30 38 C			eP	04 21 58
22.XI		Iles Proches, Aléoutien-		27.XI		Sud de l'Alaska, USCGS:	
		nes, USCGS: 52,1 ⁰ N,				60,1 ⁰ N, 145,9 ⁰ W, H = 04 ^h	
		172,6 ⁰ E, H = 08 ^h 52 ^m 15,9 ^s ,				15 ^m 32,4 ^s , h = 14 km; mb =	
		h = 33 km; mb = 5,1 (USCGS)				= 4,5 (USCGS)	
	NIE	$\Delta = 75,4^\circ$. Traces			NIE	$\Delta = 69,5^\circ$	
		eP	09 04 04			eP	04 26 49
22.XI		Détroit de Mona, USCGS:		27.XI		Iles Kouriles, USCGS:	
		19,2 ⁰ N, 67,9 ⁰ W, H = 12 ^h				48,1 ⁰ N, 155,0 ⁰ E, H = 12 ^h	
		14 ^m 07,7 ^s , h = 22 km; mb =				48 ^m 04,1 ^s , h = 49 km; mb =	
		= 4,6 (USCGS)				= 4,7 (USCGS)	
	NIE	$\Delta = 74,4^\circ$. Traces			NIE	$\Delta = 74,8^\circ$	
		eP	12 25 47			e1P	12 59 43
23.XI		Nouvelles Hébrides, USCGS:				ePoP	55
		14,9 ⁰ S, 166,8 ⁰ E, H = 02 ^h		27.XI			
		19 ^m 13,6 ^s , h = 45 km; mb =			KRA		
		= 5,6 (USCGS), M = 5 ^h -6			(SKM)	e1P	17 41 20
		(Pasadena)				e1	56
	NIE	$\Delta = 136,0^\circ$		27.XI		Région du Spitzberg, USCGS:	
		e1PKP	02 38 32			78,5 ⁰ N, 5,8 ⁰ E, H = 20 ^h 13 ^m	
		e1	35			02,0 ^m , h = 33 km; mb = 5,5	
		e1	45			(USCGS)	
		ePP	41 13		RAC	$\Delta = 28,8^\circ$	
		ePKS	42 01		(SK)	eP	20 19 00
	KRA	$\Delta = 135,6^\circ$			KRA	$\Delta = 29,0^\circ$	
	(SKM)	e1PKP	02 38 34 C		(SKM)	e1P	20 19 00 D
		ePP	41 14			ePoP	22 14
		ePKS	42 02		(GW)	eS	23 47
26.XI		Mer du Groenland, USCGS:		28.XI		Panama du Sud, USCGS:	
		78,2 ⁰ N, 4,5 ⁰ E, H = 03 ^h				6,7 ⁰ N, 82,6 ⁰ W, H = 07 ^h 32 ^m	
		23 ^m 34 ^s , h = 33 km; mb =				53,6 ^s , h = 33 km; mb = 5,7	
		= 4,7 (USCGS)					

Date	Station	Phase	G.M.T. h m s	Date	Station	Phase	G.M.T. h m s
28.XI (suite)		(USCGS), M = 6 ^h -6 ^h (Pa-		30.XI		Au Sud de Hondo, Japon,	
		sadena)				USCGS: 30,7 ⁰ N, 141,8 ⁰ E,	
	NIE	$\Delta = 93,2^\circ$. Traces				H = 00 ^h 30 ^m 29,5 ^s , h = 35 km;	
		eP	07 46 12		NIE	$\Delta = 84,5^\circ$	
29.XI		Région des Iles Fidji,				eP	00 43 02
		USCGS: 15,9 ⁰ S, 176,8 ⁰ W,		30.XII		Mer du Groenland, USCGS:	
		H = 08 ^h 00 ^m 09,5 ^s , h =				73,0 ⁰ N, 6,1 ⁰ E, H = 13 ^h 00 ^m	
		= 375 km; mb = 4,7 (USCGS)				39,5 ^s , h = 33 km; mb = 4,8	
	NIE	$\Delta = 144,0^\circ$				(USCGS)	
		e1PKP	08 19 01 C		KRA	$\Delta = 24,0^\circ$. Traces	
		PKPm	02		(Ch)	eP	13 05 55
		Z: 1 ^s ; 0,017 μ				epP	06 03
29.XI		Nouvelles Hébrides, USCGS:			NIE	$\Delta = 24,5^\circ$	
		14,7 ⁰ S, 167,4 ⁰ E, H = 22 ^h				e1P	13 06 02
		17 ^m 30,4 ^s , h = 166 km; mb =				e1pP	09
		= 5,4 (USCGS), M = 5 ^h -5 ^h				ePP	32
		(Pasadena)		30.XI		Région de la Nouvelle	
	KRA	$\Delta = 136,0^\circ$. Traces				Irlande, USCGS: 4,7 ⁰ S,	
	(Ch)	ePKP	22 36 28			153,0 ⁰ E, H = 22 ^h 10 ^m 26,0 ^s ,	
		ePKS	40 08			h = 72 km; mb = 4,9 (USCGS)	
	NIE	$\Delta = 136,0^\circ$			NIE	$\Delta = 120,2^\circ$	
		e1PKP	22 36 34			ePKP	22 29 12
		e1	37			epPKP	26
1966				1966			
1.XII				1.XII	KRA	e1PKS	05 19 34
	NIE						
		eP	00 16 05	1.XII	RAC	$\Delta = 136,0^\circ$	
		e	11		(SK)	ePKP	05 16 07
1.XII		Sud de l'Alaska, USCGS:			NIE	$\Delta = 135,3^\circ$	
		60,2 ⁰ N, 146,1 ⁰ W, H = 04 ^h				e1PKP	05 16 10
		29 ^m 22,6 ^s , h = 20 km; mb =				e1pPKP	38
		= 4,8 (USCGS)				e1PKS	19 34
	NIE	$\Delta = 69,5^\circ$		1.XII		Hokkaido, Japon, USCGS:	
		1P	04 40 35 C			41,5 ⁰ N, 139,7 ⁰ E, H = 18 ^h	
		ePoP	41 00			56 ^m 23,0 ^s , h = 172 km; mb =	
						= 5,4 (USCGS)	
1.XII		Nouvelles Hébrides, USCGS:			KRA	$\Delta = 74,2^\circ$	
		14,0 ⁰ S, 167,1 ⁰ E, H = 04 ^h			(SKM)	e1P	19 07 45 C
		56 ^m 56,4 ^s , h = 132 km; mb =				e1	54
		= (USCGS), M = 6 ^h (Pa-			NIE	$\Delta = 74,3^\circ$	
		sadena)				1P	19 07 48 C
	KRA	$\Delta = 135,0^\circ$				i	55
	(SKM)	e1PKP	05 16 04			iPoP	08 00
		epPKP	33			1PP	10 42
		e1PP	18 40			e1	53

Date	Station	Phase	G.M.T. h m s	Date	Station	Phase	G.M.T. h m s
2.XII	Iran du Sud, BCIS: 28,2°N, 53,6°E, H = 03 ^h 07 ^m 50,7 ^s , h = 22 km; mb = 4,9 (USCGS)			3.XII	KRA	ePKP ₂ epPKP	14 32 34 34 29
	NIE	Δ = 33,0°. Traces			RAC	Δ = 151,0°	
		eP	03 14 28		(SK)	ePKP ₁	14 32 22
		ei	48	4.XII	Iles Tonga, USCGS: 15,4°S, 173,2°W, H = 18 ^h 02 ^m 10,3 ^s , h = 33 km; mb = 4,8 (USCGS)		
		ePP	15 38		NIE	Δ = 144,5°	
	KRA	Δ = 33,7°				ePKP	18 21 43
	(SKM)	eP	03 14 30 C	5.XII	Proche		
		ePP	15 39		NIE	Traces	
3.XII	Beskidie, région frontalière Tchecoslovaquie-Pologne, BCIS: vers 49½°N, 18¼°E, H = 07 ^h 46 ^m 10 ^s					eP _{NEZ} eL	03 46 07,4 27,6
	NIE	Δ = 1,6°		5.XII	Kiou-Siou, Japon, USCGS: 32,2°N, 131,7°E, H = 07 ^h 23 ^m 03,4 ^s , h = 23 km; mb = 4,6 (USCGS)		
		eiP _{NEZ}	07 46 28,3 D		NIE	Δ = 78,1°	
		i _Z	32,3			eiP	07 35 04 D
		i _Z	39,3			epP	12
		iS _{NEZ}	46,3	5.XII	Explosion		
		eL _Z	48,6		NIE		
		Lm	51			eiP _g	23 00 25,7
		NE: 0,8 ^μ ; 0,273 ^μ , 0,195 ^μ				P	01 15
		Lm	53	6.XII	Hindou-Kouch, USCGS: 36,3°N, 69,4°E, H = 02 ^h 30 ^m 52,6 ^s , h = 51 km; mb = 5,0 (USCGS)		
		Z: 0,8 ^μ ; 0,151 ^μ			NIE	Δ = 37,4°. Traces	
		F	48 20			eP	02 38 06
	KRA	Δ = 1,7°				eipP	19
	(Ch)	eiP _{NEZ}	07 46 31,9	6.XII	Région des Iles Kouriles, USCGS: 50,1°N, 159,8°E, H = 07 ^h 18 ^m 38,5 ^s , h = 15 km; mb = 5,4 (USCGS)		
		i(P _g) _{NEZ}	32,2		NIE	Δ = 74,2°	
		eiPP _{NEZ}	39,5			eiP	07 30 21
		eiS _{NEZ}	48			eiPoP	41
	RAC	Δ = 1,2°		6.XII	Explosion		
	(SK)	e(P _g) _{NEZ}	07 46 31		NIE		
3.XII	Région des Iles Fidji, USCGS: 24,8°S, 179,9°E, H = 14 ^h 13 ^m 24,4 ^s , h = 487 km; mb = 5,1 (USCGS)					eiP _{NEZ}	23 00 24,9 D
	NIE	Δ = 150,8°				P	01 15
		eiPKP	14 32 16	6.XII	Explosion		
		i	22		NIE		
		Z: 0,9 ^μ ; 0,133 ^μ				eiP _{NEZ}	23 00 24,9 D
		ei(PKP ₂)	40			P	01 15
		eipPKP ₁	34 23		KRA	Traces	
		ipPKP ₂	34		(SKM)	e	23 00 25,7
	KRA	Δ = 150,5°					
	(Ch)	eiPKP ₁	14 32 20 D				

Date	Station	Phase	G.M.T. h m s	Date	Station	Phase	G.M.T. h m s
7.XII		Explosion		7.XII		Explosion	
	NIE				NIE		
		eP _{NEZ}	00 01 09,3			eiP _{NEZ}	23 00 25,2 D
		e(S _g) _N	15,5			ei _{NE}	28,7
		ei(S _g) _{NEZ}	15,9			Lm _{NE}	46
		P	40			P	01 15
7.XII	Près de la côte S de Hondo, Japon, USCGS: 33,0°N, 137,9°E, H = 06 ^h 50 ^m 33,1 ^s , h = 335 km; mb = 4,2 (USCGS)			8.XII	Local		
	NIE	Δ = 80,6°			NIE		
		eP	07 02 13			eP _{NEZ}	00 00 06,5
7.XII	RAC (SK)	e(P)	08 17 52			ei _Z	10,1
	NIE	e(P)	08 18 08			i(S _g) _{NEZ}	13,4
7.XII	Proche					Lm _{NE}	16
	NIE	Traces				F	55
		eP _{NEZ}	12 52 45,2	8.XII	Détroit de Mona, USCGS: 18,3°N, 68,5°W, H = 23 ^h 54 ^m 35,6 ^s , h = 139 km; mb = 5,0 (USCGS)		
		eL _{NZ}	53 00,7		NIE	Δ = 75,0°	
		P	35			eiP	00 06 08 C
7.XII	Région des Iles Kouriles, USCGS: 44,5°N, 151,7°E, H = 17 ^h 45,7 ^s , h = 47 km; mb = 5,7 (USCGS), mPV = 5,6 (Niedzica)					ePoP	18
	KRA	Δ = 76,5°				epP	41
	(SKM)	iP	17 29 36 D			ei	57
		ei	40	8.XII	Pakistan, USCGS: 29,4°N, 70,0°E, H = 02 ^h 07 ^m 07,3 ^s , h = 31 km; mb = 5,1 (USCGS), M = 4¼ (Moskva)		
	(GW)	ePP	32 23		NIE	Δ = 42,1°	
	NIE	Δ = 76,5°				eP	02 15 01
		iP	17 29 37 D	8.XI	Mer Adriatique, USCGS: 42,1°N, 18,9°E, H = 11 ^h 31 ^m 18,6 ^s , h = 29 km; mb = 5,1 (USCGS), M = 4,6 (Beograd)		
		Pm	38		NIE	Δ = 7,5°	
		Z: 1 ^μ ; 0,055 ^μ				eiPn	11 33 07
		i	41			i	10
		iPoP	47			iPP	18
		ipP	59			iPPP	23
		Z: 1 ^μ ; 0,098 ^μ				i	35
		ePP	32 29			iPg	45
		ei	41			iSn	34 35
		eS	39 28			iS*	59
		eSKS	40		RAC	Δ = 8,1	
					(SK)	ePn	11 33 20
	RAC	Δ = 77,0°				ePP	31
	(SK)	eP	17 29 38			ePPP	35
		ePoP	46			eS*	35 21

Date	Station	Phase	G.M.T. h m s	Date	Station	Phase	G.M.T. h m s
8.XII (suite)	KRA (SKM) (GW)	$\Delta = 8,0^\circ$ 1Pn ei ei ei(Pg) eSS eiS ^m eiSg Lm Lm	11 33 16 23 31 34 03 35 02 17 42 36 15 26	9.XII	NIE	1P ePoP 1	15 55 51 D 56 01 07
				9.XII		Explosion	
					NIE	eiP _g NEZ eiS _g NEZ Lm _{NE} P	23 00 05,6 D 11,7 14 45
8.XII		Mer des Moluques, USCGS: 0,2°S, 125,2°E, H = 12 ^h 33 ^m 07,8 ^s , h = 54 km; mb = = 5,3 (USCGS)		10.XII		Proche	
	NIE	$\Delta = 100,0^\circ$ eP	12 46 48		NIE	eP _g Z e(Sg)NZ P	08 33 12,8 32 34 10
8.XII		Région des Iles du Com- mandeur, USCGS: 56,1°N, 164,6°E, H = 15 ^h 03 ^m 00,1 ^s , h = 37 km; mb = 4,9 (USCGS), M = 5 (Moskva)		10.XII		Près de la côte du Mexique, USCGS: 14,3°N, 92,0°W, H = = 13 ^h 06 ^m 32,0 ^s , h = 60 km; mb = 5,6 (USCGS), M = 6 ¹ / ₂ (Pasadena)	
	NIE	$\Delta = 69,9^\circ$ eP ePoP	15 14 07 30		NIE	$\Delta = 93,0^\circ$ eP ei epP eiPP epPP	13 19 41 49 20 00 23 24 43
8.XII		Alaska du Sud, USCGS: 60,1°N, 146,5°W, H = 23 ^h 18 ^m 09,2 ^s , h = 27 km; mb = = 4,6 (USCGS)			KRA (SKM)	$\Delta = 92,4^\circ$ eP eiPP ePPP	13 19 42 23 20 25 29
	NIE	$\Delta = 69,5^\circ$. Traces e1P	23 29 22 D		(GW)	eiSKS eiS eL Lm Lm	30 14 45 48 14 00 22 04 22
9.XII		Région des Iles Fidji, USCGS: 26,2°S, 178,1°E, H = 04 ^h 01 ^m 27,7 ^s , h = = 665 km; mb = 4,7 (USCGS)				N: 20 ^s ; 15,2 ^μ E: 20 ^s ; 14,8 ^μ	
	NIE	$\Delta = 151,0^\circ$. Traces ePKP ₁	04 20 10	10.XII		Anatolie, Turquie, BCIS: 41,1°N, 33,3°E, H = 17 ^h 08 ^m 38 ^s , h = 50 km ca; ML = = 5 ¹ / ₂ - 5 ¹ / ₂ (Strasbourg), 5,1 (Moxa)	
9.XII		Iles Proches, Aléoutiennes, USCGS: 51,7°N, 174,7°E, H = = 16 ^h 43 ^m 59,9 ^s , h = 33 km; mb = 5,2 (USCGS)			NIE	$\Delta = 12,3^\circ$ eiP 1 1PP	17 11 30 D 35 48
	RAC (SK)	$\Delta = 76,0^\circ$. Traces eP ePoP	16 55 47 56 05			Z: 1 ^s ; 0,141 ^μ	
	NIE	$\Delta = 76,0^\circ$					

Date	Station	Phase	G.M.T. h m s	Date	Station	Phase	G.M.T. h m s
10.XII (suite)	NIE	1PPP Z: 1 ^s ; 0,162 ^μ	17 11 58	12.XII		Explosion	
		iS iSS	13 50 14 08		NIE	eiP _g Z iZ eiZ Lm	23 00 06,1 08,2 11,4 21
	KRA (SKM)	$\Delta = 12,7^\circ$ eP	17 11 36 D			Z: 0,8 ^s ; 0,04 ^μ P	36
		eiPP eiPPP eiS eiSS eiSSS	44 54 14 04 14 32	13.XII		Région frontière Afghanis- tan-URSS; USCGS: 37,3°N, 71,9°E, H = 12 ^h 21 ^m 02,1 ^s , h = 126 km; mb = 5,3 (USCGS)	
	(GW)	eL Lm	17,4 19 54		NIE	$\Delta = 38,5^\circ$ 1P Pm	12 28 15 D 16
		N: 10 ^s ; 4,0 ^μ E: 10 ^s ; 2,6 ^μ	20 13			Z: 1 ^s ; 0,08 ^μ 1pP 1PP	42 29 47
	RAC (SK)	$\Delta = 13,8^\circ$ eP Lm	17 12 00 16 08		KRA (SKM)	$\Delta = 38,7^\circ$ 1P	12 28 17,5 D
		N: 4 ^s ; 6,2 ^μ E: 4 ^s ; 8,0 ^μ	16	13.XII		Proche	
10.XII		Explosion. Ag. mi.			NIE	Traces eP _g NEZ eZ iNE ^m eZ P	12 48 23 37 42,8 49 15
	NIE	1P _g Z 1S _g Z eiS _g Z P	23 00 06,5 D 12,5 12,8 50	13.XII		Proche	
11.XII		Traces eP	11 41 32		NIE	eP _g NEZ Z: 0,7 ^s ; 0,021 ^μ eiNEZ Lm	14 05 18,8 26,8 32
11.XII		Hokkaido, Japon, USCGS: 42,9°N, 144,6°E, H = 19 ^h 47 ^m 34,6 ^s , h = 60 km; mb = 4,9 (USCGS), mPV = 5,1 (Niedzica)				NE: 0,7 ^s ; 0,046 ^μ , 0,030 ^μ Lm P	34 06 10
	KRA (SKM)	$\Delta = 75,0^\circ$ eiP ePoP	19 59 15 C 32	14.XII		Hondo, Japon, USCGS: 36,1°N, 139,6°E, H = 11 ^h 04 ^m 24,7 ^s , h = 73 km; mb = 4,7 (USCGS), mPV = 5,1 (Niedzica)	
	NIE	$\Delta = 75,3^\circ$ 1P Z: 1 ^s ; 0,017 ^μ	19 59 18 C 21		NIE	$\Delta = 78,9^\circ$ eP Pm	11 16 25 D 26
		1 ePoP	33			Z: 1 ^s ; 0,015 ^μ	
12.XII				14.XII		Iles Kermadec, USCGS:	
	NIE	eP	11 18 34,6				

Data	Station	Phase	G.M.T. h m s	Data	Station	Phase	G.M.T. h m s
14.XII (suite)		29,7°S, 178,4°W, H = 11 ^h 15 ^m 52,9 ^s , h = 185 km; mb = 4,6 (USCGS)		14.XII		07 ^m 53,1 ^s , h = 80 km; mb = = 5,7 (USCGS), 6¼-6½ (Pasadena), MLH = 7,1 (Kraków)	
	NIE	Δ = 155,0°			RAC	Δ = 116,4°	
		1PKP 11 35 47 C			(SK) ePKP	21 26 23	
		Z: 1 ^s ; 0,013μ			NIE	Δ = 115,5°	
14.XII		Beskidy ? Pruhonice: ePg 12 31 52, e1 32 29,4			e1PKP	21 26 27 C	
	KRA				e1	44	
	(Ch)	e1P ^{NEZ} 12 31 27,7			i	54	
		i(Pg) ^{NEZ} 28,6			eSP	37 07	
		e1S ^{NEZ} 44,2			e1PS	13	
	NIE				i	25	
		e1P ^{NEZ} 12 31 30,8 D			KRA	Δ = 115,0	
		1Pg 31,8			(SKM) e1PKP	21 26 30	
		1PP ^{NEZ} 37,7			e1pPKP	54	
		e1PPP ^{NEZ} 44,8			(GW) ePP	27 34	
		iS ^{NEZ} 50,8			ePKS	30 03	
		ImZ 32 05			eSKS	33 13	
		F 45			ePS	37 07	
	RAC				eL	22 03	
	(SK)	e ^{NEZ} 12 31 32			Im	09 54	
						N: 15 ^s ; 30μ	
14.XII		Région de Vrancea, Roumanie, BCIS: 45,7°N, 26,4°E, H = = 14 ^h 50 ^m 00 ^s , h = 160 km; mb = 4,9 (USCGS)			Im	10 02	
						E: 15 ^s ; 22μ	
	NIE	Δ = 5,6°			Im	20 40	
		1Pn 14 51 22,0 D				NE: 18 ^s ; 30μ, 40μ	
		Pm 23		15.XII		Explosion	
		Z: 1 ^s ; 0,401μ			NIE		
		i 27			e1P ^{NEZ}	00 00 06,0 C	
		i 37			e1S ^{NEZ}	12,0	
		i 46			iS ^{NEZ}	12,5	
		i 53 14			Im	14	
						NE: 0,5 ^s ; 0,163μ, 0,140μ	
	KRA	Δ = 6,1°			Im	21	
	(SKM)	1Pn 14 51 29 D				Z: 1,0 ^s ; 0,050μ	
	(GW)	1PP 39			P	01 10	
		e1P* 44		15.XII		Birmanie, USCGS: 21,5°N, 94,4°E, H = 02 ^h 08 ^m 04,8 ^s , h = 98 km; mb = 5,6 (USCGS)	
		eSn 52 42			NIE	Δ = 63,5°	
		eSS 56			e1P	02 18 28	
		eS* 53 03			i	36	
	RAC	Δ = 6,6°			e1pP	19 04	
	(SK)	ePn 14 51 37			KRA	Δ = 63,7°	
		eSn 52 47			(SKM) e1P	02 18 29	
14.XII		Près de la côte N de la Nouvelle Guinée, USCGS: 4,9°S, 144,1°E, H = 21 ^h			ePoP	19 04	

Date	Station	Phase	G.M.T. h m s	Date	Station	Phase	G.M.T. h m s
15.XII (suite)	RAC (SK)	Δ = 64,8° eP	02 18 38	16.XII	NIE	iS ^{NEZ} Im P	23 00 12,4 14 46
15.XII		Sud-Est de l'Australie, USCGS: 40,5°S, 155,8°E, H = 19 ^h 08 ^m 26,6 ^s , h = = 33 km		17.XII		Mer du Groenland, à l'Ouest de Jan Mayen, BCIS: 70,9°N, 14,3°W, H = 05 ^h 59 ^m 04 ^s ; mb = = 5,1 (USCGS)	
	NIE	Δ = 148,0°. Traces			RAC	Δ = 25,6°	
		e1PKP ₁ 19 28 10 C			(SK) eP	06 04 39	
		ePKP ₂ 18			ePP	05 24	
16.XII		Tchécoslovaquie, BCIS: 50,2°N, 14,1°E, H = 05 ^h 03 ^m 27 ^s			KRA	Δ = 26,1°	
	KRA	Δ = 3,7°			(SKM) e1P	06 04 47	
	(Ch)	eSn 05 05 15,4			(GW) ePP	05 28	
		eS* 22,4			e1S	09 02	
	RAC	Traces			NIE	Δ = 26,7°	
	(SK)	NEZ 05 05-07			eP	06 04 49	
					e1	05 07	
					e1PP	28	
					e1PPP	36	
16.XII		Région frontière Nepal- -Inde, USCGS: 29,7°N, 80,9°E, H = 20 ^h 52 ^m 16,0 ^s , h = 15 km; mb = 5,8 (USCGS)		18.XII		Kazakhstan, URSS; BCIS: 49,7°N, 77,9°E, H = 04 ^h 58 ^m 00 ^s ; M = 6,2 (Uppsala), 6,1 (Moxa)	
	NIE	Δ = 49,2°			KRA	Δ = 36,2°	
		e1P 21 01 06 C			(Ch) 1P	05 05 50 C	
		i 10			(GW) ePP	06 29	
		i 31			NIE	Δ = 36,1°	
		e1 40			1P	05 05 06 C	
		i 02 02			e1	16	
		eS 08 08			e1	39	
	KRA	Δ = 49,2°			e1PP	06 25	
	(SKM)	eP 21 01 09 D			RAC	Δ = 37,3°	
		e1PoP 02 28			(SK) eP	05 05 15	
		ePP 03 01		18.XII		Mer Méditerranée, BCIS: 35,1°N, 26,9°E, H = 07 ^h 42 ^m 16 ^s ; mb = 4,6 (USCGS)	
		e1 08 57			NIE	Δ = 15,3°	
		eL 19,1			eP	07 45 54	
		Im 21 50			ePP	46 03	
		E: 8 ^s ; 1,1μ			ePPP	12	
		N: 13 ^s ; 5,7μ			ePPPP	17	
	RAC	Δ = 50,4°			KRA	Δ = 15,8°	
	(SK)	eP 21 01 18			(SKM) eP	07 46 06	
		ePoP 02 29			e1PP	15	
					ePPP	25	
16.XII		Explosion					
	NIE						
		e1P ₂ 23 00 06,0 C					
		e1P ^{NEZ} 06,2					
		e1S ₂ 12,0					

Date	Station	Phase	G.M.T. h m s	Date	Station	Phase	G.M.T. h m s
25.XII (suite)	NIE	$\Delta = 76,3^\circ$. Traces eP	23 15 13	27.XII		Iles Tonga, USCGS: 21,3°S, 175,7°W, H = 21 ^h 26 ^m 10,0 ^s , h = 33 km; mb = 5,2 (USCGS)	
26.XII		Hindou-Kouch, USCGS: 36,2°N, 69,8°E, H = 01 ^h 28 ^m 01,3 ^s , h = 128 km; mb = 5,0 (USCGS)			NIE	$\Delta = 149,5^\circ$ ePKP ₁ 21 45 55 e(PKP) ₂ 46 12	
	NIE	$\Delta = 38,0^\circ$ e1P 01 35 08 epP 36 38		28.XII		Près de la côte du Chili, USCGS: 25,5°S, 70,7°W, H = = 08 ^h 18 ^m 06,1 ^s , h = 32 km; mb = 6,8 (USCGS), M = 7,4 (Pasadena), MLH = 7,9 (Kra- ków, Niedzica, Racibórz)	
26.XII		Anatolie, Turquie, BCIS: 38,9°N, 41,3°E, H = 04 ^h 20 ^m 54 ^s			RAC	$\Delta = 108,6^\circ$ (SK) ePdif 08 32 32 ePS 46 27 eL 09 14 Lm 16 EZ: 24 ^s ; 340 μ , 420 μ Lm 24 NEZ: 15 ^s ; 172 μ , 135 μ , 79 μ	
	NIE	$\Delta = 18,4^\circ$ eP 04 25 11 e1 21			KRA	$\Delta = 109,6^\circ$ (SKM) ePdif 08 32 34 (GW) e1 33 21 e1 36 10 1PKP 38 1PP 37 06 Lm 47,2 E: 6,0 ^s ; 18 μ Lm 09 30 16 N: 17 ^s ; 170 μ Lm 30 E: 17 ^s ; 86 μ	
27.XII		Près de la côte E de Hondo, Japon, USCGS: 37,2°N, 141,0°E, H = 01 ^h 22 ^m 18,4 ^s , h = 68 km; mb = 5,5 (USCGS), mPV = 5,6 (Nie- dzica)			NIE	$\Delta = 109,7^\circ$ ePdif 08 32 34 e 36 epP 35 44 1PKP 36 40 1PP 37 08 e 39 02 e1PS 46 31 Lm 09 33 12 N: 23 ^s ; 245 μ Lm 35 E: 23 ^s ; 250 μ Lm 41 Z: 24 ^s ; 470 μ	
	KRA	$\Delta = 78,3^\circ$ (SKM) e1P 01 34 15 C ePoP 26					
	NIE	$\Delta = 78,5^\circ$ e1P 01 34 17 C Pm 19 Z: 1 ^s ; 0,055 μ 1 21					
	RAC	$\Delta = 79,2^\circ$ (SK) eP 01 34 21					
27.XII		Au Sud des Iles Fidji, USCGS: 24,2°S, 179,7°E, H = 11 ^h 51 ^m 05,1 ^s , h = = 496 km; mb = 4,7 (USCGS)					
	NIE	$\Delta = 150,0^\circ$ ePKP 12 10 01 C Pm 02 Z: 1 ^s ; 0,030 μ					
27.XII		Mer du Groenland, USCGS: 78,5°N, 3,3°E, H = 14 ^h 02 ^m 25 ^s , h = 33 km; mb = 4,6 (USCGS)					
	NIE	$\Delta = 29,5^\circ$ eP 14 08 27 epP 39		28.XII		Pologne, région de Zakopane	

Date	Station	Phase	G.M.T. h m s	Date	Station	Phase	G.M.T. h m s
28.XII				30.XII	NIE	eP 01 59 52 ePP 02 00 00 ePPP 10	
	NIE	e1P ₂ 13 02 23,5 C e1P _{NE} 23,7 e1(SG) _N 28,5 1(SG) _E 28,8 Lm 31 NE: 0,8 ^s ; 0,15 μ , 0,116 μ P 03 40					
29.XII		Région de Vrancea, Roumanie BCIS: 45,7°N, 26,8°E, H = = 06 ^h 30 ^m 01 ^s , h = 120 km ca		31.XII		Lac Baikal, USCGS: 55,6°N, 110,7°E, H = 00 ^h 29 ^m 17,2 ^s , h = 33 km; mb = 4,9 (USCGS)	
	KRA	$\Delta = 6,3^\circ$ (GW) e1Pn 06 31 31 ePP 41			NIE	$\Delta = 51,0^\circ$. Traces eP 00 38 22	
29.XII	NIE	Traces eP 08 00 39		31.XII		Iles Santa Cruz, USCGS: 11,9°S, 166,4°E, H = 18 ^h 23 ^m 06,6 ^s , h = 56 km; mb = = 7,7 (USCGS), M = 7,5 (Pasadena)	
29.XII		Ouest du Pakistan, USCGS: 29,8°N, 68,2°E, H = 21 ^h 35 ^m 21,6 ^s , h = 24 km; mb = 5,1 (USCGS)			KRA	$\Delta = 132,9^\circ$ (GW) ePdif 18 39 20 ePT 44 57 e1PKS 45 47 e1SKS 49 30	
	NIE	$\Delta = 40,8^\circ$ eP 21 43 05			NIE	$\Delta = 133,2^\circ$ ePKP 18 42 19 1 47 e1 43 37 1PP 44 56 1 46 12 1SKS 49 31	
29.XII		Pacifique du Sud, USCGS: 32,8°S, 11,7°W, H = 22 ^h 16 ^m 22,3 ^s , h = 33 km; mb = 5,4 (USCGS)			RAC	$\Delta = 133,7^\circ$ (SK) ePKP 18 42 35 eL 19 32 Lm 38 NZ: 25 ^s ; 22 ^s ; 625 μ , 380 μ Lm 39 E: 22 ^s ; 470 μ	
	NIE	$\Delta = 141,0^\circ$ ePKP 22 35 48					
30.XII		Iles Fidji, USCGS: 17,9°S, 179,0°E, H = 01 ^h 00 ^m 25,5 ^s , h = 658 km; mb = 5,1 (USCGS)		31.XII		Iles Santa Cruz, USCGS: 11,7°S, 166,0°E, H = 18 ^h 53 ^m 12,9 ^s , h = 33 km; mb = = 5,2 (USCGS)	
	KRA	$\Delta = 143,5^\circ$ (SKM) 1PKP 01 18 48 C e1 21 29			NIE	$\Delta = 132,7^\circ$ e1PKP 19 12 28 e1PP 14 53 Lm 42 48 NE: 21 ^s ; 300 μ , 350 μ	
	NIE	$\Delta = 144,2^\circ$ e1PKP ₁ 01 18 49 C Z: 1 ^s ; 0,035 μ 1PKP ₂ 55 e1 19 03 e1 11					
30.XII		Anatolie, Turquie, BCIS: 40,7°N, 31,0°E, H = 01 ^h 57 ^m 07 ^s		31.XII		Iles Santa Cruz, USCGS: 11,6°S, 165,9°E, H = 19 ^h 38 ^m 30,6 ^s , h = 33 km; mb = = 5,0 (USCGS)	
	NIE	$\Delta = 11,4^\circ$					

Date	Station	Phase	G.M.T. h m s	Date	Station	Phase	G.M.T. h m s
31.XII (suite)	NIE	$\Delta = 132,7^{\circ}$. Traces			NIE	$\Delta = 133,2^{\circ}$	
		ePKP	19 57 35			ePKP	22 34 25
		epPKP	46			eipPKP	34
31.XII		Iles Santa Cruz, USCGS:		31.XII		ei	44
		12,3°S, 165,6°E, H = 22 ^h				ePP	37 02
		15 ^m 14,0°, h = 33 km; M =				ePKS	38 02
		= 7 ^h - 7 ^h / ₂ (Pasadena),				ei	07
		7-7,6 (Berkeley)			RAC	$\Delta = 133,7^{\circ}$	
	KRA	$\Delta = 133,0^{\circ}$		(SK)	ePKP	22 34 31	
	(GW)	eP	22 34 21				
		eIPP	36 54				
		ePKS	38 05				
		ePPP	39 36				

RÉSULTATS DES ENREGISTREMENTS DES SECOUSSES
SOUTERRAINES PLUS FORTES EN HAUTE SILÉSIE

Date	Station	Phase	G.M.T. h m s	Date	Station	Phase	G.M.T. h m s	
1966				J A N V I É R				1966
3.I		$\varphi = 50^{\circ}15'$; $\lambda = 18^{\circ}58'$; $H = 18^{\text{h}}24^{\text{m}}14,0^{\text{s}}$; $M = 2,2$ (Chorzów); DGP: eP _E 18 24 23,0		5.I	RBN $\Delta = 47$ km (SK) eS _{EZ} 02 02 29,5 e _{NE} 31,6 P 04			
CHZ $\Delta = 5$ km. N - inactive (SK) eP _{EZ} 18 24 15,4 C eS _{EZ} 16,5 Lm 17 EZ: 0,8 ^s ; 2,0 μ , 2,5 μ P 25				NIE $\Delta = 134$ km (SK) eIP _{NEZ} , eIP _{EZ} , iP _{EZ} 02 02 38,0 D e _{NEZ} 51,5 eIS _{NEZ} 55,5 P 04				
RBN Faible (SK) e _{NE} 18 24 23,0 e _{EZ} 28,0 e _Z 35,0 P 26				6.I $H = 17^{\text{h}}55^{\text{m}}11,2^{\text{s}}$; DGP (GIG): 17 55 14,5				
KRA $\Delta = 75$ km (Ch) eP _{NEZ} , eIP _{EZ} 18 24 27,6 D eS _{NEZ} , eIS _{EZ} 37,6 e _E , e _Z 39,6 P 26				CHZ Faible (SK) e _Z 17 55 17,0 e _E 18,2 P 56				
NIE $\Delta = 135$ km (SK) eP _{NEZ} 18 24 37,8 e _{NEZ} 42,7 e _E 45,0 P 26				KRA $\Delta = 79$ km (SKM) eP _{NEZ} , eIP _{EZ} 17 55 25,5 e _{NEZ} , e _{EZ} 33,0 e _E 33,8 eIS _{NEZ} , eS _{EZ} 36,0 P 57				
5.I $\varphi = 50^{\circ}17'$; $\lambda = 19^{\circ}07'$; $H =$ $= 02^{\text{h}}02^{\text{m}}14,6^{\text{s}}$; $M = 2,1$ (Chorzów); DGP: eP _{NZ} 02 02 16,9				NIE $\Delta = 139$ km (SK) eP _{EZ} 17 55 35,8 e _{NE} 53,3 e _{NE} 57,3 P 57				
CHZ $\Delta = 9$ km (SK) e _{NEZ} 02 02 (19) e _{NEZ} , i _Z 24,1 Lm 28 NEZ: 1,0 ^s ; 1,5 μ , 1,0 μ , 1,0 μ P 04				RBN Traces (SK) NEZ 17 56-57				
KRA $\Delta = 66$ km (SKM) eP _{NEZ} , eIP _{EZ} 02 02 26,8 C e _{NEZ} , e _E 27,5 e _{NEZ} 34,8 eIS _{NEZ} , iS _{EZ} 35,7 Lm 57 NEZ: 1,1 ^s ; 0,14 μ , 0,08 μ , 0,04 μ P 04				8.I $\varphi = 50^{\circ}20'$; $\lambda = 18^{\circ}52'$; $H =$ $= 13^{\text{h}}02^{\text{m}}03,1^{\text{s}}$; $M = 2,2$ (Cho- rzów); BYT: eS _{NEZ} 13 02 05,3; DGP: eP _Z 13 02 08,3				
				CHZ $\Delta = 11$ km (SK) eIP _{NEZ} 13 02 06,0 eIS _{NEZ} 07,9 Lm 03 13 E: 0,8 ^s ; 1,4 μ Lm 16 N: 0,9 ^s ; 1,8 μ P 04				
				KRA $\Delta = 84$ km. N - illisible (SKM) eP _{EZ} 13 02 18,4 e _Z 28,4 eS _{EZ} 29,5 P 04				

Date	Station	Phase	G.M.T. h m s	Date	Station	Phase	G.M.T. h m s
8.I (suite)	NIE $\Delta = 148$ km (SK) eP _{NEZ} , eIP _{EZ} 13 02 29,3 D e _{NEZ} 47,5 e _{NEZ} 55,8 e _Z 57,3 P 04			11.I	KRA eIS _{NEZ} 22 43 55,6 P 45		
9.I $H = 14^{\text{h}}06^{\text{m}}19,2^{\text{s}}$; eS _Z 14 06 24,3				RBN $\Delta = 45$ km. Faible, Z - (SK) inactive			
KRA $\Delta = 75$ km. Faible, N - illi- (SKM) sible				eS _{NEZ} 22 43 46,2 e _{NEZ} 52,6 P 45			
eIP _{EZ} 14 06 32,9 eIS _{EZ} 42,9 P 07				11.I $\varphi = 50^{\circ}20'$; $\lambda = 18^{\circ}50'$; $H =$ $= 23^{\text{h}}08^{\text{m}}08,7^{\text{s}}$; $M = 2,5$ (Chorzów), 2,6 (Dąbrowa Górnica); ZAB: eS _{NEZ} 23 08 10,1; DGP: eP _{EZ} 23 08 13,6, eS _{NEZ} , eIS _{EZ} 17,5, Lm _Z 1,2 ^s ; 1,0 μ			
CHZ Traces (SK) NEZ 14 06-08				CHZ $\Delta = 13$ km. (SK) iP _{NEZ} 23 08 11,7 Lm 15 NEZ: 1,0 ^s ; 3,6 μ , 1,8 μ Lm 17 E: 0,9 ^s ; 3,1 μ P 09			
10.I $\varphi = 50^{\circ}14'$; $\lambda = 19^{\circ}07'$; $H =$ $= 22^{\text{h}}16^{\text{m}}10,2^{\text{s}}$; DGP: eP _{NZ} 22 16 13,3				KRA $\Delta = 86$ km (SKM) eP _{NEZ} 23 08 24,7 e _{NEZ} 32,1 eIS _{NEZ} 36,1 e _{NEZ} 39,7 P 10			
KRA $\Delta = 63$ km. N - illisible (SKM) eIP _{EZ} 22 16 21,8 eIS _{EZ} 30,3 e _{EZ} 37,3 P 18				NIE $\Delta = 150$ km (SK) eP _{NEZ} 23 08 33,0 C iS _{NEZ} , eIS _{EZ} 51,9 P 11			
NIE $\Delta = 128$ km. Faible (SK) eIP _{EZ} 22 16 33,0 C e _E 34,1 e _N 35,5 e _{NEZ} 51,8 P 18				RBN Traces (SK) NEZ 23 08-10			
CHZ Traces (SK) NEZ 22 16-17				12.I $H = 09^{\text{h}}28^{\text{m}}36,5^{\text{s}}$; DGP (GIG): 09 28 42,2			
RBN Traces (SK) NEZ 22 16-18				CHZ $\Delta = 10$ km (SK) eIP _{NEZ} , iP _Z 09 28 39,0 eIS _{NEZ} , iS _{EZ} 40,8 P 29			
11.I $\varphi = 50^{\circ}21'$; $\lambda = 19^{\circ}01'$; $H =$ $= 22^{\text{h}}43^{\text{m}}31,8^{\text{s}}$; $M = 2,0$ (Chorzów)				RBN Traces (SK) NE 09 28-30			
CHZ $\Delta = 8$ km (SK) eP _{NEZ} 22 43 33,7 C eIS _{NEZ} 35,2 Lm 37 Z: 0,8 ^s ; 1,1 μ P 44				KRA Traces (Ch) e _N 09 29 00,0 P 30			
KRA $\Delta = 75$ km (SKM) eIP _{NEZ} 22 43 45,6 e _{NEZ} 53,1 e _Z 53,9				12.I $H = 19^{\text{h}}34^{\text{m}}54,6^{\text{s}}$; $M = 2,2$ (Chorzów)			

Date	Station	Phase	G.M.T. h m s	Date	Station	Phase	G.M.T. h m s
12.I (suite)	CHZ (SK)	$\Delta = 8$ km eP _{NEZ} iS _{NEZ} Lm Z: 0,7 ^s ; 1,2 μ P	19 34 56,7 58,2 35 07 36	14.I	RBN (SK)	e _{NE} e _E e _Z P	08 38 12,0 15,0 20,0 39
	RBN (SK)	Traces NE	19 34-36		RAC (SK)	Traces NEZ	08 38-40
13.I		$\varphi = 50^{\circ}23'$; $\lambda = 18^{\circ}55'$; H = 05 ^h 39 ^m 20,0 ^s ; M = 2,6 (Chorzów, Zabrze), 2,4 (Dąbrowa Górnicza, Bytom); BYT: eS _N 05 39 22,2, Lm _{NE} 8,3 μ , 21,8 μ ; ZAB: eP _{NE} 05 39 22,6, Lm _{NE} 3,4 μ , 3,1 μ ; DGP: eS _{NE} 05 39 28,2, Lm _{NEZ} 0,45 μ , 0,55 μ , 0,30 μ		14.I	RBN (SK)	Faible e _Z e _{NEZ} P	20 21 43,6 45,1 23
	CHZ (SK)	$\Delta = 14$ km eP _{NEZ} eIS _{NEZ} i _Z Lm NEZ: 1,0 ^s ; 4,0 μ , 2,5 μ , 1,5 μ P	05 39 23,1 C 25,4 25,9 37 40		RAC (SK)	Faible e _{NE} e _Z e _{NEZ} P	20 21 44,2 50,0 23
	RBN (SK)	$\Delta = 43$ km e _E eIS _{SE} , eS _{SE} e _N P	05 39 30,8 34,0 41,8 41	15.I	DGP (GIG): 00 10 19,5 KRA (SKM)	Faible e _{NE} e _Z e _{NEZ} P	00 10 37,2 38,2 39,9 12
	NIE (SK)	$\Delta = 150$ km eIP _{NEZ} e _{NEZ} eIS _{NEZ} P	05 39 46,5 D 51,5 40 06,5 42		RBN (SK)	Traces NE	00 10-11
	RAC (SK)	Traces NEZ	05 39-41	15.I	RBN (SK)	e _Z e _{NE} e _{NEZ} P	16 02 27,4 30,2 32,6 04
13.I		DGP (GIG): 05 44 28,1			RAC (SK)	Faible e _E e _{NEZ} P	16 02 33,0 38,0 04
	CHZ (SK)	iP _{NEZ} Lm NEZ: 1,1 ^s ; 2,5 μ , 2,5 μ , 2,0 μ P	05 44 24,3 26 46	16.I	DGP (GIG): 21 18 00,6 CHZ (SK)	Faible e _Z e _N e _{NEZ} P	24 18 02,6 03,7 10 19
	RBN (SK)	Traces NE	05 44-46		KRA (SKM)	Faible e _{NEZ} e _{NE} P	21 18 17,2 26,7 19
					NIE (SK)	Faible, Z - inactive e _{NE} e _{NE} P	21 18 27,6 44,4 19

Date	Station	Phase	G.M.T. h m s	Date	Station	Phase	G.M.T. h m s
17.I		$\varphi = 50^{\circ}11'$; $\lambda = 19^{\circ}02'$; H = 17 ^h 50 ^m 37,5 ^s ; M = 2,6 (Chorzów); DGP: eP _N 17 50 42,0		18.I	RAC (SK)	eP _{NEZ} e _E eS _{NEZ} e _{NEZ} Lm Z: 1,2 ^s ; 0,5 μ P	10 48 58,6 C 59,9 49 06,7 17,0 47 52
	CHZ (SK)	$\Delta = 12$ km eIP _{NEZ} e _Z iS _{NEZ} Lm NEZ: 0,9 ^s ; 2,5 μ , 3,1 μ , 3,0 μ P	17 50 40,0 D 40,5 42,0 45 52		KRA (Ch)	$\Delta = 72$ km eIP _{NEZ} e _{NE} iS _{SE} Lm NEZ: 1,2 ^s ; 0,19 μ , 0,21 μ , 0,16 μ P	10 49 00,4 D 07,0 10,0 40 51
	KRA (Ch)	$\Delta = 67$ km eIP _{SE} , eP _{SE} eIS _{NEZ} , iS _{SE} e _{NEZ} P	17 50 50,0 D 59,0 51 15,4 52		NIE (SK)	$\Delta = 138$ km eIP _{NEZ} e _{NEZ} i _Z eIS _{NEZ} P	10 49 11,0 C 12,3 21,9 29,2 52
	RBN (SK)	Faible e _{NEZ} e _{NEZ} P	17 51 02,8 05,3 53	19.I		H = 05 ^h 01 ^m 50,5 ^s ; M = 1,9 (Chorzów); DGP (GIG): 05 01 56,7	
	RAC (SK)	Faible e _{EZ} e _{NEZ} P	17 51 06,9 14,1 53		CHZ (SK)	$\Delta = 11$ km eP _{NE} , eIP _Z eIS _{NEZ} , iS _E Lm Z: 0,9 ^s ; 1,0 μ P	05 01 53,1 55,0 02 00 03
18.I		$\varphi = 50^{\circ}16'$; $\lambda = 18^{\circ}58'$; H = 10 ^h 48 ^m 47,6 ^s ; M = 2,7 (Chorzów), 2,9 (Racibórz, Zabrze, Dąbrowa Górnicza) 3,0 (Kraków); ZAB: eP _E 10 48 50,6, Lm _{NE} 6,7 μ , 7,4 μ ; DGP: eP _{NEZ} 10 48 52,0, eS _{NEZ} 55,1, Lm _{NEZ} 1,0 μ , 1,7 μ , 2,5 μ			KRA (SKM)	Traces NEZ	05 02-04
	CHZ (SK)	$\Delta = 3$ km iP _{NEZ} Lm Z: 0,9 ^s ; 12,5 μ Lm E: 1,0 ^s ; 9,0 μ P	10 48 48,1 D 51 53 50	19.I		$\varphi = 50^{\circ}20,5'$; $\lambda = 18^{\circ}57,5'$; H = 13 ^h 25 ^m 03,5 ^s ; M = 2,4 (Chorzów); DGP: eS _Z 13 25 10,0	
	RBN (SK)	$\Delta = 38$ km eP _N e _{NEZ} eIS _E e _{NEZ} P	10 48 55,2 56,5 49 00,5 02,5 51		CHZ (SK)	$\Delta = 6$ km eIS _{NEZ} Lm E: 1,0 ^s ; 6,0 μ , 3,5 μ P	13 25 06,4 08 27
	RAC (SK)	$\Delta = 60$ km eP _N e _{NEZ} eIS _E e _{NEZ} P	10 48 55,2 56,5 49 00,5 02,5 51		KRA (SKM)	$\Delta = 79$ km eIP _{SE} e _Z e _{NE} eS _{SE} , iS _{SE} P	13 25 17,8 18,6 27,3 28,3 27

Date	Station	Phase	G.M.T. h m s	Date	Station	Phase	G.M.T. h m s
19.I (suite)	RBN (SK)	Faible e _{NEZ} e _{NE} P	13 25 21,5 24,0 27	22.I	CHZ	e _{1EZ} P	13 42 03,0 44
	NIE (SK)	$\Delta = 145$ km e _{1P_{NEZ}} , e _{1P_{NEZ}} e _{1P_{NEZ}} , e _{1Z} e _{NEZ} P	13 25 29,2 39,3 51,0 27		KRA (SKM)	e _{1S_{NEZ}} e _{NEZ} e _{NEZ} P	13 42 16,7 25,7 34,2 44
20.I	RAC (SK)	Faible e _Z e _{NEZ} e _{NEZ} P	02 36 40,3 44,0 59,0 38	23.I	NIE (SK)	e _{NEZ} e _{NEZ} P	13 42 19,6 35,6 44
	RBN (SK)	Faible e _{1EZ} i _N e _E e _{1S_{NEZ}} P	02 36 44,0 45,0 46,0 47,5 38		H = 04 ^h 30 ^m 53,4 ^s ; M = 3,0 (Racibórz)		
22.I		$\varphi = 50^{\circ}14'$; $\lambda = 18^{\circ}58'$; H = 01 ^h 12 ^m 03,8 ^s ; M = 2,2 (Chorzów); DGP: e _{1P_{NEZ}} 01 12 08,4			RBN (SK)	$\Delta = 36$ km e _{1P_{NEZ}} i _{NEZ} i _{S_{NEZ}} , e _{S_Z} i _E e _{1E} P	04 30 00,4 03,9 05,5 08,5 16,5 31
	CHZ (SK)	$\Delta = 6$ km e _{1P_{NEZ}} , e _{1P_{NEZ}} e _{1S_{NEZ}} , i _{S_E} i _Z Lm NEZ: 0,9 ^s ; 3,0 ^μ , 2,0 ^μ , 2,0 ^μ	01 12 05,4 06,6 08,4 11 14	23.I	RAC (SK)	$\Delta = 48$ km e _{1P_{NEZ}} , i _{P_{NEZ}} i _{NEZ} , e _{1Z} i _{NEZ} , e _{1Z} e _{S_{NEZ}} Lm NEZ: 1,0 ^s ; 0,3 ^μ , 0,8 ^μ , 1,3 ^μ	04 30 02,4 05,4 07,5 09,0 36 31
	KRA (SKM)	$\Delta = 71$ km e _{1P_{NEZ}} e _E e _{S_{NEZ}} e _{1E} e _{NEZ} P	01 12 16,8 17,8 26,3 27,8 42,0 14		CHZ (SK)	$\Delta = 5$ km i _{P_{NEZ}} i _Z Lm NEZ: 1,0 ^s ; 16,8 ^μ , 33,0 ^μ , 16,0 ^μ	14 48 41,4 43,1 46 51
	NIE (SK)	$\Delta = 138$ km e _{1P_{NEZ}} e _{1N} e _{NEZ} P	01 12 28,3 47,2 49,9 14		RBN (SK)	$\Delta = 36$ km e _{NEZ} e _{1S_{NEZ}} , i _{S_Z} i _Z i _{NEZ}	14 48 (48,6) 51,6 55,1 49 02
22.I		DGP (GIG): 13 42 00,2					
	CHZ (SK)	e _{1P_{NEZ}} , e _{1P_{NEZ}}	13 42 00,0				

Date	Station	Phase	G.M.T. h m s	Date	Station	Phase	G.M.T. h m s
23.I (suite)	RBN	Lm NEZ: 1,0 ^s ; 1,4 ^s ; 2,1 ^μ , 3,2 ^μ	14 49 10	24.I	CHZ	i _{NEZ} , e _{1Z} P	17 14 45,3 16
		P	53		KRA (SKM)	Faible e _{NEZ} e _Z P	17 15 05,5 18,0 16
	RAC (SK)	$\Delta = 61$ km e _{1P_{NEZ}} e _{NEZ} e _{1S_{NEZ}} i _{NEZ} Lm NEZ: 1,2 ^s ; 1,1 ^μ , 1,0 ^μ Lm E: 1,8 ^s ; 3,0 ^μ	14 48 51,3 D 52,1 59,6 49 05,6 34 48 53		RBN (SK)	Traces NE	17 14-16
	KRA (SKM, Ch)	$\Delta = 70$ km e _{1P_{NEZ}} i _Z i _{S_{NEZ}} e _{NEZ} Lm NE: 1,2 ^s ; 0,12 ^μ , 0,62 ^μ P	14 48 53,1 D 59,6 49 02,5 11 30 52	28.I		$\varphi = 50^{\circ}19'$; $\lambda = 18^{\circ}58'$; H = 01 ^h 50 ^m 45,3 ^s ; DGP: e _{1P_{NEZ}} 01 50 49,1	
	NIE (SK)	$\Delta = 131$ km e _{1P_{NEZ}} i _{NEZ} , e _{1E} e _{1EZ} e _{1S_{NEZ}} P	14 49 02,8 D 04,6 15,1 19,9 53		CHZ (SK)	$\Delta = 4$ km e _{1P_{NEZ}} e _E , e _{1Z} i _N P	01 50 46,4 49,0 49,9 52
24.I		DGP (GIG): 11 59 07,0			KRA (SKM)	$\Delta = 77$ km e _{1P_{NEZ}} , i _{P_{NEZ}} i _{S_{NEZ}} , e _{1S_{NEZ}} e _{1NEZ} , i _Z P	01 50 59,2 51 09,4 12,0 53
	CHZ (SK)	e _{1P_{NEZ}} i _N Lm NEZ: 1,0 ^s ; 1,8 ^μ , 1,5 ^μ , 1,0 ^μ	11 59 09,1 11,8 18 12 01		NIE (SK)	$\Delta = 142$ km e _{1P_{NEZ}} , e _{1P_{NEZ}} e _{S_{NEZ}} i _N , e _{1EZ} P	01 51 09,6 D 28,1 30,6 53
	KRA (SKM)	Porte ag. mi. i _{P_{NEZ}} e _N e _E P	11 59 18,0 25,0 26,0 12 01	24.I	RAC (SK)	Traces Z	01 51-53
	NIE (SK)	e _{1P_{NEZ}} , e _{1P_{NEZ}} e _{1NEZ} P	11 59 29,4 46,6 12 01	28.I		$\varphi = 50^{\circ}15'$; $\lambda = 18^{\circ}58'$; H = = 02 ^h 34 ^m 01,3 ^s ; M = 1,9 (Cho- rzów); DGP: e _{1P_{NEZ}} 02 34 05,4	
24.I		DGP (GIG): 17 14 48,8			CHZ (SK)	$\Delta = 5$ km e _{1P_{NEZ}} i _{S_{NEZ}} Lm Z: 1,1 ^s ; 1,5 ^μ	02 34 02,5 03,7 05 36
	CHZ (SK)	e _{NEZ}	17 14 44,6		KRA (SKM)	$\Delta = 75$ km i _{P_{NEZ}} , e _{1P_{NEZ}} e _{1S_{NEZ}} e _{1NEZ} P	02 34 15,0 25,0 28,7 36
					RBN (SK)	Faible e _{NEZ} e _N P	02 34 15,7 21,0 36
					NIE	$\Delta = 137$ km	

Date	Station	Phase	G.M.T. h m s	Date	Station	Phase	G.M.T. h m s
28.I (suite)	NIE (SK)	eP _{NE} , eIP _Z eS _{NEZ} e _{NEZ} e _{NEZ} F	02 34 25,8 42,1 43,6 48,6 36	29.I	KRA	e _{NE} F	13 03 17,3 04
	RAC (SK)	Traces Z	02 34-36		NIE (SK)	Faible eP _{NEZ} e _{NEZ} i _E , e _{NEZ} F	13 03 15,3 27,3 31,3 04
29.I		DGP (GIG): 04 59 43,1		29.I		DGP (GIG): 13 55 53,6	
	CHZ (SK)	Faible eP _E , iP _Z e _{NE} , i _{NEZ} e _{NEZ} Im NEZ: 0,8 ^m ; 2,5 ^μ , 2,5 ^μ , 2,0 ^μ	04 59 43,8 44,3 46,4 49		CHZ (SK)	Faible e _Z e _{NEZ} F	13 55 55,7 56 03 57
	RBN (SK)	Faible e _{EZ} e _{NEZ} F	04 59 49,2 58,7 05 02		KRA (SKM)	Traces e _{NEZ} F	13 55 13,8 57
	KRA (SKM)	eP _{NEZ} i _{NEZ} F	04 59 52,3 59,7 05 02	30.I	CHZ (SK)	eP _{NE} , eIP _Z Im NEZ: 0,5 ^m ; 1,5 ^μ , 1,5 ^μ , 1,5 ^μ	00 58 38,8 42
	RAC (SK)	Faible e _{EZ} e _{NE} F	05 00 01,0 10,8 05 02		KRA (SKM)	e _{NEZ} e _{NEZ} F	00 58 58,9 59 13,9 01 00
	NIE (SK)	eP _{NE} , eIP _{GEZ} eIS _{NEZ} , iS _{GEZ} e _{NEZ} F	05 00 05,1 21,7 27,9 02		NIE (SK)	Traces e _N e _{NEZ} F	00 59 20,2 20,7 01 00
29.I		H = 09 ^h 21 ^m 13,5 ^s		30.I		φ = 50°25'; λ = 19°10'; H = = 09 ^h 48 ^m 33,6 ^s ; M = 2,6 (Cho- rzów); DGP: eP _{NEZ} 09 48 36,1	
	RBN (SK)	Δ = 24 km eP _Z e _{NE} , e _{NEZ} iS _{NE} , eS _Z F	09 21 17,3 17,8 20,8 22		CHZ (SK)	Δ = 20 km eP _E , eIP _Z e _{NEZ} , e _{NEZ} eS _{NEZ} Im NEZ: 1,0 ^m ; 2,5 ^μ , 1,6 ^μ , 1,0 ^μ	09 48 37,9 39,4 40,9 47
	RAC (SK)	Δ = 31 km. Faible eS _{NEZ} e _Z F	09 21 23,5 28,7 23		KRA (SKM)	Δ = 65 km eIP _{NEZ} e _{NEZ} F	09 48 46,5 54,0 50
29.I		DGP (GIG): 13 02 55,0			NIE (SK)	Δ = 141 km eP _{NE} , eIP _Z	09 48 58,7 D
	KRA (SKM)	Faible eIS _{NEZ}	13 03 07,8				

Date	Station	Phase	G.M.T. h m s	Date	Station	Phase	G.M.T. h m s	
30.I (suite)	NIE (suite)	e _{NEZ} e _E e _{NEZ} F	09 49 13,2 14,7 19,2 50	31.I	CHZ	e _{NEZ} i _{NEZ} Im NEZ: 0,4 ^m ; 1,5 ^μ , 2,0 ^μ , 1,5 ^μ	19 30 10,7 11,7 14	
	RBN (SK)	Traces NEZ	09 48-50		RBN (SK)	Faible e _{NE} e _{NEZ} F	19 30 21,3 23,8 32	
30.I	RAC (SK)	Faible e _{NEZ} e _{NE} F	21 20 36,0 37,5 22		NIE (SK)	Faible, E - inactive e _{NE} , e _{NEZ} e _Z e _N F	19 30 34,2 51,5 52,5 32	
	RBN (SK)	Traces NE	21 20-22		RAC (SK)	Traces NEZ	19 30-32	
31.I		DGP (GIG): 19 30 14,0						
	CHZ (SK)	eP _{NE} , eIP _Z	19 30 08,8					
1966				F É V R I E R				1966
4.II		φ = 50°16'; λ = 18°58'; H = 07 ^h 43 ^m 00 ^s ; M = 2,0 (Bytom); DGP: eP _Z 07 43 03,7; BYT: eS _{NE} 07 43 04,0, Im _{NE} 2,8 ^μ , 0,8 ^μ		8.II	CHZ	Δ = 8 km. Faible eIP _{NEZ} , iP _E F	17 55 25,5 57	
	RBN (SK)	Δ = 36 km eS _{NE} e _{NEZ} e _{NEZ} F	07 43 11,5 14,0 26,5 45		KRA (Ch)	Δ = 76 km. Faible eP _{NEZ} eS _{NEZ} i _E , e _{NEZ} F	17 55 37,2 47,3 50,8 57	
	KRA (Ch)	Δ = 73 km eP _{NE} , eIP _{GEZ} eS _{NE} e _E e _{NEZ} , i _E F	07 43 13,1 D 22,8 23,6 35,5 45		NIE (SK)	Δ = 142 km. Faible eIP _{NEZ} , eP _{GEZ} e _Z e _N F	17 55 48,6 56 03,2 04,3 57	
	NIE (SK)	Δ = 138 km eP _{NE} , eIP _{GEZ} eS _{GEZ} F	07 43 23,5 D 41,6 45	8.II	CHZ (SK)	eIP _Z e _{NE} Im NE: 0,7 ^m ; 4,0 ^μ	21 41 20,2 20,5 22	
4.II		H = 18 ^h 48 ^m 41,4 ^s			RBN (SK)	Im Z: 0,5 ^m ; 1,2 ^μ	26 43	
	RBN (SK)	Δ = 16 km iP _{NEZ} iS _{NEZ} F	18 48 44,8 47,3 50		KRA (Ch)	eP _{NEZ} e _{NEZ} F	21 41 33,4 43,4 44	
8.II		H = 17 ^h 55 ^m 23,4 ^s ; DGP (GIG): 17 55 28,6						

Date	Station	Phase	G.M.T. h m s	Date	Station	Phase	G.M.T. h m s
8.II (suite)	NIE (SK)	eP_{NE} , eIP_{EZ}	21 41 43,8	11.II	NIE (SK)	eP_{NEZ}	17 35 29,5
		e_Z	47,8			e_{NEZ}	48,5
		i_N, e_{iE}	48,8			F	37
		e_{iNE}, e_Z	42 02,3	12.II		DGP (GIG):	05 52 03,2
		F	43		KRA	Forte ag. mi.	
	RBN	Traces			(Ch)	e_N, e_{iZ}	05 52 14,3
	(SK)	NE	21 41-43			e_{EZ}	21,8
	RAC	Traces				F	54
	(SK)	NEZ	21 41-43		NIE	Faible	
10.II		H = $09^h 40^m 45,6^s$; M = 2,8 (Chorzów); DGP (GIG): 09 40 47,2			(SK)	eP_{NEZ}	05 52 25,2
	CHZ	$\Delta = 17$ km				e_{NE}	42,5
	(SK)	e_{iNEZ}	09 40 49,4			e_Z	43,5
		e_{S_N}, e_{iS_E}	52,0			F	54
		i_E	53,0	13.II		H = $18^h 15^m 56,1^s$; DGP (GIG): 18 16 01,6	
		Lm	58		KRA	$\Delta = 80$ km	
		NEZ: $0,9^s$; $3,0\mu$, $2,0\mu$, $2,0\mu$			(Ch)	$eP_{NEZ}, e_{iP_{EZ}}$	18 16 10,6
		F	42			$e_{S_{NEZ}}$	21,2
	KRA	$\Delta = 71$ km				i_N	25,1
	(SKM)	$e_{iP_{NEZ}}$	09 40 58,4 C			F	18
		e_{iEZ}	41 06,7		NIE	$\Delta = 134$ km. Faible	
		$e_{iS_{NEZ}}$	07,9		(SK)	eP_{NEZ}	18 16 20,9
		F	43			e_Z	37,4
	RBN	Faible				e_{S_N}	38,4
	(SK)	e_{NE}	09 41 10,0			F	18
		e_{NE}	17,0		RBN	Traces	
		F	43		(SK)	NEZ	18 16-17
	NIE	$\Delta = 138$ km		14.II		H = $16^h 58^m 31,7^s$; DGP (GIG): 16 58 37,4	
	(SK)	eP_{NE}, iP_{EZ}	09 41 10,2 D		CHZ	$\Delta = 7$ km. Faible	
		e_Z	25,2		(SK)	iP_{NE}, e_{iP_Z}	16 58 33,6
		e_{iNE}	26,7			e_{iEZ}	35,6
		$e_{iS_{NEZ}}$	28,2			F	59
		F	43		KRA	$\Delta = 75$ km. Faible	
11.II		BYT (GIG): 17 35 - traces			(Ch)	eP_{EZ}	16 58 45,4
	CHZ					$e_{S_{NEZ}}$	55,4
	(SK)	eP_{NE}, iP_Z	17 35 06,6			F	17 00
		Lm	10		RBN	Traces	
		NEZ: $0,9^s$; $2,0\mu$, $3,2\mu$, $1,6\mu$			(SK)	NE	16 58-17 00
		F	37	14.II		$\psi = 50^{\circ}15'$; $\lambda = 18^{\circ}57'$; H = $= 17^h 27^m 38,7^s$; M = 2,3 (Chorzów), 2,1 (Bytom); DGP: eP_{EZ} 17 27 43,2; BYT: $e_{S_{NE}}$ 17 27 43,5; Lm 2,4 μ , 1,1 μ	
	KRA	Faible					
	(Ch)	e_{NEZ}	17 35 19,3				
		F	37				
	NIE	Faible					

Date	Station	Phase	G.M.T. h m s	Date	Station	Phase	G.M.T. h m s
14.II (suite)	CHZ (SK)	$\Delta = 4$ km eP_N, e_{iP_E}, iP_Z	17 27 39,6 C	15.II	NIE	i_{NR}	03 50 27,6 52
		e_{iEZ}	40,4		RAC	Traces	
		Lm	42		(SK)	NEZ	03 50-52
		NEZ: $0,7^s$; $2,5\mu$, $4,5\mu$, $3,5\mu$		15.II		$\psi = 50^{\circ}14'$; $\lambda = 18^{\circ}58'$; H = $04^h 17^m 29^s$; M = 2,3 (Chorzów); DGP: eP_N 04 17 33,4	
		F	29		CHZ	$\Delta = 8$ km	
	RBN	Faible			(SK)	eP_E, e_{iP_Z}	04 17 30,7
	(SK)	e_N	17 27 47,5			e_N	30,9
		e_E	49,0			e_{iS_Z}	32,2
		F	29			Lm	34
	KRA	$\Delta = 75$ km. Forte ag. mi.				NEZ: $0,8^s$; $2,0\mu$, $1,5\mu$, $1,9\mu$	
	(SKM)	$e_{iP_{EZ}}$	17 27 52,5			F	19
		$e_{iS_{NEZ}}$	28 02,5		KRA	$\Delta = 75$ km. Faible	
		F	29		(Ch)	eP_{NEZ}	04 17 43,0
	NIE	$\Delta = 137$ km				e_{S_N}, iS_{EZ}	53,0
	(SK)	eP_{EZ}	17 28 02,5			F	19
		e_{iN}, e_E	03,5	15.II		RBN	Faible
		e_N, e_{iEZ}	21,3		(SK)	e_{NE}	04 17 48,0
		F	29			e_{EZ}	55,6
						F	20
					NIE	Traces	
					(SK)	e_Z	04 17 52,6
						F	19
	15.II	$\psi = 50^{\circ}17'$; $\lambda = 19^{\circ}13'$; H = $= 03^h 49^m 47,8^s$; M = 2,7 (Chorzów, Dąbrowa Górnicza), 2,8 (Kraków), 2,9 (Bytom); DGP: eP_Z 03 49 49,6; Lm 3,7 μ , 4,3 μ , 4,8 μ ; BYT: e_{S_N} 03 49 55,7; Lm 1,9 μ , 8,0 μ					
					CHZ	$\Delta = 15$ km	
					(SK)	eP_{NEZ}	03 49 51,2 C
						$e_{S_{NEZ}}$	53,6
						e_{EZ}	55,3
						Lm	50 01
						NEZ: $1,0^s$; $2,5\mu$, $2,0\mu$, $2,5\mu$	
						F	51
	RBN	$\Delta = 54$ km. Faible					
	(SK)	eP_{EZ}	03 49 57,8				
		e_{NEZ}	50 00,4				
		F	52				
	KRA	$\Delta = 58$ km					
	(Ch)	$e_{iP_{NEZ}}$	03 49 58,5				
		e_{iNEZ}	50 08,0				
		Lm	23				
		NE: $1,2^s$; $0,23\mu$, $0,18\mu$					
		F	52				
	NIE	$\Delta = 128$ km					
	(SK)	iP_{NEZ}	03 50 11,5 C				
		e_{iNE}, e_Z	26,1				

Date	Station	Phase	G.M.T. h m s	Date	Station	Phase	G.M.T. h m s
15.II (suite)	RAC	e_{NE}^{iE} F	16 35 48,9 38	18.II	CHZ	NEZ: 0,8 ^u ; 3,5 ^u , 3,0 ^u , 3,0 ^u F	34
	KRA	$\Delta = 84$ km (Ch) e_{iPE}^{iNEZ} e_{iNEZ} $i_N^{e_{iZ}}$ Lm	16 35 41,6 C 50,6 36 04,1 15 NE: 1,6 ^u ; 0,28 ^u , 0,23 ^u Lm 26 NEZ: 1,0 ^u ; 0,13 ^u , 0,15 ^u , 0,18 ^u 38		KRA	Faible (SKM) $i_N^{e_{iZ}}$ $i_N^{e_{iZ}}$ $e_{NE}^{e_{iZ}}$ F	02 33 28,1 36,1 40,0 35
	NIE	$\Delta = 150$ km (SK) e_{iPE}^{iNEZ} $e_{iNE}^{e_{iZ}}$ e_{iSE}^{iSE} F	16 35 52,4 C 36 08,6 11,9 38	19.II		$\varphi = 50^{\circ}21,5'$; $\lambda = 18^{\circ}53,5'$; H = 04 ^h 14 ^m 10,0 ^s ; h < 1 km, M = 2,9 (Chorzów), 3,0 (Ra- cibórz, Dąbrowa Górnicza), 3,3 (Kraków); BYT: e_{iPE} 04 14 10,7; ZAB: e_{iPE} 04 14 11,8; e_{iSE} 13,4; DGP: e_{iNEZ} 04 14 15,2; e_{iSEZ} 18,7; Lm _{NEZ} 1,3 ^u ; 1,1 ^u , 2,4 ^u , 2,8 ^u	
15.II		$\varphi = 50^{\circ}19'$; $\lambda = 18^{\circ}59'$; H = = 21 ^h 16 ^m 17,7 ^s ; M = 2,0 (Chorzów), 2,1 (Bytom); BYT (GIG): 21 16 21,6; Lm _{NE} 1,9 ^u , 4,9 ^u ; DGP (GIG): 21 16 22,0			CHZ	$\Delta = 11$ km (SK) i_{PE}^{iNEZ} Lm	04 14 12,6 D 21 NEZ: 1,0 ^u ; 5,5 ^u , 5,5 ^u , 5,2 ^u F 16
	CHZ	$\Delta = 4$ km (SK) e_{iPE}^{iNEZ} Lm	21 16 (18,7) 24 EZ: 0,8 ^u ; 2,5 ^u , 3,2 ^u F 18		RBN	$\Delta = 40$ km (SK) e_{iNEZ} i_{SE}^{iSE} , e_{iSE} e_{iZ} F	04 14 18,3 23,0 26,5 17
	KRA	$\Delta = 76$ km (Ch) e_{iPE}^{iSEZ} $e_{iNE}^{e_{iZ}}$ e_{iSE}^{iSE} F	21 16 31,5 40,6 41,6 18		RAC	$\Delta = 58$ km (SK) e_{iPE}^{iNEZ} e_{iNE} Lm	04 14 20,8 30,4 15 26 NEZ: 2,0 ^u , 2,0 ^u , 1,8 ^u ; 1,0 ^u , 0,9 ^u , 0,8 ^u F 18
	NIE	$\Delta = 142$ km (SK) e_{iPE}^{iSEZ} e_{iNE} e_{iZ} F	21 16 41,7 C 42,5 17 02,2 03,2 18		KRA	$\Delta = 83$ km (Ch) e_{iPE}^{iNEZ} , i_{PE}^{iPE} e_{iNEZ} i_{SE}^{iSE} Lm	04 14 25,1 D 34,6 36,1 15 07 NEZ: 1,0 ^u , 1,2 ^u , 1,0 ^u ; 0,25 ^u , 0,35 ^u , 0,23 ^u F 17
18.II		H = 02 ^h 33 ^m 03,2 ^s ; M = 2,1 (Chorzów); DGP (GIG): 02 33 05,8			NIE	$\Delta = 150$ km (SK) e_{iPE}^{iNEZ} , i_{PE}^{iPE} i_Z	04 14 36,1 C 36,9
	CHZ	$\Delta = 4$ km (SK) e_{iPE}^{iPE} i_{SE}^{iSE} Lm	02 33 04,6 05,6 08				

Date	Station	Phase	G.M.T. h m s	Date	Station	Phase	G.M.T. h m s
19.II (suite)	NIE	e_{iSE}^{iSE} , i_{SE}^{iSE} , e_{iSE} i_{EZ} F	04 14 55,7 57,7 17	22.II	RBN	Traces (SK) NEZ	01 33-35
20.II		$\varphi = 50^{\circ}19'$; $\lambda = 19^{\circ}12'$; H = = 01 ^h 29 ^m 35,8 ^s ; M = 2,5 (Chorzów); DGP: e_{iPE} 01 29 37,0; BYT (GIG): 01 30 - traces		23.II		H = 12 ^h 56 ^m 23,3 ^s RBN $\Delta = 28$ km (SK) e_{iPE} e_{iNEZ} e_{iSE} e_{iZ} F	12 56 28,9 30,8 33,0 38,5 57
	CHZ	$\Delta = 16$ km (SK) e_{iPE} e_{iN} e_{iNE} e_{iSE} Lm	01 29 39,7 40,2 41,7 42,2 48		RAC	Traces (SK) NEZ	12 56-58
		NEZ: 1,1 ^u ; 2,0 ^u , 2,0 ^u , 1,2 ^u F 31		23.II	CHZ	Faible (SK) e_{iN} , e_{iZ} e_{iE} e_{iN} F	18 56 05,2 05,9 07,2 57
	KRA	$\Delta = 62$ km (SKM) e_{iPE}^{iNEZ} , i_{PE}^{iPE} $i_N^{e_{iZ}}$ e_{iZ} i_{SE}^{iSE} F	01 29 46,8 48,3 51,3 55,1 32		KRA	(Ch) e_{iPE}^{iNEZ} , e_{iPE}^{iPE} i_{E} i_{Z} e_{iNEZ} F	18 56 06,9 09,2 10,7 15,7 58
	NIE	$\Delta = 129$ km (SK) e_{iPE}^{iSEZ} $e_{iNE}^{e_{iZ}}$ e_{iZ} e_{iSE}^{iSE} , e_{iSE} F	01 29 58,9 59,9 30 14,5 15,7 31		RBN	Traces (SK) NE NIE Traces (SK) NEZ	18 56-57 18 56-57
	RBN	Faible (SK) e_{iNE} e_{iEZ} F	01 30 03,0 13,8 32	23.II		DGP (GIG): 20 49 10,8 KRA Faible (SKM) e_{iNEZ} e_{iNEZ} F	20 49 21,2 28,5 50
22.II		H = 01 ^h 33 ^m 31,6 ^s ; M = 2,1 (Chorzów); DGP (GIG): 01 33 36,9			CHZ	Traces (SK) NEZ NIE Traces (SK) NEZ	20 49-50 20 49-50
	CHZ	$\Delta = 5$ km (SK) e_{iPE}^{iNEZ} , i_{PE}^{iPE} Lm	01 33 33,1 C 36			H = 04 ^h 22 ^m 16,2 ^s ; M = 2,4 (Chorzów); DGP (GIG): 04 22 22,8 CHZ $\Delta = 12$ km (SK) e_{iPE}^{iNEZ} i_{SE} Lm	04 22 18,9 20,9 22
		Z: 1,0 ^u ; 1,6 ^u Lm 37 NE: 0,8 ^u , 0,9 ^u ; 2,8 ^u , 2,1 ^u F 34		24.II		NEZ: 1,0 ^u ; 3,0 ^u , 1,5 ^u , 1,5 ^u F 23	
	KRA	$\Delta = 79$ km (Ch) e_{iPE}^{iNEZ} , i_{PE}^{iPE} e_{iSE}^{iSE} F	01 33 45,9 56,4 35				

Date	Station	Phase	G.M.T. h m s	Date	Station	Phase	G.M.T. h m s
24.II (suite)	KRA (Ch)	$\Delta = 87$ km. Faible ePG _{NEZ} ei _{NE} ¹ e _Z P	04 22 32,0 41,5 24	24.II	KRA (SKM)	$\Delta = 89$ km ePG _{EZ} e _{NEZ} Lm	13 29 54,9 30 04,5 41
	NIE (SK)	Faible ePG _Z e _{NZ} ei _Z P	04 22 42,3 23 05,8 06,6 24		RAC (SK)	$\Delta = 53$ km eSG _{EZ} e _{NE} e _{NZ} Lm	13 29 56,6 30 00,6 04,7 56
24.II	RBN (SK)	Traces NE	04 22-24			NEZ: 2,1 ^u ; 0,28 μ , 0,37 μ , 0,65 μ F	31 30
	CHZ (SK)	$H = 05^h 02^m 25,0^s$; M = 2,6 (Chorzów); DGP (GIG): 05 02 31,5 $\Delta = 14$ km eiP _{NEZ} Lm F	05 02 28,1 32 Z: 1,1 ^u ; 1,8 μ 03		NIE (SK)	$\Delta = 153$ km eiP _{NEZ} , ePG _E ei _{NEZ} ei _{NZ} iSG _{NE} , eSG _E P	13 30 04,6 08,3 21,8 24,0 32
	KRA (SK)	$\Delta = 83$ km. Faible ePG _{NEZ} eSG _{NEZ} P	05 02 40,0 51,0 04	24.II		$\varphi = 50^{\circ} 21'$; $\lambda = 18^{\circ} 50'$; H = = 13 ^h 31 ^m 18,9 ^s ; M = 2,4 (Zabrze); ZAB: eP _{NE} 13 31 21,2; Lm _{NE} 4,2 μ , 4,6 μ , BYT: (GIG): 13 31 21,4; DGP: e _{EZ} 13 31 25,7; eS _{EZ} 28,1	
	NIE (SK)	$\Delta = 143$ km. Faible ePG _{NE} , eiP _{GZ} ei _Z P	05 02 50,3 03 05,8 04		KRA (SKM)	$\Delta = 87$ km iPG _{EZ} eISG _{NEZ} P	13 31 34,6 46,1 33
	RBN (SK)	Traces NEZ	05 02-04		NIE (SK)	$\Delta = 153$ km ePG _{NEZ} e _{NZ} ei _Z e _N , ei _E P	13 31 45,8 32 00,8 08,7 10,3 33
24.II	CHZ (SK)	$\varphi = 50^{\circ} 21'$; $\lambda = 18^{\circ} 49'$; $H = 13^h 29^m 39^s$; M = 2,7 (Chorzów), 3,0 (Racibórz), 3,1 (Kraków); BYT: eP _E 13 29 40,6; DGP: eP _{EZ} 13 29 44,7; eS _{NEZ} 48,9; ZAB (GIG): e _{NE} 13 30(00) $\Delta = 14$ km eiP _{NEZ} i _Z Lm F	13 29 42,2 46,5 50 NEZ: 1,0 ^u ; 3,0 μ , 2,6 μ , 2,0 μ 31		RBN (SK)	Traces e _N P	13 31 46,0 33
	RBN (SK)	$\Delta = 36$ km eIS _{NE} ei _Z e _{NEZ} P	13 29 50,5 57,0 30 05 31	26.II	RAC (SK)	Traces NEZ	13 32-34
					CHZ (SK)	$\varphi = 50^{\circ} 16'$; $\lambda = 18^{\circ} 57'$; H = = 13 ^h 37 ^m 31,5 ^s ; M = 1,9 (Chorzów); BYT: eS _E 13 37 35,7; DGP: eP _{EZ} 13 37 35,9	
						$\Delta = 4$ km eP _{NEZ}	13 37 33,0

Date	Station	Phase	G.M.T. h m s	Date	Station	Phase	G.M.T. h m s
26.II (suite)	CHZ (suite)	iS _Z Lm F	13 37 34,0 37 38	26.II	CHZ	NEZ: 0,7 ^u ; 3,5 μ , 1,6 μ , 1,5 μ F	11
	KRA (Ch)	$\Delta = 75$ km. Forte ag. mi. ePG _Z eS _{NE} , iSG _Z P	13 37 45,1 55,1 39		KRA (Ch)	$\Delta = 72$ km. Faible ePG _{NEZ} , eiP _{GZ} eISG _{NEZ} P	19 10 24,1 33,8 12
	NIE (SK)	Traces e _{EZ} e _{EZ} P	13 37 54,5 38 15,5 39		NIE (SK)	$\Delta = 134$ km. Faible ePG _{NEZ} P	19 10 34,5 12
					RBN (SK)	Traces NEZ	19 10-12
26.II		$\varphi = 50^{\circ} 19'$; $\lambda = 18^{\circ} 51'$; H = = 18 ^h 44 ^m 54,0 ^s ; M = 2,2 (By- tom); BYT: eP _{NE} 18 44 56,2, Lm _{NE} 5,2 μ , 2,7 μ ; DGP: eP _E 18 44 59,3		27.II		$H = 08^h 56^m 44,3^s$; DGP (GIG): 08 56 47,3	
	CHZ (SK)	$\Delta = 10$ km. Faible eP _{EZ} eS _{NEZ} i _N P	18 44 56,5 58,3 45 05 46		KRA (SKM)	$\Delta = 74$ km eiP _{NEZ} eISG _{NEZ} P	08 56 57,8 57 07,7 58
	RBN (SK)	$\Delta = 36$ km. Faible eS _N e _{NE} P	18 45 05,5 19,1 46		NIE (SK)	Faible e _{NE} , i _Z eSG _{EZ} P	08 57 10,2 24,7 58
	NIE (SK)	$\Delta = 146$ km ePG _{NE} , eiP _{GZ} e _{EZ} e _{NZ} i _E P	18 45 18,5 32,7 36,5 46,5 47	28.II	CHZ (SK)	$\varphi = 50^{\circ} 14'$; $\lambda = 18^{\circ} 57'$; $H = 01^h 57^m 46,4^s$; M = 2,3 (Chorzów); DGP: eP _Z 01 57 51,0 BYT: eS _E 01 57 51,9 $\Delta = 6$ km eiP _Z e _{NE} Lm F	01 57 48,2 48,7 53 NEZ: 0,9 ^u ; 4,0 μ , 2,0 μ , 2,5 μ 59
	KRA (Ch)	$\Delta = 81$ km. Faible e _{NE} iSG _{NE} , eISG _Z ei _N , e _{EZ} P	18 45 18,8 19,8 27,3 47		RBN (SK)	$\Delta = 34$ km e _{NEZ} e _{NE} e _{EZ} P	01 57 54,8 58 04,7 10,0 59
	RAC (SK)	Traces NEZ	18 45-47		KRA (SK)	$\Delta = 75$ km. Faible eiP _{NEZ} eISG _{NEZ} P	01 57 59,9 58 09,9 59
26.II		$\varphi = 50^{\circ} 14,5'$; $\lambda = 19^{\circ} 00'$; $H = 19^h 10^m 10,9^s$; M = 2,3 (Chorzów); DGP (GIG): 19 10 15,2			NIE (SK)	$\Delta = 136$ km. N - illisible ePG _E , eiP _{GZ} e _{EZ} e _{EZ} P	01 58 10,4 28,9 34,0 02 00
	CHZ (SKM)	$\Delta = 5,5$ km eP _{NEZ} eS _E , eIS _Z Lm	19 10 12,5 13,7 15		RAC (SK)	Traces NEZ	01 58-02 00

Date	Station	Phase	G.M.T. h m s	Date	Station	Phase	G.M.T. h m s
1966 M A R S 1966							
2.III		$\varphi = 50^{\circ}19'$; $\lambda = 18^{\circ}55'$; H = $09^{\text{h}}10^{\text{m}}38,0^{\text{s}}$; M = 2,6 (Zabrze); BYT: eP _E 09 10 39,1; DGP: eP _{EZ} 09 10 42,7; ZAB: Lm _{NE} 4,2 μ , 5,5 μ		2.III	RAC	eS _{EZ} e _{NE} Lm NEZ: 1,5 ^s ; 1,2 μ , 1,1 μ Lm NE: 1,6 ^s , 2,0 ^s ; 1,3 μ , 1,8 μ	11 38 51,1 52,6 39 24 41 43
RBN	$\Delta = 37$ km			KRA	$\Delta = 83$ km		
(SK)	eP _Z	09 10 50,0		(Ch)	eP _{EZ}	11 38 47,2 C	
	e _{NE}	52,0			e _{NE} , i _{EZ}	48,0	
	e _{NEZ}	59,0			iS _{EZ}	58,2	
	F	12			e _L NEZ	39 17	
KRA	$\Delta = 80$ km				Lm	30	
(Ch)	iP _{EZ}	09 10 52,5			NEZ: 1,4 ^s ; 0,75 μ , 0,61 μ , 0,64 μ		
	e _{IZ}	55,8		F		41	
	e _{IS} E _N , eS _{EZ}	11 03,1		NIE	$\Delta = 145$ km		
	e _{IZ}	03,8		(SK)	e _{IS} E _{NEZ}	11 38 58,2 C	
	F	12			e _{IZ}	39 02,1	
NIE	Traces				e _{IZ}	14,9	
(SK)	e _Z	09 11 02,8			e _{IS} E _{NEZ}	16,7	
	e _Z	05,8			F	42	
	F	13		3.III			
2.III		$\varphi = 50^{\circ}21'$; $\lambda = 18^{\circ}53'$; H = $11^{\text{h}}38^{\text{m}}32,6^{\text{s}}$; M = 3,3 (Chorzów, Racibórz), 3,5 (Kraków); BYT: iP _E 11 38 33,3; DGP: eP _{EZ} 11 38 37,4			H = $01^{\text{h}}29^{\text{m}}10,4^{\text{s}}$; M = 1,8 (Chorzów); DGP (GIG): 01 29 15,2		
CHZ	$\Delta = 11$ km			CHZ	$\Delta = 4$ km		
(SK)	iP _{NEZ}	11 38 35,5 D		(SK)	eP _{NEZ}	01 29 11,8	
	i _{NEZ}	36,1			iS _{NEZ}	12,8	
	iS _{NEZ}	37,4			Lm	15	
	Lm	42			NEZ: 1,1 ^s , 1,1 ^s , 0,8 ^s ; 1,7 μ , 2,0 μ , 1,0 μ		
	NEZ: 1,1 ^s ; 21,5 μ , 18,6 μ , 19,5 μ			F		30	
	F	40		RBN	Traces		
RBN	$\Delta = 39$ km			(SK)	NE	01 29-31	
(SK)	e _{IS} E _{NEZ}	11 38 40,0 C		KRA	Traces		
	e _{IS} E _{NEZ} , eS _{EZ}	45,4		(Ch)	NEZ	01 29-31	
	e _{IZ}	49,0		NIE	Traces		
	Lm	59		(SK)	NEZ	01 29-31	
	NEZ: 1,8 ^s , 1,5 ^s , 1,5 ^s ; 2,0 μ , 2,0 μ , 1,0 μ			3.III			
	F	42			$\varphi = 50^{\circ}22'$; $\lambda = 19^{\circ}00'$; H = $01^{\text{h}}48^{\text{m}}43,3^{\text{s}}$; M = 2,3 (Chorzów); DGP: eP _Z 01 48 46,8		
RAC	$\Delta = 57$ km			CHZ	$\Delta = 9$ km		
(SK)	eP _{EZ}	11 38 43,3		(SK)	iP _{NEZ}	01 48 45,6 D	
	e _Z	44,8			iS _{NEZ}	47,3	
	e _{NE}	46,1					

Date	Station	Phase	G.M.T. h m s	Date	Station	Phase	G.M.T. h m s
3.III (suite)	CHZ	i _{NEZ} Lm NEZ: 1,0 ^s ; 2,0 μ , 2,0 μ , 1,5 μ	01 48 49,0 51 50	4.III	NIE	e _{EZ} e _{NEZ} F	04 29 54,0 58,5 31
	KRA	$\Delta = 77$ km		RBN	Traces		
	(SKM)	eP _{EZ} , e _{IS} E _Z	01 48 57,3	(SK)	NEZ	04 29-31	
		e _{NE}	49 03,3	4.III		H = $23^{\text{h}}33^{\text{m}}49,9^{\text{s}}$; M = 2,7 (Racibórz)	
		e _{IZ}	04,8	RBN	$\Delta = 23$ km		
		e _{NEZ}	10,0	(SK)	eP _{NEZ}	23 33 54,6	
		F	50		eS _{NEZ}	58,0	
	NIE	$\Delta = 144$ km. Faible			e _{IS} NEZ	34 00,7	
	(SK)	eP _{EZ}	01 49 07,2		e _{IS} NEZ	06,5	
		e _N	22,5		F	35	
		e _{IS} E _Z	25,9	RAC	$\Delta = 37$ km		
		F	51	(SK)	eP _{NEZ} , e _{IS} E _Z	23 33 56,8	
3.III		H = $14^{\text{h}}14^{\text{m}}14,3^{\text{s}}$; M = 2,0 (Chorzów); DGP (GIG): 14 14 18,0; ZAB (GIG): 14 14 - traces			e _{IS} E _Z	34 02,0	
	CHZ	$\Delta = 5$ km			e _{NEZ}	03,3	
	(SK)	e _{IS} E _Z	14 14 15,8		Lm	35	
		e _{IS} E _Z , iS _{EZ}	16,9		NEZ: 1,0 ^s ; 0,6 μ , 0,6 μ , 0,6 μ		
		Lm	19		F	36	
		NEZ: 0,9 ^s ; 3,3 μ , 2,0 μ , 2,0 μ		6.III		H = $02^{\text{h}}49^{\text{m}}12,8^{\text{s}}$	
		F	15	RBN	$\Delta = 17$ km		
4.III		H = $04^{\text{h}}29^{\text{m}}17,0^{\text{s}}$; M = 2,5 (Chorzów), 2,6 (Kraków); DGP (GIG): 04 29 17,4		(SK)	e _{IS} E _Z	02 49 16,6	
	CHZ	$\Delta = 15$ km			i _{NEZ} , e _{IZ}	18,0	
	(SK)	e _{IS} E _Z	04 29 20,3 C		iS _{NEZ}	19,4	
		e _N	21,0		Lm	30	
		e _{IS} E _Z	22,7		NEZ: 1,0 ^s ; 1,3 μ , 1,6 μ , 0,8 μ		
		i _N	24,3		F	51	
		Lm	30	6.III		$\varphi = 50^{\circ}19'$; $\lambda = 19^{\circ}03'$; H = $03^{\text{h}}31^{\text{m}}14,2^{\text{s}}$; M = 2,2 (Chorzów); DGP: eS _N 03 31 18,9	
		NEZ: 1,0 ^s ; 1,8 μ , 2,0 μ , 1,1 μ		CHZ	$\Delta = 5$ km		
		F	30	(SK)	iP _{NEZ}	03 31 15,6 C	
KRA	$\Delta = 61$ km				i _Z	16,4	
(Ch)	eP _{EZ} , e _{IS} E _Z	04 29 28,2 C			Lm	18	
	i _N , e _{EZ}	35,4			NEZ: 1,0 ^s ; 5,5 μ , 3,4 μ , 2,4 μ		
	Lm	58			F	32	
		NEZ: 1,1 ^s ; 0,11 μ , 0,12 μ , 0,12 μ		KRA	$\Delta = 71$ km		
		F	31	(SKM)	eP _{EZ}	03 31 27,2	
NIE	$\Delta = 128$ km. Faible				e _{IS} E _N , eS _{EZ}	36,7	
(SK)	iP _{EZ} , eP _{EZ}	04 29 39,8 D			e _{IS} E _N , e _{IS} E _Z	46,2	
					F	33	
				NIE	$\Delta = 139$ km		
				(SK)	eP _{EZ}	03 31 38,0	

Date	Station	Phase	G.M.T. h m s	Date	Station	Phase	G.M.T. h m s
6.III (suite)	NIE	eIS _{NE} , eS _{EZ}	03 31 56,1	7.III		$\varphi = 50^{\circ}22'$; $\lambda = 18^{\circ}50'$; H = $15^{\text{h}}45^{\text{m}}04,8^{\text{s}}$; M = 2,3 (Chorzów); ZAB: eP _{NE} 15 45 06,8; DGP (GIG): 15 45 11,4	
		e _N	32 06,0		CHZ	$\Delta = 15$ km	
		e _{Iz}	07,5		(SK)	eP _{EZ}	15 45 08,2
		P	33			e _{NE}	09,0
6.III		$\varphi = 50^{\circ}16'$; $\lambda = 18^{\circ}57'$; H = $15^{\text{h}}31^{\text{m}}35,3^{\text{s}}$; M = 2,0 (Chorzów); BYT, ZAB (GIG): 15 32 - traces				e _{Iz}	12,2
	CHZ	$\Delta = 4$ km				Lm	16
	(SK)	iP _{NZ} , eP _E	15 31 37,0 C			Z: $1,2^{\text{s}}$; $1,1\mu$	
		iS _{EZ} , eIS _{EZ}	38,0			Lm	17
		Lm	41			B: $1,2^{\text{s}}$; $1,9\mu$	
		NEZ: $1,0^{\text{s}}$; $4,0\mu$, $2,0\mu$, $2,5\mu$				P	46
		P	33		RBN	$\Delta = 37$ km. Faible	
	RBN	$\Delta = 36$ km. Faible			(SK)	eS _{NE}	15 45 16,7
	(SK)	e _{NE}	15 31 44,0			e _N	31,5
		eS _E	46,8			P	47
		P	33		KRA	$\Delta = 87$ km	
	KRA	$\Delta = 75$ km			(SKM)	eIP _{NEZ} , eP _{EZ}	15 45 20,5
	(SKM)	eP _{NEZ} , eIP _{EZ}	15 31 48,8			e _{Iz}	23,5
		iS _{NEZ} , eS _{EB}	58,8			eIS _{NEZ} , iS _{EB}	32,0
		e _{NEZ}	32 11,5			P	47
		P	33		RAC	Traces	
	NIE	$\Delta = 137$ km. Faible			(SK)	e _Z	15 45 31
	(SK)	eP _{NEZ}	15 31 59,7 D			P	48
		e _{NE}	32 16,6	15.III		$\varphi = 50^{\circ}14,5'$; $\lambda = 19^{\circ}00'$; H = $03^{\text{h}}01^{\text{m}}27,1^{\text{s}}$; M = 2,7 (Chorzów, Bytom), 2,8 (Ra- cibórz, Dąbrowa Górnicza), ZAB (GIG): 03 01/30,0/ DGP: eP _{NEZ} 03 01 31,2, eS _{NEZ} 34,2, Lm _Z 1,1 ^s ; 2,2 μ , BYT (GIG): 03 01 33,2	
		e _{Iz}	19,2			CHZ	$\Delta = 6$ km
		P	33		(SK)	iP _{NEZ}	03 01 29,2 D
	RAC	Traces				iS _{EZ}	30,3
	(SK)	NE	15 32-34			Lm	33
6.III		DGP (GIG): 19 21 50,1				NEZ: $1,1^{\text{s}}$; $9,5\mu$, $9,6\mu$, $8,0\mu$	
	CHZ	Faible				P	03
	(SK)	e _Z	19 21 52,4		RAC	$\Delta = 59$ km	
		e _{NE}	53,4		(SK)	eP _{NEZ}	03 01 38,0
		e _N , e _{Iz}	55,6			eS _{NE}	46,0
		eL _{NEZ}	59			e _Z	48,1
		P	23			e _{NEZ}	56,6
	KRA	Faible				Lm	02 44
	(Ch)	e _{EZ}	19 21 59,3			EZ: $1,5^{\text{s}}$; $0,4\mu$, $0,5\mu$	
		e _Z	22 10,8				
		e _{NE}	11,3				
		P	23				
	NIE	Faible					
	(SK)	e _{NEZ}	19 22 13,1				
		e _N , e _{Iz}	21,2				
		e _{Iz}	32,1				
		P	23				

Date	Station	Phase	G.M.T. h m s	Date	Station	Phase	G.M.T. h m s
15.III (suite)	RAC	Lm	03 01 59	17.III	CHZ	Faible	
		N: $2,0^{\text{s}}$; $0,5\mu$			(SK)	i _{NE} , e _{Iz}	14 50 13,7
		P	04			P	51
	KRA	$\Delta = 72$ km			KRA	Faible	
	(SKM)	eP _{EZ}	03 01 39,7		(Ch)	e _{EZ}	14 50 31,9
		i _N	41,2			e _N	33,9
		iS _{NEZ} , eIS _{EZ}	49,3			e _{Iz} , e _Z	36,4
		e _{Iz}	02 05,2			i _N	38,4
		Lm	20			P	51
		E: $1,2^{\text{s}}$; $0,11\mu$		17.III		BYT (GIG): 17 45 11,1; DGP (GIG): 17 45 12,3	
		P	04		CHZ	Faible	
	NIE	$\Delta = 134$ km. Faible			(SK)	e _{NEZ}	17 45 08,8
	(SK)	eIP _{NEZ}	03 01 50,0			i _{NE} , e _{Iz}	10,1
		i _Z	52,0			P	46
		P	02		RBN	Faible	
16.III		$\varphi = 50^{\circ}19'$; $\lambda = 18^{\circ}51'$; H = $09^{\text{h}}51^{\text{m}}19,2^{\text{s}}$; M = 2,7 (Chorzów), 2,8 (Bytom), 3,0 (Kraków); ZAB: eP _{NE} 09 51 20,8; BYT: eP _E 09 51 21,3, Lm _{NE} 25,6 μ , 11,4 μ ; DGP: eP _Z 09 51 24,4			(SK)	e _{Iz}	17 45 22,5
		CHZ	$\Delta = 12$ km			e _E	24,5
	(SK)	eP _{NEZ} , eIP _Z	09 51 22,6			P	47
		eIS _{NEZ} , iS _{EZ} , eS _Z	24,6		KRA	Traces	
		Lm	30		(Ch)	NEZ	17 45-46
		NEZ: $0,5^{\text{s}}$; $1,5\mu$, $2,0\mu$, $1,5\mu$			RAC	Traces	
		P	52		(SK)	NEZ	17 45-47
	KRA	$\Delta = 85$ km		18.III		H = $18^{\text{h}}02^{\text{m}}50,3^{\text{s}}$; BYT (GIG): 18 02 52,2; ZAB (GIG): 18 02 52,2; DGP (GIG): 18 02 56,0	
	(Ch)	eP _{NEZ}	09 51 34,8			RBN	Faible
		eIS _{EZ}	46,1		(SK)	e _{NEZ}	18 03 03,4
		Lm	52 21			P	05
		NEZ: $1,2^{\text{s}}$; $0,20\mu$, $0,15\mu$, $0,18\mu$			KRA	$\Delta = 83$ km. Faible	
		P	53		(SKM)	eP _{NEZ}	18 03 05,3
	RAC	Faible				eS _{NEZ}	16,3
	(SK)	e _E	09 51 38,8			e _{NEZ}	26,5
		e _{NZ}	50,0			eL _{NEZ}	34,8
		P	54			P	05
	NIE	$\Delta = 149$ km. NE - inactives			NIE	$\Delta = 148$ km	
	(SK)	eP _Z	09 51 45,4		(SK)	eIP _{EZ}	18 03 16,6
		e _Z	49,5			e _Z	19,0
		e _Z	52 06,5			e _{Iz}	38,0
		P	54			P	05
17.III		BYT (GIG): 14 50 10,8; DGP (GIG): 14 50 19,0		21.III		$\varphi = 50^{\circ}21'$; $\lambda = 18^{\circ}52'$; H = $11^{\text{h}}09^{\text{m}}02,9^{\text{s}}$; M = 2,6 (Chorzów, Zabrze), 2,4	

Date	Station	Phase	G.M.T. h m s	Date	Station	Phase	G.M.T. h m s													
21.III (suite)	(Dąbrowa Górnicza); BYT (GIG): 11 09 04,4; ZAB: eP _E 11 09 05,1, eS _E 06,7, Lm _{NE} 5,0 μ, 5,6 μ; DGP: eS _{NEZ} 11 09 11,2, Lm _{NEZ} 0,4 μ, 0,5 μ, 0,5 μ	CHZ Δ = 13 km (SK) e _{NEZ} 11 09(04,9) iS _{NEZ} 07,9 Lm 13 NEZ: 0,9 ^s ; 2,0 μ, 2,5 μ, 2,0 μ F 10	22.III NIE ei _N , e _{EZ} 17 33 59,6 P 35	KRA Traces (Ch) NEZ 17 33-35	23.III H = 00 ^h 58 ^m 13,9 ^s RBN Δ = 22 km (SK) iP _E 00 58 18,4 ei _{NZ} 19,0 iS _{NEZ} 21,7 F _{NEZ} 59	23.III DGP (GIG): 03 59 18,8 KRA Faible (Ch) e _{NEZ} 04 00 29,6 ei _N 36,6 e _{EZ} 37,1 F 01	NIE Faible (SK) e _N , ei _Z 04 00 41,0 ei _E 58,5 e _{NZ} 59,5 F 02	CHZ Traces (SK) NEZ 04 00-01	24.III H = 18 ^h 19 ^m 51,5 ^s RBN Δ = 12 km (SK) eiP _{NEZ} 18 19 54,2 iS _{NEZ} 56,2 F _{NEZ} 21	RAC Traces (SK) NEZ 18 20-22	24.III H = 19 ^h 56 ^m 11,3 ^s ; M = 2,8 (Chorzów), 2,7 (Kraków); DGP (GIG): 19 56 17,3 CHZ Δ = 16 km (SK) eP _E , eiP _Z 19 56 14,8 iP _N 14,9 i _Z 15,6 Lm 18 NEZ: 1,0 ^s ; 2,0 μ, 3,5 μ, 3,0 μ F 57	KRA Δ = 81 km (Ch) eP _{EZ} 19 56 25,9 e _N 26,6 ei _{EZ} 27,1 eiS _{EZ} 36,6 e _N , ei _E 38,6								
													21.III BYT (GIG): 20 57 02,2; ZAB (GIG): 20 57 02,5; DGP (GIG): 20 57 06,0	CHZ Faible (SK) e _{NZ} 20 57 03,8 F 58	KRA Faible (Ch) e _Z 20 57 19,0 e _N , i _E , ei _Z 27,0 ei _N 28,7 F 59	NIE Faible (SK) e _E , ei _Z 20 57 26,0 e _{NEZ} 43,5 ei _E 49,3 F 59	RAC Traces (SK) NEZ 20 57-59	RBN Traces (SK) NEZ 20 57-59	22.III DGP (GIG): 17 33 16,0 RBN Traces (SK) e _N 17 33 25,0 F 35	NIE Faible (SK) e _N , ei _Z 17 33 35,2 e _N 51,5

Date	Station	Phase	G.M.T. h m s	Date	Station	Phase	G.M.T. h m s											
24.III (suite)	KRA Lm 19 57 05 NE: 1,2 ^s ; 0,09 μ, 0,08 μ F 58	RBN Faible (SK) e _{NEZ} 19 56 32 F 58	NIE (SK) e _Z 19 56 36,3 e _{NE} 37,8 e _{NEZ} 51,3 e _{EZ} 57 03,3 F 58	RAC Traces (SK) e _Z 19 56 46 F 58	27.III H = 19 ^h 17 ^m 00,7 ^s ; DGP (GIG): 19 17 03,7 CHZ Δ = 15 km. Faible (SK) eS _{EZ} 19 17 06,2 i _N 09,0 F 18	KRA Δ = 63 km (SKM) eP _E , e _{NEZ} 19 17 12,3 eiS _E , e _{NEZ} 20,8 F 19	NIE Faible (SK) e _Z 19 17 25,0 e _Z 41,4 F 19	RBN Traces (SK) NE 19 17-19	28.III ψ = 50°17'; λ = 19°13'; H = 12 ^h 17 ^m 32,4 ^s ; M = 2,9 (Dąbrowa Górnicza), 3,1 (Chorzów, Racibórz); DGP: eiP _{NZ} 12 17 34,7, eiS _{NEZ} 35,9, Lm _{NE} 4,6 μ, 6,8 μ; BYT (GIG): 12 17 38,3 CHZ Δ = 16 km (SK) eiP _{EZ} 12 17 35,9 C e _N 36,4 iS _E , eS _Z 38,4 ei _{NZ} 38,9 i _Z 43,5 Lm 46 NEZ: 1,0 ^s ; 5,5 μ, 7,0 μ, 6,5 μ F 19	28.III KRA Δ = 59 km (SKM) iP _E , e _{NEZ} 12 17 42,5 C eiS _E , e _{NEZ} 50,5 F 19	RBN Δ = 53 km (SK) e _Z 12 17 45,5 eS _{EZ} 49,0 ei _{NE} , e _Z 56,4 ei _{NE} 18 11,8 F 20	RAC Δ = 75 km (SK) eP _E , e _{NEZ} 12 17 47,6 e _{NE} 49,8 e _Z 51,3 eS _E , e _{NEZ} 57,6 Lm 18 47 NEZ: 1,2 ^s , 1,2 ^s , 2,0 ^s ; 0,4 μ, 0,6 μ, 0,9 μ F 20	NIE Δ = 127 km (SK) eP _{EZ} 12 17(54,3) i _N , ei _E 55,3 i _E 59,8 ei _Z 18 08,3 eS _E , e _{NEZ} 11,3 ei _E , i _Z 22,2 F 20					
														30.III ZAB (GIG): 10 25 17,6; BYT (GIG): 10 25 23,5; DGP (GIG): 10 25 25,7	RBN Faible (SK) e _N 10 25 33,6 e _{EZ} 35,5 e _{NE} 43,3 F 27	KRA Faible (Ch) e _{NZ} 10 25 43,0 e _{EZ} 49,5 ei _N 56,5 F 27	NIE N - illisible (SK) eiP _{EZ} 10 25 44,7 e _E , ei _Z 26 03,1 e _{EZ} 11,3 F 28	RAC Traces (SK) NEZ 10 25-28

Date	Station	Phase	G.M.T. h m s	Date	Station	Phase	G.M.T. h m s
1966				A V R I L			
2.IV	RBN			5.IV			
(SK)	eIP _{NEZ} , eP _Z		00 02 28,9		$\varphi = 50^{\circ}14,5'$; $\lambda = 19^{\circ}05,5'$;		
	e _Z		32,3		H = $01^{\text{h}}15^{\text{m}}27,2^{\text{s}}$; M = 2,4		
	P		04		(Chorzów); DGP: eP _{NEZ} 01		
	RAC	Traces			15 30,1		
(SK)	e _E		00 02 39,0	CHZ	$\Delta = 9$ km		
	P		04	(SK)	eP _{NEZ}	01 15 29,5	
2.IV					iS _{EZ}	30,6	
					Im	33	
							NEZ: $0,9^{\text{m}}$; $2,5^{\mu}$;
							$2,0^{\mu}$; $2,0^{\mu}$
							F 16
	KRA	$\Delta = 86$ km		RBN	$\Delta = 44$ km		
(SKM)	eIP _{NEZ}		16 26 14,0	(SK)	e _Z	01 15 38,5	
	eIS _{EN}		25,3		eIS _{SE}	41,5	
	Im		50,8		P	17	
	N: $1,5^{\text{m}}$; $0,08^{\mu}$			KRA	$\Delta = 63$ km		
	Im		51,3	(SKM)	eP _{NEZ} , eIP _{SEZ}	01 15 38,8	
	Z: $1,5^{\text{m}}$; $0,16^{\mu}$				eI _N	47,7	
	P		28		eI _{NEZ}	48,6	
					P	17	
	RAC	$\Delta = 58$ km. Traces		RAC	$\Delta = 66$ km. Traces		
(SK)	e _E		16 26 19,0	(SK)	e _E	01 15 45,1	
	e _{NEZ}		29,0		P	18	
	P		28	NIE	$\Delta = 126$ km		
	NIE	$\Delta = 151$ km		(SK)	eP _{NEZ}	01 15 49,7	
(SK)	eP _{NEZ}		16 26 25,0		eS _{EN}	16 06,3	
	eS _{EN}		43,6		e _Z	08,6	
	e _E		44,4		P	17	
	P		28	6.IV	BYT (GIG): 16 31 21,5;		
					DGP (GIG): 16 31 25,9		
	RBN	Traces		CHZ	Faible		
(SK)	NEZ		16 26-28	(SK)	e(P) _Z	16 31 22,7	
2.IV					P	32	
				KRA	Traces		
				(SKM)	eI _N	16 31 40,0	
					eI _N	47,5	
					P	33	
	CHZ	$\Delta = 7$ km		NIE			
(SK)	eP _{NEZ}		19 08 27,3	(SK)	eP _{SEZ}	16 31 45,5	
	iS _N , eIS _{EZ}		28,6		e _N	46,0	
	P		09		e _Z	32 08,1	
	KRA	$\Delta = 77$ km			P	33	
(Ch)	eS _{EN} , eIS _{SEZ}		19 08 49,1	7.IV	BYT (GIG): 11 42 32,1;		
	P		10		DGP (GIG): 11 42 34,2		
	NIE	$\Delta = 138$ km. Faible					
(SK)	eP _{SEZ}		19 08 50,0				
	P		10				

Date	Station	Phase	G.M.T. h m s	Date	Station	Phase	G.M.T. h m s
7.IV	CHZ			8.IV			
(suite)	(SK)	eP _{NEZ}	11 42 33,9		H = $03^{\text{h}}47^{\text{m}}52,5^{\text{s}}$; DGP (GIG): 03 47 53,9		
		eI _E	36,0	CHZ	Faible		
		P	43	(SK)	e _Z	03 47 58,3	
	KRA				e _N	59,1	
(Ch)	eP _{SEZ}		11 42 43,4		P	49	
	eI _{NEZ}		55,1	KRA	$\Delta = 73$ km		
	P		44	(Ch)	eP _{NEZ}	03 48 05,9	
RAC	Traces				eP _{SEZ}	06,3	
(SK)	e _Z		11 42 51,3		eIS _{SEZ}	15,7	
	e _Z		58,7		P	50	
	P		45	NIE	$\Delta = 139$ km. Traces		
NIE	Traces			(SK)	eP _{SEZ}	03 48 17,0	
(SK)	eP _{SEZ}		11 42 53,7		e _N	17,9	
	P		44		P	50	
RBN	Traces			10.IV			
(SK)	NEZ		11 42-44		$\varphi = 50^{\circ}16,5'$; $\lambda = 18^{\circ}47,0'$;		
7.IV					H = $21^{\text{h}}03^{\text{m}}03,8^{\text{s}}$; M = 2,3		
					(Dąbrowa Górnicza); ZAB:		
					eP _{NEZ} 21 03 04,5; BYT: eP _E		
					21 03 06,7; DGP: eP _Z 21		
					03 10,0; Lm _Z : $1,1^{\text{m}}$; $0,4^{\mu}$		
	CHZ	$\Delta = 5$ km		CHZ	$\Delta = 15$ km		
(SK)	eP _{NEZ} , eIP _Z		17 15 19,1 C	(SK)	eP _{NEZ}	21 03 06,9	
	iS _{NEZ}		20,1		P	04	
	Im		22	KRA	$\Delta = 85$ km		
				(Ch)	eIP _{NEZ} , eP _{SEZ}	21 03 19,1	
					eS _{SEZ}	30,3	
					eI _N	32,8	
					P	05	
	RBN	$\Delta = 34$ km. Faible		RBN	$\Delta = 26$ km		
(SK)	eI _E		17 15 26,1	(SK)	e _{NEZ}	21 03 19,5	
	e _N		27,4		P	05	
	P		17	NIE	$\Delta = 144$ km. Faible		
KRA	$\Delta = 76$ km			(SK)	eP _{NEZ}	21 03 29,4	
(Ch)	eP _{SEZ}		17 15 31,5		P	05	
	eI _N		41,1	RAC	Traces		
	eIS _{SEZ}		41,7	(SK)	NEZ	21 03-06	
	P		17	11.IV			
RAC	$\Delta = 56$ km. Faible				H = $23^{\text{h}}01^{\text{m}}40^{\text{s}}$; DGP (GIG):		
(SK)	e _Z		17 15 32,3		23 01 44,1		
	e _E		33,0	CHZ	Faible		
	P		18	(SK)	e _{NEZ}	23 01 43,8	
NIE	$\Delta = 137$ km				i _E , eI _Z	46,8	
(SK)	eP _{NEZ}		17 15 42,3		Im	51	
	eI _N		58,6				EE: $1,0^{\text{m}}$; $1,4^{\mu}$; $1,0^{\mu}$
	eS _{SEZ}		16 00,8		P	03	
	P		18	KRA	$\Delta = 66$ km		

Date	Station	Phase	G.M.T. h m s	Date	Station	Phase	G.M.T. h m s
11.IV (suite)	KRA (Ch)	ePg _{NEZ} e _N eIS _{EEZ} P	23 01 52,0 02 00,0 00,8 04	14.IV	CHZ	iS _E Lm	13 28 20,1 22
	NIE (SK)	Traces eI _Z e _Z P	23 01 03,3 05,8 04			NEZ: 1,0 ^m ; 8,1 ^μ , 5,0 ^μ , 4,5 ^μ	
	RAC (SK)	Traces NEZ	23 02-04		KRA	Δ = 76 km	
	RBN (SK)	Traces NEZ	23 02-04		(Ch)	eIP _{EEZ} eIS _{EEZ} Lm	13 28 29,8 39,9 29 07;5
12.IV		φ = 50°13,5'; λ = 18°52,0'; H = 19 ^h 10 ^m 40,2 ^s ; DGP: eP _E 19 10 45,9				NE: 1,2 ^s ; 0,08 ^μ , 0,10 ^μ	
	RBN (SK)	Δ = 29 km eS _{NE} e _{NZ} P	19 10 49,8 57,8 13		RBN	Faible	
	KRA (SKM)	Δ = 78 km ePg _E eS _{NE} , eIS _{EZ} P	19 10 54,4 11 04,8 13		(SK)	e _N eI _Z P	13 28 32,3 36,1 31
	NIE (SK)	Δ = 136 km. Faible ePg _Z e _Z e _Z P	19 11 04,4 24,2 26,7 13		NIE	Δ = 140 km	
13.IV		DGP (GIG): 23 44 58,5			(SK)	eIP _{NEZ} , eP _{EE} e _Z eIS _{NE} eIS _{EZ} P	13 28 40,9 43,6 59,5 29 00 30
	CHZ (SK)	eIP _N , eP _{EEZ} eI _E Lm	23 44 56,4 57,0 59		RAC	Traces	
		NEZ: 0,9 ^s ; 3,0 ^μ , 2,0 ^μ , 2,0 ^μ			(SK)	NEZ	13 28-31
	KRA (Ch)	Faible eS _{EE} , eIS _{EZ} P	23 45 17,4 46	16.IV		DGP (GIG): 03 24 34,8	
	NIE (SK)	Traces ePg _Z P	23 45 18,8 46		CHZ	Faible	
14.IV		H = 13 ^h 28 ^m 16 ^s ; M = 2,8 (Chorzów), 2,6 (Kraków)			(SK)	e _Z P	03 24 33,9 25
	CHZ (SK)	Δ = 9 km iP _{NZ} , eIP _E	13 28 18,3		NIE	Traces	
					(SK)	ePg _Z P	03 24 53,5 26
					KRA	Traces	
					(Ch)	eS _{NEZ} P	03 24 54,3 26
				16.IV		H = 12 ^h 31 ^m 03 ^s ; M = 2,6 (Kraków); DGP (GIG): 12 31 05,7	
					CHZ	Faible	
					(SK)	eP _Z e _Z eI _N , i _E Lm	12 31(08,4) 12,8 13,2 18
						NEZ: 1,0 ^s ; 1,9 ^μ , 1,4 ^μ , 1,1 ^μ	
					P		32
					KRA	Δ = 64 km	
					(Ch)	eIP _{NEZ} , eP _{EE} e _N	12 31 14,8 22,4

Date	Station	Phase	G.M.T. h m s	Date	Station	Phase	G.M.T. h m s
16.IV (suite)	KRA	eIS _{EEZ} Lm	12 31 23,4 45,4	20.IV	NIE	e _{EEZ} P	18 07 38,0 09
		Z: 1,0 ^s ; 0,08 ^μ			KRA (Ch)	iS _{NE} , eS _{EEZ} P	18 07 18,7 09
	NIE (SK)	Δ = 135 km eP _{EEZ} eI _{NEZ} e _E e _N P	12 31 27,0 28,3 43,4 46,2 33		RAC	Traces	
					(SK)	NEZ	18 07-10
	RAC (SK)	Traces NEZ	12 31-33	21.IV		ZAB (GIG): 00 55 52,0; DGP (GIG): 00 55 56,9	
19.IV		φ = 50°23,5'; λ = 18°57,0'; H = 15 ^h 59 ^m 10,7 ^s ; M = 2,5 (Chorzów); DGP: eP _E 15 59 14,9			CHZ	Faible	
	CHZ (SK)	Δ = 12 km eP _N , eIP _{EEZ} Lm	15 59 13,5 19		(SK)	e _{NEZ} eI _E P	00 55 55,5 57,6 57
		NEZ: 0,8 ^s ; 2,0 ^μ , 1,5 ^μ , 1,5 ^μ			KRA (Ch)	ePg _{NEZ} e _N eI _{EEZ} P	00 56 06,2 15,6 17,6 58
	KRA (Ch)	Δ = 79 km. Faible ePg _E e _N , eI _Z eIS _{NEZ} , eS _{EEZ} P	15 59 25,0 26,9 35,5 16 01		NIE	Traces	
					(SK)	e(Pg) _Z eI _{NZ} , e _E P	00 56 15,9 36,2 58
	NIE (SK)	Δ = 146 km eP _{NEZ} , eIP _{EZ} e _N e _Z P	15 59 36,9 55,3 57,3 16 01	21.IV		H = 13 ^h 14 ^m 11,8 ^s ; M = 2,6 (Kraków), 2,3 (Chorzów); ZAB (GIG): 13 14 12,0; DGP (GIG): 13 14 16,1	
20.IV		ZAB (GIG): 18 06 53,1; BYT (GIG): 18 06 57,1; DGP (GIG): 18 06 58,6			CHZ	Δ = 9 km	
	CHZ (SK)	Faible e(P) _Z e _Z e _N P	18 06 56,4 58,8 59,4 08		(SK)	eP _{NEZ} iS _{NEZ} , eIS _Z Lm	13 14 14,0 15,6 19
	RBN (SK)	Faible e _{NEZ} eI _N P	18 06 57,8 07 05,1 09			NEZ: 0,8 ^s ; 3,5 ^μ , 3,0 ^μ , 1,5 ^μ	
					P		15
	NIE (SK)	Δ = 80 km ePg _{NEZ} e _{NEZ} , eI _Z Lm	18 07 17,6 18,3		RBN	Traces	
					(SK)	e _N e _{NE} P	13 14 25,5 56,9 17
					KRA (Ch)	Δ = 80 km ePg _{NEZ} e _{NEZ} , eI _Z Lm	13 14 26,3 35,3 15 10,8
						NE: 1,0 ^s ; 0,08 ^μ , 0,11 ^μ	
					P		16
	RAC	Traces			RAC	Traces	
	(SK)	e _N e _E	13 14 32,6 40,5		(SK)	e _N e _E	13 14 32,6 40,5

Date	Station	Phase	G.M.T. h m s	Date	Station	Phase	G.M.T. h m s
21.IV (suite)	RAC	e _Z P	13 14 42,5 17	25.IV		DGP: eP _{NE} 00 25 29,8, eIS _{NZ} 32,0, Lm _Z : 0,9 ^μ ; 2,0 ^μ , BYT (GIG): 00 25 32,9	
21.IV		H = 18 ^h 05 ^m 50,5 ^s ; DGP (GIG): 18 05 53,1		CHZ	Δ = 12 km		
	CHZ	Δ = 12 km		(SK)	eP _{NEZ} , iP _Z	00 25 29,6 D	
	(SK)	eP _Z	18 05 53,3	i _E		32,1	
		iS _N , eS _{NEZ}	55,3	i _Z		32,6	
		P	07	Lm		35	
	KRA	Traces			NEZ: 1,2 ^μ ; 5,0 ^μ , 3,5 ^μ , 2,0 ^μ		
	(Ch)	e _{NEZ}	18 06 05,9	P		27	
		e _{NEZ}	16,7				
		P	08	KRA	Δ = 60 km		
22.IV		ψ = 50°21,0'; λ = 19°11,5'; H = 15 ^h 09 ^m 19,5 ^s ; M = 2,6 (Chorzów); DGP: eP _{NE} 15 09 20,2; BYT: eS _E 15 09 25,7		(Ch)	eP _{NEZ}	00 25 37,9	
	CHZ	Δ = 16 km		eIS _{NZ} , eS _{EZ}		46,0	
	(SK)	eP _Z	15 09 23,2	eI _{NEZ}		47,0	
		eS _Z	25,9	Lm		26 06,0	
		Lm	32		N: 1,1 ^μ ; 0,09 ^μ		
		NEZ: 1,0 ^μ ; 2,3 ^μ , 1,7 ^μ , 1,4 ^μ		Lm		06,5	
		P	10		E: 1,0 ^μ ; 0,06 ^μ		
				P		27	
	KRA	Δ = 62 km		RBN	Δ = 45 km. E - inactive		
	(Ch)	eP _{NEZ} , eIP _{NEZ}	15 09 30,6	(SK)	e _Z	00 25 38,4	
		e _{NEZ}	40,2	e _N		43,2	
		P	11	P		28	
	RBN	Δ = 54 km. Traces		NIE	Δ = 123 km		
	(SK)	e _N	15 09 42,0	(SK)	eP _{NEZ}	00 25 48,5	
		P	11	e _N , i _Z		49,5	
				iS _N		26 05,8	
				i _E		06,8	
				P		28	
	NIE	Δ = 131 km		RAC	Δ = 68 km. Faible		
	(SK)	eP _{NEZ}	15 09 42,6	(SK)	e _E	00 25 49,5	
		eP _{NE}	43,1	e _N		50,7	
		eIS _{NZ} , eS _{EZ}	10 00,5	P		28	
		P	42				
23.IV				25.IV		ψ = 50°16,0'; λ = 18°56,6'; H = 15 ^h 43 ^m 06,5 ^s ; M = 2,1 (Chorzów); DGP: eP _Z 15 43 10,7; BYT: eP _N 15 43 10,9	
	RBN	E - inactive		CHZ	Δ = 5 km		
	(SK)	eIP _Z	20 49 13,1	(SK)	eP _{NEZ}	15 43(08,2)	
		eI _N	13,8	Lm		11	
		P	50		NEZ: 1,1 ^μ ; 5,0 ^μ , 3,5 ^μ , 2,5 ^μ		
	RAC	Traces		P		44	
	(SK)	e _N	20 49 21,2	KRA	Δ = 74 km		
		P	51	(Ch)	eP _{NEZ}	15 43 20,0	
25.IV				e _N		28,7	
		ψ = 50°13,5'; λ = 19°08,0'; H = 00 ^h 25 ^m 26,8 ^s ; M = 2,7 (Dąbrowa Górnicza), 2,5 (Chorzów), 2,4 (Kraków);		eS _{NEZ}		29,9	
				P		45	

Date	Station	Phase	G.M.T. h m s	Date	Station	Phase	G.M.T. h m s
25.IV (suite)	RBN	Δ = 34 km. Faible, Z - inactive		28.IV	NIE	Δ = 128 km. Faible	
	(SK)	e _N	15 43 20,8	(SK)	eP _{NEZ} , eIP _{NEZ}	00 19 36,7	
		P	45	eI _E		53,7	
				P		21	
	NIE	Δ = 135 km		28.IV		H = 03 ^h 24 ^m 35 ^s ; DGP (GIG): 03 24 36,5	
	(SK)	eP _{NEZ}	15 43 30,4	CHZ	Δ = 17 km		
		e _N	46,7	(SK)	eP _Z	03 24 38,8	
		e _Z	58,6	P		25	
		P	45	KRA	Δ = 63 km		
	RAC			(SKM)	eP _{NEZ}	02 24 46,7	
	(SK)	NEZ	15 43-45	eIS _{NEZ}		55,2	
26.IV		BYT (GIG): 00 38 39,8; DGP (GIG): 00 38 47,3		P		26	
	CHZ	Faible		NIE	Traces		
	(SK)	eI _{NEZ} , e _Z	00 38 42,2	(SK)	e _Z	03 24 58,9	
		P	39	P		26	
	KRA	Traces		28.IV		ψ = 50°22'; λ = 19°12'; H = 08 ^h 33 ^m 48 ^s ; M = 2,6 (Chorzów); DGP: eP _N 08 33 49,2	
	(SKM)	e _N , eI _{EE}	00 39 04,5	CHZ	Δ = 17 km		
		P	40	(SK)	iP _{NEZ} , eIP _{NEZ}	08 33 51,8 C	
26.IV		ψ = 50°20,5'; λ = 18°49,0'; H = 13 ^h 04 ^m 56 ^s ; ZAB: eP _{NE} 13 04 56,9; BYT (GIG): 13 04 58,4; DGP: eP _E 13 05 01,2		eI _E		59,7	
	CHZ	Δ = 13 km		eIS _{NZ}		54,8	
	(SK)	eP _{NEZ}	13 04 58,9	Lm		59	
		eIS _N , iS _E , eS _Z	05 01,1		Z: 1,0 ^μ ; 1,4 ^μ		
		P	06	Lm		34 01	
	RBN	Δ = 34 km. E - inactive			NE: 1,0 ^μ ; 2,4 ^μ , 1,7 ^μ		
	(SK)	eS _N	13 05 07	P		35	
		eI _Z	14,5	KRA	Δ = 63 km		
		P	07	(Ch)	eP _{NE}	08 33 59,7	
	RAC	Δ = 53 km		e _Z		34 00,2	
	(SK)	eS _{EZ}	13 05 12,7	eS _{NEZ} , eIS _{NEZ}		08,6	
		e _Z	21,8	P		35	
		P	07	NIE	Δ = 132 km		
	KRA	Δ = 85 km		(SK)	eP _{NEZ} , eIP _{NEZ}	08 34 11,7	
	(Ch)	eP _{NEZ}	13 05 11,6	eI _N		28,0	
		eIS _{NEZ} , eS _{EZ}	22,7	eIS _{EZ}		29,3	
		P	07	eI _E		29,9	
				P		36	
28.IV		H = 00 ^h 19 ^m 14 ^s ; DGP (GIG): 00 19 16,6; BYT (GIG): 00 19 24,9		RBN	Traces. E - inactive		
	KRA	Δ = 60 km. Faible		(SK)	NZ	08 34-35	
	(Ch)	eP _{NEZ}	00 19 25,2	29.IV		ZAB (GIG): 14 20 55,7; DGP (GIG): 14 21 02,0	
		eS _{NEZ} , eIS _{NEZ}	33,4	CHZ	Faible		
		P	21	(SK)	e _Z	14 20 58,7	
				e _N , eI _E		21 00,6	

Date	Station	Phase	G.M.T. h m s	Date	Station	Phase	G.M.T. h m s
28.IV (suite)	CHZ	e _Z F	14 21 01,7 22	30.IV	NIE	e _{NE} F	04 13 17,5 14
29.IV	KRA	Traces. E - illisible (Ch) e _{SGHZ} F	14 21 21,4 22	30.IV		$\psi = 50^{\circ}16,0'$; $\lambda = 18^{\circ}56,5'$; $H = 08^{\text{h}}14^{\text{m}}42^{\text{s}}$; $M = 2,4$ (Cho- rzów); ZAB: e _{PNE} 08 14 44,6; DGP (GIG): 08 14 47,3	
	NIE	Traces (SK) e _Z F	14 21 29,4 23	CHZ	$\Delta = 5$ km		
	RBN	Traces. E - inactive (SK) NZ	14 21-22	(SK) i _{PNE}	08 14 43,5 D		
29.IV		DGP (GIG): 22 45 33,7		i _{NE}	44,2		
	NIE	Traces (SK) e _{PGNEZ} e _E F	22 45 53,3 46 18,0 47	Lm	46,7		
	KRA	Traces (Ch) e _N F	22 45 53,9 47		Z: 0,9 ^s ; 4,3 ^μ		
30.IV		H = 04 ^h 12 ^m 36 ^s ; DGP (GIG): 04 12 37,1		KRA	$\Delta = 74$ km		
	CHZ	Faible (SK) e _{NZ} F	04 12 42,8 13	(Ch) e _{PGZZ}	08 14 55,5		
	KRA	$\Delta = 61$ km. Faible (Ch) e _{PGZ} e _{SGZZ} e _{SGH} F	04 12 47,2 55,2 55,6 14	e _{IN}	15 04,3		
	NIE	$\Delta = 128$ km (SK) e _{PGZ}	04 12 58,8	i _{SGZ} , e _{ISGZ}	05,5		

1966 M A I 1966

2.V		$\psi = 50^{\circ}17,5'$; $\lambda = 18^{\circ}49,5'$; $H = 02^{\text{h}}03^{\text{m}}36,2^{\text{s}}$; ZAB: e _{PNE} 02 03 37,2; DGP (GIG) 02 03 42,8		2.V	KRA	$\Delta = 83$ km	
	RBN	$\Delta = 30$ km. E - inactive (SK) e _{PZ} e _{PN} e _{IN} , e _Z F	02 03 41,8 42,2 48,0 06		(SKM) e _{PGN} , e _{IPGZZ} i _{SGN} , e _{SGZ} , e _{ISGZ} F	02 03 51,2 C 04 02,2 06	
	RAC	$\Delta = 50$ km. Faible (SK) e _{NE} e _N F	02 03 49,0 54,4 07		NIE	$\Delta = 144$ km (SK) e _{PGNR} , e _{IPGZ} e _E e _{INE} F	02 04 00,8 C 17,9 21,7 06
				7.V	CHZ		
				(SK) e _{IPZZ}	01 36 36,5		
				i _{EZ}	37,2		

Date	Station	Phase	G.M.T. h m s	Date	Station	Phase	G.M.T. h m s
7.V (suite)	CHZ	Lm NEZ: 0,8 ^s ; 1,0 ^μ , 2,1 ^μ , 1,4 ^μ F	01 36 40 37	7.V		e _{PZ} 21 04 34,7; e _{ISNZ} 38,2	
	KRA	Traces (Ch) e _{NE} , e _{IZ} F	01 36 57,2 38	CHZ	$\Delta = 5$ km		
	RBN	Traces. E - inactive (SK) NZ	01 36-39	(SK) e _{PN} , e _{IPZZ}	21 04 31,3		
7.V		$\psi = 50^{\circ}16,4'$; $\lambda = 18^{\circ}54,2'$; $H = 19^{\text{h}}22^{\text{m}}27,5^{\text{s}}$; $M = 2,9$ (Chorzów), 2,7 (Kraków); ZAB: e _{PNE} 19 22 29,5, e _{SE} 31,4; BYT: e _{PN} 19 22 29,7; DGP (GIG): 19 22 32,9		i _{SE}	32,4		
	CHZ	$\Delta = 7$ km		Lm	33,5		
	(SK) e _{IPN} , i _{IPZZ}	19 22 29,6 D			Z: 1,0 ^s ; 4,5 ^μ		
		Lm 34,3		RBN	$\Delta = 34$ km. E - inactive (SK) e _Z	21 04 41,9	
		NEZ: 1,0 ^s ; 14,5 ^μ , 11,4 ^μ , 8,3 ^μ F	24	e _N	43,1		
	RBN	$\Delta = 32$ km (SK) e _{NZ} e _{IN} F	19 22 36,0 42,1 25	F	07		
	RAC	$\Delta = 54$ km. Faible (SK) e _{NEZ} e _{NE} F	19 22 38,3 45,3 25	RAC	$\Delta = 56$ km. Faible (SK) e _Z	21 04 42,1	
	KRA	$\Delta = 77$ km (Ch) e _{PGN} , e _{IPGZZ} i _{SGN} , e _{SGZ} e _{IZ} Lm	19 22 41,3 C 51,5 52,2 23 20	e _N	48,2		
		N: 1,4 ^s ; 0,09 ^μ		F	07		
		E: 1,2 ^s ; 0,10 ^μ	26	KRA	$\Delta = 75$ km (Ch) e _{PGZZ}	21 04 43,7	
	NIE	$\Delta = 138$ km. Z - inactive (SK) e _{PGNE} e _{ISGE} e _{IN} F	19 22 (51,4) 23 09,6 10,6 25	e _{SGN} , e _{ISGZZ}	53,7		
7.V		$\psi = 50^{\circ}16,4'$; $\lambda = 18^{\circ}55,5'$; $H = 21^{\text{h}}04^{\text{m}}30^{\text{s}}$; $M = 2,4$ (Cho- rzów); ZAB: e _{PE} 21 04 32,4; BYT (GIG): 21 04 33,8; DGP:		F	06		
				NIE	$\Delta = 137$ km. Z - inactive e _{PGNE} e _E i _N F	21 04 54,4 05 10,4 12,6 07	
				8.V		$\psi = 50^{\circ}18,0'$; $\lambda = 18^{\circ}51,5'$; $H = 00^{\text{h}}10^{\text{m}}27,7^{\text{s}}$; $M = 2,9$ (Kraków), 2,6 (Chorzów); ZAB: e _{IPZ} 00 10 28,9; e _{SE} 29,8; BYT: e _{PN} 00 10 29,6; DGP: e _{PZ} 00 10 33,0	
				CHZ	$\Delta = 10$ km (SK) e _{PN} , e _{IPZ} , i _{PZ}	00 10 30,2 D	
				Lm	36,3		
					EZ: 1,0 ^s , 1,1 ^s ; 4,1 ^μ , 2,8 ^μ		
				F	12		
				RBN	$\Delta = 32$ km. Faible. E - inactive (SK) e _{PZ}	00 10 33,7	
				e _{IN} , e _Z	45,0		
				F	13		
				RAC	$\Delta = 53$ km (SK) e _{PGNZ}	00 10 37,3	
				e _{NE}	44,8		
				F	13		
				KRA	$\Delta = 81$ km (SKM) e _{IPGNZ} , i _{PGZ}	00 10 42,0 C	
				e _{ISGNZ}	52,2		

Date	Station	Phase	G.M.T. h m s	Date	Station	Phase	G.M.T. h m s
8.V (suite)	KRA (Ch)	eIS _E Lm	00 10 52,5 11 24,0	12.V	NIE (SK)	Traces. Z - inactive e _E e _N P	18 08 00,5 02,7 09
		Z: 1,4 ^s ; 0,15 ^μ	25,0				
		NE: 1,4 ^s , 1,0 ^s ; 0,07 ^μ , 0,07 ^μ		12.V	RBN (SK)	eP _{NZ} i _N Lm	19 36 48,4 49,4 54,4
		P	12			Z: 0,9 ^s ; 2,0 ^μ	
	NIE (SK)	Δ = 142 km. Z - inactive eP _{EN} eP _{EE} eIS _{EN} eI _E P	00 10 52,7 53,2 11 10,4 12,3 13		RAC (SK)	Traces e _N P	19 37 20,9 39
9.V		DGP (GIG): 15 07 27,3		13.V		ZAB (GIG): 08 14 46,1; DGP (GIG): 08 14 50,6	
	CHZ (SK)	iP _{NE} , eIP _Z P	15 07 26,3 08		CHZ (SK)	eIP _Z i _{NE} Lm	08 14 47,6 C 48,7 52,0
		Z: 1,0 ^s ; 4,2 ^μ				P	16
	RBN (SK)	Traces. E - inactive e _N P	15 07 37,5 09		KRA (Ch)	Z - inactive eIS _{EN} , eS _{EE} P	08 15 10,3 17
	KRA (Ch)	Traces e _N e _Z P	15 07 44,6 45,2 09		NIE (SK)	Z - inactive eP _{NE} eIS _{NE} P	08 15 11,2 29,2 17
11.V		DGP (GIG): 04 40 24,0			RAC (SK)	Traces e _E P	08 15 15,4 17
	CHZ (SK)	Faible e _N eI _E , e _Z P	04 40 28,1 31,6 41		RBN (SK)	E - inactive NZ	08 15-17
	KRA (Ch)	Faible. Z - inactive e(PG) _{NE} e _{NE} P	04 40 34,7 44,0 42	13.V		ZAB (GIG): 19 19 52,0; BYT (GIG): 19 19 53,4; DGP (GIG): 19 19 56,9	
	NIE (SK)	Traces. Z - inactive e _{NE} e _E P	04 40 47,0 05,1 42		CHZ (SK)	e _Z eI _E i _Z i _N P	19 19 54,3 56,5 57,0 57,5 21
12.V		ZAB (GIG): 18 07 18,4; DGP (GIG): 18 07 21,1			RBN (SK)	Traces. E - inactive e _N e _N e _N P	19 20 02,6 09,1 22
	CHZ (SK)	iP _{NE} , eP _Z P	18 07 21,8 08				
	KRA (Ch)	Traces. Z - inactive e _N e _E e _N P	18 07 42,4 43,4 46,4 09				

Date	Station	Phase	G.M.T. h m s	Date	Station	Phase	G.M.T. h m s
13.V (suite)	KRA (SKM)	Porte ag. ml. e _N eS _{NEZ} P	19 20(05) 16,0 21	17.V	RBN	Δ = 34 km. Faible. E - inactive	
					(SK)	e _N e _N P	07 28 35,0 39,2 30
	RAC (SK)	Traces e _E e _E P	19 20 11,1 27,3 22		KRA	Δ = 75 km	
					(Ch)	eP _{NZ} , eIP _{EE} eS _{EE} e _E P	07 28 40,0 50,0 51,5 30
	NIE (SK)	Z - inactive eP _{NE} e _{NE} P	19 20 16,8 35,0 22		NIE	Δ = 137 km. Z - inactive	
13.V		H = 22 ^h 31 ^m 45,5 ^s ; M = 2,3 (Chorzów); DGP (GIG): 22 31 46,6			(SK)	eP _{NE} P	07 28 50,6 30
	CHZ (SK)	Δ = 13 km eP _{EZ} e _N eI _N Lm	22 31 48,5 49,5 51,3 58,0	18.V		φ = 50°16'; λ = 18°52'; H = 03 ^h 21 ^m 13 ^s ; M = 3,1 (Chorzów), 3,0 (Dąbrowa Górnicza), 2,9 (Kraków); ZAB: eP _E 03 21 14,8, eIS _E 15;9; BYT: eP _N 03 21 15,5, eIS _{NE} 17,3; DGP: eP _E 03 21 18,1, eIS _{NE} 21,7, Lm ₂ : 1,5 ^s ; 3,0 ^μ	
		Z: 1,0 ^s ; 1,1 ^μ			CHZ	Δ = 9 km	
		NE: 1,0 ^s ; 3,0 ^μ ; 2,3 ^μ			(SK)	eIP _N , iP _{EZ} IS _E Lm	03 21 15,4 D 17,3 21,4
	KRA (SKM)	Δ = 59 km eP _{NE} , eIP _{EZ} eIS _{NEZ} , eS _{EE} P	22 31 56,4 32 04,3 33			EZ: 1,0 ^s ; 14,8 ^μ , 10,6 ^μ	
						Lm	22,4
	RBN (SK)	E - inactive e _N P	22 32 06,7 34			N: 1,0 ^s ; 14,5 ^μ	
					RBN	Δ = 30 km. E - inactive	
	NIE (SK)	Δ = 130 km. Z - inactive eP _{NE} e _E eI _N P	22 32 08,6 23,6 24,5 34		(SK)	eP _Z e _N eI _Z P	03 21 19,2 20,0 20,4 24
	RAC (SK)	Traces EZ	22 32-34		RAC	Δ = 52 km	
17.V		φ = 50°16,5'; λ = 18°56,0'; H = 07 ^h 28 ^m 26,3 ^s ; BYT: eP _E 07 28 29,0; DGP: eP _Z 07 28 30,7			(SK)	eP _{EZ} e _N P	03 21 23,2 30,8 25
	CHZ (SK)	Δ = 5 km eP _{NEZ} eI _N , e _Z eI _E P	07 28 27,2 28,7 29,2 29		KRA	Δ = 79 km	
					(SKM)	iP _{EZ} i _N iS _{NEZ} Lm	03 21 27,0 27,6 37,4 22 08,8
					(Ch)	Lm	NE: 1,6 ^s , 1,3 ^s ; 0,21 ^μ , 0,13 ^μ
						P	24

Date	Station	Phase	G.M.T. h m s	Date	Station	Phase	G.M.T. h m s
18.V (suite)	NIE (SK)	$\Delta = 140$ km. Z - inactive eP _{NE} e _N ⁱ _E i _E e _N P	03 21 37,9 38,3 58,5 59,0 24	20.V	RBN (SK)	$\Delta = 35$ km e _Z e _{NE} e _Z Lm NB: 1,3 ^s , 1,0 ^s ; 7,6 μ , 5,3 μ P	07 38 08,3 09,0 09,7 32,4 42
19.V	CHZ (SK)	DGP (GIG): eP _{NZ} i _{NE} P	00 24 57,3 00 24 53,5 54,2 26	RAC (SK)	$\Delta = 58$ km eP _{NE} , e _Z e _E e _{NE} Lm Z: 1,3 ^s ; 2,0 μ NB: 1,4 ^s , 1,8 ^s ; 2,0 μ , 3,0 μ P	07 38 11,6 16,5 20,4 54,4 39 17,8 42	
	RBN (SK)	Traces. E - inactive e _N P	00 25 07,1 27	KRA (Ch)	$\Delta = 72$ km eP _{NE} , e _Z e _{NE} Lm Z: 1,1 ^s ; 0,54 μ NB: 1,2 ^s ; 0,49 μ , 0,56 μ P	07 38 13,1 D 22,9 23,3 52,4 52,7 41	
	KRA (SKM)	e _{NEZ} e _Z , e _E P	00 25 15,0 26,5 27	NIE (SK)	$\Delta = 133$ km eP _{NE} e _N ⁱ _E i _{NE} P	07 38 23,2 24,2 42,5 42	
	NIE (SK)	Traces. Z - inactive e _E e _E e _N P	00 25 17,0 33,0 35,8 27	23.V	$\varphi = 50^{\circ}14,5'$; $\lambda = 18^{\circ}54,5'$; H = 23 ^h 04 ^m 49,5 ^s ; DGP: eP _Z 23 04 54,6		
	RAC (SK)	Traces NEZ	00 25-27	CHZ (SK)	$\Delta = 8$ km e _{NE} , iP _Z e _{NEZ} P	23 04 51,6 D 53,1 06	
19.V	RBN (SK)	E - inactive e _N e _Z e _N P	06 35 40,4 43,4 44,4 37	RBN (SK)	$\Delta = 31$ km. Traces e _{EZ} e _N P	23 04 56,5 57,5 06	
	RAC (SK)	Faible e _N , e _E e _Z P	06 35 41,8 45,3 37	KRA (Ch)	$\Delta = 75$ km eP _{NE} , e _Z e _{NEZ} P	23 05 03,2 13,2 07	
20.V	CHZ (SK)	$\Delta = 5$ km iP _{NEZ} Lm NB: 1,0 ^s ; 23,0 μ , 20,0 μ P	07 38 01,4 D 07 41	NIE (SK)	$\Delta = 135$ km eP _{NEZ}	23 05 13,7	

Date	Station	Phase	G.M.T. h m s	Date	Station	Phase	G.M.T. h m s
23.V (suite)	NIE (SK)	e _Z e _{NEZ} P	23 05 16,5 31,8 07	29.V	RBN (SK)	$\Delta = 37$ km. Traces e _N e _{NEZ} P	08 24 27,5 29,5 26
26.V	CHZ (SK)	$\varphi = 50^{\circ}17'$; $\lambda = 18^{\circ}48'$; H = 23 ^h 50 ^m 38,3 ^s ; DGP: eP _Z 23 50 44,3 $\Delta = 15$ km eP _{NEZ} iS _N , e _{NEZ} P	23 50 41,5 43,3 52	KRA (Ch)	$\Delta = 75$ km eP _{NEZ} eP _{NEZ} e _{NEZ} P	08 24 31,4 31,8 41,0 26	
	KRA (SKM)	$\Delta = 86$ km e _{NEZ} , eP _{NEZ} e _{NEZ} P	23 50 53,5 51 04,9 53	NIE (SK)	$\Delta = 138$ km e _{NEZ} P	08 24 42,2 26	
	NIE (SK)	$\Delta = 146$ km eP _{NEZ} e _E e _Z P	23 51 03,8 24,3 24,8 53	RAC (SK)	Traces NEZ	08 24-26	
28.V	RAC (SK)	Traces Z	23 51-52	30.V	$\varphi = 50^{\circ}13'$; $\lambda = 18^{\circ}59'$; H = 05 ^h 13 ^m 18 ^s ; M = 2,4 (Chorzów); DGP: eP _Z 05 13 22,4		
	CHZ (SK)	Faible eP _Z e _Z P	22 07 55,2 22 07 56,9 08 02,6 09	CHZ (SK)	$\Delta = 8$ km iP _{NEZ} , eP _Z Lm NB: 1,0 ^s ; 2,0 μ , 2,5 μ P	05 13 20,0 23,0 14	
	KRA (Ch)	Faible eP _{NEZ} P	22 08 05,2 09	RBN (SK)	$\Delta = 34$ km. Faible e _N e _E e _N P	05 13 27,9 34,7 41,2 15	
28.V	CHZ (SK)	DGP (GIG): e _Z P	23 44 10,5 23 44 16,6 45	KRA (SKM)	$\Delta = 69$ km e _{NEZ} , eP _{NEZ} e _{NEZ} , e _{NEZ} P	05 13 30,5 39,5 15	
	KRA (SKM)	Faible eP _{NEZ} e _{NEZ} P	23 44 20,2 29,0	NIE (SK)	$\Delta = 130$ km eP _{NEZ} e _{NEZ} e _E P	05 13 40,9 41,2 57,9 15	
29.V	CHZ (SK)	$\varphi = 50^{\circ}18'$; $\lambda = 18^{\circ}57'$; H = 08 ^h 24 ^m 17,7 ^s ; M = 1,8 (Chorzów); DGP: eP _Z 08 24 21,1 $\Delta = 3$ km eP _{NEZ} iS _{NE} Lm NB: 0,8 ^s ; 2,0 μ , 4,5 μ , 2,0 μ P	08 24 18,7 19,6 21 25	RAC (SK)	Traces NEZ	05 13-15	
	RAC (SK)	Faible eP _Z e _{NEZ} P	06 00 09,1 06 00 10,9 12,4 01	KRA (Ch)	Faible e _{NEZ} e _E P	06 00 18,3 26,7 01	

Date	Station	Phase	G.M.T. h m s	Date	Station	Phase	G.M.T. h m s
5.VI (suite)	KRA (Ch)	Traces NEZ	09 09-11	7.VI	KRA	e _{1Z} e _N P	20 30 13,7 14,4 32
5.VI		BYT (GIG): 09 11 19,3; DGP (GIG): 09 11 19,4			NIE (SK)	Traces NEZ	20 30-32
	CHZ (SK)	e _{P_N} , e _{1P_Z} e _{1N} Lm	09 11 18,3 19,7 23,2	9.VI		BYT (GIG): 12 27 09,8; DGP (GIG): 12 27 14,6	
		Z: 0,9 ^B ; 1,0 ^μ			CHZ (SK)	Faible e(P) _{NZ} e _{NZ} , e _{1E} P	12 27 41,3 13,0 28
	NIE (SK)	e _{PEZ} e _{NE} P	09 11 41,4 42,1 13		KRA (SKM)	Forte ag. mi. e(P) _{EZ} e _{1SGEZ} P	12 27 23,6 35,0 29
	KRA (Ch)	Traces NEZ	09 11-13		NIE (SK)	e _{PEZ} P	12 27 34,2 29
6.VI		$\varphi = 50^{\circ}17,5'$; $\lambda = 19^{\circ}13,0'$; H = 02 ^h 35 ^m 54,4 ^s ; M = 2,8 (Chorzów), 2,7 (Kraków); DGP: e _{P_{NEZ}} 02 35 55,8; BYT (GIG): 02 35 59,5			RBN (SK)	Traces NEZ	12 27-29
	CHZ (SK)	$\Delta = 16$ km e _{P_N} , e _{1P_Z} Lm	02 35 57,9 C 36 07	14.VI		BYT (GIG): 02 25 27,5; DGP (GIG): 02 25 28,4	
		EZ: 1,0 ^B ; 2,9 ^μ ; 2,7 ^μ P	37		CHZ (SK)	e _{P_{NE}} , e _{1P_Z} Lm	02 25 25,4 D 28,8
	KRA (Ch)	$\Delta = 58$ km e _{1P_{NE}} , e _{1P_Z} e _{SGEZ} i _N Lm	02 36 05,1 13,4 14,4 34,8			NE: 0,9 ^B ; 1,0 ^B ; 2,6 ^μ , 1,7 ^μ P	02 25 26,8 26
		E: 1,0 ^B ; 0,10 ^μ Lm	35,3		RBN (SK)	Traces e _E P	02 25 37,7 27
		NEZ: 1,0 ^B ; 0,09 ^μ ; 0,13 ^μ P	28		KRA (SKM)	Faible e _E e _E e _{NZ}	02 25 37,7 46,7 47,0
	RBN (SK)	$\Delta = 53$ km. Faible e _{NEZ} e _N P	02 36 07,3 12,2 38		NIE (SK)	Traces e _Z e _{1N} P	02 25 48,4 26 05,9 27
	NIE (SK)	$\Delta = 125$ km e _{1P_{EZ}} e _E e _{1N} e _{SGNEZ} P	02 36 16,0 C 16,8 17,4 32,0 39	14.VI		BYT (GIG): 18 37 01,5; DGP (GIG): 18 37 04,0	
	RAC (SK)	Traces NEZ	02 36-38		CHZ (SK)	e _{P_{NEZ}} P	18 36 59,2 38
7.VI		DGP (GIG): 20 29 54,9			KRA (Ch)	Traces e _{SGNE} P	18 37 20,9 39
	KRA (SKM)	Traces e _{NZ}	20 30 04,0				

Date	Station	Phase	G.M.T. h m s	Date	Station	Phase	G.M.T. h m s
14.VI (suite)	RBN (SK)	Traces e _N P	18 37 13,0 39	15.VI	NIE (SK)	e _{PEZ} e _{1NE} e _{1Z} e _{1Z} P	19 19(52) 20 09,3 11,1 11,6 22
	NIE (SK)	Traces e _{PEZ} e _E e _{1N} P	18 37 22,8 38,9 40,6 39		RAC (SK)	Traces NEZ	19 20-22
	RAC (SK)	Traces NEZ	18 37-39	22.VI		$\varphi = 50^{\circ}15,0'$; $\lambda = 18^{\circ}59,5'$; H = 00 ^h 56 ^m 28 ^s ; M = 2,4 (Chorzów, Kraków); DGP: e _{P_E} 00 56 32,1; e _{1S_E} 34,9; BYT: e _{P_N} 00 56 31,2	
15.VI		$\varphi = 50^{\circ}18,5'$; $\lambda = 18^{\circ}59,0'$; H = 11 ^h 02 ^m 16,0 ^s ; M = 2,1 (Chorzów); BYT: e _{S_E} 11 02 19,4; DGP (GIG): 11 02 21,0			CHZ (SK)	$\Delta = 5$ km e _{1P_N} , e _{1P_E} , e _{1P_Z} Lm	00 56 29,3 D 32
	CHZ (SK)	$\Delta = 2$ km i _{P_{NZ}} , e _{1P_E} Lm	11 02 17,0 D 19			EZ: 1,0 ^B ; 40 ^μ ; 5,0 ^μ P	58
		NEZ: 0,7 ^B ; 3,5 ^μ , 3,5 ^μ ; 5,4 ^μ P	03		RBN (SK)	$\Delta = 36$ km. Z - inactive e _E e _{NE} P	00 56 37,0 41,2 59
	KRA (SKM)	$\Delta = 73$ km e _{PEZ} e _N e _{SGE} , e _{1SGE} P	11 02 29,3 38,3 39,0 04		RAC (SK)	$\Delta = 59$ km e _Z e _E P	00 56 40,3 44,3 59
	NIE (SK)	$\Delta = 137$ km e _{PEZ} e _E , e _{1N} e _Z P	11 02 40,3 57,1 58,8 04		KRA (Ch)	$\Delta = 70$ km e _{PEZ} , e _{1P_{EZ}} e _{SGE} e _{1Z} , e _{1E} Lm	00 56 40,6 49,6 50,6 57 18,8
	RBN (SK)	Traces NEZ	11 02-04			E: 1,2 ^B ; 0,05 ^μ Lm	19,3
15.VI		DGP (GIG): 19 19 31,7; BYT (GIG): 19 19 - traces				N: 1,1 ^B ; 0,05 ^μ P	58
	CHZ (SK)	e _{PEZ} e _{1N} Lm	19 19 33,6 35,1 42,6		NIE (SK)	$\Delta = 132$ km e _{PEZ} , e _{1P_{EZ}} e _{1NE} e _{1Z} P	00 56 51,5 57 10,0 10,5 59
		EZ: 1,0 ^B ; 1,1 ^B ; 1,6 ^μ ; 1,2 ^μ Lm	43,6	22.VI		Faible	
		N: 0,9 ^B ; 1,7 ^μ P	21		CHZ (SK)	e _{NEZ} P	01 30 39,3 31 30
	KRA (Ch)	e _{PEZ} e _{1Z} e _{1N} P	19 19 40,5 49,2 50,0 21		KRA (Ch)	e _{PEZ} e _N e _{1Z}	01 30 46,3 53,8 54,8

Date	Station	Phase	G.M.T. h m s	Date	Station	Phase	G.M.T. h m s
22.VI (suite)	KRA	e _{NE} P	01 30 55,1 32	22.VI	RAC	Δ = 56 km. Traces	
	NIE	(SK) eP _{EEZ} eIP _{GN} e _{iN} e _{iE} P	01 30 58,5 59,0 31 15,7 17,4 33	(SK) e _E P		19 22 48,0 25	
22.VI		φ = 50°13,5'; λ = 18°48,0'; H = 10 ^h 57 ^m 30,5 ^s		23.VI		φ = 50°20,0'; λ = 18°59,5'; H = 14 ^h 42 ^m 06,7 ^s ; M = 2,3 (Chorzów); BYT: eP _N 14 42 08,5; DGP (GIG): 14 42 11,2	
	RBN	Δ = 23 km		CHZ	Δ = 5 km		
(SK)	eP _Z e _{NE} e _{iE} P	10 57 35,1 36,0 42,6 11 00		(SK) eP _{NEZ} iS _E , eIS _Z Im		14 42 08,1 09,1 11	
	RAC	Δ = 46 km			EZ: 0,7 ^s ; 6,5μ, 3,0μ		
(SK)	eP _{EEZ} e _E e _Z P	10 57 39,2 40,1 54,0 11 01		RBN	Δ = 42 km		
	KRA	Δ = 82 km		(SK) eP _{EEZ} e _N e _i P		14 42 14,6 15,4 21,4 45	
(Ch)	eP _{GN} , eIP _{GZ} eIS _{GZ} e _{iNEZ} P	10 57 45,5 56,5 59,8 59		RAC	Δ = 63 km		
	NIE	Δ = 140 km		(SK) eP _{NEZ} e _N P		14 42 17,6 32,3 45	
(SK)	eIP _{GZ} eP _{GN} , eIP _{GE} e _{NEZ} P	10 57 55,2 C 55,7 58 14,0 59		KRA	Δ = 74 km		
22.VI		φ = 50°16,5'; λ = 18°56,0'; H = 19 ^h 22 ^m 32 ^s ; M = 2,2 (Cho- rzów); BYT: eP _{NE} 19 22 36,0; ZAB: eP 19 22 36,1; DGP (GIG): 19 22 40,3		(Ch) eIP _{GZ} eIS _{EEZ} e _{iN} P		14 42 20,2 C 29,9 30,3 44	
	CHZ	Δ = 5 km		NIE	Δ = 138 km		
(SK)	eP _N , eIP _{EEZ} Im	19 22 33,6 D 36		(SK) eP _{GN} , eIP _{EEZ} eIS _{GN} e _{iZ} e _{iN} P		14 42 31,0 48,6 50,8 51,3 45	
	RBN	Δ = 34 km		25.VI		φ = 50°17,5'; λ = 19°11,5'; H = 13 ^h 29 ^m 12 ^s ; M = 2,5 (Kraków), 2,4 (Chorzów); BYT: eS _E 13 29 19,5	
(SK)	e _Z e _N , e _{iE} e _{NE} P	19 22 39,6 44,6 50,5 25		CHZ	Δ = 14 km		
	KRA	Δ = 75 km		(SK) eP _{GZ} e _N Im		13 29 15,1 16,8 24,2	
(Ch)	eP _{EEZ} eIS _{EEZ} P	19 22 45,6 55,9 24			B: 1,0 ^s ; 1,7μ		
					Z: 1,0 ^s ; 1,1μ		
					Im		
					N: 1,0 ^s ; 2,3μ		
					P		
					KRA	Δ = 59 km	
				(Ch) eP _{NEZ}		13 29 23,0	

Date	Station	Phase	G.M.T. h m s	Date	Station	Phase	G.M.T. h m s
25.VI (suite)	KRA	eS _{GN} , eIS _{GZ} eS _{GE} Im	13 29 31,0 31,5 52	26.VI	CHZ	Δ = 5 km	
		Z: 1,0 ^s ; 0,07μ		(SK) eP _{NEZ} Im		16 10 39,8 42	
	NIE	Δ = 126 km. NE - 1111- sibles			NEZ: 0,4 ^s ; 1,5μ, 3,5μ, 1,8μ		
	(SK) eP _{GE} e _Z P		13 29 34,4 52,6 31	RBN	Δ = 40 km. Faible		
	RBN	Traces		(SK) eP _{EEZ} P		16 10 46,2 12	
	(SK) NEZ		13 29-31	RAC	Δ = 62 km		
26.VI		H = 03 ^h 30 ^m 58 ^s ; M = 2,8 (Kraków); BYT: eP _E 03 29 59,6; DGP (GIG): 03 30 04,1		(SK) eP _{EEZ} P		16 10 49,4 13	
	CHZ			KRA	Δ = 75 km		
(SK) eP _{NEZ} e _{iZ} Im			03 30(00,1) 03,8 09	(Ch) eP _{EEZ} eS _{EEZ} e _{iN} P		16 10 52,0 11 02,0 02,7 12	
		EZ: 0,5 ^s ; 2,0μ, 1,6μ		NIE	Δ = 141 km		
	RBN			(SK) eP _{EEZ} e _E P		16 11 02,4 20,1 13	
(SK) e _E e _Z P			03 30 08,5 15,6 33	27.VI		φ = 50°18'; λ = 18°54'; H = 13 ^h 10 ^m 32,4 ^s ; M = 2,5 (Chorzów); ZAB: eP 13 10 34,3	
	KRA	Δ = 87 km		CHZ	Δ = 7 km		
(Ch) eP _{NEZ} eIS _{EEZ} e _{iN} Im			03 30 13,8 25,7 27,0 31 00,5	(SK) eIP _{GN} , eIP _{EEZ} iS _{EEZ} Im		13 10 34,4 D 35,6 38	
		NEZ: 1,2 ^s , 1,3 ^s , 1,3 ^s ; 0,08μ, 0,07μ, 0,09μ			NE: 0,9 ^s ; 2,5μ, 5,5μ		
				RBN	Δ = 34 km		
	RAC			(SK) e _E e _N e _{iN} P		13 10 41,9 46,3 52,5 13	
	(SK) e _{iN} P		03 30 16,3 33	KRA	Δ = 78 km		
	NIE	Δ = 149 km		(Ch) eP _{EEZ} e _N eS _{EEZ} e _{iE} P		13 10 46,5 56,0 56,8 59,7 12	
	(SK) eP _{NEZ} , eIP _{GZ} e _{iN} e _E e _{iZ} P		03 30 24,4 44,5 45,8 46,1 33	RAC	Δ = 55 km		
26.VI		φ = 50°20,0'; λ = 18°58,5'; H = 16 ^h 10 ^m 38,3 ^s ; M = 2,4 (Chorzów); DGP (GIG): 16 10 43,2		(SK) e _E P		13 10 52,4 13	
				NIE	Δ = 141 km		
				(SK) eP _{NEZ} , eIP _{GZ} eIS _{GN} , eS _{EEZ} P		13 10 57,4 11 15,4 13	

Date	Station	Phase	G.M.T. h m s	Date	Station	Phase	G.M.T. h m s
28.VI		$\varphi = 50^{\circ}15,0'$; $\lambda = 18^{\circ}51,5'$; $H = 19^{\text{h}}14^{\text{m}}53,7^{\text{s}}$; BYT: eP _{NE} 19 14 56,8; DGP: eP _E 19 14 59,1		29.VI		DGP (GIG): 15 57 32,0	
	CHZ	$\Delta = 10$ km. Faible			KRA	Forte ag. ml.	
	(SK)	eP _Z	19 14 56,2		(SKM)	eP _{NEZ}	15 57 42,5
		e _Z	58,6			e _N	51,8
		F	16			F	59
	KRA	$\Delta = 79$ km			NIE		
	(SKM)	eP _{NEZ}	19 15 08,0		(SK)	eP _E , eIP _{EZ}	15 57 54,3
		eS _{NEZ}	18,5			e _E	58 12,0
		F	16			F	59
	NIE	$\Delta = 139$ km		30.VI		$\varphi = 50^{\circ}16,5'$; $\lambda = 18^{\circ}53,0'$; $H = 05^{\text{h}}50^{\text{m}}08,5^{\text{s}}$; $M = 2,6$ (Chorzów); DGP: eP _{EZ} 05 50 13,6; ZAB: eS 05 50 11,6	
	(SK)	eP _{EZ}	19 15 18,4		CHZ	$\Delta = 8$ km	
		e _E	19,2		(SK)	eP _E , eIP _{EZ}	05 50 10,4
		F	17			e _N	10,8
28.VI		$H = 20^{\text{h}}49^{\text{m}}13,5^{\text{s}}$; DGP (GIG): 20 49 14,6				iS _{NEZ}	11,9
	CHZ	$\Delta = 18$ km. Faible				Im	14
	(SK)	eP _{NEZ}	20 49 17,5			NEZ: 0,8 ^s ; 3,0 μ , 3,1 μ	
		e _N	21,2			Im	16
		F	50			E: 0,7 ^s ; 1,7 μ	
	KRA	$\Delta = 59$ km				F	51
	(SKM)	eP _{NEZ}	20 49 24,5		KRA	$\Delta = 78$ km	
		eS _{NEZ}	32,5		(Ch)	eP _{NE} , eIP _{EZ}	05 50 22,7
		F	51			eS _{EZ}	33,0
	NIE	Traces				F	53
	(SK)	e _E , e _I Z	20 49 37,4				
		F	51				

1966 J U I L L E T 1966

1.VII		$H = 07^{\text{h}}08^{\text{m}}47^{\text{s}}$; DGP (GIG): 07 08 50,9		1.VII	CHZ	iS _Z	12 19 40,5
	KRA	$\Delta = 79$ km			Im		42,2
	(Ch)	eP _{EZ}	07 09 01,1			Z: 1,0 ^s ; 2,5 μ	
		eS _{NEZ}	11,1			F	21
		F	10		KRA	$\Delta = 76$ km	
	NIE	$\Delta = 136$ km. N - illisible			(Ch)	eP _{NE} , eIP _{EZ}	12 19 50,8
	(SK)	eP _{EZ}	07 09 10,6			eS _{EZ}	20 01,0
		e _Z	31,8			F	21
		F	11		RBN	$\Delta = 31$ km. Traces	
					(SK)	e _N	12 19 55,3
1.VII		$\varphi = 50^{\circ}15,0'$; $\lambda = 18^{\circ}54,5'$; $H = 12^{\text{h}}19^{\text{m}}37^{\text{s}}$; $M = 2,4$ (Chorzów); DGP: eP _{EZ} 12 19 42,3				F	21
	CHZ	$\Delta = 8$ km. NE - illisibles			NIE	$\Delta = 136$ km. N - illisible	
	(SK)	iP _Z	12 19 39,0 D		(SK)	eIP _{EZ}	12 20 01,2
						e _E	17,2
						eS _{EZ}	19,7
						F	21 30

Date	Station	Phase	G.M.T. h m s	Date	Station	Phase	G.M.T. h m s
1.VII	RAC	Traces		3.VII		$\varphi = 50^{\circ}16'$; $\lambda = 18^{\circ}56'$; $H = 14^{\text{h}}49^{\text{m}}22,5^{\text{s}}$; $M = 2,5$ (Chorzów); DGP (GIG): 14 49 27,6	
(suite)	(SK)	EZ	12 19-21		CHZ	$\Delta = 5$ km	
1.VII		DGP (GIG): 14 23 58,7			(SK)	eP _{NE} , eIP _{EZ}	14 49 24,0 D
	KRA				Im		26
	(Ch)	e _N	14 24 15,6			E: 0,4 ^s ; 6,5 μ	
		eIS _{EZ}	17,0			Im	27
		F	25			NEZ: 0,5 ^s ; 3,0 μ , 3,0 μ	
	NIE	Traces				F	50
	(SK)	e _Z	14 24 19,2		RBN	$\Delta = 34$ km	
		F	26		(SK)	eP _{EZ}	14 49 29,1
1.VII		$\varphi = 50^{\circ}19,5'$; $\lambda = 18^{\circ}53,5'$; $H = 23^{\text{h}}24^{\text{m}}58,5^{\text{s}}$; BYT: eP _E 23 24 59,8; ZAB: eP _{NE} 23 25 00,4				e _N	35,6
	CHZ	$\Delta = 8$ km. Faible				F	51
	(SK)	e _N , e _Z	23 25 02,8		KRA	$\Delta = 75$ km	
		F	26		(Ch)	eP _{NE} , eIP _{EZ}	14 49 36,2 D
	KRA	$\Delta = 80$ km				eS _{NEZ}	46,2
	(Ch)	eP _{EZ}	23 25 13,0			F	51
		eS _{NEZ}	22,8		RAC	$\Delta = 56$ km	
		F	26 30		(SK)	e _E	14 49 36,5
	NIE	$\Delta = 143$ km				e _E	49,7
	(SK)	eP _{NE} , eIP _{EZ}	23 25 23,2 C			F	52
		eS _{NE}	40,9		NIE	$\Delta = 136$ km	
		F	27		(SK)	eP _{NE} , eIP _{EZ}	14 49 46,6 D
	RBN	Traces				e _Z	50 03,0
	(SK)	NEZ	23 25-26			eIS _{EN}	04,0
						F	51 30
	RAC	Traces		5.VII		DGP (GIG): 15 09 51,4; BYT (GIG): 15 09 58,8	
	(SK)	NEZ	23 25-27		CHZ		
2.VII		DGP (GIG): 14 52 44,0			(SK)	eIP _{NEZ}	15 09 53,8 C
	CHZ				Im		10 03
	(SK)	iP _{NEZ}	14 52 42,0 D			NEZ: 1,0 ^s ; 0,8 μ , 1,3 μ , 0,7 μ	
		Im	45			F	30
		Z: 1,0 ^s ; 1,9 μ			KRA		
		Im	46,3		(Ch)	eP _{NEZ}	15 10 00,9
		E: 1,0 ^s ; 1,7 μ				e _I Z	09,6
		F	54			Im	31,3
	KRA					Z: 1,0 ^s ; 0,13 μ	
	(Ch)	eS _{EN}	14 53 02,1			F	11
		F	54		NIE		
	NIE	Traces			(SK)	eP _{NEZ}	15 10 12,0
	(SK)	e _Z	14 53 04,8			e _{NE} , iZ	13,0
		F	54 30			e _N	30,0
	RBN	Traces				F	12
	(SK)	E	14 53-54				

Date	Station	Phase	G.M.T. h m s	Date	Station	Phase	G.M.T. h m s
7.VII		H = 02 ^h 57 ^m 42,5 ^s ; DGP (GIG): 02 57 48,6		8.VII	CHZ		
	CHZ	Δ = 6 km		(SK)	e _{NEZ}		08 46 03,3
	(SK)	e _{P_{NEZ}}	02 57 44,2		F		47
		i _{S_{NE}} , e _{iS_Z}	45,4	NIE			
		F	59	(SK)	e _{P_{GZ}}		08 46 24,9
	KRA	Δ = 79 km			e _Z		25,7
	(SKM)	e _{iP_{GZ}}	02 57 56,8		e _{NEZ}		40,0
		e _{iEZ}	58 08,6		F		49
		F	59 30	RBN	Traces		
	NIE	Δ = 138 km. Traces		(SK)	N		08 46-48
	(SK)	e _{P_{GZ}}	02 58 07,0	RAC	Traces		
		e _{P_{NEZ}}	07,5	(SK)	NEZ		08 46-49
		F	03 00				
7.VII		DGP (GIG): 13 07 30,0		13.VII		H = 23 ^h 07 ^m 18 ^s ; M = 2,6	
	CHZ	Faible			(Chorzów);	BYT (GIG): 23	
	(SK)	e _{P_Z}	13 07 26,1			07 22,0; DGP (GIG): 23 07	
		e _E	28,4		CHZ	Δ = 11 km	
		e _{NEZ}	29,2		(SK)	e _{P_{NEZ}} , i _{P_Z}	23 07 20,6 D
		F	08		Im		24
	KRA					EZ: 1,0 ^s ; 5,5 ^μ ; 2,5 ^μ	
	(Ch)	e _{S_{NEZ}}	13 07 49,7		F		08
		F	08 30	KRA	Δ = 79 km		
	NIE	Traces		(SKM)	e _{iP_{S_{NEZ}}}		23 07 32,2
	(SK)	e _{i_N} , e _E	13 08 08,5		e _{i_{NEZ}}		40,8
		F	09		i _{S_{NEZ}}		42,8
					Im		08 09
						Z: 1,2 ^s ; 0,09 ^μ	
7.VII		H = 21 ^h 17 ^m 08,5 ^s ; M = 1,9			F		09
		(Chorzów); DGP (GIG): 21		RAC	Δ = 49 km		
		17 13,3		(SK)	e _{S_{GZ}}		23 07 33,4
	CHZ	Δ = 7 km			F		10
	(SK)	e _{P_{NEZ}}	21 17 10,5	RBN			
		e _{iS_N} , e _{S_Z}	12,3	(SK)	e _N		23 07 33,5
		Im	15,3		F		09
		Z: 0,9 ^s ; 0,9 ^μ		NIE	Δ = 140 km		
		F	18	(SK)	e _{P_{GZ}} , e _{iP_{GZ}}		23 07 43,4 C
	KRA	Δ = 68 km			e _E		59,4
	(Ch)	e _{P_{GZ}}	21 17 21,1		e _Z		08 03,5
		e _{iS_{GZ}}	30,1		F		10
		F	19				
	NIE	Δ = 128 km. Traces		14.VII		φ = 50°03,5'; λ = 18°28,0';	
	(SK)	e _{P_{GZ}}	21 17 31,4			H = 15 ^h 54 ^m 49,5 ^s ; M = 3,3	
		F	19 30			(Kraków); DGP: e _{S_{GZ}} 15 55	
						08,4	
8.VII		ZAB (GIG): 08 45 59,5;			RBN	Δ = 7 km	
		BYT (GIG): 08 45 59,7;		(SK)	i _{P_{NEZ}}		15 54 51,6
		DGP (GIG): 08 46 05,3			i _{S_{NE}}		52,6
	CHZ	Faible			Im		55 05

Date	Station	Phase	G.M.T. h m s	Date	Station	Phase	G.M.T. h m s
14.VII	RBN	NEZ: 2 ^s ; 21,2 ^μ ,		19.VII	CHZ	e _Z	19 30 42,2
(suite)		19,2 ^μ , 20,9 ^μ				F	32
					RBN	Traces	
					(SK)	e _{i_N}	19 30 50,0
	RAC	Δ = 20 km			F		33
	(SK)	e _{iP_{NEZ}} , i _{P_Z}	15 54 53,1	RAC	Traces		
		i _{NEZ}	54,8	(SK)	e _E		19 30 54,0
		Im	55 27		e _N		54,6
		NEZ: 2 ^s ; 20 ^μ , 22 ^μ ,			F		34
		22,4 ^μ					
				KRA			
				(Ch)	e _{NEZ}		19 30 53,8
	ERA	Δ = 103 km			e _Z		31 03,9
	(Ch)	e _{iP_{S_{GZ}}}	15 55 08,0 C		F		32
		e _N	09,0				
		e _{iS_{GZ}}	21,2	NIE			
		Im	40,2	(SK)	e _{P_{S_{GZ}}}		19 31 02,1
		Z: 1,0 ^s ; 0,14 ^μ			e _{EZ}		19,6
					e _{iS_{GZ}}		20,5
		Im	42,2		F		32 30
		NE: 1,1 ^s ; 0,17 ^μ , 0,11 ^μ					
				20.VII		DGP (GIG): 07 28 44,7	
					NIE	NE - illisibles	
					(SK)	e _{P_{GZ}}	07 29 02,3
						e _{iZ}	24,0
					F		31
				KRA	Traces		
				(Ch)	e _Z		07 29 04,3
					e _{i_N}		06,4
					F		30
				RBN	Traces		
				(SK)	NE		07 28-30
18.VII		BYT (GIG): 05 19 26,0;					
		DGP (GIG): 05 19 27,8					
	CHZ	Faible					
	(SK)	e _Z	05 19 23,7				
		i _N , e _{iZ}	25,1				
		F	20				
	RAC	Traces					
	(SK)	e _N	05 19 36,7				
		e _N	45,7				
		F	21				
	RBN						
	(SK)	e _{i_{NE}}	05 19 36,8				
		e _{i_{NE}}	47,2				
		F	21				
	KRA	Traces					
	(Ch)	e _{NE}	05 19 45,3				
		e _Z	45,7				
		F	21				
	NIE						
	(SK)	e _{P_{S_{GZ}}}	05 19 47,2				
		e _Z	20 02,3				
		F	21 30				
19.VII		ZAB (GIG): 19 30 37,5					
	CHZ						
	(SK)	e _{NE}	19 30 41,2				

Date	Station	Phase	G.M.T. h m s	Date	Station	Phase	G.M.T. h m s
21.VII (suite)	KRA (Ch)	$\Delta = 79$ km eP _{NEZ} , eIP _{NEZ} eIS _{NEZ} Im NE: 1,2 ^s ; 0,07 μ , 0,09 μ	14 12 06,3 16,7 48,2	27.VII	RAC (SK)	Traces NE	12 32-34
		P	13 30	28.VII	RBN (SK)	eP _{NEZ} e _N P	13 12 48,8 50,2 14
24.VII	CHZ (SK)	H = 20 ^h 44 ^m 48 ^s ; DGP (GIG) 20 44 49,5 eP _{NEZ} eI _Z Im NEZ: 1,0 ^s ; 2,0 μ , 2,0 μ , 1,5 μ	20 44(49,9) 56,4 45 00 30		RAC (M)	e _{NEZ} e _{NEZ} Im Z: 1,6 ^s ; 1,8 μ	13 13 02,8 19,4 26 15
	KRA (Ch)	$\Delta = 62$ km eP _{NEZ} , eIP _{NEZ} eIS _{NEZ} , eS _{NEZ} eS _{NEZ} eI _Z P	20 44 59,0 45 06,8 07,3 08,1 46	28.VII	RBN (SK)	Traces i _N P	22 42 56,1 45
	RBN (SK)	e _Z e _{NE} P	20 45 01,0 04,8 47		KRA (Ch)	$\Delta = 85$ km eP _{NEZ} , eIP _{NEZ} e _{NEZ} eIS _{NEZ} Im Z: 1,3 ^s ; 0,09 μ	22 42 59,0 D 43 09,3 10,4 44,3 45,3
	NIE (SK)	$\Delta = 134$ km eP _{NEZ} , eIP _{NEZ} eI _Z , e _Z P	20 45 11,4 29,2 47			Im NE: 1,1 ^s , 1,4 ^s ; 0,06 μ , 0,07 μ	45,3
27.VII		$\varphi = 50^{\circ}23'$; $\lambda = 19^{\circ}00'$; H = 12 ^h 31 ^m 48,2 ^s ; M = 2,6 (Chorzów), BYT: eS _N 12 31 51,1			NIE (SK)	Traces e _Z P	22 43 15,7 44 30
	CHZ (SK)	$\Delta = 10$ km IP _{NEZ} Im EZ: 0,7 ^s ; 5,0 μ , 2,1 μ	12 31 50,7 D 55 32 30	29.VII		$\varphi = 50^{\circ}16,0'$; $\lambda = 18^{\circ}56,5'$; H = 14 ^h 37 ^m 27,0 ^s ; M = 2,1 (Chorzów); ZAB: eP _Z 14 37 29,6 BYT (GIG): 14 37 30,4	
	KRA (Ch)	$\Delta = 76$ km eIP _{NEZ} eIS _{NEZ} , eS _{NEZ} P	12 32 02 12 33 30		CHZ (SK)	$\Delta = 5$ km eP _{NEZ} , IP _Z IS _{NEZ} , eIS _Z Im Z: 0,8 ^s ; 2,0 μ	14 37 28,5 C 29,5 36 38 30
	RBN (SK)	$\Delta = 46$ km eIS _{NEZ} eI _{NEZ} P	12 32 03,5 05,2 34		RBN (SK)	$\Delta = 34$ km eS _N e _N P	14 37 38,1 40,3 39

Date	Station	Phase	G.M.T. h m s	Date	Station	Phase	G.M.T. h m s
29.VII (suite)	KRA (Ch)	$\Delta = 74$ km eP _{NEZ} eS _{NEZ} , eIS _{NEZ} P	14 37 40,3 50,3 39	30.VII	KRA	eI _{NEZ} eS _{NEZ} Im NE: 1,3 ^s ; 0,19 μ , 0,21 μ	23 52 21,3 23,2 50 55
	NIE (SK)	$\Delta = 136$ km. NE - illisibles eIP _{NEZ} e _Z eI _Z P	14 37 50,3 38 09,4 19,0 39 30		RAC (M)	$\Delta = 59$ km e _Z eS _{NEZ} Im NEZ: 2 ^s ; 5,2 μ , 8,5 μ , 3,4 μ	23 52 15,1 19,1 53 09 55
		H = 04 ^h 33 ^m 31 ^s ; ZAB (GIG): 04 33 31,4		30.VII	RBN (SK)	Traces e _N P	04 33 45,5 35
30.VII	KRA (Ch)	$\Delta = 84$ km eP _{NEZ} , eIP _{NEZ} eS _{NEZ} P	04 33 46,2 57,2 35		KRA (Ch)	$\Delta = 84$ km eP _{NEZ} , eIP _{NEZ} eS _{NEZ} P	04 33 46,2 57,2 35
	NIE (SK)	eP _{NEZ} e _{NEZ} P	04 33(55,3) 34 19,6 35 30		RAC (SK)	Traces NE	04 34-36
30.VII		$\varphi = 50^{\circ}16,5'$; $\lambda = 18^{\circ}58,5'$; H = 23 ^h 52 ^m 00,2 ^s ; M = 2,9 (Kraków), 2,4 (Chorzów); BYT: eP _N 23 52 02,7; ZAB: eP _N 23 52 03,4		31.VII		H = 02 ^h 31 ^m 04,8 ^s	
	CHZ (SK)	$\Delta = 2$ km IP _{NEZ} Im EZ: 1,0 ^s ; 28,2 μ , 17,3 μ	23 52 01,2 D 06,7 54		CHZ (SK)	$\Delta = 6$ km eP _{NEZ} e _N Im NE: 1,0 ^s , 0,8 ^s ; 1,3 μ , 1,4 μ	02 31 06,5 07,8 32
	RBN (SK)	$\Delta = 37$ km eP _Z eP _{NEZ} eIS _{NEZ} Im Z: 1,0 ^s ; 1,6 μ	23 52 07,3 07,8 12,5 29,5 55		KRA (Ch)	$\Delta = 78$ km. Faible eIP _{NEZ} eS _{NEZ} P	02 31 18,9 29,2 33
	KRA (Ch)	$\Delta = 72$ km eP _{NEZ} , eIP _{NEZ}	23 52 13,3 C	31.VII		H = 04 ^h 49 ^m 40,5 ^s ; M = 2,4 (Chorzów)	
					CHZ (SK)	$\Delta = 13$ km eP _{NEZ} e _N Im NE: 1,0 ^s , 0,8 ^s ; 1,3 μ , 1,4 μ	04 49 43,5 46,9 53,3 51
					KRA (Ch)	$\Delta = 62$ km eP _{NEZ} , eIP _{NEZ} eS _{NEZ} , eIS _{NEZ} P	04 49 51,9 C 50 00,4 51
					NIE (SK)	$\Delta = 127$ km eP _{NEZ} eI _{NEZ} P	04 51 03,0 21,8 53

Date	Station	Phase	G.M.T. h m s	Date	Station	Phase	G.M.T. h m s
1966 A O U T 1966							
2.VIII	BYT (GIG): 09 07 49,8; DGP (GIG): 09 07 52,7			5.VIII	CHZ (SK) eP _{NEZ}		06 53 46,5
	CHZ				eI _{NEZ}		47,5
	(SK) eI _{PEZ}		09 07 48,3 D		Lm		50,3
	eP _N		48,8		F	Z: 1,0 ^s ; 4,8 ^μ	55
	Lm		50		KRA	Traces	
	Lm	EZ: 0,5 ^s ; 2,5 ^μ , 1,5 ^μ	52		(SKM) e _{NEZ}		06 54 07,4
	F	N: 0,4 ^s ; 2,5 ^μ	08 30		F		55 30
	KRA	Traces			NIE	Traces. N - illisible	
	(Ch) eP _{NEZ}		09 08 00,8		(SK) eP _{NEZ}		06 54 09,3
	e _{NEZ}		12,8		F		55 30
	F		09 30	5.VIII		H = 23 ^h 02 ^m 19,5 ^s ; M = 2,2 (Chorzów); DGP (GIG): 23 02 23,1	
	NIE	NE - illisibles			CHZ	Δ = 9 km	
	(SK) eI _{PEZ}		09 08 11,2 C		(SK) eP _{NEZ}		23 02 21,7
	e _Z		30,0		iS _{NEZ} , eS _Z		23,5
	F		09		Lm		26,6
3.VIII	DGP (GIG): 04 41 38,6				F	EZ: 0,8 ^s , 0,9 ^s ; 1,2 ^μ , 0,9 ^μ	03
	KRA	Traces			KRA	Δ = 70 km. Traces	
	(Ch) e _N		04 41 57,8		(Ch) eI _{SENEZ}		23 02 40,8
	eS _{SEZ}		58,5		F		04
	F		43		NIE	Δ = 131 km. Traces	
	NIE				(SK) eP _{SEZ}		23 02 42,7
	(SK) eP _{SEZ}		04 41 58,1		F		04
	F		44	6.VIII	BYT (GIG): 02 57 03,1; ZAB (GIG): 02 57 04,1; DGP (GIG): 02 57 08,6		
4.VIII	ZAB (GIG): 19 52 23,2; BYT (GIG): 19 52 25,3				CHZ	Faible	
	CHZ				(SK) e _E		02 57 06,6
	(SK) eP _{NEZ}		19 52 24,0		e _{NEZ}		07,4
	eI _{NEZ}		25,5		F		58
	Lm	Z: 1,0 ^s ; 1,1 ^μ	29,5		KRA		
	F		53		(Ch) eP _{NEZ}		02 57 18,2
	KRA				e _N		27,1
	(Ch) eP _{NEZ}		19 52 36,6		e _{NEZ}		28,1
	e _{NEZ}		45,9		F		58 30
	eI _N		48,9				
	F		54				
	NIE						

Date	Station	Phase	G.M.T. h m s	Date	Station	Phase	G.M.T. h m s
6.VIII		φ = 50°17'; λ = 18°55'; H = 17 ^h 38 ^m 34 ^s ; M = 2,0 (Chorzów); BYT: eS _{NEZ} 17 38 38,1; DGP (GIG): 17 38 40,1		9.VIII		H = 13 ^h 30 ^m 20 ^s ; DGP (GIG): 13 30 24,9	
	CHZ	Δ = 5 km			CHZ	Δ = 10 km. Faible	
	(SK) eP _{NEZ}		17 38 35,6		(SK) eP _Z		13 30 22,5
	iS _{NEZ}		36,7		eS _{NEZ}		24,3
	Lm		40		F		31
		NEZ: 0,7 ^s ; 2,0 ^μ , 2,5 ^μ , 1,5 ^μ	39		KRA	Δ = 83 km	
	F		39		(Ch) eP _{SEZ}		13 30 35,0
	RBN	Δ = 34 km. E - inactive			eS _{NEZ}		45,8
	(SK) eS _N		18 38 45,2		F		31 30
	e _N		49,4		NIE	Δ = 137 km. NE - illisibles	
	F		40		(SK) eP _{SEZ}		13 30 44,4
	KRA	Δ = 77 km. Traces			e _Z		31 06,5
	(Ch) eS _{NEZ}		17 38 57,6		F		32
	eS _{SEZ}		58,1	9.VIII		DGP (GIG): 15 26 45,9	
	F		40		KRA		
	NIE	Δ = 138 km. Traces			(Ch) eP _{NEZ}		15 26 54,6
	(SK) eP _{SEZ}		17 38 59,0		F		28
	e _Z		39 18,8		NIE	Traces	
	F		40 30		(SK) eP _{SEZ}		15 27 07,0
					F		28
6.VIII		H = 18 ^h 19 ^m 33,7 ^s ; BYT (GIG): 18 19 38,2; DGP (GIG): 18 19 41,0		11.VIII		H = 06 ^h 36 ^m 06,3 ^s ; M = 2,0 (Chorzów); BYT (GIG): 06 36 07,8; DGP (GIG): 06 36 09,6	
	CHZ	Faible			CHZ	Δ = 3 km	
	(SK) e _Z		18 19 38,0		(SK) eP _N , iP _Z		06 36 07,3 D
	F		20		iS _Z		08,5
	KRA	Δ = 82 km			Lm		10
	(SKM) iP _{SEZ}		18 19 48,6		F	Z: 1,0 ^s ; 4,2 ^μ	
	eI _{SEZ} , eS _{SEZ}		59,7		Lm		11
	i _E		20 01,0		F	NE: 1,0 ^s ; 7,1 ^μ , 3,6 ^μ	
	F		21		KRA	Δ = 76 km. Faible	
9.VIII		DGP (GIG): 01 20 14,0; BYT (GIG): 01 20 14,7			(Ch) eI _{PEZ}		06 36 20,2
	CHZ				eI _{SEZ}		30,2
	(SK) eP _N , eI _{PZ}		01 20 11,3 D		eI _N		32,3
	eI _E		12,4		F		37 30
	eI _N , i _Z		12,9		NIE	Δ = 138 km. Traces. NE - illisibles	
	Lm		15,9		(SK) eP _{SEZ}		06 36 31,0
		Z: 0,7 ^s ; 2,5 ^μ			F		38

Date	Station	Phase	G.M.T. h m s	Date	Station	Phase	G.M.T. h m s
12.VIII (suite)	CHZ (SK)	Faible eP _{NZ} , eIP _E P	13 17 46,5 19	16.VIII	KRA (Ch)	$\Delta = 83$ km. Faible eP _{EZ} eS _{EZ} P	09 27 20,6 31,6 28 30
	RAC (SK)	Traces eI _N P	13 17 53,4 19 30		NIE	$\Delta = 143$ km. Traces. NE - illisibles	
	RBN (SK)	Traces e _N P	13 18 03,4 19		(SK)	eP _{EZ} P	09 27 30,8 29 30
	NIE (SK)	NE - illisibles eP _{EZ} e _Z P	13 18 09,5 30,5 20		RAC (SK)	Traces e _E P	09 27 32,5 29
	KRA (Ch)	eS _{ENZ} P	13 18 09,9 19	17.VIII		$\varphi = 50^{\circ}15,5'$; $\lambda = 18^{\circ}56,0'$; H = $01^{\text{h}}28^{\text{m}}02,0^{\text{s}}$; M = 2,5 (Chorzów); DGP (GIG): 01 28 05,7; BYT: eS _E 01 28 06,3	
13.VIII		DGP (GIG): 19 08 42,4; BYT (GIG): 19 08 42,8		CHZ	$\Delta = 6$ km		
	CHZ (SK)	eP _{NEZ} i _{NE} Im NEZ: $1,3^{\mu}$; $1,6^{\mu}$, $2,0^{\mu}$, $1,3^{\mu}$ P	19 08 40,2 41,2 43 10	(SK)	iP _{NEZ} i _{NEZ} Im Z: $1,0^{\mu}$; $4,5^{\mu}$ P	01 28 03,7 D 04,5 06,2 29	
	RBN (SK)	Traces e _{NEZ} P	19 08 47,5 10	RBN	$\Delta = 33$ km		
	KRA (SKM)	eIP _{EE} , eP _{EZ} eI _N P	19 08 53,2 09 02,5 10	(SK)	e _E e _N e _E P	01 28 11,4 17,0 17,5 29 30	
	RAC (SK)	Traces NEZ	18 08-10	KRA	$\Delta = 74$ km		
16.VIII		$\varphi = 50^{\circ}17,5'$; $\lambda = 18^{\circ}49,5'$; H = $09^{\text{h}}27^{\text{m}}05,5^{\text{s}}$; M = 2,2 (Chorzów); BYT: eS _N 09 27 09,2; DGP: eP _{EE} 09 27 11,3		(Ch)	eP _{EEZ} eP _{EN} eIS _{ENZ} , eS _{EE} P	01 28 15,7 16,2 25,7 29 30	
	CHZ (SK)	$\Delta = 12$ km eP _{NEZ} , eIP _Z eIS _Z Im Z: $1,0^{\mu}$; $1,1^{\mu}$ P	09 27 08,2 10,1 14 28	NIE	$\Delta = 136$ km		
	RBN (SK)	$\Delta = 30$ km e _N e _E P	09 27 16,5 18,5 28 30	(SK)	eP _{EZ} e _{NE} , eI _Z eS _{EZ} eI _{NE} P	01 28 26,1 26,9 44,4 45,0 30	
				RAC	Traces		
				(SK)	EZ	01 28-30	
				19.VIII		$\varphi = 50^{\circ}20,5'$; $\lambda = 18^{\circ}52,0'$; H = $15^{\text{h}}53^{\text{m}}04^{\text{s}}$; M = 2,4 (Cho- rzów); ZAB: eP _E 15 53 05,0, eS _E 06,2; DGP: eP _{EEZ} 15 53 09, eIS _E 12,3	
	CHZ (SK)	$\Delta = 10$ km eIP _Z eIP _{NE}	15 53 06,0 D 06,4				

Date	Station	Phase	G.M.T. h m s	Date	Station	Phase	G.M.T. h m s
19.VIII (suite)	CHZ	Im Z: $0,7^{\mu}$; $1,4^{\mu}$ P	15 53 10 54	23.VIII	DGP (GIG): 15 47 30,6		
	RBN (SK)	$\Delta = 36$ km eS _N P	15 53 16,2 54 30	KRA	Traces		
	KRA (Ch)	$\Delta = 82$ km eP _{EN} , eIP _{EEZ} eS _{EZ} P	15 53 18,8 D 29,5 54 30	(Ch)	e(P _E) _{NZ} e _N P	15 47 39,3 45,2 48	
	NIE (SK)	$\Delta = 145$ km eP _{EZ} eI _E e _{EE} eI _Z P	15 53 29,3 30,0 46,4 50,6 55 30	NIE			
	RAC (SK)	Traces NEZ	15 53-55	(SK)	eP _{EZ} eIS _{EN} , eS _{EE} P	15 47 51,0 48 07,6 49	
20.VIII		$\varphi = 50^{\circ}17,0'$; $\lambda = 18^{\circ}56,5'$; H = $17^{\text{h}}41^{\text{m}}45,5^{\text{s}}$; M = 1,8 (Chorzów); BYT: eS _N 17 41 49,2; DGP: 17 41 49,7		28.VIII	$\varphi = 50^{\circ}17,5'$; $\lambda = 18^{\circ}55,0'$; H = $00^{\text{h}}30^{\text{m}}30,0^{\text{s}}$; M = 1,9 (Chorzów); BYT: eP _E 00 30 32,1		
	CHZ (SK)	$\Delta = 4$ km eP _{NEZ} , eIP _Z iS _{NE} Im NEZ: $1,3^{\mu}$; $4,5^{\mu}$, $3,5^{\mu}$, $2,0^{\mu}$ P	17 41 46,5 47,4 49 43	CHZ	$\Delta = 5$ km		
	RBN (SK)	$\Delta = 35$ km eP _E e _N P	17 41 52,2 42 44,3 43 30	(SK)	eP _{NZ} iS _N , eIS _Z Im NEZ: $0,8^{\mu}$; $2,1^{\mu}$, $1,3^{\mu}$ P	00 30 31,5 32,6 37 31	
	KRA (Ch)	$\Delta = 75$ km eP _{EEZ} eS _{EN} , eIS _{EEZ} P	17 41 59,2 42 09,0 43 30	KRA	$\Delta = 77$ km. Faible		
	RAC (SK)	$\Delta = 57$ km e _E e _Z e _{NE} P	17 42 09,2 09,7 24,7 43 30	(Ch)	eP _{EE} , eIP _{EZ} eS _{ENZ} , eIS _{EE} P	00 30 44,0 53,9 31 30	
	NIE (SK)	$\Delta = 137$ km eP _{EEZ} e _E e _{NEZ} P	17 42 09,5 26,0 28,0 44 30	NIE	$\Delta = 139$ km		
				(SK)	eP _{NEZ} eS _{ENE} P	00 30 54,5 31 13,6 32	
				RBN	Traces		
				(SK)	NE	00 29-31	
				28.VIII		$\varphi = 50^{\circ}14'$; $\lambda = 18^{\circ}54'$; H = $= 18^{\text{h}}42^{\text{m}}21^{\text{s}}$; M = 3,0 (Cho- rzów), 2,6 (Kraków); BYT (GIG): 18 42 25,0; DGP (GIG): 18 42 25,2	
	CHZ (SK)	$\Delta = 9$ km iP _{NEZ} Im EZ: $1,0^{\mu}$, $1,1^{\mu}$; $6,8^{\mu}$, $7,3^{\mu}$ Im N: $0,9^{\mu}$; $6,5^{\mu}$ P	18 42 23,6 D 26,6 30,7 43	CHZ	$\Delta = 9$ km		
	RBN (SK)	$\Delta = 30$ km e _Z e _{NE} eI _N P	18 42 29,0 31,1 37,9 44	(SK)	iP _{NEZ} Im EZ: $1,0^{\mu}$, $1,1^{\mu}$; $6,8^{\mu}$, $7,3^{\mu}$ Im N: $0,9^{\mu}$; $6,5^{\mu}$ P		

Date	Station	Phase	G.M.T. h m s	Date	Station	Phase	G.M.T. h m s
28.VIII (suite)	KRA (Ch)	$\Delta = 76$ km eP _{NEZ} eIS _{NEZ} , iS _{GE} Lm NE: 1,0 ^B , 1,2 ^B ; 0,07 μ , 0,06 μ P	18 42 34,7 44,9 43 14 44	30.VIII	NIE	e _{EZ} P	00 50 14,5 52
	RAC (SK)	$\Delta = 52$ km. Traces eS _{GE} e _N P	18 42 36,9 41,6 44,5	31.VIII	CHZ (SK)	$\Delta = 13$ km eP _Z e _N Lm Z: 1,0 ^B ; 1,0 μ P	15 58 39,0 39,5 46,0 59 30
	NIE (SK)	$\Delta = 135$ km eP _{GE} e _{IE} eIS _{NEB} P	18 42 44,9 45,6 43 02,8 45		KRA (SKM)	$\Delta = 62$ km eIP _{GE} e _N , e _{IZ} eIS _{NEZ} P	15 58 47,3 47,8 55,8 16 00
30.VIII		DGP (GIG): 00 49 32,5			NIE (SK)	$\Delta = 127$ km eP _{GE} , eIP _{GE} e _{IE} e _{IN} P	15 58 58,7 C 59 15,3 16,5 16 01
	KRA (Ch)	Traces e _{EZ} eS _{GEZ} P	00 49 44,2 53,2 51 30		RAC (SK)	Traces NEZ	15 59-16 01
	NIE (SK)	Traces e _Z	00 49 58,5				
1966				1966			
S E P T E M B R E							
1.IX		$\varphi = 50^{\circ}17,5'$; $\lambda = 18^{\circ}51,5'$; H = 19 ^h 59 ^m 13 ^s ; M = 2,1 (Cho- rzów); BYT: eP _E 19 59 15,3; DGP (GIG): 19 59 20,1		1.IX	NIE	e _{IN} , e _E P	19 59 55,0 20 01
	CHZ (SK)	$\Delta = 9$ km eP _{NEZ} eIS _{NEZ} Lm EZ: 1,0 ^B , 1,1 ^B ; 2,2 μ , 1,1 μ Lm N: 1,1 ^B ; 2,4 μ P	19 59 15,3 17,1 21 22 20 00	3.IX		DGP (GIG): 15 02 18,2	
	RBN (SK)	$\Delta = 31$ km e _E e _B P	19 59 20,9 34,9 20 01		CHZ (SK)	Z - inactive eP _{NEB} Lm R: 1,0 ^B ; 1,1 μ Lm N: 0,9 ^B ; 1,0 μ P	15 02 18,2 25,2 26,7 03
	KRA (Ch)	$\Delta = 81$ km eIP _{GE} eIS _{GEZ} P	19 59 27,7 38,3 20 01		KRA (Ch)	Traces e _N e _{EZ} P	15 02 34,4 35,1 03 30
	NIE (SK)	$\Delta = 142$ km eP _{GEZ}	19 59 38,0		NIE (SK)	Traces eP _{GEZ} e _{IE} e _{IN} P	15 02 37,4 53,2 54,7 04
				3.IX		DGP (GIG): 23 33 25,5	
					KRA (SKM)	eP _{NEZ}	23 33 34,4

Date	Station	Phase	G.M.T. h m s	Date	Station	Phase	G.M.T. h m s
3.IX (suite)	KRA	e _{NEZ} P	23 33 41,1 35 30	10.IX	KRA	e _{IZ} e _{IE} P	17 06 17,0 17,6 07 30
6.IX		DGP (GIG): 19 52 24,7			NIE (SK)	$\Delta = 137$ km eP _{GEZ} e _N , e _{IE} P	17 06 18,0 C 37,0 08
	KRA (Ch)	eS _{NEZ} P	19 52 41,9 53 30		RAC (SK)	Traces NEZ	17 06-08
7.IX		H = 23 ^h 52 ^m 36 ^s ; M = 1,5 (Chorzów); BYT (GIG): 23 52 39,0		11.IX		BYT (GIG): 13 43 29,2	
	CHZ (SK)	$\Delta = 4$ km eP _{EZ} eIS _{NEZ} Lm EZ: 1,0 ^B , 1,1 ^B ; 2,3 μ , 1,0 μ P	23 52 37,4 38,4 41 53		CHZ (SK)	eP _{NEB} , eIP _Z Lm NEZ: 1,0 ^B , 1,0 ^B , 1,2 ^B ; 1,8 μ , 1,6 μ , 1,2 μ P	13 43 26,7 D 30,8 44
	KRA (SKM)	$\Delta = 74$ km. Traces eIS _{NEZ} P	23 52 58,8 54 30		NIE (SK)	Traces. NE - illisibles eP _{GEZ} P	13 43 49,7 45
8.IX		$\varphi = 50^{\circ}16'$; $\lambda = 18^{\circ}54'$; H = 22 ^h 23 ^m 47,5 ^s ; DGP: eP _E 22 23 52,2			KRA (SKM)	Traces e _{IE} P	13 43 51,6 45
	CHZ (SK)	$\Delta = 7$ km eP _{NEB} , eIP _Z IS _{NE} P	22 23 49,4 C 50,9 25		RBN (SK)	Traces NE	13 43-45
	KRA (SKM)	$\Delta = 77$ km. Traces eS _{NEZ} P	22 24 11 25 30	13.IX		DGP (GIG): 02 51 20,5	
	NIE (SK)	$\Delta = 138$ km. Traces eP _{GEZ} e _N e _E P	22 24 12,0 12,5 30,0 26		KRA (Ch)	eP _{NEZ} e _Z P	02 51 31,1 41,0 52 30
10.IX		$\varphi = 50^{\circ}17'$; $\lambda = 18^{\circ}56'$; H = 17 ^h 05 ^m 54 ^s ; M = 1,8 (Chorzów); BYT: eP _N 17 05 56,4; ZAB: eP _E 17 05 56,7; DGP (GIG): 17 05 57,6			NIE (SK)	Traces e _{EZ} e _E P	02 51 43,0 58,8 52 30
	CHZ (SK)	$\Delta = 4$ km eP _{NEB} , eIP _Z IS _{NE} Lm Z: 0,9 ^B ; 1,6 μ P	17 05 55,6 C 56,6 06 00,6 07	14.IX		$\varphi = 50^{\circ}16,0'$; $\lambda = 18^{\circ}53,5'$; H = 16 ^h 44 ^m 25 ^s ; M = 3,2 (Chorzów), 3,0 (Kraków); BYT: eP _N 16 44 27,3; ZAB (GIG): 16 44 28,8; DGP: eP _Z 16 44 29,7, eS _{GEZ} 32,8	16 44 27,2 29,2 30 NEZ: 0,8 ^B ; 15,0 μ , 13,0 μ , 13,5 μ 46
	KRA (Ch)	$\Delta = 75$ km eP _{NEZ} , eIP _{GEZ}	17 06 07,9		CHZ (SK)	$\Delta = 8$ km IP _{NEZ} i _{NEZ} Lm P	16 44 27,2 29,2 30

Date	Station	Phase	G.M.T. h m s	Date	Station	Phase	G.M.T. h m s
14.IX (suite)	RBN (SK)	$\Delta = 31$ km e_{NE} e_N, e_{iEZ} e_{NEZ} F	16 44 32,4 33,4 38,3 46 30	18.IX		$\varphi = 50^{\circ}15,5'$; $\lambda = 18^{\circ}55,5'$; $H = 19^{\text{h}}42^{\text{m}}28,3^{\text{s}}$; $M = 2,4$ (Chorzów), 2,2 (kraków); ZAB: eP_N 19 42 30,8; BYT: eP_{NE} 19 42 31,1; DGP: eP_{EZ} 19 42 32,7	
	RAC (SK)	$\Delta = 54$ km eP_{EZ} e_{NE} F	16 44 35,7 36,9 47 30		CHZ (SK)	$\Delta = 6$ km e_{iP_N}, iP_{EZ} Im NEZ: $1,1^{\text{s}}$, $1,1^{\text{s}}$, $1,2^{\text{s}}$; $6,1\mu$, $8,3\mu$, $4,5\mu$	19 42 30,1 D 34,2
	KRA (Ch)	$\Delta = 77$ km $e_{iP_{NEZ}}$ $e_{iS_{EZ}}, iS_{EZ}$ Im E: $1,0^{\text{s}}$; $0,11\mu$ Im N: $1,4^{\text{s}}$; $0,14\mu$ F	16 44 39,0 C 49,5 45 20 22 46 30		KRA (Ch)	$\Delta = 75$ km $eP_{NE}, e_{iP_{EZ}}$ eS_{EZ} e_{iEZ} Im N: $1,5^{\text{s}}$; $0,10\mu$ Im E: $1,3^{\text{s}}$; $0,07\mu$ F	19 42 42,0 52,0 53,1 43 19,6 23,8 44
	NIE (SK)	$\Delta = 138$ km. NE - illisibles eP_{EZ} i_Z $e_{iS_{EZ}}$ F	16 44 49,0 49,5 45 07,5 47 30		NIE (SK)	$\Delta = 136$ km $eP_{EZ}, e_{iP_{EZ}}$ eS_{EZ} F	19 42 52,5 43 10,4 44 30
14.IX		DGP (GIG): 21 36 59,4			RAC (SK)	Traces NEZ Im NEZ: $1,0^{\text{s}}$; $2,5\mu$, $1,6\mu$, $1,2\mu$ F	19 42-44 19 48 32,7
	CHZ (SK)	$e_{iP_{NE}}$ i_{NEZ} Im NEZ: $1,0^{\text{s}}$; $2,5\mu$, $1,6\mu$, $1,2\mu$ F	21 36 56,7 C 57,6 37 00 37 30	18.IX	CHZ (SK)	eP_{NE}, e_{iP_Z} i_{NEZ} F	19 48 29,2 30,2 49
	KRA (Ch)	Traces $eS_{EZ}, e_{iS_{EZ}}$ F	21 37 18,7 38		RBN (SK)	e_{NE} F	19 48 42,1 49 30
18.IX		$\varphi = 50^{\circ}19,5'$; $\lambda = 18^{\circ}58,5'$; $H = 03^{\text{h}}02^{\text{m}}24,5^{\text{s}}$; DGP: eP_E 03 02 28,3			KRA (Ch)	Traces $eS_{NE}, e_{iS_{EZ}}$ e_{EZ} F	19 48 51,6 53,4 49 30
	CHZ (SK)	$\Delta = 4$ km $e_{iP_{NEZ}}, eP_E$ $i_{S_{NE}}$ F	03 02 26,1 27,1 03		NIE (SK)	NE - illisibles eP_{EZ} e_Z F	19 48 51,7 49 10,2 50
	KRA (Ch)	$\Delta = 74$ km eP_{EZ} $e_{iS_{EZ}}$ F	03 02 38,0 48,0 03 30	19.IX		DGP (GIG): 13 32 30,3	
	NIE (SK)	$\Delta = 139$ km. Traces eP_{EZ} F	03 02 49,0 04		CHZ (SK)	eP_{EZ} i_{NEZ} F	13 32 26,9 28,2 33
	RBN (SK)	Traces NE	03 02-04				

Date	Station	Phase	G.M.T. h m s	Date	Station	Phase	G.M.T. h m s
19.IX (suite)	KRA (Ch)	Traces eS_{NEZ} F	13 32 49,4 33 30	21.IX	RAC (SK)	Traces NEZ	15 50-52
	NIE (SK)	Traces. NE - illisibles eP_{EZ} F	13 32 49,3 34	21.IX		$H = 16^{\text{h}}48^{\text{m}}10^{\text{s}}$; $M = 2,2$ (Chorzów); DGP (GIG): 16 48 14,6; BYT (GIG): 16 48 14,8	
19.IX		DGP (GIG): 20 14 30,7			CHZ (SK)	$\Delta = 10$ km $eP_N, e_{iP_{EZ}}$ Im EZ: $1,0^{\text{s}}$, $1,2^{\text{s}}$; $2,3\mu$, $1,3\mu$ F	16 48 12,5 16 30
	KRA (Ch)	eP_{NEZ} e_N e_{EZ} F	20 14 41,7 49,2 50,6 15 30		KRA (Ch)	$\Delta = 78$ km. Faible eP_{EZ} eS_{NEZ} F	16 48 24,2 34,8 49 30
	NIE (SK)	NE - illisibles eP_{EZ} e_Z $e_{iS_{EZ}}$ F	20 14 53,7 15 05,2 12,8 16		NIE (SK)	$\Delta = 144$ km eP_{EZ} e_Z F	16 48 35,6 49 01,6 50
21.IX		$H = 02^{\text{h}}46^{\text{m}}27,5^{\text{s}}$; DGP (GIG): 02 46 29,8		23.IX		BYT (GIG): 03 40 33,3; DGP (GIG): 03 40 38,0	
	KRA (Ch)	$\Delta = 60$ km eP_{EZ} eS_{EZ} e_{iE} F	02 46 38,6 46,5 47,0 47 30		CHZ (SK)	$iP_N, e_{iP_{EZ}}$ i_Z Im Z: $1,2^{\text{s}}$; $1,2\mu$ F	03 40 35,1 D 37,4 41 41
	NIE (SK)	$\Delta = 135$ km $eP_{NE}, e_{iP_{EZ}}$ e_{EZ} $e_{iS_{NE}}, eS_{EZ}$ F	02 46 51,5 47 07,2 02 47 09,6 48		KRA (Ch)	eP_{EZ} e_{NEZ} F	03 40 47,5 56,9 42
21.IX		$\varphi = 50^{\circ}16,5'$; $\lambda = 18^{\circ}53,0'$; $H = 15^{\text{h}}49^{\text{m}}58^{\text{s}}$; BYT: eS_N 15 50 01,9; DGP: eP_Z 15 50 02,9			NIE (SK)	$eP_{NE}, e_{iP_{EZ}}$ F	03 40 59,5 D 42 30
	CHZ (SK)	$\Delta = 8$ km iP_{NEZ} iS_{EZ} F	15 50 00,0 D 01,4 51	23.IX		$\varphi = 50^{\circ}15,5'$; $\lambda = 18^{\circ}57,0'$; $H = 19^{\text{h}}47^{\text{m}}07,5^{\text{s}}$; $M = 1,9$ (Chorzów); BYT (GIG): 19 47 10,8; DGP: eP_{NEZ} 19 47 11,7	
	KRA (Ch)	$\Delta = 78$ km. Traces eP_{EZ} e_{iN} e_{iZ} F	15 50 12,2 21,0 21,8 51		CHZ (SK)	$\Delta = 5$ km $e_{iP_{NE}}, iP_Z$ iS_{NEZ} Im Z: $1,2^{\text{s}}$; $2,0\mu$ F	19 47 08,9 D 10,1 12 30
	NIE (SK)	$\Delta = 139$ km eP_{EZ} e_{NEZ} $e_{iS_{EZ}}$ F	15 50 23,7 39,0 42,0 52		KRA (Ch)	$\Delta = 73$ km eP_{NEZ}	19 47 20,7

Date	Station	Phase	G.M.T. h m s	Date	Station	Phase	G.M.T. h m s
6.X (suite)	NIE (SK)	N - forte ag. ml. eP _{gZ} eP _{gE} eEZ eNE F	14 42 53,9 54,4 43 11,4 13,9 44 30	8.X	CHZ KRA (Ch)	e _{1N} e _{2Z} F e _{1E} e _{2Z} e _{1N} F	06 41 20,0 23,0 42 06 41 31,1 42,0 43,0 42 30
7.X		$\varphi = 50^{\circ}20'$; $\lambda = 18^{\circ}49'$; H = $14^{\text{h}}23^{\text{m}}43,6^{\text{s}}$; M = 2,5 (Chorzów, Bytom, Dąbrowa Górnioza); ZAB: eP _N 14 23 45,1; eS _{NE} 46,1; BYT: eS _N 14 23 46,7; Im _{NE} 11,6 μ , 6,8 μ ; DGP: eP _Z 14 23 49,7, eIS _{NEZ} 53,7, Im _{NEZ} 0,6 μ , 0,5 μ , 0,6 μ		9.X	NIE (SK)	e _{1NEZ} e _{2Z} F	06 41 41,3 42 01,3 43
	CHZ (SK)	$\Delta = 14$ km eP _{EZ} e _{1N} eIS _{NEZ} Im	14 23 47,1 47,6 49,4 55		CHZ (SK)	Paible e _{2Z} e _{1E} e _{2Z} e _{1NE} F	11 03 45,5 48,5 50,5 54,0 04
	RBN (SK)	$\Delta = 32$ km. E - illisible eIS _Z e _{1N} e _{2Z} F	14 23 54,0 58,4 25		KRA (Ch)	Paible. E - illisible e _{1NEZ} e _{2Z} e _{1Z} F	11 03 53,0 48,5 50,5 54,0 04
	KRA (Ch)	$\Delta = 87$ km eP _{gNEZ} e _{1E} eIS _{NEZ} , IS _{gZ} e _{1Z} F	14 23 58,1 59,6 24 09,6 18,0 25 30		NIE (SK)	NE - illisibles e _{1Z} e _{2Z} F	11 04 05,0 22,4 05 30
	RAC (SK)	e _{1N} e _{1NEZ} F	14 24 03,1 13,6 26	10.X	BYT (GIG): 14 07 52,8; DGP (GIG): 14 07 56,4		14 07 52,8; 55,4 57,0 08 30
	NIE (SK)	$\Delta = 151$ km eP _{gE} , eIP _{gZ} e _{2Z} e _{1E} e _{2Z} eIS _{NEZ} e _{1Z} F	14 24 09,7 21,1 27,5 29,0 34,6 26		CHZ (SK)	Paible e _{2Z} e _{1N} e _{2Z} F	14 07 53,4 55,4 57,0 08 30
8.X		BYT (GIG): 06 41 19,1; DGP:(GIG): 06 41 21,0			KRA (SKM)	Traces e _{1NEZ} F	14 08 11,0 09
	CHZ (SK)	e _{2Z}	06 41 19,1	10.X	DGP (GIG): 19 27 08,9		19 27 08,9
					CHZ (SK)	Paible e _{1NEZ} Im	19 27(04,4) 08
						NEZ: 0,4 ^s ; 2,0 μ , 1,5 μ , 1,1 μ	
					KRA (SKM)	Paible e _{1N}	19 27 26,0

Date	Station	Phase	G.M.T. h m s	Date	Station	Phase	G.M.T. h m s
10.X (suite)	KRA (SK)	e _{2Z} e _{2Z} F	19 27 27,0 30,5 28 30	12.X	NIE (SK)	Traces Z	15 03 30-04 30
	NIE (SK)	Paible e _{2Z} e _{2Z} e _{1E} e _{1N} F	19 27 28,0 38,0 45,0 46,0 28 30	13.X	BYT (GIG): 01 36 07,3; DPG (GIG): 01 36 10,4		
	RBN (SK)	Traces NEZ	19 27 00-28 30		CHZ (SK)	Traces e _{1NEZ} F	01 36 10,4 30
11.X		BYT (GIG): 13 04 04,3; DGP (GIG): 13 04 08,2			KRA (Ch)	Paible eP _{gNEZ} e _{2Z} e _{1NEZ} F	01 36 21,8 29,8 54,3 37 30
	CHZ (SK)	Paible eP _N , eIP _E , eP _Z e _{1NEZ} e _{1NE} e _{2Z} F	13 04 08,3 09,4 12,8 30		NIE (SK)	Paible e _{2Z} e _{1E} e _{1NEZ} F	01 36 29,7 40,7 48,8 37 30
	KRA (SKM)	Traces e _{1NEZ} F	13 04 27,5 05	18.X	H = $08^{\text{h}}39^{\text{m}}24,5^{\text{s}}$; M = 2,9 (Chorzów)		
12.X		DGP (GIG): 14 37 52,0			CHZ (SK)	$\Delta = 11$ km eP _{NEZ} eIS _{NEZ} Im	08 39 26,8 28,7 32
	CHZ (SK)	Paible e _{2Z} e _{1N} e _{1N} e _{2Z} F	14 37 47,9 48,7 50,2 50,7 38 30			NEZ: 0,6 ^s , 0,6 ^s , 0,8 ^s ; 4,0 μ , 4,1 μ , 5,5 μ	
	KRA (SKM)	Traces e _{2Z} F	14 38 11,5 39		KRA (Ch)	$\Delta = 67$ km. Paible eP _{gE} eS _{gN} , IS _{gZ} F	08 39 37,7 46,7 41
	NIE (SK)	Traces Z	14 38-39		RBN (SK)	Traces NEZ	08 39 30-40 30
12.X		DGP (GIG): 15 03 22,5		18.X	ZAB (GIG): 16 54 26,6; BYT (GIG): 16 54 27,4		
	CHZ (SK)	Paible e _{1NEZ} e _{1E} e _{1NEZ} Im	15 03 25,2 27,7 29,7 34		KRA (Ch)	Paible e _{1NEZ} e _{2Z} e _{1NEZ} F	16 54 39,4 48,2 50,2 56
		NEZ: 0,9 ^s , 0,9 ^s ; 1,1 ^s , 1,6 μ , 1,8 μ , 1,1 μ		19.X	$\varphi = 50^{\circ}19'$; $\lambda = 19^{\circ}01'$; H = $11^{\text{h}}38^{\text{m}}10,1^{\text{s}}$; M = 2,1 (Chorzów, Dąbrowa Górnioza); BYT: eS _N 11 38 13,6; DGP: eP _Z 11 38 13,6, Im _Z 1,5 ^s ; 0,6 μ		
	KRA (Ch)	Paible e _{1NEZ} e _{1N} e _{2Z} F	15 03 32,0 41,5 42,0 43,2 04 30		CHZ (SK)	$\Delta = 4$ km eP _Z	11 38 11,1 D

Date	Station	Phase	G.M.T. h m s	Date	Station	Phase	G.M.T. h m s		
19.X (suite)	CHZ	iP_N, eP_E	11 38 11,3	21.X	KRA	e_{NEZ}	14 16 28,8		
		iS_Z	11,8			F	17 30		
		Im	13			RAC (M)	e_Z	14 16 31,0	
	E: $0,7^{\mu}$; $4,0\mu$		e_Z		17 09,0				
	Im	14	F		30				
	NZ: $0,8^{\mu}$; $7,5\mu$, $4,0\mu$		F		39	22.X	DGP (GIG): 00 42 48,9		
	RBN	Faible			CHZ		Faible		
	(SK)	e_{iZ}	11 38 26,0		(SK)		e_Z	00 42 48,7	
		e_{iZ}	35,1		e_N		49,5		
		e_E	37,0		e_{EZ}		51,5		
		e_{NEZ}	44,5		F		43 30		
		F	40		KRA		Faible		
	KRA	$\Delta = 73$ km. Faible					(Ch)	e_{NEZ}	00 42 57,3
	(Ch)	e_N	11 38 31,6				e_{NEZ}	43 05,8	
		eS_{EZ}, eIS_{GZ}	32,6				e_{NEZ}	08,4	
	e_N	37,1	F	44					
	e_{EZ}	41,0	NIE	Traces					
	F	39 30	(SK)	EZ	00 43-44				
21.X	BYT (GIG): 04 02 24,1			25.X	$\varphi = 50^{\circ}22'$; $\lambda = 18^{\circ}51'$; $H = 17^{\text{h}}36^{\text{m}}05,5^{\text{s}}$; $M = 2,4$ (Bytom): BYT: eP_{NE} 17 36 06,7; Im_{NE} $20,3\mu$, $11,8\mu$				
CHZ	Faible		CHZ		$\Delta = 14$ km				
(SK)	e_Z	04 02 24,4	(SK)		eP_Z	17 36 08,6			
	e_N	26,4	e_N		09,1				
	e_{EZ}	26,9	eIS_{NEZ}		10,9				
	F	03	i_N		17,6				
NIE	Traces		F		37				
(SK)	e_Z	04 02 47,0	KRA		$\Delta = 87$ km				
	F	04	(Ch)		eP_{GZ}	17 36 21,8			
KRA	Faible		e_{NEZ}		30,2				
(Ch)	e_{NEZ}	04 02 48,3	$eS_{G_{NEZ}}$	33,7					
	e_Z	56,3	e_{NEZ}	39,8					
	e_N	57,0	F	37 30					
	F	04	RBN	Faible					
21.X	DGP (GIG): 14 16 05,9			(SK)	e_N	17 36 27,7			
CHZ	Faible		e_E	31,0					
(SK)	e_{NEZ}	14 16(04,5)	e_{NEZ}	35,9					
	e_{NEZ}	07,0	F	37 30					
	F	30	NIE	$\Delta = 152$ km					
RBN	Forte ag. mi.			(SK)	$eP_{G_{NEZ}}$	17 36 32,5			
(SK)	e_E	14 16 11,3		e_{EZ}	49,0				
	e_N	12,3		e_N, e_{iEZ}	58,5				
	e_N, e_{iZ}	18,0		F	38				
	e_{iE}	33,0							
	F	17							
KRA	Faible								
(Ch)	$e_{i_{NEZ}}$	14 16 16,9							
	$eIS_{G_{NEZ}}$	26,0							

Date	Station	Phase	G.M.T. h m s	Date	Station	Phase	G.M.T. h m s	
1966				NOVEMBRE				1966
1.XI	H = $22^{\text{h}}46^{\text{m}}12,8^{\text{s}}$; DGP (GIG): $22^{\text{h}}46^{\text{m}}16,5^{\text{s}}$			7.XI	CHZ	Faible		
	CHZ	Faible			(SK)	e_Z	13 25 54,2	
	(SK)	e_Z	22 46 13,4		e_{iN}, e_E	55,7		
	e_{NEZ}	15,3	e_{iN}, e_Z		57,2			
	F	30	F		26 30			
	KRA	$\Delta = 75$ km. Faible			KRA	Traces		
	(SKM)	$eP_{G_{NEZ}}$	22 46 26,5		(Ch)	e_{NEZ}	13 26 20,2	
	eIS_{GZ}	36,5	e_N		30,5			
	e_{iNE}	37,5	F		27			
	F	47 30	8.XI		H = $10^{\text{h}}26^{\text{m}}47,7^{\text{s}}$; BYT (GIG): $10 26 50,4$; DGP (GIG): 10 27 01,6			
NIE	Traces			CHZ	Faible			
(SK)	e_{iZ}	22 46 37,3		(SK)	e_{NEZ}, e_{iZ}	10 26 53,8		
F	47 30	e_{EZ}		55,5				
		F		27 30				
2.XI	H = $16^{\text{h}}57^{\text{m}}34,0^{\text{s}}$; BYT (GIG): $16 57 34,8$; DGP (GIG): 16 57 39,8			KRA	$\Delta = 84$ km			
	CHZ	$\Delta = 13$ km. Faible			(Ch)	$eP_{G_{NEZ}}$	10 27 03,0 C	
	(SK)	eP_{NE}	16 57 37,0		$eS_{G_{NE}}$	14,2		
	eIS_{NZ}	39,2	e_Z		15,2			
	e_{iZ}	39,7	e_{iE}		16,7			
	F	58	e_Z		19,2			
	KRA	$\Delta = 88$ km. Faible			F	28 30		
	(Ch)	eP_{G_E}	16 57 50,0		NIE	$\Delta = 151$ km		
	e_{NEZ}	58 06,0	(SK)		eP_{G_E}	10 27 14,8		
	e_{NEZ}	22,5	$eP_{G_{NEZ}}$		15,3			
F	59	$eS_{G_{EZ}}$	34,4					
NIE	Traces		e_{iNE}	35,4				
(SK)	e_{NEZ}	16 58 00,0	i_Z	37,8				
F	59	F	29					
4.XI	BYT (GIG): 08 27 08,5; DGP (GIG): 08 27 13,8			10.XI	H = $05^{\text{h}}26^{\text{m}}31,1^{\text{s}}$; $M = 2,3$ (Chorzów); BYT (GIG): 05^{h} $26^{\text{m}}31,5^{\text{s}}$; DGP (GIG): 05 26 37,1			
	CHZ	Faible			CHZ	$\Delta = 10$ km		
	(SK)	e_{NEZ}	08 27 12,6		(SK)	$e_{iP_{NEZ}}$	05 26 33,6 C	
	e_Z	14,1	eIS_{NEZ}		35,4			
	F	30	Im		42			
	KRA	Faible			NE: $0,7^{\mu}$; $2,0\mu$, $1,6\mu$			
	(SKM)	e_{NEZ}	08 27 22,7		F	27		
	e_N	30,7	KRA		Traces			
	e_{EZ}	33,2	(Ch)		e_{EZ}	05 26 45,8		
	F	29	e_N		49,0			
RBN	Traces		F	28				
(SK)	NE	08 27-28						
7.XI	DGP (GIG): 13 25 56,7							

Date	Station	Phase	G.M.T. h m s	Date	Station	Phase	G.M.T. h m s
10.XI (suite)	NIE (SK)	Traces NE	05 27-28	11.XI	CHZ	e _Z P	22 09 11,1 30
11.XI		$\varphi = 50^{\circ}13'$; $\lambda = 19^{\circ}08'$; H = $03^{\text{h}}46^{\text{m}}12,2^{\text{s}}$; M = 2,5 (Kraków), 2,8 (Chorzów); DGP (GIG): eP _{NZ} 03 46 15,5			KRA (Ch)	Traces e _{NE} P	22 09 30,0 10 30
	CHZ (SK)	$\Delta = 14$ km eP _{NE} , eIP _Z	03 46 15,1 D		NIE (SK)	Traces e _{iZ} P	22 09 31,4 10 30
		e _Z iS _E , eS _Z i _Z Lm EZ: 1,0 ^s ; 3,0 μ , 3,0 μ Lm N: 0,8 ^s ; 2,5 μ	16,1 17,4 18,1 22 26 47 30	12.XI		DGP (GIG): 15 04 25,2	
	KRA (Ch)	$\Delta = 61$ km eP _{NE} eP _{GZ} iS _{NE} , eS _{GZ} i _N Lm NEZ: 1,2 ^s , 1,2 ^s , 1,0 ^s ; 0,08 μ , 0,09 μ , 0,09 μ	03 46 23,6 D 24,1 31,8 32,8 47 01 48		KRA (Ch)	Faible e _{NE} e _{NE} e _{iZ} e _E P	15 04 25,0 28,2 30,2 33,7 05
	RBN (SK)	Faible e _{NZ} e _{IE} e _Z P	03 46 31,2 37,4 45,4 48	12.XI		$\varphi = 50^{\circ}19'$; $\lambda = 19^{\circ}11'$; H = $18^{\text{h}}07^{\text{m}}24,8^{\text{s}}$; M = 2,3 (Chorzów, Dąbrowa Górni- cza); DGP: eIP _{NE} , iP _Z 18 07 25,8, eIS _{NE} 26,4, Lm _{NEZ} 1,25 μ , 5,0 μ , 7,0 μ	
	RAC (SK)	$\Delta = 68$ km eS _{GZ} e _{NE} e _{EZ} e _N P	03 46 33,3 36,3 39,4 40,5 48 30		CHZ (SK)	$\Delta = 14$ km eP _{NEZ} eIS _N , eS _Z e _{iZ} i _Z Lm EZ: 1,0 ^s ; 1,5 μ , 1,0 μ Lm N: 0,8 ^s ; 2,0 μ	18 07 27,8 C 30,1 31,0 32,2 36 37 08 30
	NIE (SK)	$\Delta = 125$ km eP _{NZ} e _{NE} , i _Z e _E e _{NE} , i _E P	03 46 34,4 C 35,9 50,4 51,5 48 30		KRA (Ch)	$\Delta = 62$ km eP _{NE} , eIP _{GZ} eIP _{GZ} e _{NE} eIS _{NEZ} i _Z P	18 07 36,0 C 36,3 43,7 44,4 46,5 09
1.XI		BYT (GIG): 22 09 08,3; DGP (GIG): 22 09 09,5			NIE (SK)	$\Delta = 132$ km eP _{NE} eP _{NE} , eIP _{GZ} e _{NZ} e _{NZ} , e _{IE} P	18 07 47,7 D 48,3 08 03,2 07,2 09 30
	CHZ (SK)	e _{NEZ} e _{NE}	22 09(08,2) 10,3		RBN (SK)	Traces e _{NZ} e _{IE} , e _Z P	18 08 01,2 03,2 09

Date	Station	Phase	G.M.T. h m s	Date	Station	Phase	G.M.T. h m s
14.XI		$\varphi = 50^{\circ}17'$; $\lambda = 19^{\circ}10'$; H = $14^{\text{h}}51^{\text{m}}13,3^{\text{s}}$; M = 2,4 (Chorzów); DGP: eP _{NZ} 14 51 15,4		17.XI	NIE (SK)	Faible e _N , e _{iZ} e _E e _{NE} , e _{EZ} P	21 45 19,8 24,8 37,3 46 30
	CHZ (SK)	$\Delta = 13$ km eP _N , eIP _{EZ}	14 51 16,2 C			DGP (GIG): 22 36 39,1	
		e _Z i _Z i _Z Lm N: 0,4 ^s ; 2,0 μ Lm EZ: 1,0 ^s ; 2,0 μ , 1,5 μ P	17,3 19,2 22,3 23 24 52 30	18.XI	CHZ (SK)	Faible e _{NEZ} e _N e _{NEZ} e _{IE} P	22 36 42,8 43,8 46,8 47,6 37
	KRA (Ch)	$\Delta = 63$ km eP _{NE} , eIP _{GZ} e _E , e _{iZ} eS _{NE} , eIS _{NE} , iS _{GZ} P	14 51 24,9 C 32,0 33,4 53		KRA (Ch)	Faible e _Z e _E , i _Z e _{NE} , e _Z e _E e _N P	22 36 47,2 49,0 56,0 57,2 57,9 38
	NIE (SK)	$\Delta = 129$ km eIP _{NEZ} e _{NEZ} eS _{NEZ} P	14 51 35,4 51,9 59,4 53 30		NIE (SK)	eP _{NE} , eIP _{GZ} e _{NEZ} e _{NEZ} P	22 37 01,5 04,5 16,5 38
	RAC (SK)	Traces e _Z P	14 51 48,0 53	19.XI		BYT (GIG): 07 20 03,8; DGP (GIG): 07 20 05,5	
	RBN (SK)	Traces NE	14 51-53		CHZ (SK)	Faible, NE - illisible e _Z e _{iZ} P	07 20 03,3 05,8 21
14.XI		DGP (GIG): 19 39 57,2			KRA (Ch)	eP _{NEZ} e _{NEZ} e _{NEZ} e _{NEZ} P	07 20 16,0 27,0 33,0 41,0 22
	CHZ (SK)	Faible e _Z e _{NZ} , e _{IE} e _{iZ} P	19 39 54,3 55,3 56,1 40 30	22.XI			
	KRA (Ch)	Traces e _{NZ} P	19 40 14,0 41		RBN (SK)	e _{NZ} e _{IE} e _N e _{IEZ} e _{NE} , e _E P	18 16 42,7 44,9 45,6 46,0 47,0 17 30
17.XI		DGP (GIG): 21 44 57,6			RAC (SK)	e _{NEZ} e _N e _Z P	18 16 46,8 49,4 51,0 18
	CHZ (SK)	Faible, E - illisible e _{NZ} e _N P	21 45 01,8 03,8 30				
	KRA (Ch)	Traces e _{NE} e _Z P	21 45 17,0 17,5 46				

Date	Station	Phase	G.M.T. h m s	Date	Station	Phase	G.M.T. h m s
22.XI		$\varphi = 50^{\circ}22'$; $\lambda = 18^{\circ}49'$; $H = 19^{\text{h}}27^{\text{m}}03,7^{\text{s}}$; $M = 2,5$ (Kraków, Dąbrowa Górnicza); ZAB (GIG): 19 27 04,1; BYT (GIG): 19 27 05,8; DGP: eP _{NZ} 19 27 09,5, eS _{EZ} 13,7, Lm _{NEZ} 0,5 μ , 0,4 μ , 0,6 μ		23.XI	RBN $\Delta = 37$ km (SK) eP _{NEZ} , eIP _{EZ} 14 53 36,0 C e ⁱ _{NZ} , e ^E 37,8 e ⁱ _{NZ} , e ^E 43,2 e ⁱ _E 44,6 e ⁱ _N , e ^Z 56,8 P 56		
CHZ $\Delta = 14$ km (SK) 1P _N , eP _Z 19 27(08,9) i _Z 10,4 i _Z 13,5 P 28				RAC $\Delta = 58$ km (SK) eP _{NEZ} 14 53 39,3 e ^{NEZ} 42,9 e ^{EZ} 48,2 i _N 49,5 P 56 30			
RBN $\Delta = 38$ km (SK) e ⁱ _N 19 27 13,8 e ⁱ _N 15,1 e ⁱ _{SEZ} 15,8 e ⁱ _N , e ^E 18,8 e ^Z 20,1 P 29				KRA $\Delta = 80$ km (Ch) eIP _{NEZ} 14 53 42,8 C i _Z 43,1 e ⁱ _{EZ} 46,8 e ⁱ _{SEZ} 53,4 e ⁱ _{NE} 54 13,1 Lm 22 NEZ: 1,3 ^h ; 0,19 μ , 0,23 μ , 0,56 μ P 56			
KRA $\Delta = 87$ km (Ch) eP _{SEZ} 19 27 19,3 C i _{NZ} , e ⁱ _E 29,5 i _{SEZ} , e ⁱ _{SEZ} 30,8 Lm 54 NE: 1,1 ^h , 1,5 ^h ; 0,08 μ , 0,06 μ P 29				NIE $\Delta = 144$ km. NE - illisibles (SK) eIP _{EZ} 14 53 53,1 C e ^Z 54 04,8 e ⁱ _{SEZ} 11,6 P 56			
RAC $\Delta = 54$ km (SK) e ⁱ _{SEZ} 19 27 20,6 e ⁱ _N , e ^{EZ} 23,1 e ⁱ _N , e ^E 27,6 e ^{EZ} 33,5 P 29 30				23.XI DGP (GIG): 18 03 37,5			
NIE $\Delta = 154$ km (SK) eIP _{EZ} 19 27 29,0 C eP _E 30,0 e ^{NEZ} 46,7 e ⁱ _{SEZ} , i _{SEZ} 49,0 P 30				CHZ (SK) e ^{NEZ} 18 03 37,5 e ^N , e ⁱ _Z 40,7 e ^E 42 Lm 45 EZ: 0,8 ^h ; 1,0 μ , 1,0 μ Lm 47 N: 0,8 ^h ; 0,7 μ P 04			
23.XI $\varphi = 50^{\circ}18'$; $\lambda = 18^{\circ}55'$; $H = 14^{\text{h}}53^{\text{m}}28,7^{\text{s}}$; $M = 3,0$ (Kraków, Bytom), 2,8 (Dąbrowa Górnicza); ZAB: eP _N 14 53 31,4, e ⁱ _{SEZ} 32,2; BYT: e ⁱ _{SEZ} 14 53 31,9, Lm _{NEZ} 39,4 μ , 1,9 μ ; DGP: eP _{EZ} 14 53 33,4, e ⁱ _{SEZ} 36,8, Lm _{NEZ} 0,9 μ , 1,6 μ , 1,9 μ				KRA Faible (Ch) e ^N , e ⁱ _{KZ} 18 03 54,3 e ^{NZ} 04 14,0 P 05			
				NIE Traces (SK) Z 18 04-05			
				24.XI DGP (GIG): 16 58 48,5			
				CHZ Faible (SK) e ^Z 16 58 52,1 e ^{NE} 54,3			

Date	Station	Phase	G.M.T. h m s	Date	Station	Phase	G.M.T. h m s
24.XI (suite)	CHZ P	e ^Z P	16 58 56,4 59 30	28.XI	CHZ (SK)	1P _{NEZ} i _{SEZ} Lm	12 57 24,7 26,6 28
	NIE (SK)	Traces e ^{EZ} e ^E P	16 59 12,5 30,5 17 00			EZ: 1,1 ^h ; 15,1 μ , 11,0 μ Lm 32 NEZ: 1,3 ^h ; 24,0 μ , 14,0 μ , 19,6 μ P 59 30	
	KRA (SKM)	Traces NEZ	16 59-17 00		RBN $\Delta = 39$ km (SK)	eP _{EZ} e ^{EZ} e ⁱ _N e ⁱ _{SEZ} e ^Z Lm	12 57 30,2 32,7 34,1 35,6 37,1 58 10 NEZ: 1,2 ^h , 1,0 ^h ; 2,2 μ , 0,9 μ P 13 00
28.XI		DGP (GIG): 04 00 20,8			RAC $\Delta = 57$ km (SK)	eP _{NEZ} e ⁱ _{SEZ} , i _{SEZ} e ^{NZ} Lm	12 57 33,9 D 42,0 53,3 58 01 NEZ: 1,2 ^h , 1,5 ^h ; 2,1 μ , 1,1 μ P 13 01
	CHZ (SK)	Traces e ^Z P	04 00 24,5 01		KRA $\Delta = 84$ km (Ch)	eIP _{NEZ} e ⁱ _{NZ} e ⁱ _E e ⁱ _{SEZ} Lm	12 57 37,3 46,8 47,6 48,3 58 13 NEZ: 1,2 ^h , 1,7 ^h , 1,4 ^h ; 0,44 μ , 0,68 μ , 0,56 μ P 13 01
	KRA (Ch)	Faible e ^{NEZ} e ⁱ _{NE} , e ^Z e ^Z P	04 00 30,5 38 42 01 30		NIE $\Delta = 150$ km (SK)	eIP _{EZ} i ^{NEZ} e ⁱ _{NEZ} e ⁱ _{NZ} e ⁱ _{SEZ} P	12 57 47,0 D 47,5 59,0 58 04,7 06,5 13 01
	NIE (SK)	Faible e ^N , e ⁱ _{EZ} i _N e ^E P	04 00 43,0 59,0 01 00,5 30			H = 11 ^h 47 ^m 57,2 ^s ; $M = 2,2$ (Chorzów); BYT (GIG): 11 48 00,1; DGP (GIG): 11 48 01,8	
28.XI		DGP (GIG): 05 14 51,7		28.XI	CHZ (SK)	Faible e ^Z e ^{NE} e ⁱ _Z P	05 14 52,0 54,0 55,0 15 30
	CHZ (SK)	Faible e ^Z e ^{NE} e ⁱ _Z P	05 14 52,0 54,0 55,0 15 30		KRA (Ch)	e ⁱ _{EZ} e ^N e ^{SEZ e^{EZ} P}	05 15 08,4 09,5 16,4 17,6 16 30
	NIE (SK)	Faible e ⁱ _{NEZ} e ⁱ _E e ⁱ _N P	05 15 27,0 33,5 34,0 16 30		NIE (SK)	e ⁱ _{NEZ} e ⁱ _{NZ} e ⁱ _{SEZ} P	13 01
28.XI		$\varphi = 50^{\circ}21'$; $\lambda = 18^{\circ}53'$; $H = 12^{\text{h}}57^{\text{m}}22,5^{\text{s}}$; $M = 3,2$ (Dąbrowa Górnicza), 3,3 (Chorzów); ZAB: eS _N 12 57 26,0; DGP: eP _{NEZ} 12 57 27,0, e ⁱ _{SEZ} 30,5, Lm _{NEZ} 1,6 μ , 4,2 μ , 5,1 μ		29.XI	CHZ $\Delta = 8$ km (SK)	eIP _N , iP _{EZ}	11 47 59,2 D

Date	Station	Phase	G.M.T. h m s	Date	Station	Phase	G.M.T. h m s
4.XII (suite)	CHZ	e _N P	08 40 01,8 30	5.XII	NIE (SK)	Faible e _{NEZ} e _{NE} P	19 12 57,2 13 14,2 14
	KRA	Δ = 62 km (Ch) e _{P_{NEZ}} e _N e _{S_E} , e _{S_Z} e _E , i _Z P	08 40 05,6 13,0 14,0 15,4 41	6.XII	DGP (GIG): 02 59 42,8		
	NIE	Δ = 126 km. Faible (SK) e _{NE} , e _{iZ} e _{S_{NEZ}} e _E e _E P	08 40 18,2 31,2 34,7 36,2 41		CHZ (SK)	1P _{NEZ} i _{NEZ} Lm NEZ: 1,1 ^s ; 2,5μ, 1,0μ, 1,5μ	02 59 38,6 39,5 42 03 00
5.XII	RAC (SK)	Faible e _{NE} e _{iN} , e _Z e _{NZ} e _{EZ} P	03 45 50,3 51,8 56,4 46 07,1 47	6.XII	φ = 50°14,5'; λ = 19°06'; H = 10 ^h 11 ^m 48,1 ^s ; M = 2,3 (Chorzów); DGP: e _{S_{NE}} 10 11 53,2		
	RBN (SK)	Faible e _{EZ} e _N e _N P	03 45 53,7 54,7 46 12,9 47		CHZ (SK)	Δ = 10 km 1P _{EZ} e _{iP_N} 1S _{NEZ} i _{EZ} Lm EZ: 1,2 ^s ; 2,0μ, 2,0μ	10 11 50,1 D 50,4 51,9 53,4 54 12 30
	NIE (SK)	e _{P_{EZ}} e _{NEZ} e _{NEZ} P	03 46 07,4 10,6 27,6 47 30		KRA (Ch)	Δ = 65 km e _{P_{EZ}} e _{S_E} e _{iE} e _Z e _N P	10 12 00,5 09,2 10,2 19,7 20,2 13 30
	KRA (Ch)	Traces E	03 46-47		NIE (SK)	Δ = 133 km. NE - illisibles e _{P_{EZ}} e _Z P	10 12 12,3 29,7 13
5.XII		H = 19 ^h 12 ^m 31,4 ^s ; M = 2,1 (Chorzów); DGP (GIG): 19 12 38,2		7.XII	H = 08 ^h 17 ^m 42,6 ^s		
	CHZ (SK)	Δ = 8 km 1P _Z i _N , e _{iE} 1S _{EZ} Lm NEZ: 1,2 ^s ; 2,0μ, 1,9μ, 1,7μ	19 12 33,4 C 33,9 34,9 37 13 30		RBN (SK)	Δ = 20 km e _{P_N} , e _{iP_E} e _Z e _{iS_N} , e _{S_E} e _{NZ} P	08 17 46,5 48,0 49,5 52,0 18 30
	KRA (Ch)	Faible e _Z e _{NEZ} e _Z P	19 12 45,5 56,0 13 01,0 14		RAC (SK)	Δ = 27 km 1P _N , e _{iP_E}	08 17 48,2

Date	Station	Phase	G.M.T. h m s	Date	Station	Phase	G.M.T. h m s
7.XII (suite)	RAC	e _{iS_{NE}} , e _{S_Z} P	08 17 54,1 19	10.XII	CHZ (SK)	Faible e _Z e _N e _Z e _E P	19 34 21,0 22,1 25,1 26,6 35
8.XII	CHZ (SK)	Faible e _Z e _{NE} e _{NZ} P	04 28 32,6 34,1 37,6 29 30		KRA (Ch)	e _{iP_{NEZ}} e _{iN} , e _Z e _E e _{NEZ} P	19 34 27,5 35,0 36,0 39,4 35 30
	NIE (SK)	Traces e _{NE} , e _{iZ} e _E P	04 28 52,5 29 10,5 30		NIE (SK)	e _{P_{NE}} , i _{P_{EZ}} e _E e _{iN} P	19 34 40,0 55,7 57,0 35 30
	KRA (SKM)	Traces e _{NEZ} P	04 28 53,7 30	11.XII	φ = 50°19'; λ = 18°53'; H = 13 ^h 19 ^m 04,4 ^s ; M = 2,3 (Chorzów); DGP: e _{P_Z} 13 19 09,3		
9.XII	DGP (GIG): 20 32 52,5				CHZ (SK)	Δ = 8 km e _{P_{NE}} , i _{P_Z} 1S _N , e _{iS_Z} i _{NEZ} Lm NEZ: 1,0 ^s ; 3,1μ, 1,4μ, 1,0μ	13 19 06,4 07,9 11,9 13 20
	CHZ (SK)	Faible e _Z i _N e _Z e _{iN} e _E P	20 32 53,8 55,5 57,0 58,0 33 00,0 30		KRA (Ch)	Δ = 83 km e _{P_{EZ}} e _{iNE} , e _Z e _{NZ} P	13 19 19,5 28,5 32,5 20 30
	KRA (Ch)	Faible e _{EZ} e _N e _Z e _{NEZ} P	20 33 01,3 07,8 09,0 11,8 34		NIE (SK)	Traces e _{iNE} e _Z P	20 33 12,6 30 34
	NIE (SK)	Traces e _{iNE} e _Z P	20 33 12,6 30 34	10.XII	DGP (GIG): 14 00 52,9		
	CHZ (SK)	Faible e _{EZ} e _N e _Z e _N P	14 00 55,1 55,6 58,1 58,7 01 30		CHZ (SK)	Δ = 145 km e _{P_{NEZ}} e _{NEZ} P	13 19 29,9 D 47,0 21
	NIE (SK)	Faible e _{iZ} e _{NEZ} P	14 01 15,0 32,0 02		RAC (SK)	Traces NEZ	13 19-21
	KRA (Ch)	Traces NE	14 01-02	12.XII	φ = 50°19'; λ = 18°53'; H = 11 ^h 21 ^m 59,1 ^s ; M = 2,2 (Chorzów), 2,6 (Kraków); ZAB: e _{P_E} 11 22 00,8; DGP (GIG): 11 22 04,5		
	CHZ (SK)	Δ = 8 km e _{iP_N} , i _{P_{EZ}}	11 22 01,2 D				

Date	Station	Phase	G.M.T. h m s	Date	Station	Phase	G.M.T. h m s
12.XII (suite)	CHZ	1S _{NEZ}	11 22 02,7	14.XII	KRA	e _{NEZ}	14 40 05,7
		i _Z	04,2			e1S _{NEZ} , eS _{NEZ}	10,3
		Lm	07			e _Z	11,7
		EZ: 1,2 ^s ; 2,0 ^μ , 2,0 ^μ				P	42
		F	30		NIE	Δ = 137 km	
	KRA	Δ = 82 km			(SK)	eP _{NEZ}	14 40 09,5
	(Ch)	eP _{NEZ} , e1P _{NEZ}	11 22 14,0			e _{EZ}	26,3
		e1 _Z	22,4			e _N	28,3
		e _{NE}	23,7			P	42
		eS _{NEZ} , e1S _{NEZ}	24,9	17.XII		ψ = 50°20'; λ = 18°50';	
		Lm	55			H = 02 ^h 33 ^m 35,0 ^s ; M = 2,2	
		NEZ: 1,2 ^s ; 0,07 ^μ ,				(Chorzów); DGP: eP _E 02 33	
		0,06 ^μ , 0,06 ^μ				40,7	
		F	24		CHZ	Δ = 13 km	
	NIE	Δ = 147 km			(SK)	eP _{NEZ} , e1P _{NEZ}	02 33 38,1 D
	(SK)	eP _{NEZ} , e1P _{NEZ}	11 22 24,3 D			i _Z	38,9
		e1 _Z	33,3			e _N , i _{EZ}	40,3
		eS _{NEZ}	43,7			Lm	44
		e _N , e1 _Z	44,3			NEZ: 1,1 ^s ; 1,2 ^μ , 0,8 ^μ ,	
		F	24			1,0 ^μ	
	RAC	Traces				F	34
	(SK)	e _Z	11 22 36,1		KRA	Δ = 87 km	
		F	23 30		(Ch)	eP _{NEZ}	02 33 50,5
	RBN	Traces				e _Z	59,5
	(SK)	NEZ	11 22-23			eS _{NEZ}	34 02,0
14.XII						e _Z	03,3
		ψ = 50°14'; λ = 18°56';				F	35
		H = 14 ^h 39 ^m 46,1 ^s			NIE	Δ = 151 km	
	CHZ	Δ = 7 km. Faible			(SK)	e _{NEZ}	02 34 05,8
	(SK)	eP _{NEZ}	14 39 48,0 C			eS _{NEZ}	19,7
		e _N , e1 _{EZ}	50,8			P	35
		e1 _N	51,6		RBN	Traces	
		F	40 30		(SK)	NEZ	02 34-35
	RBN	Δ = 32 km			RAC	Traces	
	(SK)	eP _{NEZ}	14 39 52,3 C		(SK)	EZ	02 34-35
		e _E	53,1	17.XII		ψ = 50°27'; λ = 19°16';	
		e1 _{NEZ}	54,6			H = 14 ^h 08 ^m 25,7 ^s ; M = 2,7	
		e1 _E	55,0			(Chorzów), 2,8 (Kraków);	
		e1 _E , e _Z	40 00,6			DGP (GIG): 14 08 28,8	
		F	42		CHZ	Δ = 28 km	
	RAC	Δ = 54 km			(SK)	eP _{NEZ}	14 08 31,4
	(SK)	eP _{NEZ}	14 39 56,1			e _N	33,0
		e _{EZ}	40 00,5			e1 _Z	33,5
		e1S _{NEZ} , eS _{NEZ}	03,4			e1 _{NEZ}	35,5
		e _{EZ}	05,4			Lm	42
		i _N , e _{EZ}	11,3			Z: 1,3 ^s ; 2,2 ^μ	
		F	43			F	09 30
	KRA	Δ = 76 km					
	(Ch)	eP _{NEZ} , e1P _{NEZ}	14 40 00,2 C				

Date	Station	Phase	G.M.T. h m s	Date	Station	Phase	G.M.T. h m s
17.XII (suite)	KRA	Δ = 87 km		17.XII	KRA	N: 1,0 ^s ; 0,14 ^μ	
	(Ch)	e1P _{NEZ}	14 08 38,0			F	18 54
		e1S _{NEZ}	47,0		NIE	Δ = 134 km	
		Lm	09 02		(SK)	eP _{NEZ}	18 52 17,3 D
		NE: 1,2 ^s ; 0,17 ^μ ,				e1 _{EZ}	20,0
		0,13 ^μ				e1 _{NE}	22,8
		F	10			e _{EZ}	32,0
	NIE	Δ = 139 km				e1S _{NEZ}	34,7
	(SK)	e1P _{NEZ}	14 08 50,6 C			F	54 30
		e _{NEZ}	09 06,2	19.XII		DGP (GIG): 02 49 43,5	
		e1S _{NEZ}	08,7		CHZ	Faible	
		F	10 30		(SK)	e _Z	02 49 47,4
	RBN	Traces				e _N	48,4
	(SK)	NEZ	14 08-10			e _E	49,4
	RAC	Traces				F	50 30
	(SK)	NEZ	14 09-11		KRA	Faible	
17.XII					(Ch)	eP _{NEZ}	02 49 56,2
		ψ = 50°15'; λ = 19°00';				e _N	50 03,2
		H = 18 ^h 51 ^m 54,5 ^s ; M = 2,7				e _{EZ}	04,7
		(Chorzów), 2,9 (Dąbrowa				e _E , e1 _Z	06,0
		Górnica, Bytom), 3,0 (Ra-				F	51
		cibórz); DGP: eP _{EZ} 18 51			NIE	Faible	
		58,1, e1S _{EZ} 52 03,1, Lm _{NEZ}			(SK)	eP _{NEZ}	02 50 07,3
		0,5 ^μ , 1,3 ^μ , 2,4 ^μ ; BYT				e _{EZ}	24,8
		(GIG): 18 51 58,6, Lm _{NE}				e _{NEZ}	27,8
		8,4 ^μ , 12,8 ^μ				F	51
	CHZ	Δ = 5 km					
	(SK)	1P _{NEZ}	18 51 56,1 D	21.XII		ψ = 50°15'; λ = 18°56';	
		i _Z	57,2			H = 14 ^h 29 ^m 14,2 ^s ; M = 2,3	
		Lm	52 00			(Chorzów); DGP: eP _{EZ} 14 29	
		NEZ: 1,1 ^s ; 12,5 ^μ ,				18,7	
		6,4 ^μ , 10,6 ^μ			CHZ	Δ = 8 km	
		F	53		(SK)	1P _{NEZ}	14 28 16,0 D
	RBN	Δ = 39 km				1S _{EZ}	17,5
	(SK)	eP _{EZ}	18 52 01,9			Lm	20
		e1 _E	04,4			NEZ: 1,1 ^s ; 2,6 ^μ , 2,5 ^μ ,	
		e _N	05,6			3,5 ^μ	
		e _E	09,8			F	30
		e _Z	11,7		KRA	Δ = 77 km	
		Lm	27		(Ch)	eP _{NEZ} , e1P _{NEZ}	14 29 28,5
		NEZ: 1,0 ^s ; 1,6 ^μ ,				e1P _{NEZ}	28,8
		1,1 ^μ , 1,0 ^μ				e _Z	36,6
		F	54			eS _{NEZ}	38,8
	KRA	Δ = 72 km				F	31
	(SKM)	e1P _{NEZ}	18 52 07,4		RBN	Faible, E - illisible	
		i _{NE}	15,9		(SK)	e1 _Z	14 29 37,5
		1S _{EZ}	17,0			e _{NEZ}	38,1
		Lm	44			e _N	43,5
		E: 1,0 ^s ; 0,1 ^μ				F	30
		Lm	46				

Date	Station	Phase	G.M.T. h m s	Date	Station	Phase	G.M.T. h m s
21.XII (suite)	NIE	$\Delta = 138$ km		25.XII	RBW	$\Delta = 35$ km. Faible	
	(SK)	eP_{NE}, eIP_{EZ}	14 29 38,7		(SK)	eP_Z	21 41 32,3
		e_Z	58,0			e_{NE}	34,8
		e_{NEZ}	59,0			e_{NE}	41,7
		e_{NE}	30 04,5			F	42 30
		F	31		KRA	$\Delta = 79$ km	
	RAC	Traces			(Ch)	eP_{NEZ}	21 41 39,3
	(SK)	NEZ	14 29-31			eIS_{EZ}	49,4
						F	43
23.XII		$\varphi = 50^{\circ}23'$; $\lambda = 18^{\circ}53'$; $H = 23^{\text{h}}49^{\text{m}}52,9^{\text{s}}$; $M = 2,2$ (Chorzów); DGP: eP_Z 23 49 58,1			NIE	$\Delta = 139$ km	
	CHZ	$\Delta = 13$ km			(SK)	eIP_{EZ}	21 41 49,5
	(SK)	eP_{EZ}	23 49 55,9			eP_{EZ}	50,0
		e_N	56,4			eS_{NEZ}	42 08,0
		e_{IN}, e_Z	58,5			F	44
		Lm	50 04		RAC	Traces	
		Z: $1,3^{\text{s}}$; $0,9\mu$			(SK)	NEZ	21 42-44
		F	30	26.XII		$\varphi = 50^{\circ}16'$; $\lambda = 19^{\circ}01'$; $H =$ $= 13^{\text{h}}08^{\text{m}}22,8^{\text{s}}$; $M = 2,3$ (Za- brze); DGP: eS_Z 13 08 27,3; ZAB (GIG): Lm _{NE} $10,3\mu$, $9,3\mu$	
	KRA	$\Delta = 84$ km			CHZ	$\Delta = 3$ km	
	(Ch)	eP_{NEZ}	23 50 08,1		(SK)	iP_{NE}, eIP_E	13 08 22,7
		e_N	10,6			Lm	25
		e_Z	18,4			EZ: $1,0^{\text{s}}$; $23,5\mu$, $29,0\mu$	
		eS_{NEZ}	19,2			F	09 30
		F	51 30		RBW	$\Delta = 40$ km	
	NIE	$\Delta = 149$ km			(SK)	eP_Z	13 08 29,4
	(SK)	eP_{NE}, eIP_{EZ}	23 50 18,8			e_{NEZ}	30,9
		eS_{EZ}	38,0			e_{IN}, e_Z	34,7
		e_Z	40,0			e_{IN}, e_Z	37,7
		F	51			e_Z	42
	RBW	Traces				F	11 30
	(SK)	e_N	23 50 21		RAC	$\Delta = 62$ km	
		F	51		(SK)	eP_{NEZ}	13 08 33,5
	RAC	Faible				e_Z	35,5
	(SK)	e_{IN}, e_{EZ}	23 50 30,0			e_{INZ}	36,5
		e_{IN}, e_Z	38,0			e_{IN}, e_Z	39,0
		F	52			F	12
25.XII		$\varphi = 50^{\circ}15'$; $\lambda = 18^{\circ}56'$; $H = 21^{\text{h}}41^{\text{m}}25,4^{\text{s}}$; $M = 2,3$ (Chorzów); DGP: eP_{EZ} 21 41 30,2			NIE	$\Delta = 136$ km	
	CHZ	$\Delta = 6$ km			(SK)	eP_{NE}, eIP_{EZ}	13 08 44,5
	(SK)	iP_{NE}, eP_E	21 41 26,8			i_{NEZ}	46,0
		eIS_E, iS_Z	28,0			e_{INZ}	49,0
		Lm	29			eIS_{NEZ}	09 03
		NEZ: $1,0^{\text{s}}$; $3,5\mu$, $2,0\mu$, $3,0\mu$				F	11
		F	42	27.XII		DGP (GIG): 00 11 07,7	

Date	Station	Phase	G.M.T. h m s	Date	Station	Phase	G.M.T. h m s
27.XII (suite)	KRA			27.XII	NIE	e_{NZ}	20 54 03,8
	(SKM)	e_{NEZ}	00 11 15,5			F	55
		e_{NEZ}	27,0	29.XII		DGP (GIG): 02 59 12,6	
		F	12 30		CHZ		
	NIE	Faible			(SK)	e_{NZ}	02 59 16,0
	(SK)	eP_{EZ}	00 11 26,1			e_{INZ}, i_E	17,0
		e_N	44,6			Lm	20
		e_{EZ}	45,4			EZ: $0,9^{\text{s}}$; $1,9\mu$, $2,5\mu$	
		F	12 30			F	03 00
	RBW	Traces			KRA	Traces	
	(SK)	NEZ	00 11-12		(SKM)	NEZ	02 59 30- -03 00 30
27.XII		DGP (GIG): 03 27 37,9			NIE	Traces	
	CHZ	Faible			(SK)	e_{EZ}	02 59 39,5
	(SK)	e_{EZ}	03 27 37,4			F	03 00 30
		e_N	38,4	30.XII		$H = 14^{\text{h}}01^{\text{m}}42,2^{\text{s}}$; $M = 2,4$ (Chorzów)	
		e_{EZ}	40,1		CHZ	$\Delta = 6$ km	
		Lm	44		(SK)	eIP_{NE}, iP_Z	14 01 43,7
		Z: $1,0^{\text{s}}$; $0,9\mu$				iS_{EZ}	44,9
		F	28			Lm	46
	NIE	Traces				EZ: $1,0^{\text{s}}$; $5,0\mu$, $4,5\mu$	
	(SK)	e_Z	03 27 49,7			F	02 30
		e_{IZ}	56,7		KRA	$\Delta = 75$ km	
		F	29		(SKM)	e_{NEZ}	14 01 54,0
27.XII		DGP (GIG): 20 53 25,2				eIS_{NEZ}	02 06,0
	CHZ	Traces				F	03
	(SK)	e_Z	20 53 27,9		NIE	$\Delta = 138$ km	
		e_N	31,5		(SK)	eP_{NEZ}	14 02 06,5
		F	54			e_{NEZ}	25,0
	KRA	Faible				e_{NEZ}	37,0
	(SKM)	e_{NEZ}	20 53 33,7			F	03 30
		e_{NEZ}	43,2		RBW	Traces	
		F	54 30		(SK)	NEZ	14 02-03
	NIE				RAC	Traces	
	(SK)	eIP_{NE}, eIP_{EZ}	20 53 45,8		(SK)	NEZ	14 02-04
		e_{NE}	54 01,0				